

Радиохобби

Журнал для радиолюбителей, аудиофилов и пользователей ПК

№ 1(13)/ФЕВРАЛЬ 2000

Совместное издание с
Лигой радиолюбителей Украины
Издается с февраля 1998 г.



Главный редактор
Николай Сухов

Редакционная коллегия
Георгий Божко (UT5ULB)

Александр Егоров

Евгений Лукин

Всеволод Марценюк

Евгений Музыченко

Олег Никитенко

Александр Провозин

Александр Торрес

Георгий Члиянц (UY5XE)

Владимир Широков

Адрес редакции
Украина, 03190, Киев-190, а/я 568

Тел./факс: (044) 4437153

E-mail: radiohobby@mail.ru

radiohobby@mail.com

Fido: 2:463/197.34

BBS: (044) 2167171 с 19⁰⁰ до 9⁰⁰

http://www.radiolink.net/radiohobby

http://welcome.to/radiohobby

http://radiohobby.da.ru

http://www.radiohobby.ldc.net

Распространение
по подписке в любом отделении связи:

Украина - по «Каталогу периодических
видань України» УОПЗ Укрпошта,
индекс 74221

цена подписки на I полугодие 2000 г.
17 грн. 25 коп.

Россия и другие страны СНГ, Литва,
Латвия, Эстония - по каталогу «Газеты
и журналы» агентства Роспечать,
индекс 45955

цена подписки на I полугодие 2000 г.
99 руб. РФ

Дальнее зарубежье - по каталогу
«Russian Newspapers & Magazines
2000» агентства Роспечать, \$21

Выражаем благодарность всем авторам за их мысли и идеи и всем подписчикам за доверие и материальную поддержку журнала

Редакция может не разделять мнение авторов и не несет ответственности за содержание рекламы

© «Радиохобби». Перепечатка материалов без письменного разрешения редакции запрещена. При цитировании обязательна полная библиографическая ссылка с указанием названия и номера журнала

Подписано к печати 23.02.2000 г.
Отпечатано на журнальном комплексе издательства
«Преса Украины», м.Київ, вул. Героїв космосу, 6
Тираж 8700 экз.

Заказ № 0130009, цена договорная
Учредитель и издатель ООО «Эксперт»
Журнал выходит шесть раз в год
60x84/8 бум. форм., 7,44 усл.печл., 12,8 уч.-изд.л.
Зарегистрирован Госкомитетом Российской Федерации по печати 25.06.97 г., свид. №016258
Зарегистрирован Министерством информации Украины 11.06.97 г., свид.серия КВ №2678

СОДЕРЖАНИЕ

2 Новая техника и технология: ИНТЕРНЕТ-обзор

Трансиверы Icom IC-756PRO, Tentec Pegasus-550, сверхтонкий телевизор XXI века, новый вариант видеоФормата VHS - DigitalVHS, MP3-плеер и цифровая фотокамера в наручных часах, новый пакет программ для анализа и синтеза электронных схем и радиосистем Serenade

6 DX-клуб «Радиохобби» A.Егоров

7 Загадки эфира A.Костюкевич

10 Дайджест зарубежной периодики

Микрофонный предуслышатель с балансными входом и выходом, двухтактный транзисторный УМЗЧ без отсечки коллекторного тока транзисторов выходных каскадов, адаптивная высококачественная 3-полосная АС с возможностью оперативного согласования с характеристиками динамиков и комнаты, импульсные УМЗЧ класса D, прибор для автономного автоматического сбора данных, расщепитель СОМ-порта, светотелефон на лазерной указке, активная рамочная антенна, «антенноскоп», малошумящий кварцевый генератор, мощные оконечные каскады передатчиков до 100 МГц на транзисторах TMOS, концентратор электромагнитной энергии и другие наиболее интересные устройства из двух десятков свежайших зарубежных журналов

26 Портативный КВ трансивер A.Тарасов

Продолжение. Рекомендации по настройке основной платы. ШПУ. БП

31 Минисправочник

Все ноды сети FIDONet Украины. Исчерпывающая информация для желающих подключиться к мировой компьютерной сети FIDONet в любом населенном пункте Украины

35 Усилитель мощности современного трансивера Я.Лаповок

37 Мультирежимная программа MixW В.Ткаченко

41 Компьютерный интерфейс для трансиверов Icom H.Федосеев

42 Частотомер на процессоре PIC16F84 A.Денисов

43 Автоматический антенный тюнер AT-130 от Icom Б.Витко

46 Ламповые винил-корректоры, год 2000 К.Бобров

48 Усилитель ультра Hi-Fi класса из Амфитона У-002 В.Мещеряков

54 Шумоподавитель для CD, MD и кассетного магнитофона ... C.Нездойминога

58 Шумовые параметры операционных усилителей П.Борщ, В.Семенов

63 CD-ROM энциклопедия

Новые компакт-диски для радиолюбителей

Колонка редактора. Радиоспециалисты знают, что частотная модуляция обладает повышенной помехозащищенностью. Чтобы не делать помех вашему (и нашему ☺) летнему отдыху и зимней спячке, периодичность выхода «Радиохобби» также обладает частотной модуляцией - номера первого полугодия выходят весной (февральский с небольшой задержкой в начале марта, а июньский с некоторым упреждением в мае), а второго полугодия - аналогично осенью в сентябре-октябре-ноябре. Просим учсть этот факт наших новых подписчиков, а старым напоминаем, что в случае недополучения вами какого-либо номера по подписке вышлите в наш адрес вашу подписную квитанцию и справку вашего почтового отделения (заверенную печатью почтового отделения и подписью его начальника) о неполучении журнала по подписке. Мы немедленно вышлем вам недостающий номер индивидуальной бандеролю бесплатно из редакционных неприкословенных запасов.

Обратите внимание! Редакционный Email с 24 февраля изменился на новый radiohobby@mail.ru

Поправки

1) В схеме «Высококачественного подавителя импульсных помех» (рис.3, с.47 «РХ» №6/99) неверно указан тип ОУ. Вместо КР149УД18 должно быть КР140УД18.

2) В схеме «Генератора синусоидального напряжения со сверхнизким коэффициентом гармоник» (рис.1, с.40 «РХ» №5/99) движок резистора R13 должен быть соединен только с резистором R10, следует разорвать связь R10-R11.

VD MAIS

ЭЛЕКТРОННЫЕ
КОМПОНЕНТЫ
И СИСТЕМЫ

01033, Украина, г.Киев - 33, а/я 942
ул.Владимирская, 101
ул.Жилянская, 29

Дистрибутор

AIM, AMP, ANALOG DEVICES, ASTEC, HARTING, MITEL,
BC COMPONENTS, HEWLETT-PACKARD, MOTOROLA, PACE,
КОМ, SCHROFF, SIEMENS, TEXAS INSTRUMENTS и др.

Электронные компоненты,
оборудование и материалы технологии SMT,
конструктивные элементы.
Разработка и изготовление печатных плат

тел. (044) 227-1389, 227-5281,
227-2262, 227-1356,
227-5297, 227-4249

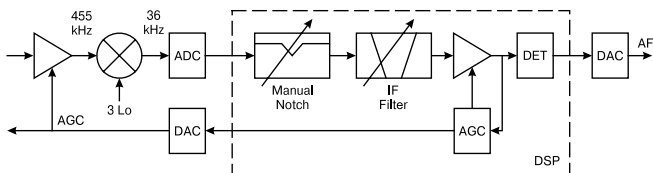
факс (044) 227-3668
e-mail: vdmais@carrier.kiev.ua
<http://www.vdmais.kiev.ua>

НОВАЯ ТЕХНИКА И ТЕХНОЛОГИЯ

В конце 1999 года на рынке появился **трансивер IC-756PRO** (фото см. на первой странице обложки) фирмы **ICOM** (<http://www.icomamerica.com>), в котором применен недавно разработанный 32-битный цифровой сигнальный процессор (DSP) с плавающей запятой, работающий на последней ПЧ 36 кГц. Средства

работающий в реальном времени с переключаемой полосой обзора: $\pm 12,5$; ± 25 ; ± 50 ; ± 100 кГц; одновременный прием двух сигналов на одном диапазоне; встроенные CW ключ с памятью и автоматическое антенное согласующее устройство. **IC756PRO** имеет следующие **технические характеристики**:

- диапазон принимаемых



Блок-схема DSP ICOM IC-756PRO

ми этого DSP реализованы следующие функции и узлы: подавление импульсных помех с регулировкой уровня; NOTCH в автоматическом и ручном режимах подавляет монохромные помехи на 70 дБ; "цифровое" управление системой АРУ; основная селекция по ПЧ с 51 переключаемой полосой пропускания от 15 кГц до 50 Гц; благодаря новому DSP достигнута впечатляющая прямоугольность цифровых фильтров, например в SSB - 2,48 кГц (-6 дБ), 2,7 кГц (-60 дБ), в CW - 510 Гц (-6 дБ), 650 Гц (-60 дБ), в RTTY - 380

Гц (-6 дБ), 510 Гц (-60 дБ); ВЧ компрессор с низкими искажениями, позволяющий использовать в SSB переключаемые полосы излучения: 2,0; 2,6; 2,9 кГц; встроенный RTTY

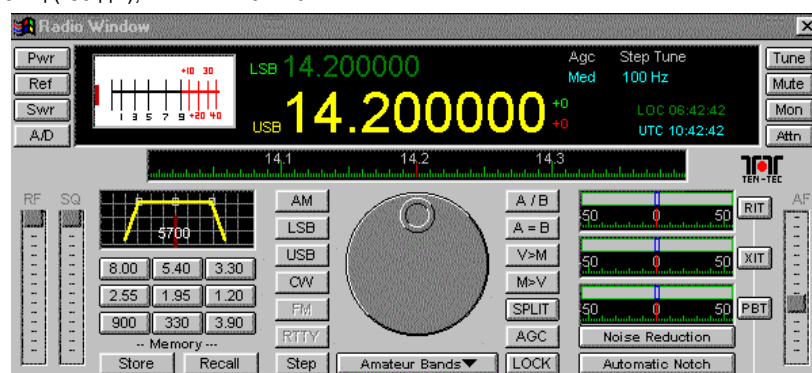
демодулятор с двойным пик фильтром; микрофонный эквалайзер со 121 переключаемой АЧХ различного вида; 5-дюймовый цветной индикатор на жидких кристаллах, впервые примененный в трансиверах, обеспечивает более широкий угол обзора и большее количество отображаемой информации; 8-канальная цифровая память для записи/воспроизведения голосовых сообщений длительностью до 15 с на канал (4 канала для передачи и 4 для приема); изменение полосы пропускания как "снизу", так и "сверху"; спектроскоп,

частот 0,3 - 60 МГц;

- передатчик работает на любительских диапазонах 1,9; 3,5; 7; 10; 14; 18; 21; 24; 28 и 50 МГц;
- разрешающая способность по частоте 1 Гц;
- 101 ка-



Основной блок (сверху) и виртуальная лицевая панель PEGASUS-550



нал памяти;

- выходная мощность TX в CW/SSB/RTTY/FM от 5 до 100 Вт, в AM от 5 до 40 Вт;
- уровень паразитных излучений менее -50 дБ (КВ) и -60 дБ (50 МГц);
- подавление несущей в SSB более 40 дБ, а нерабочей боковой полосы 55 дБ;
- приемник трансивера IC756PRO построен по супергетеродинной схеме с тройным преобразованием и имеет чувствительность 0,18 мкВ от 1,8 до 29,99 МГц и 0,16 мкВ от 50,0 до 54,0 МГц;
- максимальный потребляемый ток 23 А при напряже-

нии питания 13,8 В $\pm 15\%$;

- размеры 340x111x285 мм, вес 9,6 кг.

Американская фирма **TEN-TEC** в середине 1999 года презентовала новый **трансивер "PEGASUS-550"** как один из путей развития приемопередающей техники, объединяющий возможности компьютера и процессоров цифрового синтеза - DSP (<http://www.tentec.com>). При этом его цена (895 USD) в два раза меньше аналогичных аппаратов, например "KACHINA-505DSP" (<http://www.kachinaradio.com>). "PEGASUS-550" соединяется с компьютером (не ниже 486

CW, RTTY(AFSK), FM, AM (только прием);

- диапазон частот: прием - 100 кГц...30 МГц, передача - все любительские диапазоны от 160 до 10 метров;

- два VFO с возможностью работы на разнесенных частотах;

- до 1000 каналов памяти (количество ограничивается только RAM компьютера);

- стабильность частоты: ± 90 Гц при 25°C на 30 МГц в течение 1 года;

- потребляемый ток: 1 A(RX), 20 A(TX) при напряжении питания 12-14 В;

- размеры: 273x130x292 мм; вес 4,1 кг;

- выходная мощность передатчика: от 5 до 100 Вт с системой ALC;

- системы переключения RX/TX: PTT или VOX в SSB, QSK в CW;

- подавление несущей в SSB: не менее 50 дБ;

- подавление нерабочей боковой полосы: не менее 60 дБ;

- интермодуляционные искажения третьего порядка: -25 дБ от уровня двухтонового сигнала при выходной мощности 100 Вт;

- уровень побочных излучений: -40 дБ при пиковой мощности;

- чувствительность: 0,35 мкВ при (с+ш)/ш=10 дБ и полосе пропускания 3 кГц в режиме SSB;

- избирательность: 34 переключаемых DSP фильтра с коэффициентом прямоугольности 1,5 и полосами пропускания по уровню -6 дБ 300 Гц, 330 Гц, 375-750 Гц (с шагом 75 Гц); 900-3000 Гц (с шагом 150 Гц); 3,3-6,0 кГц (с шагом 300 Гц); 8,0 кГц;

- динамический диапазон: 90 дБ при полосе пропускания 3 кГц и расстройке 50 кГц;

- уровень шума: -126 дБм при полосе 3 кГц;

- промежуточные частоты: 1-я - 45 МГц, 2-я - 455 кГц, 3-я - 12 кГц;

- избирательность по зеркальному каналу: не менее 60 дБ.

Известные компании **SHARP** (Япония, <http://www.sharp-world.com>) и **BOSE** (США) объединили свои усилия в деле создания **сверхтонкого телевизора XXI века**. В новой серии телевизоров LC-XX с диагональю от 12 (LC-12A1-S) до 28 дюймов (до 70 см, модель LC-28HD1) экраны на основе

НОВАЯ ТЕХНИКА И ТЕХНОЛОГИЯ



Сверхплоский телевизор на ЖКИ Sharp LC-20SD1 и сверхплоские акустические системы BOSE

ЖКИ (TFT-технология с более чем 900 тыс. элементов) необычно плоские (от 4 до 6 см, т.е. примерно в 10 раз тоньше обычных телевизоров), обеспечивают яркость 450 кд/м² (т.е. такую же, что и в обычных ЭЛТ) при расширенном до 160° угле обзора и сроке службы 60000 часов. Выполненные по патентованной BOSE технологии **Acoustic Wave®**, акустические системы мощностью 2x12,5 Вт (LC-20SD1) имеют толщину всего 5 см, но тем не менее обеспечивают нижнюю граничную частоту 85 Гц. ВЧ и СЧ звуки излучаются с передней панели, в то время как НЧ - с задней, посредством акустического волновода (рупора). Широко- му распространению таких ТВ пока препятствует их высокая цена (около \$10000), но SHARP намерена совершенствовать технологию, что приведет к снижению цен, а также уверена, что к 2005 году все выпускаемые ею ТВ будут выполнены на экологически чистых ЖКИ.

Компания **CMi Worldwide** представила на выставке International Housewares Show в Чикаго устройство **iCEBox**, в котором интегрированы функции телевизора, средства просмотра информации в Web, электронной почты и аудио CD-плеяера. Причем устанавливать это устройство предполагается на кухне, но обслуживать оно будет весь дом.

Фирма **JVC**, оставаясь верной своему принципу "переходить дорогу" чужим видеоформатам (надо сказать, ранее довольно успешно воплощаемому - VHS в свое время успешно победил Betamax, Video2000, а также Video8, а S-VHS - Hi8), на вызов конкурирующих цифровых быто-

вых видеоформатов miniDV и Digital8 ответила новой модификацией VHS - на этот раз вкупе с Philips (а также Hitachi и Matsushita). Новые **видеомагнитофоны JVC HM-DR10000** (<http://www.coda.ru/vcr/hm-dr100.htm>) и **Philips VR20D** (<http://www.us.sv.philips.com/vision/dvhs/>) работают в цифровом формате **DVHS (DigitalVHS)**, обеспечивая

полную совместимость "вниз" с VHS и

ты в этих старых добрых видеоплатформах. Внешне DVHS кассеты и видеомагнитофоны мало отличаются от привычных, но содержат аппаратные MPEG2 кодер и декодер, а также видео и аудио АЦП/ЦАП, т.е. оцифрованные видео и аудиосигналы перед записью на ленту скжимаются. Стандартом DVHS предусмотрены несколько режимов сжатия: стандартный **STD mode** с потоком 14,1 Мб/с, несколько долгиграющих - с самым сильножатым **LS1 mode** (2,0 Мб/с) и слабожатым **LS4** (7,0 Мб/с), а также **HS mode** с потоком 28,2 Мб/с для записи телевидения высокой четкости (HDTV). Время записи HM-DR10000 на кассету DF-480A составляет 8 часов в режиме **STD** и 24 часа в режиме **LS3** (4,7 Мб/с), т.е. всего на кассету записывается до 40 Гб информации. Линейная скорость движения ленты в этих режимах соответственно 16,67 и 5,56 мм/с. Качественные характеристики: полоса частот сигнала цветности 3,375 МГц (у S-VHS 0,5 МГц), разрешающая способность сигнала яркости 540 твл (у S-VHS 400 твл),

телефон JVC, кроме того, снабжен аналоговой системой SVHS-ET, благодаря которой запись с качеством SVHS (разрешение 400 твл) может быть выполнена на обычную VHS (вдвое дешевле, чем SVHS) кассету. По шине IEEE 1394 DVHS могут соединяться с цифровыми источниками видеосигнала (*miniDV* видеокамерами, цифровыми ТВ тюнерами *SKY PerfecTV!* и др.).

Недавний лидер миниатюрной аудиотехники – фирма **Sony**, явно проморгав первую волну интереса к MP3-плеерам, выпустила свой вариант, назвав его **NW-MS7 Memory Stick Digital Walkman** (раньше предполагалось название Netman). С 64-МБ картой памяти типа "MagicGate Memory Stick" (на самом деле это разновидность флеш-памяти) до 80 минут музыкальных файлов могут быть загружены из ПК через USB-порт. Литиевые батареи обеспечивают до 4 часов непрерывного воспроизведения. Впрочем, с ценой в \$399 такой плеер вряд ли потеснит уже заполнивших нишу \$150-200 конкурентов (**Samsung Yepp**, **Diamond Multimedia Rio**, **Creative Nomad** – <http://promotions.yahoo.com/promotions/hotproducts/mp3.html>). В конкурентной борьбе за покупателя одни, кроме MP3, вводят возможность прослушивания аудиофайлов в других форматах (например, **Lyra** производства компании **Thomson Multimedia** – в формате **Real G2**), другие демонстрируют чудеса микроминиатюризации. Так, **Samsung** выпускает **цифровой диктофон** (до 99 сообще-



Видеомагнитофоны DVHS JVC HM-DR10000 (сверху) и Philips VR20D (снизу, в том числе с открытым корпусом и откинутой передней панелью)

SVHS, т.е. имеют возможность как воспроизводить, так и записывать обычные кассе-

ты отношение сигнал/шум звукового канала 110 дБ (у S-VHS-HiFi 80 дБ). Видеомагнито-

Super VHS ET
SVHS RECORDING
ON VHS TAPE

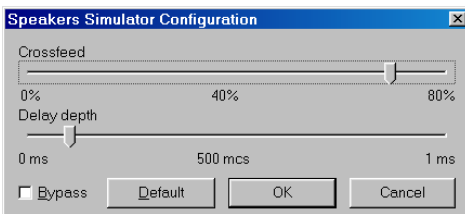
MP3-плеер AUDIOVOX MP-1000 – один из самых доступных (\$140)

НОВАЯ ТЕХНИКА И ТЕХНОЛОГИЯ



16 мм, 32 г, содержат **встроенную цифровую фотокамеру** с ЖК-дисплеем-видоискателем 20x20 мм и инфракрасным адаптером, посредством которого отснятые изображения через СОМ-порт можно транслировать на ПК в jpg или bmp-файлы. Джеемс у Бонду такое и не снилось!). А Samsung со-

на основе 0,15-микронной технологии специалисты из Samsung удалось создать



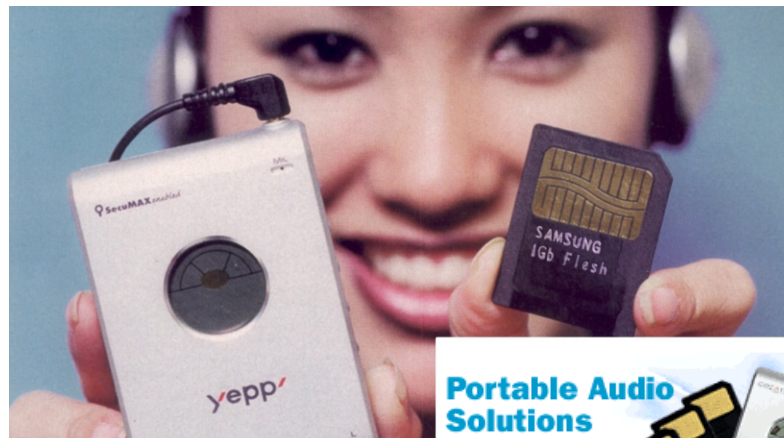
флеш-карту с объемом памяти 1 Гб (128 МБ), которой достаточно для 2-часовой записи с высоким качеством (<http://www.samsungelectronics.com>). Правда, это пока опытный образец, но массовое производство планируется уже в 2001 году.

Любители воспроизведения аудиоСD через ПК знают, что качество ЦАП многих CD-ROMов заметно хуже, чем звуковых карт. Но для обеспечения высокого качества вместо соединения аналогового аудиовыхода CD-ROM с линейным аналоговым входом звуковой карты приходится сначала

“сгребть” музыкальные композиции с CD в wav-файлы, а уже потом воспроизводить их через звуковые карты. Программа **CD-Reader** Владимира Кольева (бесплатная



ний, длительность записи 70 минут) **SVR-P700** размером с авторучку – диаметр 18 мм, длина 148 мм, вес с батареей AAA и миниатюрными



Portable Audio Solutions



встроенным динамиком всего 41 г. Фирма **Casio** встроила **MP3-плеер WMP-1V** в наручные часы 49 x 54 x 19 мм, 70 г (“лирическое отступление” не по теме: наручные часы **Casio WQV-1** 40 x 52 х

средоточила свое внимание на ахиллесовой пятне MP3-плееров – малом объеме флеш-памяти. Ведь нынешних 32 или 64 МБ флешек хватает всего на несколько десятков минут звучания.



версия размером 85 К доступна на <http://www.url.ru/~cospah/CDReader.htm> выполнена в виде плагинов для WinAMP (2.0 или старше), а также Sonique 1.30 и позволяет автоматизировать извлечение цифровых звукоданных с CD и их перенаправление в звуковую карту. Если будете на этом сайте, скачайте заодно и еще один небольшой (43 К) плагин – **Speakers Simulator** (<http://www.url.ru/~cospah/SpeakersSimulator.htm>), который позволяет устранить “плоскостность” при прослу-

НОВАЯ ТЕХНИКА И ТЕХНОЛОГИЯ

шивании музыкальных программ на головные телефоны, эмулируя объемное звучание (с возможностью регулировки как глубины задержки от 0 до 1 мс, так и степени перекрестного смешивания каналов от 0 до 80%), характерное для акустических систем.

Вы хотите открыть on-line-радиовещание или автомат-проигрыватель (Juke-box)? Нет ничего проще! На сайте <http://audiohighway.com> буквально за несколько минут можно зарегистрировать **собственный "Juke-box"**, информационное наполнение которого в виде звуковых MP3, Real Audio или Windows Media Audio вы будете планировать сами. Здесь же можно получить бесплатный e-mail адрес и 24 МБ для вашего персонального Web-сайта или ИНТЕРНЕТ-“радиостанции”.

Новый пакет программ для анализа и синтеза электронных схем и систем “от А до Я” (включая распространение радиоволн) **Serenade Version 8.5** фирмы AnSoft (<http://www.ansoft.com>) ориентирован на проектирование радиочастотных и СВЧ устройств и связных комплексов, например, GSM. В интегрированный комплект Serenade входят: Symphony - программа ана-

лиза систем связи (с встроенными AM, FM, GMSK, PSK, DQPSK, OQPSK, QAM и др.), Harmonica - анализ линейных и нелинейных схем, Ensemble - анализ s-параметров и электромагнитных полей микрополосковых линий и планарных структур, Optimetrics - пакет оптимизации схем и систем, PCB Thermal - разводка микропечатных плат и анализ их температурных режимов, Si3D - генерация SPICE-моделей на основе их физических параметров, ANSOFT HFSS - 3-мерное моделирование электромагнитного поля.

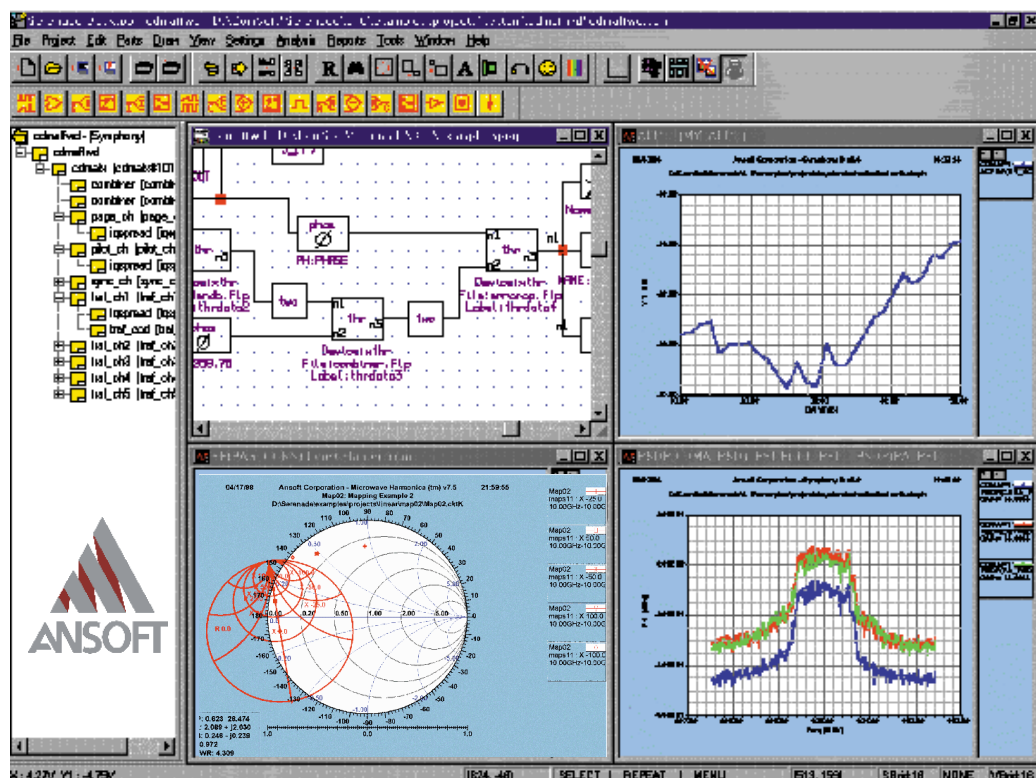
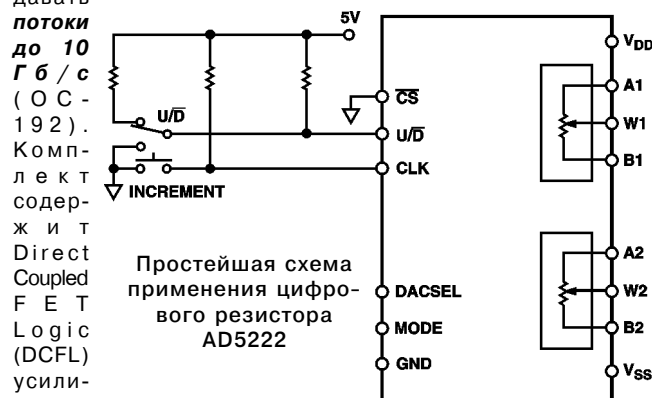
Colexant Systems, Inc. (США) начала производство полупроводниковых приборов на основе кремний-германиевой **SiGe технология**, сочетающей в себе лучшие свойства как Si, так и Ge и позволяющей учесть верить скорость переключения при сохранении высокой технологичности и низкой кремниевой стоимости. В первую очередь фирма намерена использовать 0,35-микронную SiGe технологию при производстве биполярных комплементарных МОП (BiCMOS) радиочастотных связных и сетевых устройств для частот **до 70 Гц** при напряжениях питания до 2,5 В (<http://www.rfglobalnet.com/read/n120000128/78892>)

Hitachi Semiconductor of America Inc. на основе 0,35-мкм BiCMOS технологии создала **ИМС HD155131TF**, выполняющую функции **двуходового приемопередатчика** (дуплекс) с напряжением питания от 2,7 до 3,3 В и током потребления 45 мА в режиме приема, 60 мА в режиме передачи и менее 1 мА в дежурном режиме. Выполненная в миниатюрном корпусе thin-quad flat package-56 (TQFP-56), эта ИМС знаменует новый шаг в миниатюризации радиотелефонов (<http://www.rfglobalnet.com/read/n120000204/82417>).

При напряжении питания 2 В и потребляемой мощности 250 мВт **GaAs ИМС KGL4217** фирмы **Oki Semiconductor** (США), разработанная для применения в оптических каналах связи, позволяет передавать потоки до 10 Гб/с (O C - 192). Комплект содержит Direct Coupled FET Logic (DCFL) усили-

тель-ограничитель, а также мультиплексор 16:1 и демультиплексор 1:16 на основе ЭСЛ (по технологии GaAs MESFET), работающие на частотах до 12,5 ГГц (<http://www.fiberopticsonline.com/read/n120000118/71797>).

С помощью недорогого спаренного цифрового потенциометра **AD5222** Analog Devices (<http://www.analog.com>) можно осуществлять 128-точечную регулировку напряжения, громкости, тембра без использования микроконтроллера - пошаговое изменение сопротивления резистора в простейшем случае производится нажатием кнопки. Выпускаются резисторы следующих номиналов: 10 кОм, 50 кОм, 100 кОм и 1 МОм. При включении питания (от 2,7 до 5,5 В, 15 мА) потенцио-



метры устанавливаются в “среднее” положение (Raw = Rwb). Выход CS разрешает изменение состояния, U/D – управляет направлением движения “ движка”, каждый импульс на входе CLK изменяет сопротивление между “ движком” и концами на 1/128 полного диапазона его изменения. MODE = 0 обеспечивает синхронное изменение обоих резисторов, MODE = 1 позволяет управлять отдельно каналом A1W1B1 (DACSEL = 0) или A2W2B2 (DACSEL = 1). Собственная емкость 45 пФ, коэффициент гармоник 0,005%, время установления 2 мкс, максимальный ток через резисторы 20 мА.

DX-КЛУБ «РАДИОХОББИ»

Александр Егоров, г. Киев



[Время в рубрике: по умолчанию всемирное координированное (UTC) меньше киевского (KT) зимой на 2 ч, летом на 3 ч и меньше московского (MSK) соответственно на 3 и 4 ч. Частоты указаны в кГц, а на УКВ в МГц. Для перевода частоты в килогерцах в длину волн в метрах следует разделить 300000 м на число килогерц. Расписания работы радиостанций могут изменяться в течение всего сезона вещания]

Поздравляю с 2000 годом - годом максимума солнечной активности! Будем жить дружно с «красным драконом»: не перегревайтесь летом на солнышке, лучше слушайте приемник в тенечке.

НОВОСТИ, СОБЫТИЯ, РАСПИСАНИЯ, СООБЩЕНИЯ DX-передач и DX-изданий

АВСТРАЛИЯ. 8 января в 1350 на 16000 кГц с очень хорошей силой сигнала услышал радиостанцию точного времени VNG из Лэндайлло, Австралия - я даже сначала обрадовался, что это какая-то новая станция появилась в окрестностях Европы. Каждую минуту передавалось точное время мужским голосом, а в промежутках - секундные импульсы. В конце часа объявлялись частоты вещания: 2.5, 5, 8.638, 12.984 и 16 МГц. Сигнал на 16 МГц был слышен еще на протяжении около часа, постепенно ослабевая. На других частотах VNG не было слышно. Интересно, что не так давно в электронных DX-изданиях было сообщение о том, что станция стандартного времени и частоты VNG может оказаться закрытой в 1999 году, т.к. организация National Standards Commission подумывает о прекращении ее финансирования. Однако, консорциум пользователей VNG хотел бы, чтобы станция продолжала работу, ведь это достаточно дешевая и в то же время доступная служба времени.

АЛЖИР/ИРЛАНДИЯ. После некоторого периода неопределенности на частоте 252 кГц, когда на ней на некоторое время в конце 1999 г исчезали из эфира то Р.Алжир, то Р.Атлантик-252, с началом 2000 г ситуация восстановилась: обе станции по-прежнему работают на этой частоте, несмотря на то, что Р.Алжир якобы уходило на другую частоту - 648 кГц, а Р.Атлантик-252 была пригворена к уходу с частоты 252 кГц из-за окончания срока действия лицензии. По сообщению Кима Эллиотта в декабрьской DX-программе Communications World, эта популярная музыкальная радиостанция, у которой теперь новый директор программ, не должна быть закрыта к концу 1999 г, как это предполагалось. Что же касается ее слышимости в Киеве, то ввиду того, что на этой же частоте работает Р.Татарстана, без помех Р.Атлантик-252 бывает слышно лишь короткий промежуток времени с 0100 (время выключения Р.Алжира) до приближительно 0140 (время включения татарского передатчика).

АРГЕНТИНА. До 5 марта Radiodiffusion Argentina Al Exterior (RAE) ведет с понедельника по пятницу в следующие часы: 10-12 янв. 11710; 12-14 исп. 11710; 18-19 англ. 15345 кГц; 19-20 итал. 11710 15345; 20-21 фр. 11710 15345; 21-22 нем. 15345; 22-23 исп. 9690 15345; 23-24 исп. 9690 15345; 00-02 порт. 11710; 02-03 англ. 11710 кГц; 03-04 фр. 11710. Передачи местной станции Radio Nacional Buenos Aires по сб и вс ретранслируются 09-12 6060 15345. R.Diez из Буэнос-Айреса иногда принимается около 2300 на 15820 и 20276 в режиме LSB.

ВОСТОЧНЫЙ ДИАПАЗОН УКВ ОТМЕНЯЕТСЯ. Вслед за Латвией еще одна страна Восточной Европы отказалась от использования восточного (нижнего) диапазона УКВ 66-73 МГц. 3.12.99 Польское Радио объявило, что с 1 января 2000 г всем польским радиостанциям рекомендуется прекратить вещание в этом диапазоне УКВ и перевести его в разрешенный для вещания в Польше с 1990 г западный диапазон 88-108 МГц (FM). Однако, некоторые станции продемонстрировали свое нежелание уходить с этого диапазона, например известная католическая сеть Радио Мария, имеющая несколько передатчиков в этом диапазоне.

Вопрос радиослушателя RCI: «Почему некоторые страны как, например, Латвия отказываются от использования восточного диапазона УКВ и полностью переходят на западный? Ведь известно, что частотный спектр - это товар дефицитный, а тут добровольно от него отказываются».

Отвечает Майя Каминская - ведущая Клуба DX RCI: «Чтобы ответить на этот вопрос, начните немного истории. Стоит прежде всего напомнить, почему страны бывшего восточного блока, кроме бывшей ГДР, для станций с частотной модуляцией применяли отрезок частот от 66 до 73 МГц, в то время как страны западного блока - от 88 до 108.

Времена эти далекие: всех подробностей я уже не помню, но наверняка могу сказать, что не последнюю роль тут играли политические соображения. Стоит напомнить, что в те времена все решения в рамках OIRT - организации по делам радио и телевидения, объединившей страны восточного блока - принимали специалисты Советского Союза, а представители остальных восточно-европейских стран бесприкосновенно им подчинялись, за исключением, пожалуй, лишь Румынии, но это уже было позднее, когда Чаушеску стал проявлять независимость. Я сама была свидетелем непокорности румынских специалистов, когда на совещании по согласованию телевизионных каналов дециметрового диапазона они упорно отказывались пойти на советские предложения, чем привели в полное замешательство остальных участников конференции. А возвращаясь к радио, надо отметить, что Советский Союз не хотел, конечно, допустить до возможности приема западных радиостанций в приграничных районах Чехословакии, Венгрии, Болгарии, Эстонии или даже Карелии и Закавказья. Поэтому в выпускаемых тогда приемниках даже не было диапазона частот от 88 до 108 МГц.

Таковы были соображения чисто политического характера, но были и технического. Дело в том, что телевизионные стандарты также отличались друг от друга: у стран OIRT ширина телевизионного канала составляла 8 МГц, у стран CCIR - 7 МГц. Таким образом, станции УКВ в стандарте OIRT создавали помехи западному телевидению, а станции FM - восточному. Были и другие соображения, в основном связанные с иными видами служб. Теперь же все это приходится приводить в порядок тем странам, которые свое будущее видят в рамках Европейского Союза - к ним относятся все страны Восточной Европы кроме России и Белоруссии. Почему же им приходится отказываться от использования частот УКВ стран бывшего OIRT? Во-первых, этот отрезок частот используется в странах ЕС для подвижных служб и, конечно, страны, которые войдут в него, не могут применять его для других целей и создавать помехи. Кроме того, страны ЕС стремятся к использованию одного и того же стандарта как для передающих устройств, так и для приемников. Еще один немаловажный повод: передающая аппаратура большинства станций УКВ уже устарела и требует модернизации, а значит крупных расходов, и в создавшейся ситуации нет смысла тратить на это средства.

Что же касается нехватки частот, то внедрение новых технологий и тут облегчает положение: переход в недалеком будущем на цифровое вещание с возможностью применения компрессии позволит более эффективно использовать частотный спектр. Учитывая все эти факторы, страны, стремящиеся войти в ЕС, постепенно полностью откажутся от использования старого диапазона УКВ и перейдут на западный FM».

ГЕРМАНИЯ. За последние 3 года бюджет Немецкой Волны (DW) в размере 635 млн марок должен быть сокращен на 89 млн. Это приведет к ликвидации программ на многих языках и, соответственно, к большому сокращению штатов. По предварительным данным это касается 1300 чел в главной штаб-квартире DW в Кельне и еще 400 среди работников телевидения в Берлине. Раньше предполагался переезд редакций и студий из Кельнского небоскреба в Бонн. Теперь, очевидно из-за финансовых трудностей этот план не будет осуществлен.

В то же время DW подобно BBC делает все возможное, чтобы не потерять слушательскую аудиторию. С этой целью вместо KB-трансляций будут использоваться, где это возможно, трансляции через местные станции с передачей сигнала через спутники.

С 1 января сокращение финансирования начало ощущаться: DW прекратило вещание на чешском, словацком, словенском, венгерском, японском, испанском и португальском в направлении Бразилии. На коротких волнах становятся все свободнее.

НЕЛЕГАЛЬНАЯ РАДИОСВЯЗЬ. З 1 января в 0800 обнаружил новый участок частот, который используют для нелегальной радиосвязи в режиме SSB так называемые «свободные операторы» России и ее окрестностей. Основная «вызывная» частота 10460. Известны еще по крайней мере два участка частот для такой связи: 2900-2930 и 6600-6700. Первый участок также используется, в основном, российскими операторами, а второй участок - европейскими. Характерно, что наши нелегалы на этих диапазонах пользуются обычно военными типами передатчиков с достаточно качественными характеристиками: стабильная и точная частота с дискретностью установки обычно 10 кГц, вполне качественная модуляция. Для приема таких кратных какой-то частоте SSB-сигналов на приемник любого типа с успехом можно применять генератор сетки частот.

НОВАЯ ЗЕЛАНДИЯ. С 9 января по 19 марта Radio New Zealand International работает: пн-пт 1605-0605 и сб,вс 1850-0605 17675; 0605-1005 17690; нерегулярно для спортивных трансляций или других важных передач типа предупреждений о тихоокеанских циклонах время передач 1005-1505 6105 и 1505-1650 6145.

НОВЫЕ ПРИЕМНИКИ ФИРМЫ «ГРУНДИГ» (из передачи «DX-новости» Р.Словакия). Недавно неожиданно в печати и в Интернете появилась информация, что в ближайшее время фирма Grundig (Grundig) начнет продавать два новых типа портативных приемников: Сателлит (Satellite) 800 и 900. Эта информация в контрасте с сообщением фирмы Grundig несколько лет назад и подтвержденной приблизительно полгода назад, что производство приемников ряда Сателлит будет закончено типом 700. Что же произошло? Что стало причиной такого оборота?

Фирма Grundig была известна как крупное немецкое предприятие, выпускающее электронику. Такая характеристика давно уже не соответствует действительности: немецкий Grundig приблизительно 6 лет назад попал под голландскую фирму Philips (Philips), а в США образовалось предприятие Grundig-North America. Оно закупило всю документацию и оставшиеся детали из Германии. В этом пакете были и разработки запланированных в производство приемников типов 800 и 900. Значит, замысел выпускать эти приемники исходит только из США, и немецкий Grundig со своим ограниченным производством телевизоров, спутниковых антенн и небольших так называемых кухонных приемников, а также голландский Philips не имеют к этому никакого отношения.

Последние типы приемников ряда Сателлит выпускал ныне уже несуществующий филиал Grundig в Португалии, а последние типы портативных приемников и авторадио производились в Китае. Значит, Сателлиты 800 и 900 начнет выпускать американский Grundig. В их разработке, говорят, принимала участие также и другая американская фирма Drake. Само производство было заказано опять же в Китае. Продаваться новые приемники будут вначале по всей вероятности только на рынке в США и Канаде. Об этом свидетельствует, например, и то, что предложение новых Сателлитов в Европе пока не зарегистрировано, в то время как в Америке некоторое время были известны уже все детали, включая цены. Это касается прежде всего «восьмисотки», продажа которой началась в ноябре 1999 г. Очередь «девятисотки» придет несколько месяцев спустя, из чего можно предполагать, что продаваться они будут уже под рождество 2000 г. Вряд ли фирма решилась бы выбросить на рынок вслед друг за



другом сразу два приемника, тем более что конструкции их особенно не отличаются.

Что можно сказать о приемниках ряда Сателлит? «Восьмисотка» - довольно крупный аппарат весом 7 кг, размером 52x22x20 см. По виду он напоминает предыдущий тип 650. Работает в диапазонах от 0.1 до 30 МГц, в FM 87-108 МГц и в авиадиапазоне 118-137 МГц. Новинкой является очень полезный, но в редких приемниках действительно надежно действующий синхродетектор для снижения интенсивности исчезновения слабого сигнала. Приемник оснащен тремя электро-механическими фильтрами 2.3, 4 и 6 кГц. Далее 7 ячеек памяти, аналоговый S-метр, AGC-аттенюатор, точная настройка шагом 50 Гц для SSB и таймер с дуальной 24-часовой системой. В распоряжении имеются антенные подсоединения Short Waves, AM, FM и VHF Aircraft Band, а также подключение динамика и магнитофона. Сателлит 800 продает фирма Universe Radio за приблизительно \$500.

Что касается Грундига 900, то это, говорят, только что родившийся ребенок, которого все ждали - он должен стать продолжением «семисотки»: будет у него синхродетектор, интерфейс для персонального компьютера, дисплей LCD, возможность принимать текстовые сообщения, расширенная память, двойной Alarm и Sleep-timer.

ПОЛЬША. В марте 1999 г польский национальный Совет по вещанию выдал лицензию Р.Рация (R.Racjja), вещающей на Беларусь. Новая радиостанция в эфире на белорусском языке в диапазоне FM 105.5 1500-1600 из Белостока и на коротких волнах 49 м 6035 0500 и 0600, 6180 1100 из Варшавы. На коротких волнах как всегда слышен характерный для польских передатчиков гул, частотная характеристика звука очень искаженная, без низких частот. Расписания часто меняется.

РОССИЯ. Р.Чечня Свободная работает на коротких волнах по такому расписанию: 5935 3-6, 7305 18.30-21, 7335 3-7, 7340 14.30-21, 7355 15-18, 7445 14.30-21, 9470 6-14, 11635 6.30-14.30, 15605 7.30-14. На средних волнах: 594 и 1089. Все чаще высказывается мнение, что, создавая эту станцию, Москва последовала примеру стран НАТО, которые вели две войны в Косово: одну с помощью воздушных налетов, вторую с помощью средств массовой информации и прежде всего радио. По сообщениям из Москвы у чеченских боевиков работают уже 23 радиостанции, две из которых вещают на арабском языке. Так что Москва решила создать источник информации, представляющий собой противовес чеченской точке зрения - эту роль и должна играть РЧС.

США. Программы на вьетнамском языке передаются радиостанцией Que Huong Radio с Гавайских островов в направлении Вьетнама через 100-кВтный передатчик KWHR: лн-чт 1300-1359 9930, лн-сб 2300-2359 17510.

С 5 февраля DX-программа Communications World Голоса Америки в программе VOA News Now выходит в эфир одной передачей продолжительностью 22 минуты вместо 3 сегментов по 9 мин. Новое расписание: по субботам в 0132, 0532, 0932, 1332, 1732 и 2132. Сохраняются 28-минутные передачи CW по WRN через спутник Astra и в Интернете, а также через радиостанции WWCR вс 0300 5070 и лн 0630 3210, WBCQ вс 2130 7415 и через Гринвилльский передатчик сб 0700 6873, вс 1400 18275 (обе передачи в режиме DSB без несущей).

УКРАИНА. Как известно, весной 1999 г во время разгорающейся президентской избирательной кампании были прекращены трансляции пленарных заседаний Верховной Рады Украины по 1-й программе Украинского радио. Возобновились они в октябре на волнах киевской коммерческой радиостанции «Радио РОКС-Украина». В Киеве «Р.РОКС-Украина» работает через передатчики мощностью около киловатта на частотах 67.70 и 103.6 МГц.

Кстати, в Интернете недавно появилась очень интересная и красочная страничка, посвященная радиовещанию в Украине и состоянию СВ, УКВ и FM диапазонов в украинских городах. Приводятся всевозможные данные, касающиеся государственных и коммерческих радиостанций: частоты и время работы, мощности и типы передатчиков, логотипы станций, исторические сведения и многое другое. Автор и составитель странички Борис Скуратовский - в прошлом ведущий рубрики «Новости радио» в газете «Пятница», а ныне диктор новостей «Р.РОКС-Украина». Адрес: <http://www.skratov.com>

/skuratov.tripod.com. Несмотря на то, что страничка составлена на украинском языке, особой трудности даже для россиян это, я полагаю, не представляет.

ЦИФРОВОЕ ВЕЩАНИЕ. Только приблизительно две недели в ноябре проводились консорциумом Digital Radio Mondiale (DRM) экспериментальные трансляции в режиме с цифровой модуляцией через передатчики DW в Синеше, Португалия на частотах 25770 и 21470 кГц.

Желаю успешного радиоприема и 73!

Присыпайте интересную информацию или вопросы на мое имя в редакцию или на мои адреса: 1) Украина, 03115, Киев-115, а/я 497/1; 2) E-mail: egorov@radiolink.net; 3) Fidonet: 2:463/197.38.

ЗАГАДКИ ЭФИРА

Александр Костюкович, Киев

Наверное, каждый начинающий DXист, «прогуливаясь» по коротковолновым частотам, обнаруживал нечто странное: группы каких-то цифр или букв, зачитываемые монотонным, часто лишенным эмоций голосом. Особенно легко эти передачи принимаются в темное время суток не только на междиапазонных (служебных) участках коротких волн, но иногда и на вещательных «территориях», где создают значительные помехи радиовещательным станциям. Работа ведется как в режиме амплитудной модуляции (AM), так и с использованием одной боковой полосы (SSB). Очень часто такие трансляции принимаются с довольно сильным и стабильным сигналом, в связи с чем для наблюдения за ними можно применять даже простую бытовую аппаратуру.

Что же это за станции? Что означают все эти группы цифр? Для кого или для чего они предназначены? Вот некоторые вопросы, которые возникают у тех, кто впервые слышит подобные передачи. Попытаемся же разобраться в этой темной и малоизвестной стороне эфира.

Итак, начнем! Голоса, зачитывающие группы цифр или букв - это так называемые НОМЕРНЫЕ СТАНЦИИ. Практически никакой официальной, общедоступной информации относительно номерных станций нет, и любые такие сведения добываются исключительно благодаря стараниям групп активистов, посвятивших себя этому экзотическому виду DXинга, часто они основываются на предположениях и наблюдениях. В Европе существует ассоциация, объединяющая таких любителей, она называется ENIGMA (European Numbers Information Gathering & Monitoring Association) и выпускает собственный информационный бюллетень, в котором публикуются последние известия из мира номерного вещания, различные интересные статьи, наблюдения.

Сегодня точно известно, что почти все станции, о которых рассказывается в вышеупомянутом бюллетене, являются средствами информационной связи между определенными государственными разведывательными службами и их агентами.

Существует великое множество способов шифровки, видов позывных и методов передачи зашифрованной информации. И именно эта тройка признаков наряду с некоторыми другими лежит в основе современной классификации номерных станций, которую разработала ассоциация ENIGMA. Каждой станции присвоено особое название и буквенно-цифровой код. Буква в нем обозначает язык или метод передачи, а числа - порядковые номера станций в данной языковой группе. Используют следующие буквы: E - английский язык, G - немецкий, S - славянские, V - все остальные языки, M - передача с использованием телеграфной азбуки или телетайпа, X - другие способы передачи.

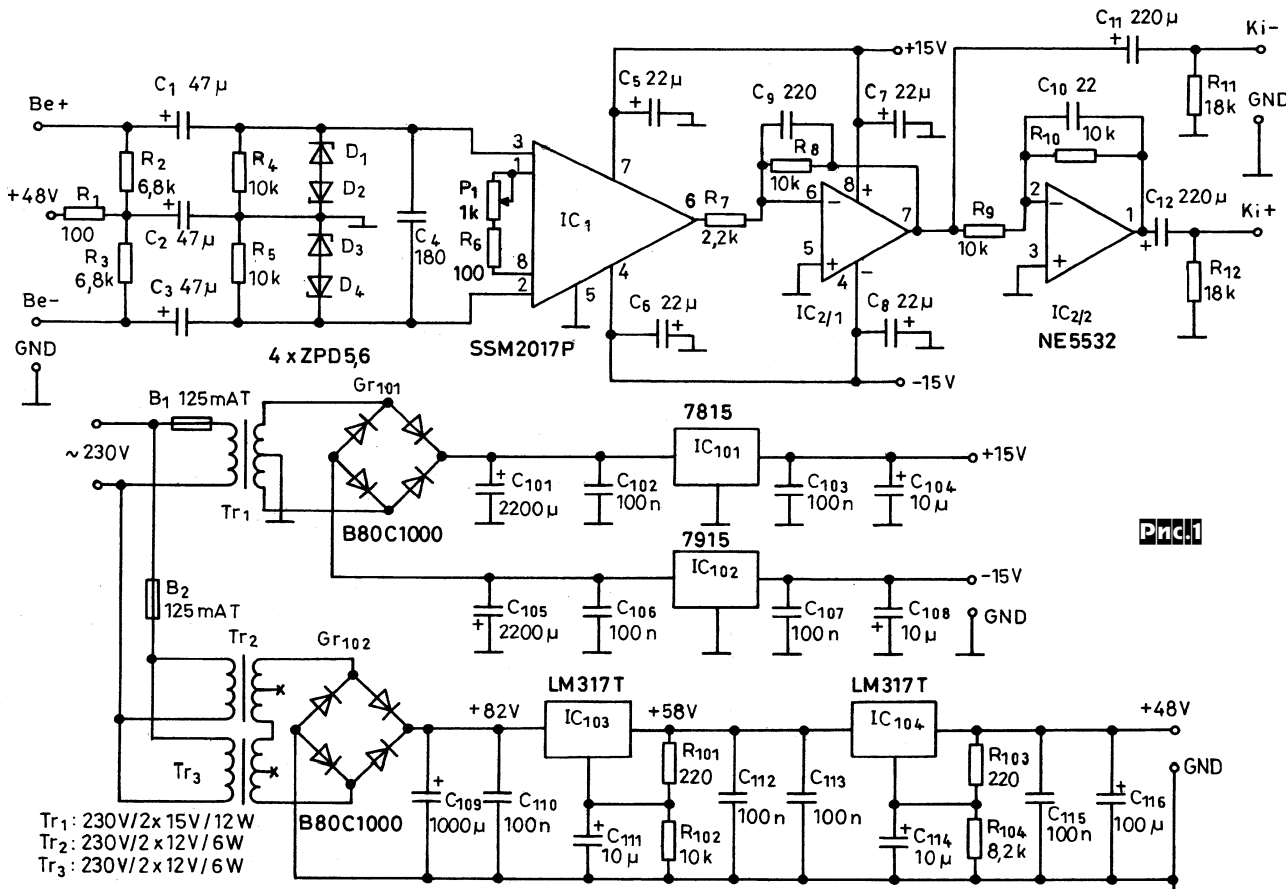
Иногда вещатели, обозначенные разными буквами, но одинаковыми числами, являются «родственными», например: E6, G6, S6, V6 - все четыре принадлежат бывшей КГБ/ГРУ, но передают шифровки на разных языках: английском, немецком, русском и испанском соответственно. Примеры названий: G19 German Man, ends 000000 (немецкоязычные трансляции, передаются мужским голосом, заканчиваются на последовательность «000000»); E4 Cherry Ripe (цифры читаются на английском языке, в позывном использовано название мелодии).

Шифровки могут передаваться или «живым» (произносятся человеком), или автоматически - звуки формируются с помощью компьютеризированных систем. Яркий пример - испаноязычная номерная станция V20 The Bored Man: информация выдается в эфир таким скучным и малоизнадавшим голосом, что создается впечатление, будто диктору вся его работа уже давно осточертела, и ему плевать на все эти цифры. Компьютерный голос нетрудно отличить от живого, когда станция повторяет несколько одинаковых знаков, например: 444. В этот момент хорошо слышно, что все четверки произносятся с совершенно идентичной интонацией, человек на такое не способен.

Кроме голоса, телетайпа и морзянки нередко используются довольно необычные способы передачи сообщений, например: станции XP Polytone, XPH Polytone High Pitch и XPL Polytone Low Pitch транслируют передачи, состоящие исключительно из звуковых сигналов разной тональности, которые соответствуют определенным цифрам. Шифраторами и дешифраторами в этом случае, очевидно, являются также компьютерные системы.

Кроме средств информации разведывательных служб в обширной классификации ENIGMA представлены специальные контрольные вещатели, однобуквенные радиомаяки, ложные станции точного времени и, наконец, нечто такое, что вообще не поддается никаким объяснениям, как, например, станция XW Workshop, которая еще будет упоминаться неоднократно.

(Продолжение следует)

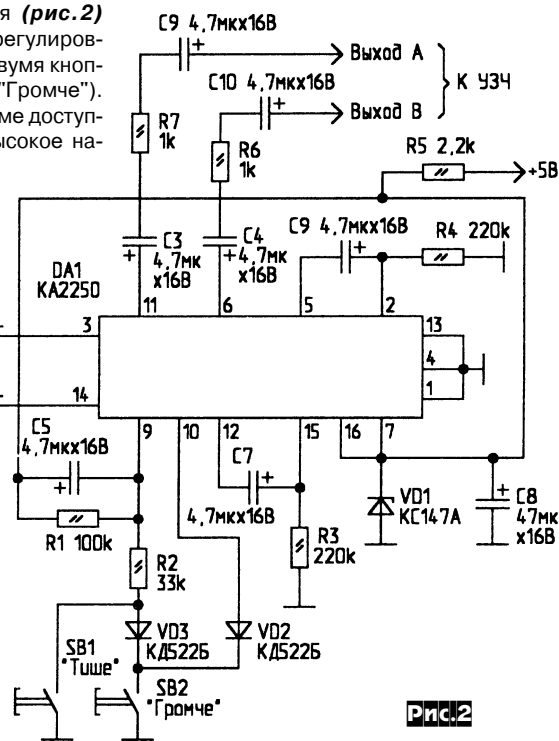


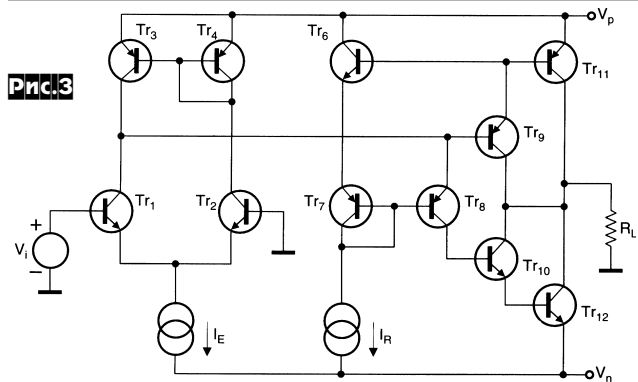
Мик Тибор разработал схему бестрансформаторного предусилия с балансными входом и выходом (рис. 1) для студийного конденсаторного микрофона. Основное усиление выполняет специализированная ИМС IC1 (малошумящий дифференциальный усилитель со скоростью нарастания 17 В/мкС и спектральной плотностью напряжения шумов, приведенного ко входу, 0,95 В/√Гц), коэффициент усиления этого каскада $K_u = (10000[\Omega]/R_1 + 100[\Omega]) + 1$ можно регулировать подстроечником Р1. Вход защищен как от статического электричества или бросков напряжения (D1-D4), так и от радиочастотных наводок (C4). Второй и третий каскады на ОУ IC2/1 и IC2/2 соответственно обеспечивают дополнительное усиление (в R8/R7 раз), развязку для стандартной 600-омной нагрузки и организацию противофазного (балансного) выхода без применения трансформатора. Блок питания, кроме обеспечения стабилизированных двухполарных напряжений для IC1, IC2, формирует высокостабильное фантомное питание (+48 В) микрофона ("Radiotekhnika" №1/2000, с.21-24 *).

С.Сыч для замены довольно посредственного по шумам и искажениям электронного регулятора громкости

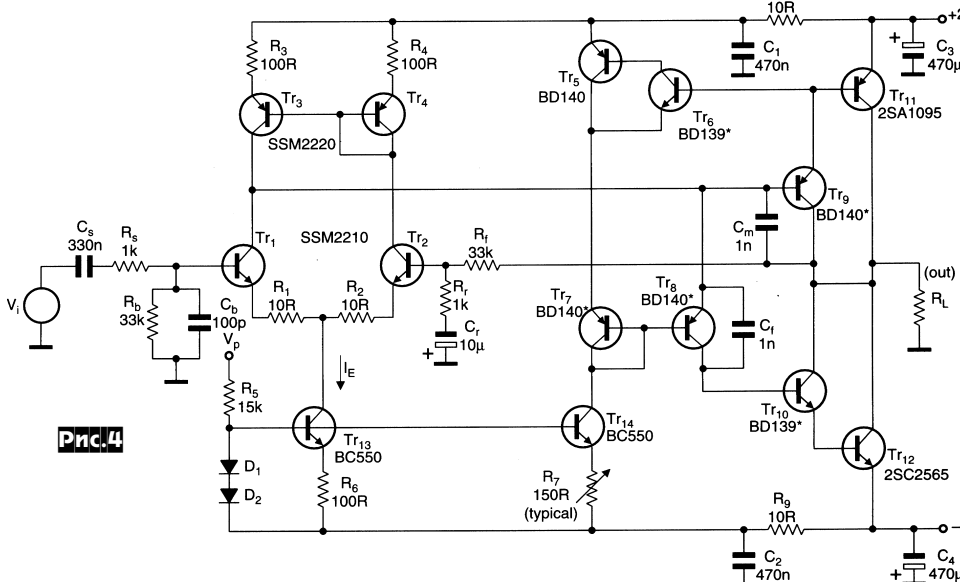
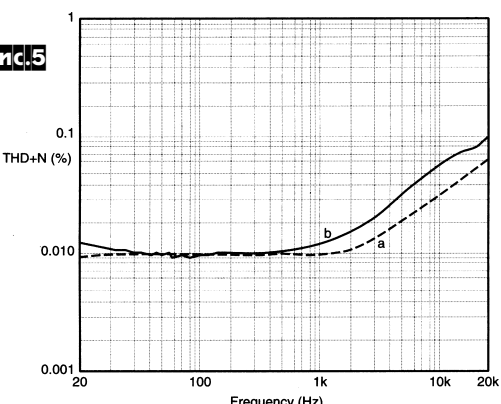
K174УН12 (A273D) предлагает применять более удачную ИМС KA2250. Типовая схема ее включения (рис. 2) обеспечивает синхронную регулировку громкости двух каналов двумя кнопками SB1 ("Тише") и SB2 ("Громче"). К достоинствам KA2250, кроме доступной цены, относится и невысокое напряжение питания (5 В), позволяющее применять ее в переносной аппаратуре ("Радиолюбитель" №12/99, с.18).

Новый подход к схемотехнике транзисторных УМЗЧ класса АВ продемонстрировали **Вим де Джагер, Эрик ван дер Вен и Эд ван Тьюль** (университет г.Энсхеде, Голландия). Критикуя наиболее распространенные выходные кас-





Pic.3



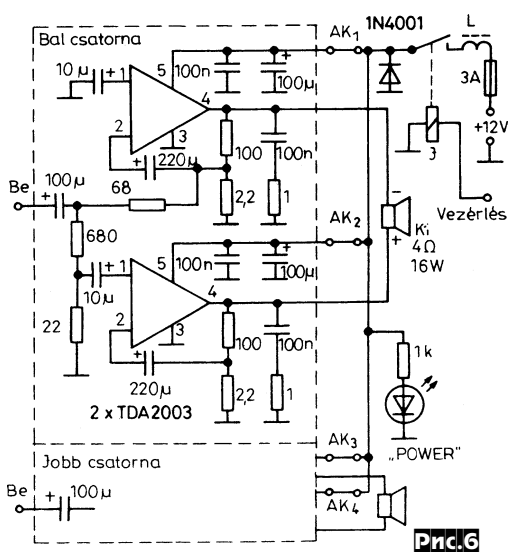
Pic.4

кады с общим коллектором, они отмечают, что в таких каскадах режим задается напряжением на эмиттерных переходах, которое сильно зависит от температуры. Схемы термостабилизации с внешним термоочувствительным элементом (обычно транзистором, монтируемом на радиаторе или корпусе выходных транзисторов) имеют значительную инерционность и часто не успевают отслеживать динамично изменяющиеся

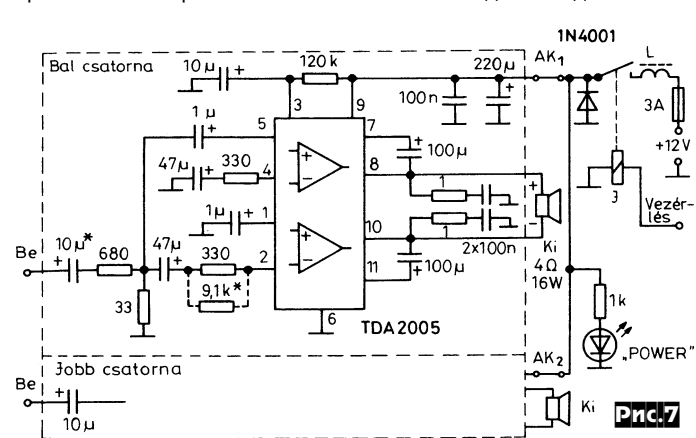
звуковые сигналы, что вынуждает устанавливать последовательно в цепь эмиттеров дополнительные резисторы. Однако напряжение на этих резисторах усугубляет вероятность запирания транзистора по цепи базы при усищении высокочастотных сигналов (болезнь многих двухтактных транзисторных УНЧ – “переключательные” искажения). Для принципиального решения этих проблем авторы предложили выполнить выход-

между базами Tr_1 - Tr_2 в выходной ток, втекающий в базу Tr_9 и через каскад с ОБ (Tr_8) – в базу Tr_{10} . Эмиттерные токи этих транзисторов являются базовыми для транзисторов выходного каскада Tr_{11} - Tr_{12} . Генератор тока I_R и Tr_6 - Tr_8 задают и стабилизируют начальный ток Tr_9 - Tr_{12} в соответствии с выражением $I_{k9} = I_{k10} = I_R \sqrt{h_{21\alpha}(Tr_8)}$, причем делают это без какой-либо привязки к напряжениям на эмиттерных переходах или их температуре. В полной схеме (pic.4) дополнительный транзистор Tr_5 модифицирует соотношения токов таким образом, что $I_{k11} = I_{k12} = I_{k14} h_{21\alpha}(Tr_8)$. Ток коллектора Tr_{14} , выполняющего функции генератора тока и задающего начальный

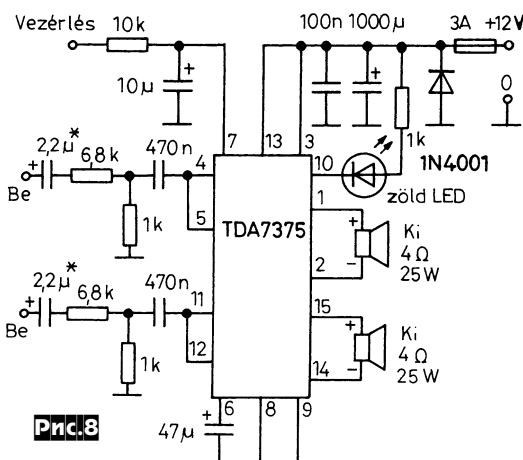
режим выходных транзисторов ($I_{k12} = 100$ mA), регулируют при налаживании резистором R_7 . Как натурные испытания, так и анализ схемы программой PSpice показали очень близкие результаты и подтвердили отсутствие “переключательных” искажений и гармоник высших порядков, а также высокую стабильность. При сравнительно низковольтном питании усилитель обеспечивает на нагрузке 8 Ом выходную мощность 40 Вт в полосе до 40 кГц (скорость нарастания 6 В/мкс), а благодаря отсутствию резисторов в эмиттерно-коллекторных цепях имеет очень высокую токовую перегрузочную способность – неискаженный выходной ток достигает 15 А



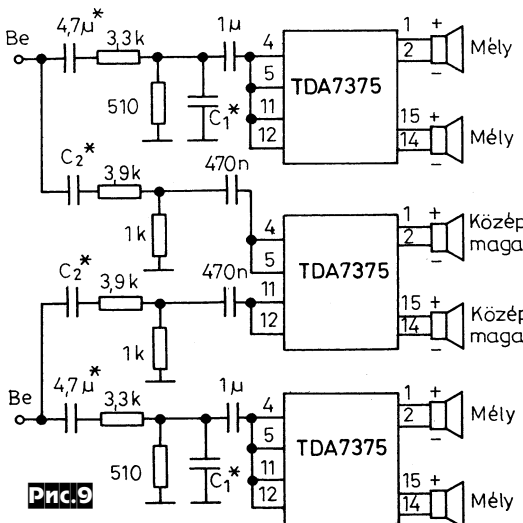
Pic.6



Pic.7



Prc.8



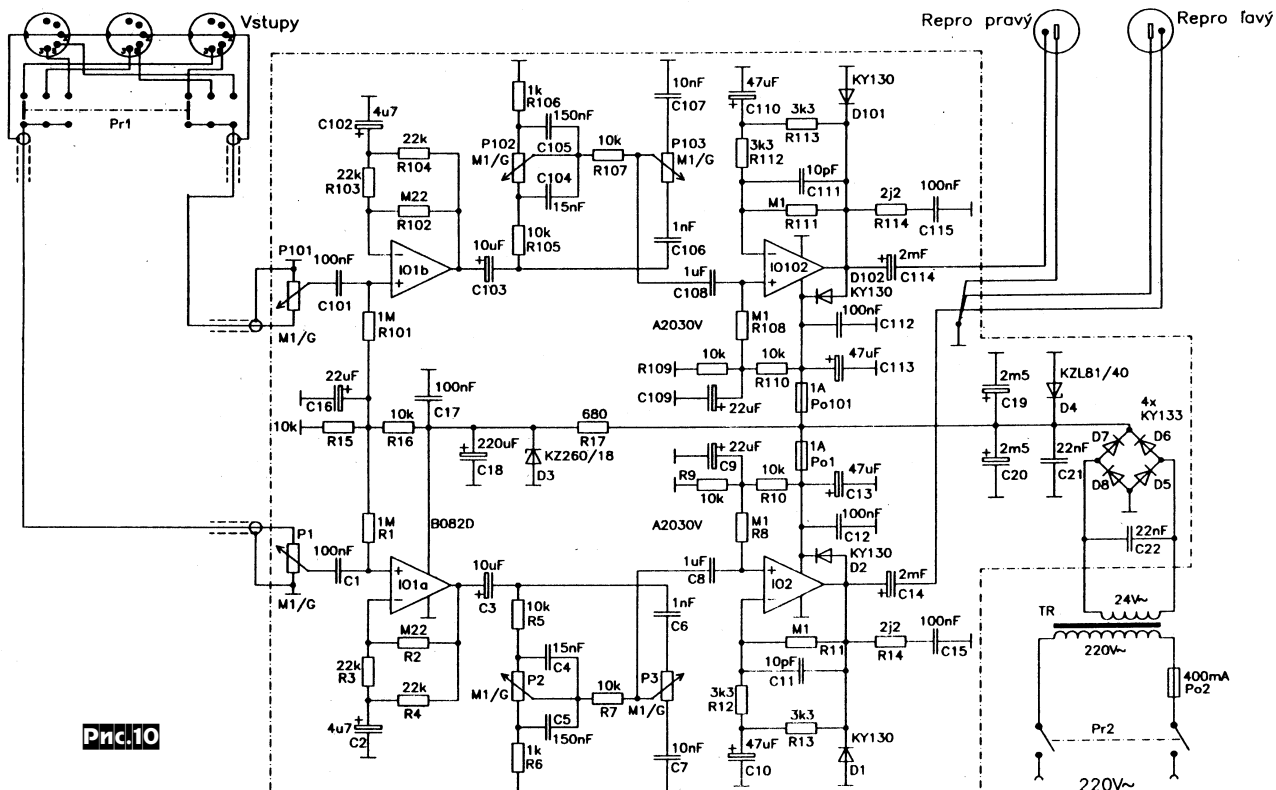
Prc.9

(он практически равен $I_E \times h_{21\alpha}(Tr9) \times h_{21\alpha}(Tr11)$), что обеспечивает кратковременную мощность почти 200 Вт на нагрузке 2 Ома. На **рис.5** показана зависимость коэффициента гармоник от частоты при выходной мощности 1 Вт (кривая а) и 30 Вт (кривая б) на нагрузке 8 Ом. Выходное сопротивление усилителя не более 30 миллиом во всем звуковом диапазоне ("Electronics World incorporating Wireless World" №12/99, с.982-987).

Гильзи Йозеф предложил ряд простых в повторении и недорогих мостовых УНЧ с однополярным 12-вольтовым "мультимелейно-автомобильным" питанием. Первый (**рис.6**) и второй (**рис.7**) обеспечивают на 4-омной нагрузке мощность 16 Вт и выполнены на распространенных ИМС TDA2003 и TDA2005. Индуктивность L обеспечивает фильтрацию помех по цепи питания, конструктивно она выполнена проводом ПЭЛ-0,6 – один слой виток к витку на ферритовом стержне диаметром 5 и длиной 50 мм. Более мощный – 2x25 Вт на нагрузке 4 Ома – усилитель выполнен на одной более современной ИМС TDA7375, содержащей четыре усилителя, образующих два мостовых (**рис.8**). Вывод 7 здесь можно использовать для режима "приглушение" ("Muting",

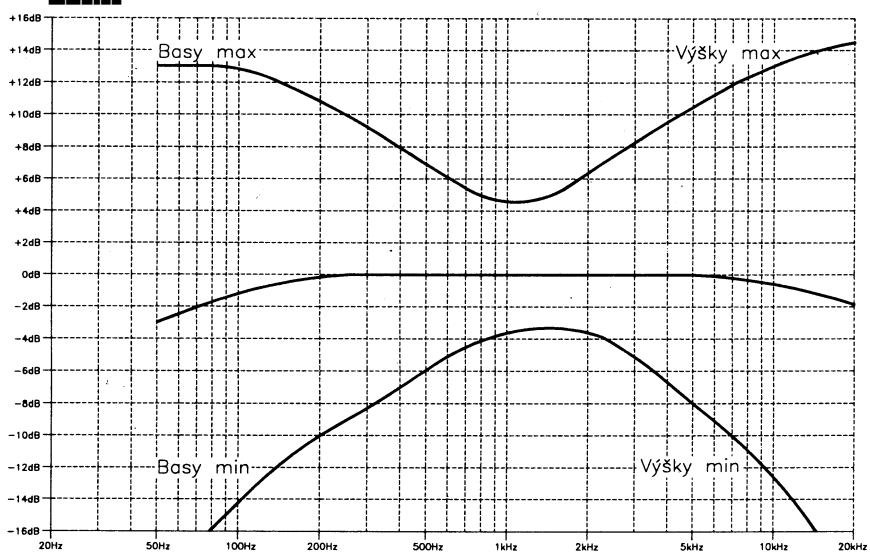
"Vezerles"). Три микросхемы TDA7375 позволяют создать мощный (2x50 Вт НЧ + 2x25 Вт СЧ/ВЧ, **рис.9**) аудиокомплекс с т.н. "активными" двухполосными акустическими системами. Здесь верхняя и нижняя микросхемы создают левый и правый НЧ стереоканалы, нагруженные на два НЧ-динамика каждый, а средняя микросхема использована в СЧ/ВЧ каналах, нагруженных на один ВЧ динамик каждый. Разделительные фильтры НЧ каналов образованы цепочками, в состав которых входят резистивные делители 3,3 кОм – 510 Ом и конденсаторы C1* = 0,68 мкФ, а ВЧ каналов – конденсаторами C2* = 0,055 мкФ и резисторами 3,9 кОм – 1 кОм, при этом частота раздела НЧ/ВЧ звеньев лежит около 560 Гц ("Hobby Elektronika" №12/99, с.417-418; №1/2000, с. 13-15 *).

УНЧ "Midrawatt" Мирослава Дрозда (**рис.10**) выполнен на трех недорогих микросхемах и доступен в повторении даже начинающими аудиофилами, поскольку не требует никаких подстроечных операций и при отсутствии монтажных ошибок начинает работать "сразу после включения". Тем не менее, он обеспечивает приличную мощность 2x10 Вт (на 4-омной нагрузке), а также имеет пассивные регуляторы тембра ВЧ (P3, P103) и НЧ (P2, P102). На ОУ IO1a и IO1b (B082D или аналог TL082) выполнены линейные предусилители (Ku = 1 + R2/R3), развязывающие пассивные регуляторы громкости (P1, P101) от регуляторов тембра, а собственно усилители мощности – на ИМС IO2, IO102 типа A2030 (TDA2030). Сетевой блок питания – однополярный нестабилизированный, однако входной каскад питается от па-



Prc.10

Рис.11



метрического стабилизатора (D3). Все переменные резисторы (регуляторы громкости и тембра) – спаренные (100 / 100 кОм) и с логарифмической зависимостью сопротивления от угла поворота. Обращаем внимание, что на схеме электролитические конденсаторы большой ёмкости обозначены в мФ – миллифарадах, а не привычных микрофарадах ($1 \text{ mF} = 1000 \mu\text{F} = 1000 \text{ мкФ}$). Сетевой трансформатор TR должен быть рассчитан на мощность 50 Вт, с вторичной обмоткой 24 В / 2 А. На **рис. 11** показаны АЧХ усилителя в среднем и крайних положениях регуляторов тембра. Номинальная чувствительность 200 мВ, входное сопротивление 100 кОм ("Praktická elektronika A Radio" №11/99, с.25-27 *).



Рис.12

но АС выполнено в виде закрытого ящика (**рис. 14**), на фронтальной и тыловой стенках которого установлены "спина к спине" два НЧ динамика (в авторском варианте – MONACOR SPH-13TC с диаметром диффузора 13 см, объем ящика 21 литр). Электрически они соединены противофазно, поэтому диффузоры двигаются в одном и том же направлении, но в конкретный момент времени один – на вытягивание, другой – на втягивание, что обеспечивает эффективную

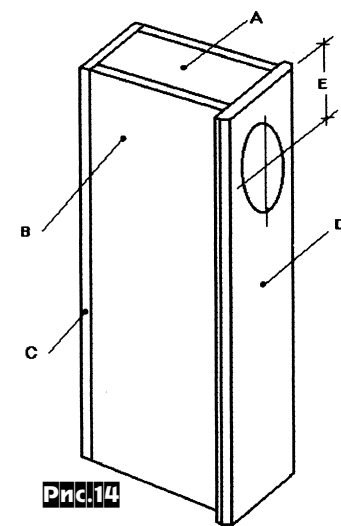


Рис.14

Таблица 1

Диаметр динамика, см	13,8	16,6	21
Панель А, см	14x20	17x25	21,5x25
Панель В, см	80x20	98x25	110x25
Панель С, см	80x17,2	98x20,2	110x24,7
Панель Д, см	82x19,2	100x22,2	112x26,7
Объём, литров	21,5	40,3	57,4
Размер Е, см	примерно равен диаметру динамика		

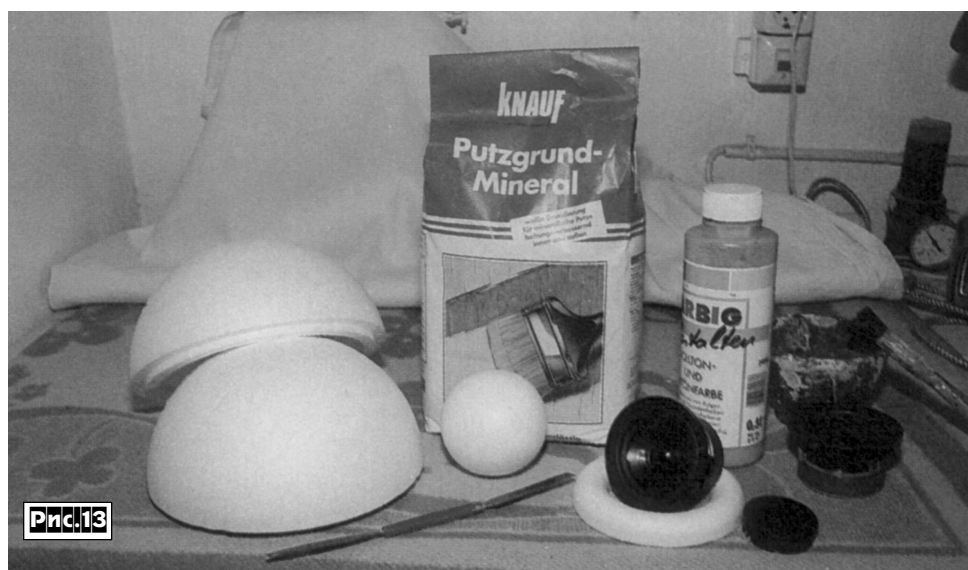


Рис.13

Рис.15

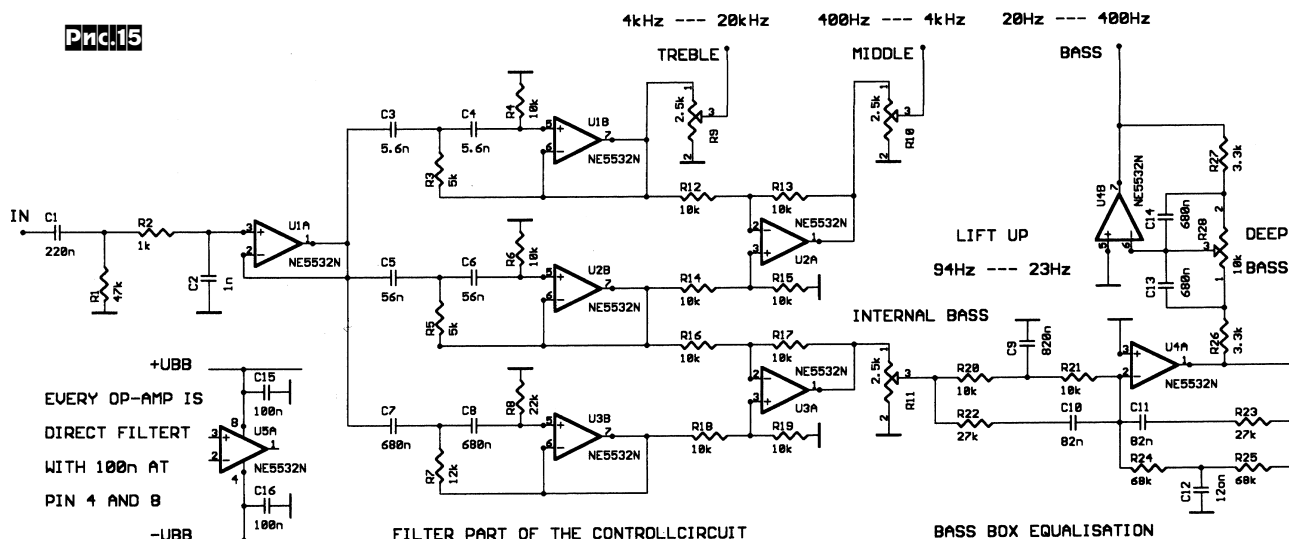


Рис.16

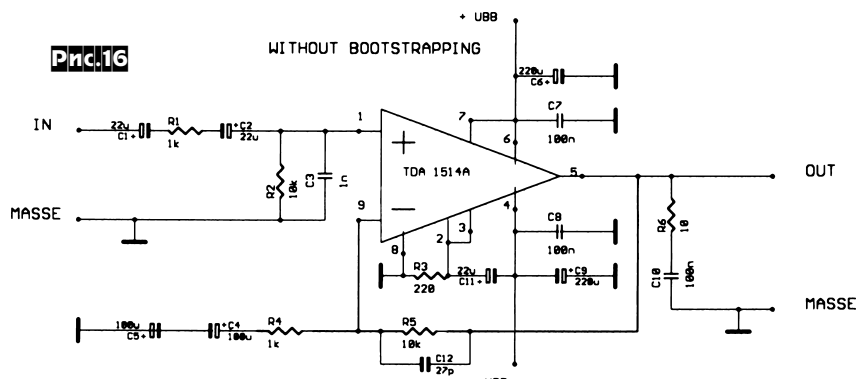
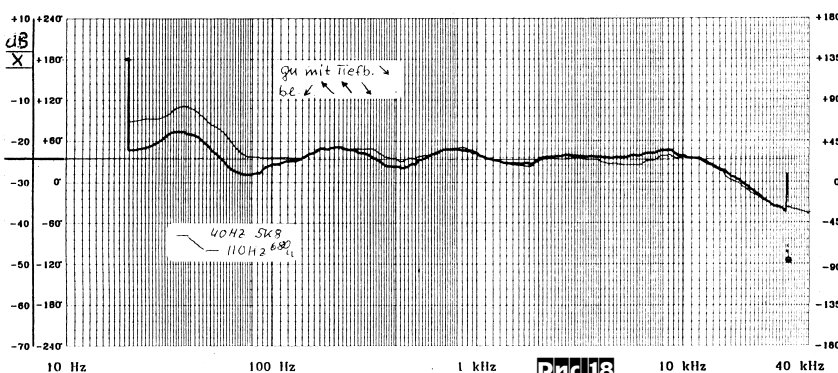
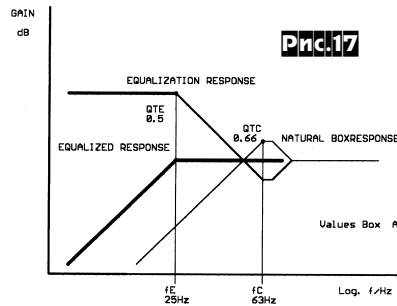


Рис.17



компенсацию их нелинейности. Панель D выполнена из двухсанитметровой фанеры, а остальные – из 1,5-см древесно-стружечной плиты. Рекомендуемые размеры ящика для разных динамиков приведены в **таблице 1**. Электрическая часть состоит из активного разделятельного фильтра (“кроссовера”, **рис. 15**) с настраиваемым суб-НЧ-компенсатором и трех идентичных усилителей мощности на ИМС TDA 1514A (**рис. 16**), раздельных для ВЧ, СЧ и НЧ звеньев. Разделятельный фильтр состоит из буфера U1A и трех ФВЧ Баттерворта 2-го порядка с частотами среза 4 кГц (U1B), 400 Гц (U2B), и 20 Гц (U3B). Выход первого ФВЧ через резистор R9 подается непосредственно на усилитель мощности ВЧ звена (TREBLE, 4 кГц – 20 кГц), в то вре-

мя как сигнал для СЧ звена (MIDDLE, 400 Гц – 4 кГц) формируется алгебраическим сумматором U2A из напряжений на выходах 4-х килогерцового и 400-герцового ФВЧ. Такое схемное решение обеспечивает “автоматическое” идеальное фазовое и амплитудное согласование на границах ВЧ/СЧ диапазонов без какого-либо подбора элементов. Аналогично на резисторе R11 формируется сигнал НЧ звена (BASS, 20 – 400 Гц). Универсальность такого решения заключается в том, что резисторами R9, R10 и R11 можно независимо и оперативно подобрать оптимальный (соответствующий линейной АЧХ по звуковому давлению) уровень напряжения в каждой из полос (практически под любые динамики), не нарушая линейности фазовой характе-

ристики, что очень важно для точной передачи звуковой картины. Кроме того, в НЧ канале имеется активный НЧ-компенсатор на ОУ U4A, расширяющий нижнюю границу акустической АЧХ с 63 Гц до 25 Гц. Его принцип действия основан на том, что собственная АЧХ АС закрытого типа имеет добротность QTC=0,66 и ниже частоты среза fC (**тонкая линия на рис. 17**) имеет спад 12 дБ/октава. В разумных пределах этот спад весьма точно компенсируется “задиром” АЧХ с крутизной 12 дБ/октава, электрически формируемым каскадом U4A (**EQUALIZATION RESPONSE** на **рис. 17**), в результате АЧХ всей системы оказывается линейной до 25 Гц (**“жирная” линия на рис. 17**). Необходимо заметить, что аналогичная компенсация в системах с фазоинвертором намного сложнее ввиду того, что последний сам по себе является фильтром с собственной АЧХ и ФЧХ, учесть которые без тщательных акустических измерений невозможно, да и вряд ли целесообразно из-за существенно большей крутизны спада АЧХ ниже граничной частоты. Последний каскад в НЧ канале – темброблок субнизких частот на U4B – предназначен для компенсации подъема/завала акустической АЧХ, вызываемого акустическими свойствами комнаты. Резистором R28 DEEP BASS, регулирующим АЧХ в диапазоне от 94 до 23 Гц на ±12 дБ, можно скомпенсировать негативные последствия стоячих акустических волн как маленькой комнаты, так и большого зала (**рис. 18**). Усилители мощности (**рис. 16**)

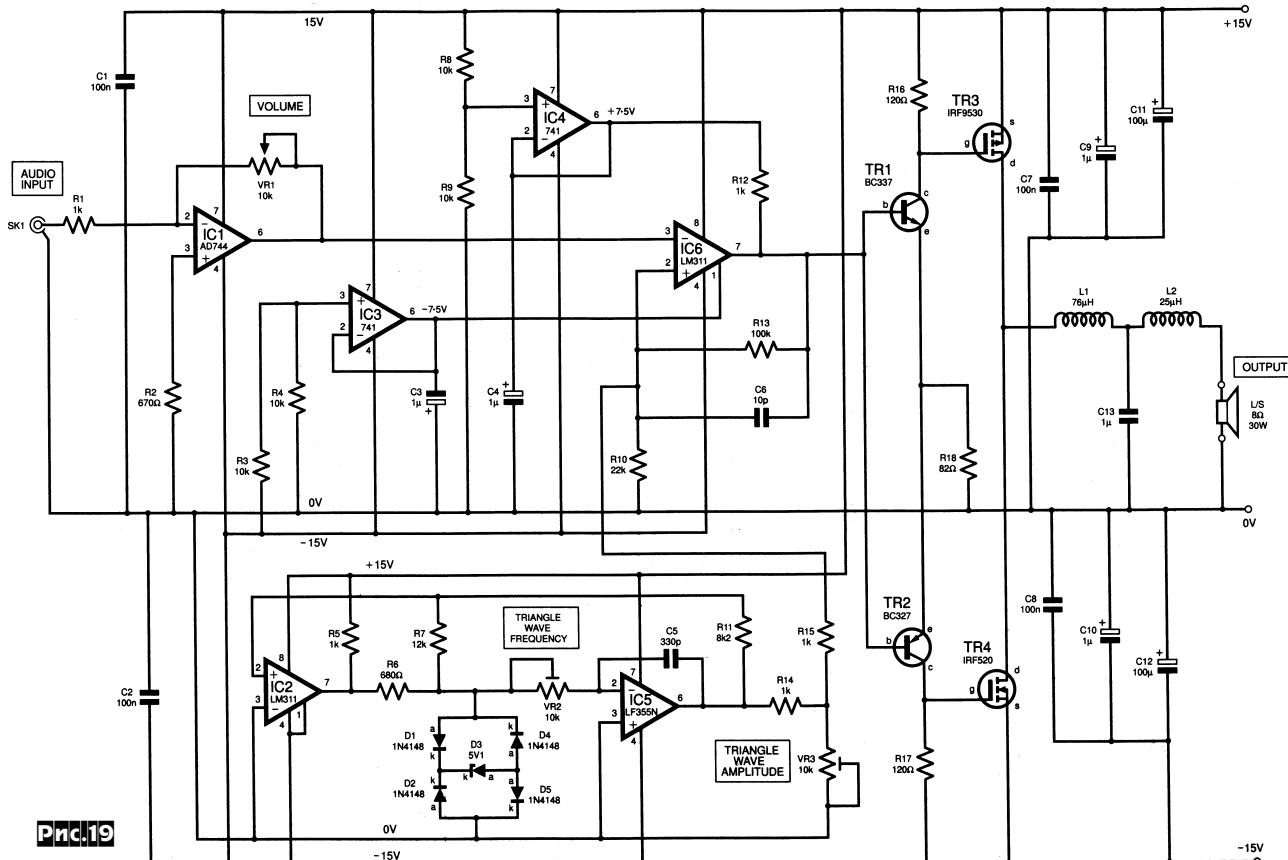


Рис.19

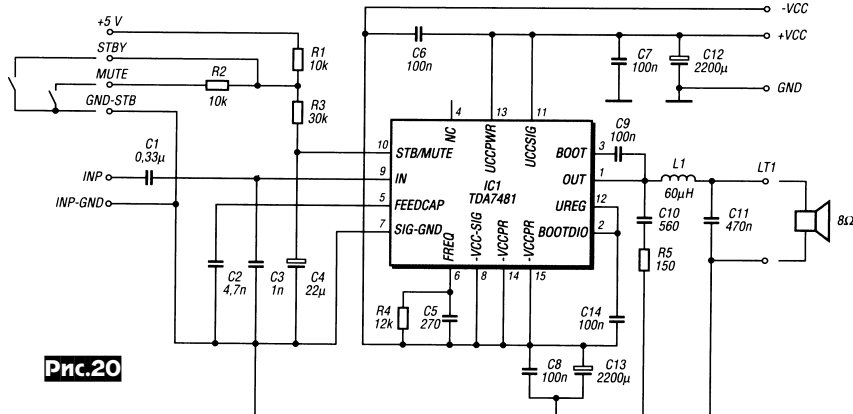


Рис.20

выполнены по типовой схеме включения TDA1514A и при питании от нестабилизированного источника ±23 В обеспечивают до 28 Вт на нагрузке 8 Ом и до 48 Вт на нагрузке 4 Ома при нелинейных искажениях менее 0,003% и диапазоне частот от 3,2 Гц до 100 кГц. В статье приведены все необходимые соотношения и формулы для расчета аналогичных систем с произвольными динамиками и параметрами ("Electronics World incorporating Wireless World" №2/2000, с. 105-113, 164).

Мощные УНЧ в линейных классах АВ имеют КПД не выше 50-60%. В тех слу-

чаях, когда требуется более высокая энергетическая эффективность, незаменимыми оказываются **импульсные усилители класса D**. Схему одного из вариантов такого усилителя с КПД более 90% предложил **Ли Мэттью (рис. 19)**. Устройство состоит из инвертирующего входного усилителя (IC1) с регулятором громкости VR1, генератора напряжения треугольной формы с частотой повторения 100 кГц (IC2, IC5), компаратора IC6, ключевых элементов TR1-TR4 и ФНЧ Баттервортса третьего порядка с частотой среза 25 кГц (L1L2C13). Сравнивая мгновенные зна-

чения звукового сигнала с опорным треугольным, компаратор IC6 формирует широтно-импульсно модулированное (ШИМ) напряжение, среднее значение которого соответствует звуковому сигналу. Усиленное ключевыми транзисторами до амплитуды ±15 В, ШИМ напряжение поступает через выделяющий его среднее значение ФНЧ на громкоговоритель L/S. На нагрузке 8 Ом усиливается мощность до 30 Вт, но ввиду высокого КПД рассеиваемая на TR3, TR4 мощность не превышает 1,5 Вт, что позволяет обойтись без дополнительных радиаторов ("Everyday Practical Electronics/ETI", №12/99, с.898, 899).

ШИМ УНЧ на специализированной ИМС TDA7481 разработал **Клавус Сандер (рис.20)**. При напряжениях питания VCC, -VCC ±18 В (максимально допустимое ±25 В) он развивает до 15 Вт в нагрузке 8 Ом при типовом коэффициенте гармоник 0,1%. Частота встроенного генератора треугольного напряжения (120 кГц) определяется номиналами цепочки R4C5, и обеспечивает совместно с выходным П-образным C10L1C11 фильтром полосу по звуковому сигналу до 22 кГц. В режиме приглушения (MUTE) потребляемый ток молчания снижается с 35 до 3 мА ("Funkamateur" 8/99, с.892 - 894 *).

Аудиолимитер Дункана Бойда (рис.21) позволяет "мягко" ограничить уровень звукового сигнала без увеличения нелинейных искажений. Основу устройства (по сути это быстродействующая АРУ) образует электронный аттенюатор IC1, управление которым осуществляют прецизионный детектор IC2aD1 и УПТ IC2bIC2c с регуляторами порога начала ограничения VR1 и выходного уровня VR2. Компаратор IC2d управляет светодиодом D2, индицирующим режим ограничения ("Everyday Practical

Electronics/ETI", №12/99, с.903).

Настраиваемый режекторный фильтр Роберта Пиза (рис.22) позволяет удалить из звукового сигнала нежелательные составляющие, например фон с частотой сети 50 Гц. Наряду с простотой и отсутствием катушек индуктивности, схема обладает рядом уникальных свойств – регулятор частоты режекции R2 не влияет ни на коэффициент передачи $K=R_3/2R_1$, ни на ширину полосы режекции $\Delta f=1/\pi C_0 R_3$. Собственно частота режек-

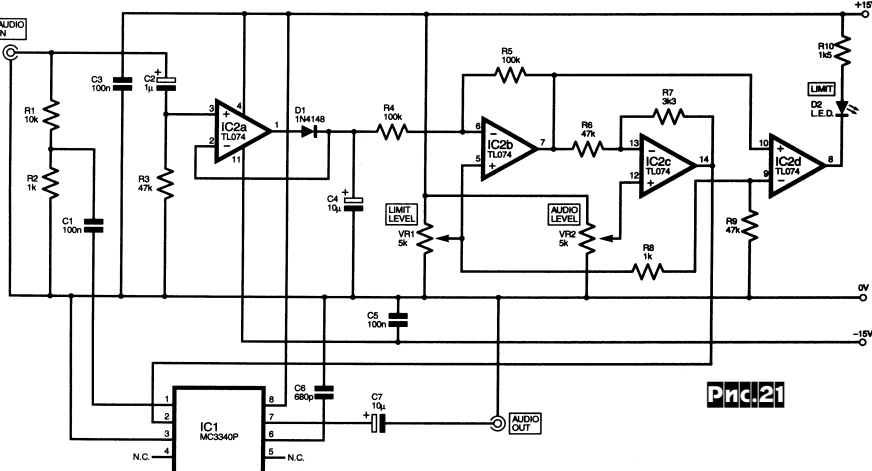


Рис.21

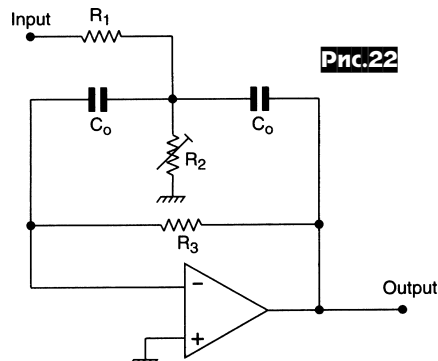


Рис.22

ции определяется выражением

$$f_0 = \frac{1}{2\pi C_0 \sqrt{R_1 R_2 R_3 / (R_1 + R_2)}}$$

("Electronics World incorporating Wireless World" №2/2000, с.120-125).

Автомат Энди Флинда (рис.23) предназначен для облегчения набора текста с надиктованной фонограммы. Он обеспечивает включение диктофона на время 1,5-3 секунды, в течение которого машинистка способна запомнить надиктовку в "кратковременной" памяти. Такой промежуток времени обеспечивается таймер на логических элементах IC3a-d, запуск которого можно осущес-

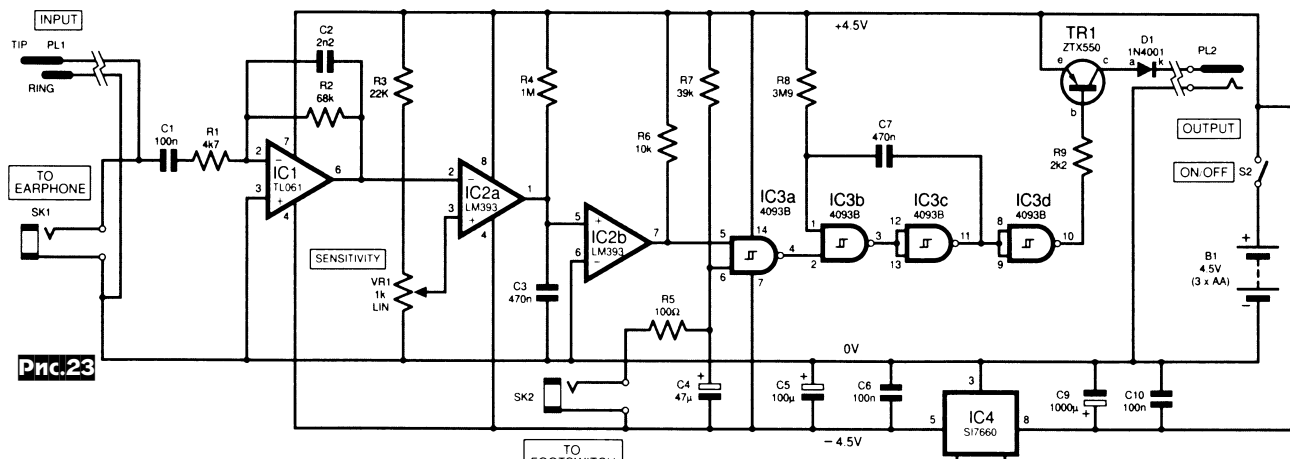


Рис.23

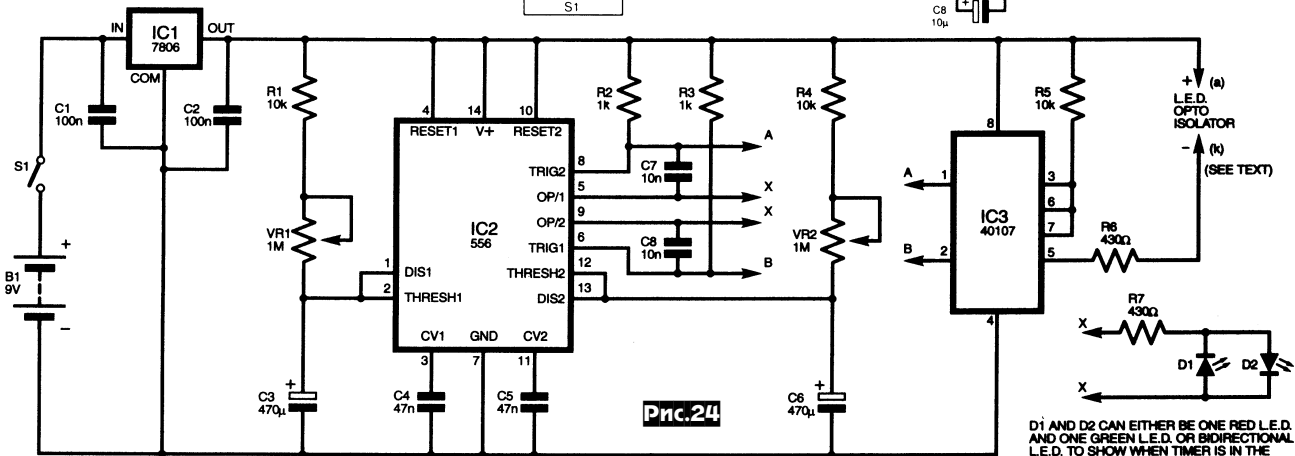


Рис.24

D1 AND D2 CAN EITHER BE ONE RED LED, ONE GREEN LED, OR BIDIRECTIONAL LED, TO SHOW WHEN TIMER IS IN THE 'ON' STATE AND 'OFF' STATE.



ELECTRONICS WORLD

INCORPORATING WIRELESS WORLD
JANUARY 2000 £2.55

ствлять как от ножной педали (FOOTSWITCH S1), так и голосом через микрофонный вход (EARPHONE SK1). В последнем случае сигнал с микрофона усиливается (IC1), сравнивается с порогом (SENSITIVITY, VR1) и через отсекающий короткие паузы между словами дополнительный 0,5-секундный таймер (IC2b) поступает на вход запуска основного таймера, выход которого через транзистор TR1 управляет питанием диктофона ("Everyday Practical Electronics/ETI", №2/2000, с.92-95 *).

Режим "временноЯ лупы" (автоматической покадровой съемки) через заданные промежутки времени) имеется только в наиболее дорогих моделях видеокамер. **Филип Мэйл** разработал таймер (рис.24), обеспечивающий такой режим с любыми видеокамерами. В основе устройства – два замкнутых друг на друга таймера IC2 (т.н. каскадный таймер), время выдержки которых регулируется (максимум до 270 секунд) резисторами VR1, VR2. Их выходы (A и B) объединяются на периферийном драйвере И-НЕ IC3 и напрямую или через оптоизолютор соединяются с входом ДУ (REMRote) видеокамеры, предварительно включенной в режим STANDBY. Импульс на выходе первого таймера включает режим записи, а на выходе второго (время его выдержки для покадровой съемки надо установить минимальным) – выключает. Красный D1 (ожидание) и зеленый D2 (запись) светодиоды индицируют состояния устройства ("Everyday Practical Electronics/ETI", №12/99, с.902, 903).

"Мигалка" Терри Бальбирные (рис.25) автоматически включается только в темноте и полезна в брелках с ключами, рядом с выключателями освещения и т.п. Она состоит из мостика, в одном из плеч которого имеется фотодиод R2, компаратора IC1, запускающего в темноте мультивibrator IC2, управляющий миганием светодиода D1. Благодаря тому, что время вспышек (80 мс) выбрано намного меньше периода их повторения (5 секунд), средний потребляемый устройством ток (в актив-

ном состоянии) не превышает 250 мА при токе через светодиод 10 мА. В пассивном состоянии (при внешнем освещении ярче порогового, задаваемого резистором VR1), потребляемый ток не превышает 5 мА ("Everyday Practical Electronics/ETI", №2/2000, с.140-142 *).

Йонгпинг Ксиа предложил схему драйвера на основе микроконтроллера PIC (рис.26) для 4-фазного шагового электродвигателя. В зависимости от потенциала вывода GP3 на выходах GP0, GP1, GP2, GP4 формируется последовательность непересекающихся импульсов, соответствующая прямому или обратному направлению вращения. Период следования T (т.е. частота вращения f=1/T) и длительность импульсов ti=T/4 задается (R1+R2)C1. В частности, R1+R2 = 5 кОм и C1 = 100 нФ соответствует ti = 72 мкс, а R1+R2 = 510 кОм и C1 = 10 нФ ti = 470 мс. Управляющая программа для PIC12C508 приведена в листинге 1 ("Electronics World incorporating Wireless World" №1/2000, с.41).

Пей Эн для автоматического автономного сбора данных о температуре разработал переносное устройство (рис.27) на базе специализированной ИМС IC1 DS1615 (в ее составе температурный сенсор, АЦП, часы реального времени, энергонезависимая память и последовательный интерфейс; более детальные характеристики можно получить на сайте изготовителя – Dallas Semiconductors <http://www.dallas.com>). Для инициализации и съема

данных оно подключается к ПК через последовательный порт RS 232. После инициализации (посредством которой задают интервал измерения темпера-

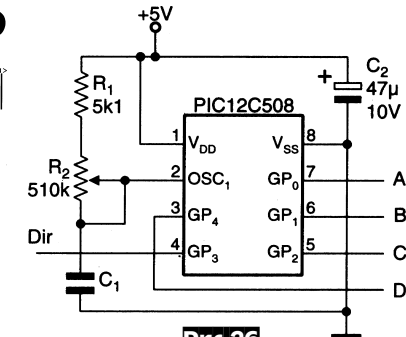
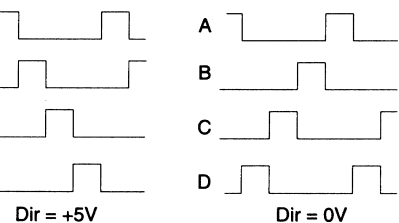


Рис.26



Листинг 1

```

STATUS equ 0x03
GPIO equ 0x06
Z equ 0x02
phase equ 0x07
org 0x0
main clrf GPIO;
      movlw 0x28;
      tris GPIO;
      movlw 0xc0;
      option;
      clrf phase;
start   btfsc GPIO, 3 ; 1/2 1/2
        goto forward; 2 3
      movf phase, 0 ; 1 3
      btfss STATUS, Z ; 1/2 4/5
      goto next_1; 2 6
      movlw 0x03 ; 1 6
      movwf phase; 1 7
      nop ; 1 8
      nop ; 1 9
      goto send_pulse; 2 11
      decf phase, 1 ; 1 7
      nop ; 1 8
      nop ; 1 9
      goto send_pulse; 2 11
      3
      movlw 0x03 ; 1 4
      subwf phase, 0 ; 1 5
      btfsc STATUS, Z ; 1/2 6/7
      goto next_2; 2 8
      incf phase, 1 ; 1 8
      nop ; 1 9
      goto send_pulse; 2 11
      8
      clrf phase; 1 9
      goto send_pulse; 2 11
      9
      send_pulse: ; 11
      movf phase, 0 ; 1 12
      call find_phase; 5 17
      movwf GPIO; 1 18
      goto start; 2 20
      find_phase: ; 11
      addwf PCL, 1 ;
      retlw 0x01; phase A
      retlw 0x02; phase B
      retlw 0x04; phase C
      retlw 0x10; phase D
end
  
```

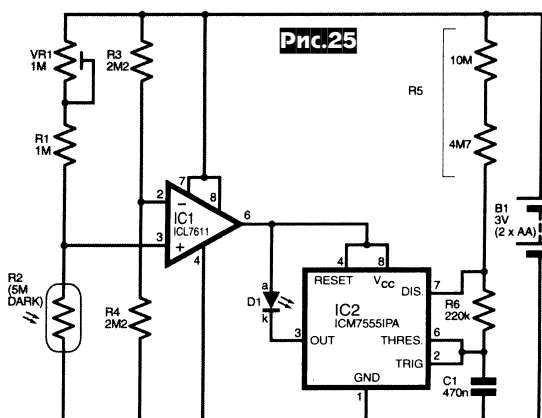


Рис.25

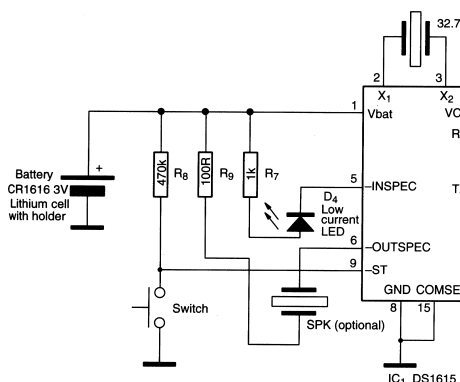


Рис.27

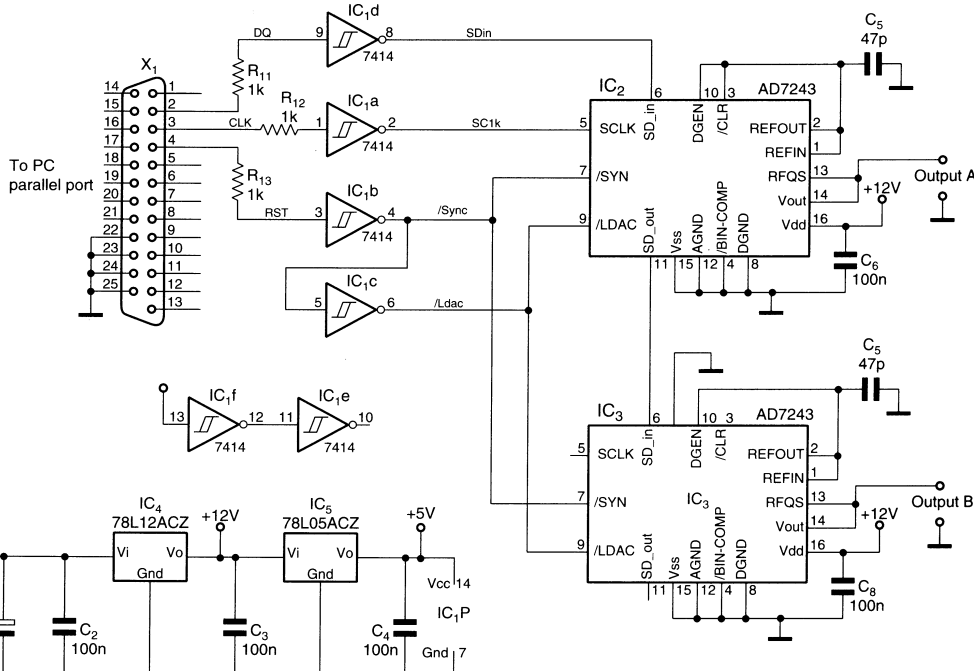
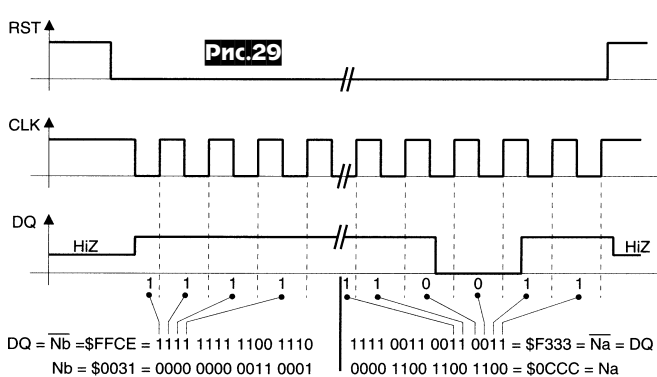


Рис.28



туры от 1 до 255 минут, время неактивности до начала сбора данных и др. параметры) устройство отключается от ПК и работает автономно от литиевой 3-вольтовой батареи, которой хватает на

3 года. Сохраняется до 2048 отсчетов температуры в диапазоне от -40 до +85 °C с погрешностью не более ±2 °C. В статье приведена программа инициализации, съема и сохранения данных в файл (написана на Visual Basic 5). Она же в виде исходных текстов и скомпилированных exe-файлов доступна непосредственно у автора (Dr. Pei An) Pan@intec-group.co.uk, а также на официальном сайте нашего жур-

нала ("Electronics World incorporating Wireless World" №1/2000, с.41*).

Два независимых опорных напряжения от 0 до 5 В с 12-разрядной точностью могут быть заданы командами, передаваемыми через параллельный порт ПК на устройство, разработанное Д.Террадом (рис.28). Оно состоит из буферов на триггерах Шмитта IC1 и двух 12-разрядных ЦАП IC2, IC3. На рис.29 показан пример передачи управляющих данных для установки выходного напряжения 4 В на выходе B (IC3) и 30 мВ на выходе A (IC2). При максимальном опорном напряжении 5 В, которому на входе 12-разрядного ЦАП соответствует код N = 4095, напряжению 4 В будет соответствовать код Nb = 3276 (в двоичном коде 110011001100), а 30 мВ – Na = 49 (в двоичном коде 000000110001). На диаграмме рис.29 эти данные инвертированы, поскольку триггеры IC1 инвертируют сигнал. 16-разрядное слово данных для второго ЦАП передается первым, с четырьмя лидирующими нулями и старшим разрядом первым. В статье приведена программа на языке С, позволяющая управлять обоими напряжениями с клавиатурой ("Electronics World incorporating Wireless World" № 1/2/99, с.1010, 1011).

Обратную задачу, а именно **12-разрядное аналого-цифровое преобразование** входного напряжения, **передачу данных в ПК** через параллельный порт и **индикацию** на дисплее измеренного значения, решает преобразователь, разработанный Робертом Пенфолдом (рис.30). Схема настолько проста, что

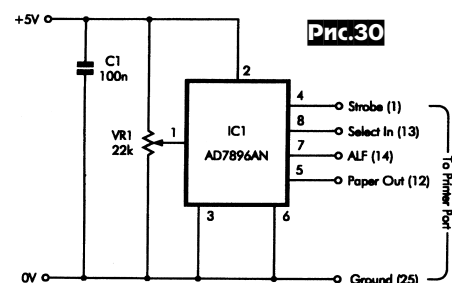


Рис.30



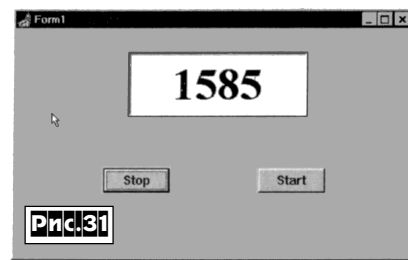
не требует пояснений, но (после тестирования устройства) VR1 следует отключить от шины питания +5 В и подавать на него измеряемое напряжение. ИМС АЦП AD7896 обеспечивает до 100000 преобразований в секунду и при этом по-

требляет всего 9 мВт. Управляющая программа на Delphi 1 приведена в **листинге 2**, а пример индикации на **рис. 31** ("Everyday Practical Electronics/ETI", №2/2000, с. 120, 121).

Расщепитель последовательного порта ПК (рис.32) предложен **В.Айром**. Он состоит из двух преобразователей уровня RS232 <-> TTL/CMOS (IC1, IC2) и мультиплексора IC3. Сигналы с двух входных портов A0-A3 и B0-B3 выбираются и направляются на выходной порт Y0-Y3 в зависимости от логического уровня на выводе SEL (вывод 1 IC3). Когда SEL=0, сигналы с порта A передаются на порт Y и с последовательным портом ПК (SK1) оказывается соединен

"расщепленный" порт X (SK2), а при SEL=1 – порт Y (SK3). Переключение между выбором X или Y управляемо сигналом RTS, состояние которого можно легко переключать программно посредством управляющих регистров UART ПК ("Everyday Practical Electronics/ETI", №12/99, с.897).

Блок питания, разработанный **Джей-Фом Коллином** (рис.33), обеспечивает стабилизированное напряжение 5-30 В



Листинг 2: Converter Program

```
unit Adconv;
interface
uses
  SysUtils, WinTypes, WinProcs, Messages,
  Classes, Graphics, Controls, Forms, Dialogs,
  ExtCtrls, StdCtrls;
type
TForm1 = class(TForm)
  Panel1: TPanel;
  Timer1: TTimer;
  Button1: TButton;
  Button2: TButton;
  procedure Timer1Timer(Sender: TObject);
  procedure Button1Click(Sender: TObject);
  procedure Button2Click(Sender: TObject);
private
  { Private declarations }
public
  { Public declarations }
end;

var
  Form1: TForm1;
  Prn1: Word;
  Prn2: Word;
  Prn3: Word;
  Reading: Word;
  Dta: Byte;
  Busy: Byte;
  S: String;
implementation
{$R *.DFM}
```

Листинг 2

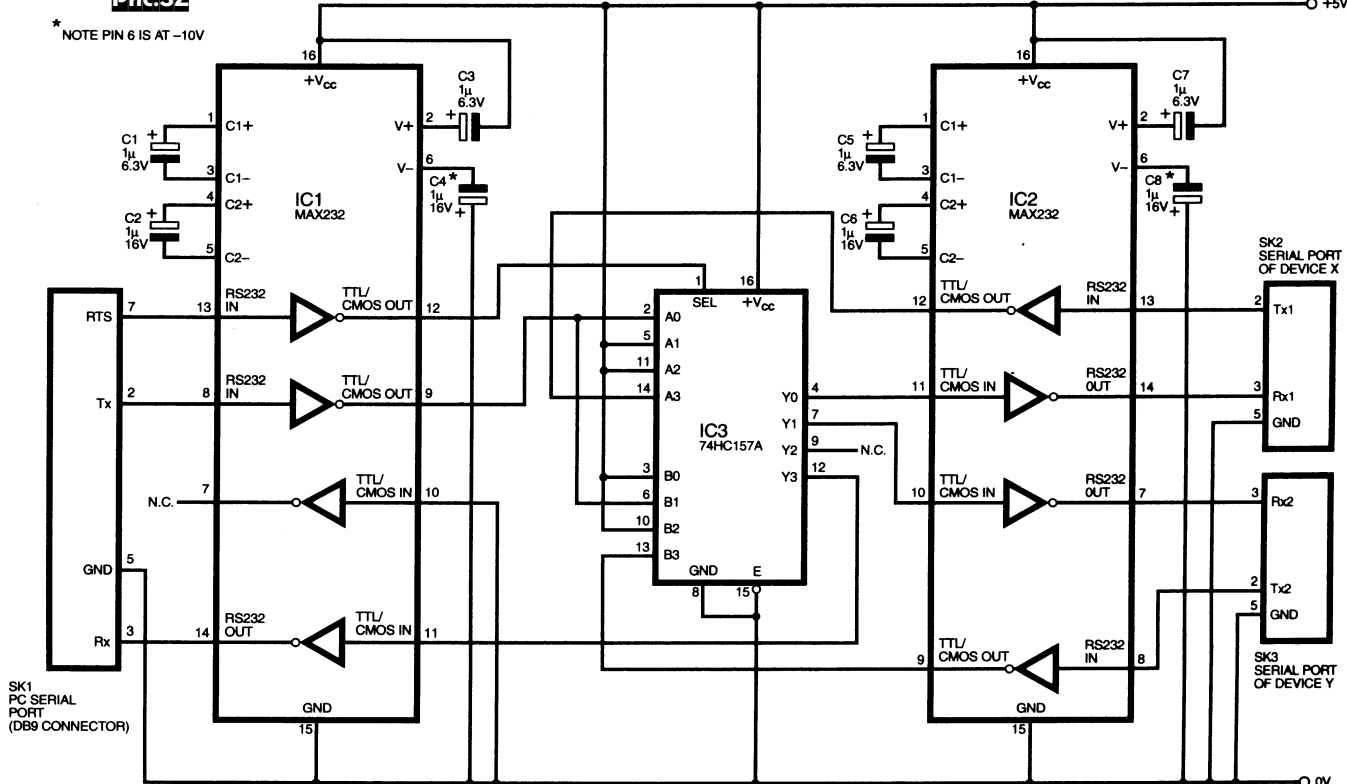
```
procedure TForm1.Timer1Timer(Sender: TObject);
begin
Prn1 := 632;
Prn2 := 633;
Prn3 := 634;
Port[Prn3] := 1
Port[Prn3] := 3
Port[Prn3] := 1
Repeat
  Busy := Port[Prn2] AND 16;
  Until Busy = 0;
  Port[Prn3] := 0;
  Port[Prn3] := 1;
  Port[Prn3] := 0;
  Port[Prn3] := 1;
  Reading := 0;
  Dta := Port[Prn2] AND 32;
  If Dta = 32 Then Reading := 2048;
  Port[Prn3] := 0;
  Port[Prn3] := 1;
  Dta := Port[Prn2] AND 32;
  If Dta = 32 Then Reading := (Reading + 1024);
  Port[Prn3] := 0;
  Port[Prn3] := 1;
  Dta := Port[Prn2] AND 32;
  If Dta = 32 Then Reading := (Reading + 512);
  Port[Prn3] := 0;
  Port[Prn3] := 1;
  Dta := Port[Prn2] AND 32;
  If Dta = 32 Then Reading := (Reading + 256);
  Port[Prn3] := 0;
  Port[Prn3] := 1;
  Dta := Port[Prn2] AND 32;
  If Dta = 32 Then Reading := (Reading + 128);
  Port[Prn3] := 0;
  Port[Prn3] := 1;
  Dta := Port[Prn2] AND 32;
If Dta = 32 Then Reading := (Reading + 64);
Port[Prn3] := 0;
Port[Prn3] := 1;
Dta := Port[Prn2] AND 32;
If Dta = 32 Then Reading := (Reading + 32);
Port[Prn3] := 0;
Port[Prn3] := 1;
Dta := Port[Prn2] AND 32;
If Dta = 32 Then Reading := (Reading + 16);
Port[Prn3] := 0;
Port[Prn3] := 1;
Dta := Port[Prn2] AND 32;
If Dta = 32 Then Reading := (Reading + 8);
Port[Prn3] := 0;
Port[Prn3] := 1;
Dta := Port[Prn2] AND 32;
If Dta = 32 Then Reading := (Reading + 4);
Port[Prn3] := 0;
Port[Prn3] := 1;
Dta := Port[Prn2] AND 32;
If Dta = 32 Then Reading := (Reading + 2);
Port[Prn3] := 0;
Port[Prn3] := 1;
Dta := Port[Prn2] AND 32;
If Dta = 32 Then Reading := (Reading + 1);
Str(Reading, S);
Panell1.Caption := S;
end;

procedure TForm1.Button1Click(Sender: TObject);
begin
  Timer1.Enabled := False;
end;

procedure TForm1.Button2Click(Sender: TObject);
begin
  Timer1.Enabled := True;
end;
```

Prc.32

* NOTE PIN 6 IS AT -10V



при токе до 10 А и имеет защиту от перегрузок и к.з. Его сердечник являемся интегральный стабилизатор IC1, управляющий по базовым цепям квартетом мощных транзисторов Tr1-Tr4 с выравнивающими резисторами R1-R4 в цепях эмиттеров. Резистором R8 регулируется выходное напряжение, а R11 устанавливает минимальное выходное напряжение. Транзисторы Tr5, Tr7 выполняют функции ограничите-

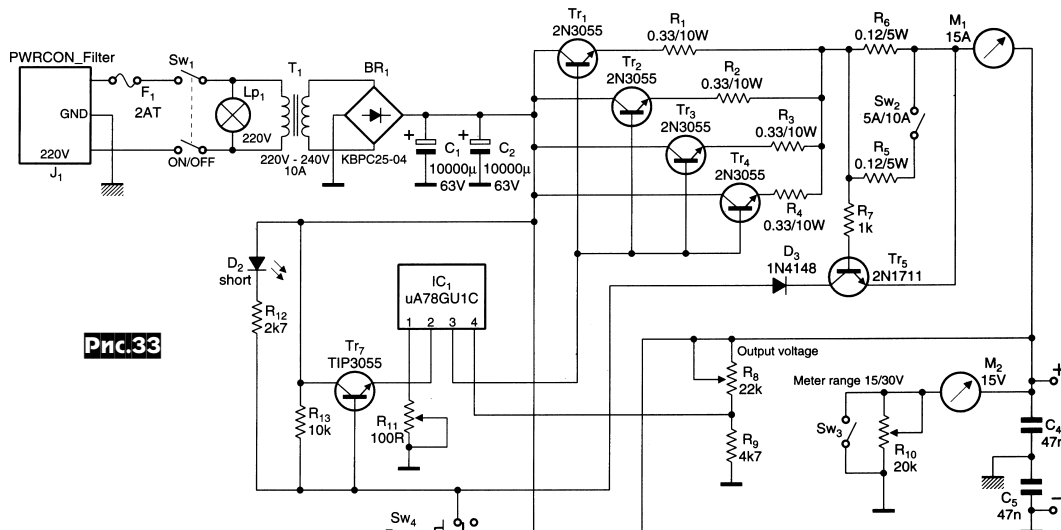
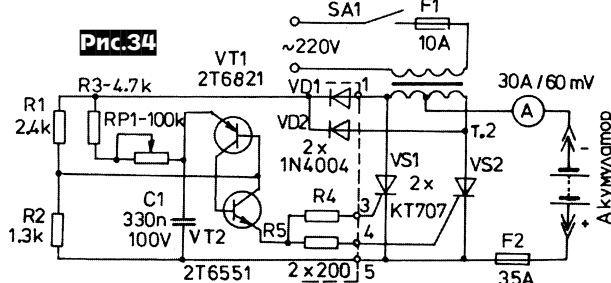


Рис.33



ля тока (порог 5 или 10 А выбирается переключателем Sw2). Защиту от к.з. нагрузки обеспечивают транзистор Tr6 и тиристор TH1 с соответствующей индикацией светодиодом D2. После устранения к.з. устройство возвращается в рабочий режим кнопкой Sw4 ("Electronics World incorporating Wireless World" №1/2000, с.40).

Тиристорный зарядный блок Красимира Рилчева (рис.34) предназначен для зарядки аккумуляторов грузовых автомобилей и тракторов. Он обеспечивает плавно регулируемый (резистором RP1) зарядный ток до 30 А. Принцип регулирования – фазоимпульсный на основе тиристоров, обеспечивающий максимальный КДП, минимальную рассеиваемую мощность и не требующий мощных выпрямительных диодов. Сетевой трансформатор выполнен на магнитопроводе сечением 40 см², первичная обмотка содержит 280 витков ПЭЛ-1,6, вторичная 2x28 витков ПЭЛ-3,0. Тиристоры установлены на радиаторах 120x120 мм ("Радио, Телевизия, Электроника" №9/99, с.23, 24 *).

Преобразователь постоянного напряжения Симко Дъеря (рис.35) обеспечивает регулируемое (резистором 2,5к) в пределах 2-15 В стабилизированное напряжение с током нагрузки до 1 А при питании от аккумулятора или другого нестабилизированного источника напряжением 10-12 В. После диода за-

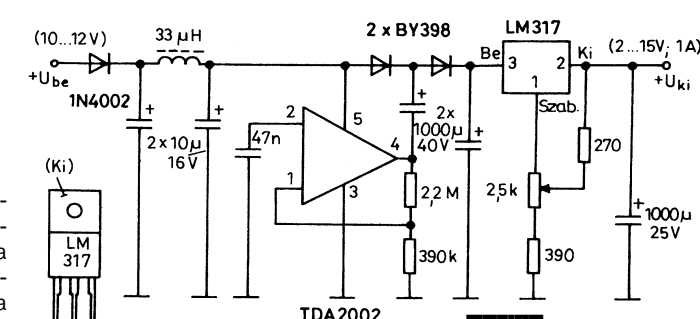


Рис.35

Постоянный ток базы задается резистором RP5, подключенным к маломощному стабилизатору R2-R4C1VD5VD6. Канал X осциллографа подключается к пульсирующему (одна полуволна синусоиды) напряжению Uc, амплитуду которого можно ограничить резистором RP1. Через резистор-сенсор коллекторного тока R6 напряжение Uc также прикладывается к коллектору транзистора. Канал Y осциллографа подключен параллельно резистору R6 и поэтому отклонение луча по вертикали соответствует току коллектора, в то время как отклонение по горизонтали – напряже-

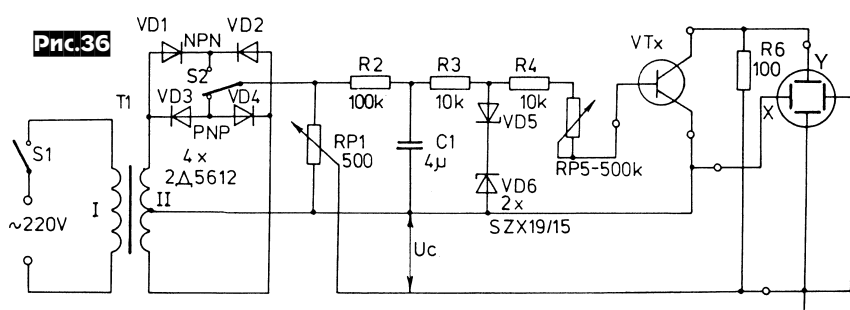


Рис.36

10p^{*} X₁ 30p^{*}

10M

IC₁b

IC₁a

IC₁c

10M

X₂ 30p^{*}

IC₁ = 4100B

IC₂ = 3/6 4069B

* = crystal dependent; typical values

f(X₁) > f(X₂)

Рис.37

Oscillators and mixers Buffer/inverter Envelope detector Buffer/inverter

1N4148 C₁ 220pF R₁ 10k

IC₂b C₂ 220pF R₂ 10k

IC₂c output f_o = f(X₁) - f(X₂)

диаметром 10 и длиной 50 мм фототранзистора VT1, УНЧ на ИМС DA1 и телефонного капсюля BF1. Передающая содержит микрофон BM1, усилитель DA2, выход которого через резистор R13 модулирует яркость лазера указки звуковым сигналом. Налаживание заключается в ориентации лазеров точно на фото-

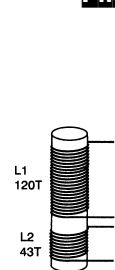
нию коллектор-эмиттер (за вычетом незначительного падения на резисторе R6). Переключателем S2 выбирают тип проводимости испытуемого транзистора VTx, в показанном положении это p-n-p. Трансформатор T1 выполнен на магнитопроводе сечением 5 см², первичная обмотка содержит 2000 витков ПЭЛ-0,15, вторичная 2x120 витков ПЭЛ-0,57 ("Радио, Телевизия, Электроника" №10/99, с.23.).

При подборе кварцевых резонаторов (например, для кварцевого фильтра) окажется полезным тестер Пекка Вэхэнгаса (рис.37). Он состоит из

двух кварцевых автогенераторов (IC1b, IC1c), смесителя IC1a, IC1d, буфера IC2a, детектора огибающей (IC2b и диодный детектор), а также буфера-формирователя IC2c. Частота импульсов на выходе последнего равна разности частот основного резонанса кварцевых резонаторов X1 и X2 ("Electronics World incorporating Wireless World" №2/2000, с. 135).

Положение скрытых за стенной газо- или водопроводных труб легкото обнаружить детектор, предложенный Джоном Мосли (рис.38). Резистором RV1 при налаживании добиваются режима генерации чуть выше порога самовозбуждения (при этом светодиод LD1 едва светится). При приближении катушек L1L2 к металлической трубе генерация срывается, транзистор TR2 призакрываетяется, а TR3 полностью открывается, вызывая увеличение яркости свечения светодиода. Резистором RV2 можно регулировать чувствительность прибора (дальность обнаружения). Катушки L1 и L2 намотаны на ферритовом стержне (с магнитной проницаемостью 400...600) диаметром 8 и длиной 50 мм проводом ПЭЛ-0,3. L1 содержит 120 витков, L2 43

Рис.38



Ferrite core 50mm x 8mm dia.
Use 0.3mm dia enameled copper wire

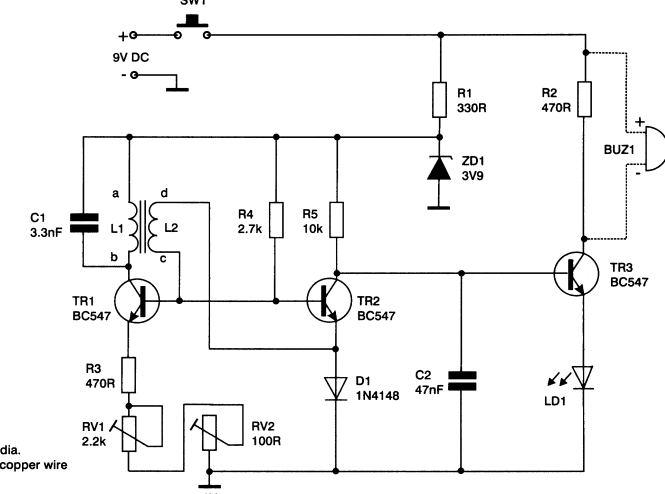
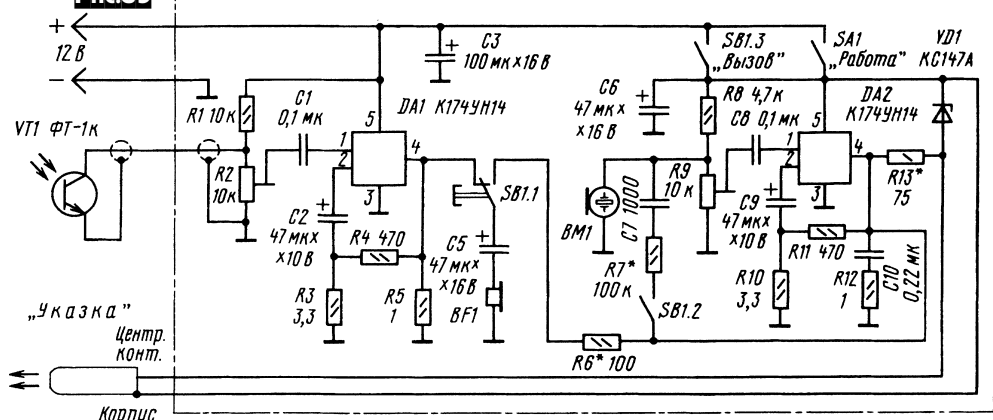


Рис.39



витка, при монтаже необходимо соблюдать указанные на рисунке схемы соединения начала и конца обеих обмоток. Потребляемый от батареи типа "Крона" ток не превышает 30 мА ("Electronics And Beyond" №1/2000, с. 15, 16 *).

Игорь Нечаев на основе китайской лазерной указки разработал светотелефон (рис.39), посредством которого можно переговариваться (двумя комплектами устройства) на расстоянии в несколько сотен метров при условии прямой видимости (например, между домами). Приемная часть состоит из размещенного в непрозрачной трубке

транзисторы (**ни в коем случае не направляйте лазерные указки на глаза, вы можете лишиться зрения!**) и регулировка громкости и чувствительности резисторами R9, R2 ("Радио" №1/2000, с.54, 55 *).

Н.Герцен на основе селектора ТВ каналов СК-М-24-2 сконструировал генератор качающейся частоты (рис.40), который совместно с высокочастотным осциллографом позволяет визуально наблюдать АЧХ различных устройств в частотном диапазоне от 0,5 до 100 МГц (при девиации до ±5 МГц). Вновь вводимые детали выделены более

толстыми линиями, а лишние необходимо выпаять. Устройство состоит из двух ЧМ-генераторов (VT1 – 150...250 МГц – управляется постоянным напряжением с резистора R26, VT3 – 150...160 МГц – управляется пилообразным напряжением горизонтальной развертки осциллографа), смесителя (VT2) с повторителем (VT4), ФНЧ, выделяющего разностную частоту (L3-L5, C15-C18) и выходного усилителя (VT5, VT6) с регулятором уровня R25. L3 и L5 – бескаркасные, содержат по 11 витков, намотанных на оправке диаметром 3 мм, L4 – 5 витков на оправке 4 мм ("Радио" №12/99, с.30, 31).

Широкополосная комнатная активная рамочная антenna С. ван Руджи (рис.41) повышает эффективность приема радиостанций всех КВ диапазонов (3-30 МГц) примерно в 3-5 раз по сравнению с телескопической. В связи с тем, что рамочные антенны чувствительны к магнитной составляющей электромагнитного поля, электрические помехи, создаваемые различными бытовыми при-

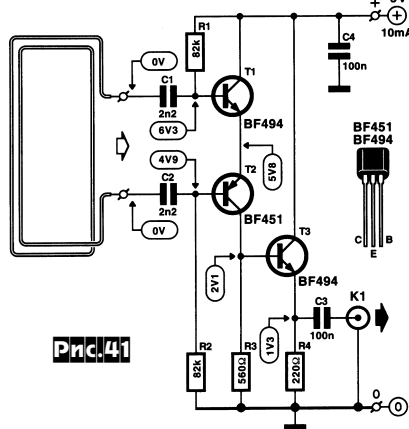


Рис.41

борами, оказываются значительно ослабленными. Собственно рамка состоит из 2-4 витков изолированного провода (диаметр значения не имеет), уложенного в оконной раме (у автора 82 х 133 см, 3 витка). Дифференциальный усилитель (T1, T2) имеет коэффициент усиления 10 дБ вплоть до 30 МГц, а буфер T3 позволяет соединять выход устройства с входом приемника не только напрямую, но и через 75-омный кабель любой длины ("Elektor Electronics" №1/2000, с.20, 21 *).

Эмил Тафро, Т99W предложил конструкцию и испытал несколько типов антенн на основе **прямоугольной проволочной рамки** с соотношением сторон 1:3. Преимущество таких рамочных антенн в небольшой высоте подвеса при условии, что короткая сторона расположена вертикально. Так например, рамку для 40-метрового диапазона (рис.42) достаточно поднять на высоту около 10 метров, чтобы нижняя ее сторона была в 5 метрах от земли. Запитывается рамка 50-омным коаксиальным кабелем. Для настройки рамки до КСВ 1:1 в данном участке диапазона полезно включить в разрыв нижней стороны рамки короткозамкнутый шлейф (рис.43). Можно изготовить двухдиапазонную антенну, например для 80 и 40 метров, разместив внутри рамки на 80 м антенну на 40 м (рис.44). Для желающих получить более эффективную антенну, можно предложить дополнить активную рамку, например рефлектором (подобная конструкция для диапазона 40 метров показана на рис.45) или добавить еще один или несколько рамочных директоров. Была построена

4-элементная рамочная антenna с соотношением сторон 1:3 для 40 метров и

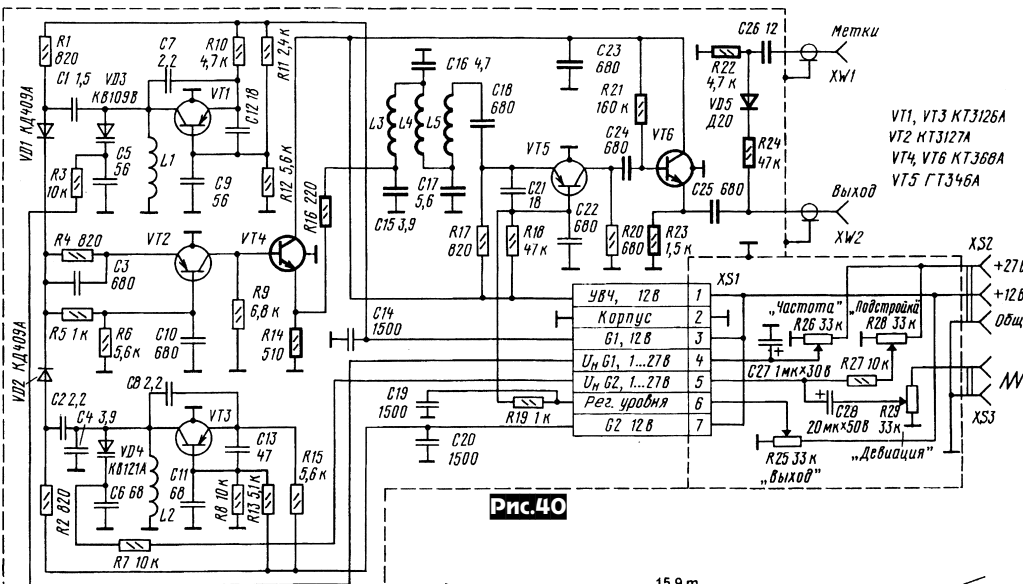


Рис.40

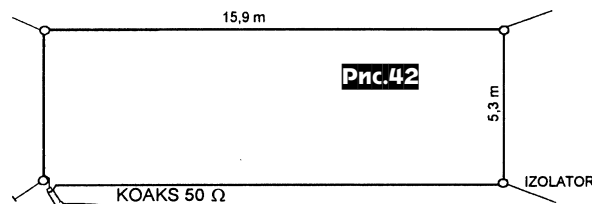


Рис.42

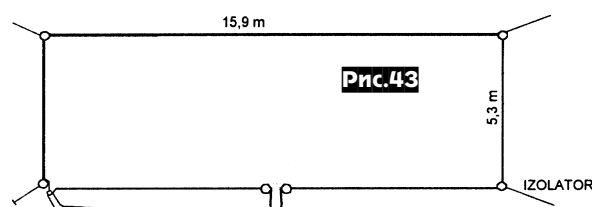


Рис.43

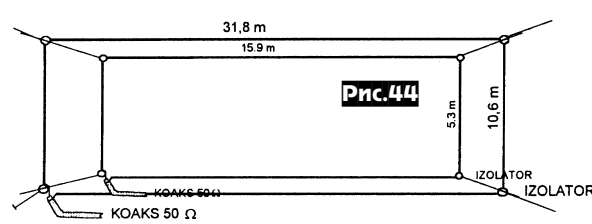


Рис.44

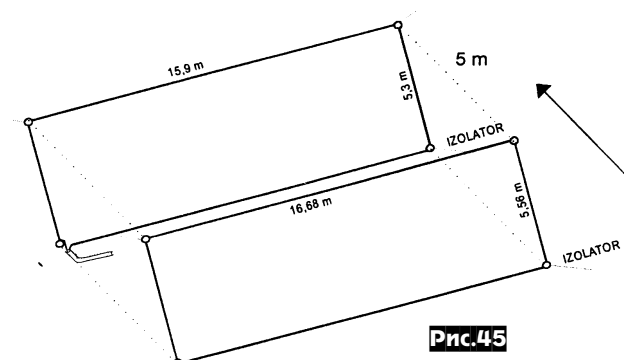


Рис.45

Рис.46

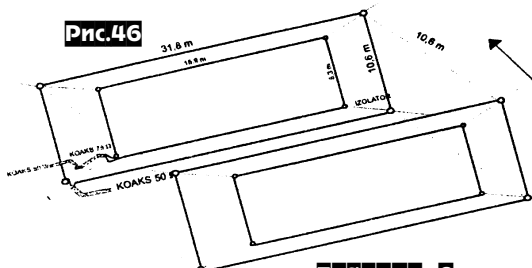


Таблица 2

Диапазон, МГц	Активная рамка		Рефлектор		Расстояние между рамками, м
	Короткая сторона, м	Длинная сторона, м	Короткая сторона, м	Длинная сторона, м	
3,5	10,60	31,80	11,13	33,39	10,20
7	5,30	15,90	5,56	16,68	5,00
14	2,67	8,01	2,80	8,40	2,50
21	1,78	5,34	1,87	5,61	1,70
28	1,33	3,99	1,39	4,17	1,27

раммы направленности в вертикальной плоскости. За два месяца эксплуатации этой антенны на радиостанции SP2FAP со 100-ваттным передатчиком были про-

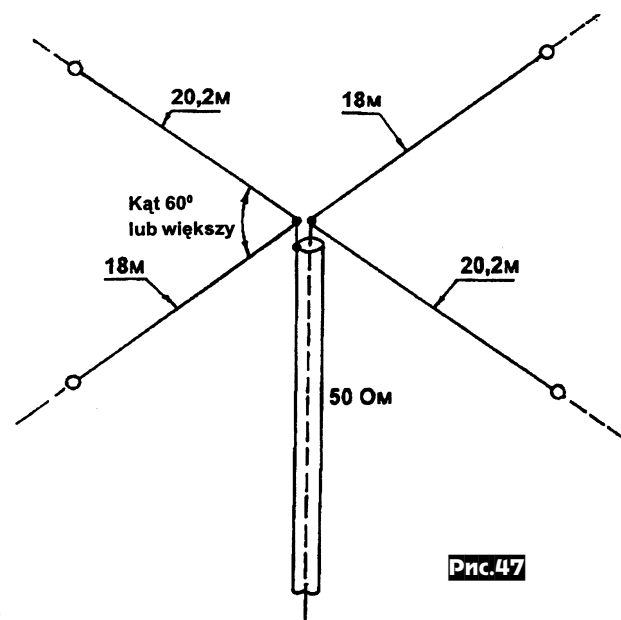


Рис.47

проведены ее испытания в сравнении с 3-х элементной полноразмерной Яги, размещенной на высоте 45 метров. Обе антенны имели фиксированное направление на США. Из 100 связей с американскими радиолюбителями 90 давали предпочтение по силе сигналов рамочной антенне и все 100 корреспондентов были лучше слышны на "рамки" чем на Яги. При этом диапазон 40 метров в направлении США "открывался" на 30...45 минут раньше и "закрывался" на такое же время позже при использовании 4-х элементной рамочной антенны. На **рис.46** показана схема двухдиапазонной (40 и 80 метров) двойной рамочной антенны. Поскольку расстояние между рамками выбрано оптимальным для 80 метров и равно 10,6 м, для 40 метров это много, и пришлось принимать дополнительные меры по согласованию активной рамки 40-метрового диапазона с 50-омным кабелем путем включения между точками питания рамки и 50-омным фидером четвертьволнового отрезка 75-омного кабеля (его физическая длина с учетом коэффициента укорочения равна 7 метров). В **табл.2** даны размеры двухэлементных антенн для пяти диапазонов ("RADIO T9", июнь/июль 1999, с.28, 29).

Сильвестер Яркевич, SP2FAP провел эксперименты с простой широкополосной антенной для диапазона 3,5-4,0 МГц с малым КСВ, автором которой является Билл Опп, W6SAI. Как видно из **рис.47**, антенна представляет собой параллельное соединение двух диполей размахом 40,4 м и 36 м, что и объясняет ее широкополосность. Угол между односторонними половинками диполей равен 60°. Лучи диполей можно расположить как горизонтально, так и под наклоном к земле как у Inverted V, при этом половинки диполей будут служить растяжками мачты и уменьшится угол наклона к земле основного лепестка диаг-

веденых QSO's со 100 странами по списку DXCC и не только с Европой в режиме CW ("QTC magazyn krotkofałowcow", №1/2000, с. 18).

В статье **Клауса Бётчера**, DJ3RW "Коронованный автомобиль" подробно описана конструкция и технология изготовления **малогабаритной двухдиапазонной (2 м и 70 см) антенны в виде двух колец**, расположенных одно над другим так, что образуется подобие короны. Эскиз антенны и подключение кабеля питания показан на **рис.48**. Кольца, изготовленные из алюминиевого прутка диаметром 8 мм, имеют диаметр 328 мм, расстояние между кольцами 100 мм выдерживается тремя распорками (две из оргстекла и одна "заземляющая" из алюминия). Кабель питания подключается центральной жилой к верхнему кольцу, а оплетка - к нижнему на расстоянии X=250 мм от "заземляющей" распорки (это расстояние подбирается по минимальному КСВ на обоих диапазонах). Антенна устанавливается на крыше автомобиля (**рис.49**) на трех опорах из горшкообразных магнитов (заимствованы из телефонных капсул). Эту антенну удобно использовать, когда высота гаража не позволяет иметь штыревую антенну. По сравнению с четвертьволновой антенной никакой разницы в режимах приема и передачи нет. Антенна имеет КСВ=1,1 на 2 м, КСВ=1,05 на 70 см, и совместно с плоскостью крыши обеспечивает вертикальную поля-

ризацию. Она испытывалась на скорости до 145 км/час и показала меньшее влияние вибраций на затухание сигнала, чем со штыревой антенной. Внешний вид антенны, установленной на крыше

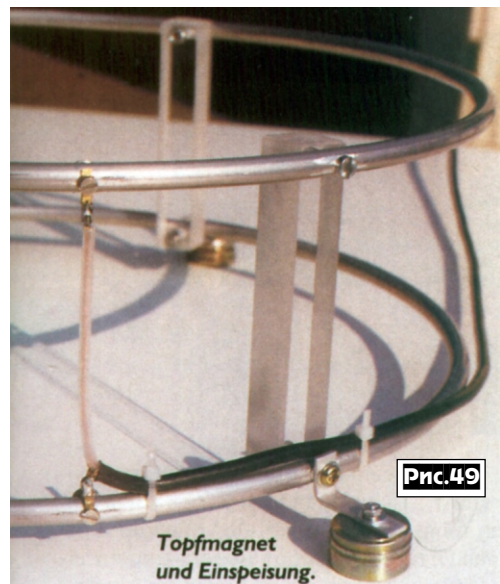
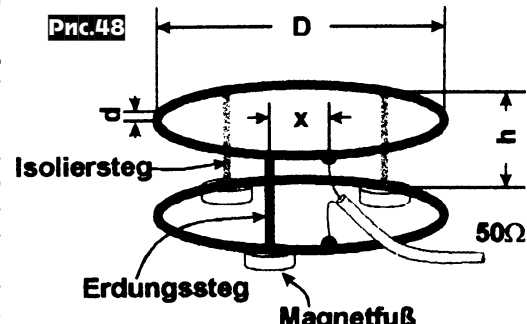


Рис.49

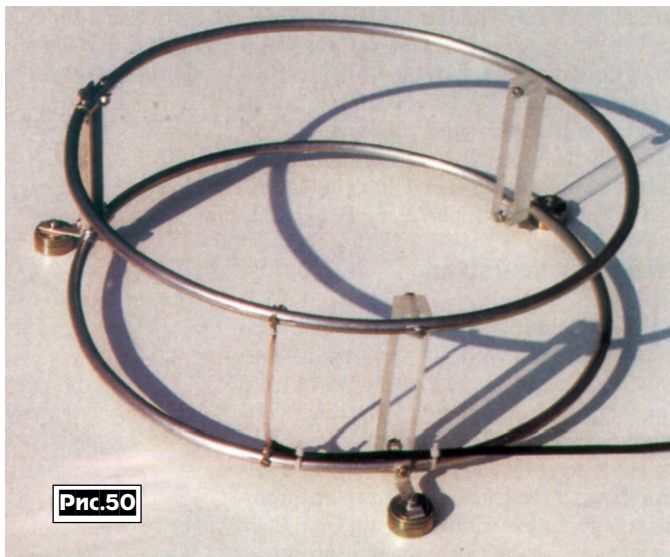


Рис.50

автомобиля, показан на **рис.50** ("Funk", №11/99, с.44, 45).

Схему "антенноскопа" на основе измерительного ВЧ моста предложили **Л.Никольский и Б.Татарко (рис.51)**. За основу моста (A1) взята известная конструкция из книги К.Ротхаммеля "Антенны", но с более удобной балансировкой двумя потенциометрами (R7 - грубо, R8 - точно) и более точным определением сопротивления, соответствующего балансу моста, с помощью омметра (переключатель SA1.2 в положении "Отсчет"). Верхняя рабочая частота моста определяется его конструкцией (парезитными емкостями и индуктивностями) и в обычном исполнении без труда достигает 30...50 МГц. Генератор ВЧ (A1) может быть любой конструкции, в т.ч. и ГСС. В данном приборе применена схема квадцевого генератора (VT1,ZQ1) и усилителя на VT2 для диапазона Си-Би. ZQ1 - любой малогабаритный с собственной частотой (или третьей гармоникой), соответствующей частоте одного из средних (15-25) каналов сетки "С" Си-Би. L1, L2, L4 намотаны ПЭВ-0,31 на



полистироловых каркасах диаметром 7,5 мм с подстоечниками и СЦР-1 из карбонильного железа. L1 содержит 12; L2 (намотана поверх L1) - 4; L4 - 10 витков. L3 - унифицированный дроссель ДМ-0,1 20 мкГн. Номинальные сопротивления R5 и R6 (примерно 200 Ом) некритичны, однако важно, чтобы они

были одинаковыми (допустимое отклонение - не более 5%). В общем случае входное сопротивление антенно-фидерного тракта при КСВ, не равном 1, имеет как активную, так и реактивную составляющие. Поскольку антенноскоп не имеет в регулируемом плече элементов компенсации реактивной составляющей, то в отдельных случаях минимум, соответствующий балансу моста, может быть не очень глубоким. Но тем не менее значение сопротивления, полученное в результате измерений антенноскопом, близко к значению активной составляющей входного сопротивления

антенно-фидерного тракта. Антенноскоп можно использовать при настройке антенны, для оценки степени согласования передатчика с антенно-фидерным трактом и для улучшения степени согласования ("Radio", №11/99, с.62, 63*).

Вольфганг Шнейдер, DJ8ES предложил схему широкополосного милливаттметра (**рис.52**) со следующими техническими характеристиками: диапазон измеряемых мощностей -60 дБм...+30 дБм (1 мкВт...1 Вт); диапазон частот 20 Гц...500 МГц; погрешность $\pm 0,5$ дБ; входное сопротивление 50 Ом; напряжение питания 12 В; ток потребления 15 мА. Основой схемы является логарифмический усилитель AD8307 фирмы Analog Devices. Его передаточная характеристика для разных частот приведена на **рис.53** (зависимость индицируемого напряжения от входной мощности). Линейный высокоомный выход с выв.4 AD8307 имеет крутизну 20 мВ/дБ. Два буферных каскада на сдвоенных ОУ LM358 с сопротивлениями обратной связи R3 и R4 обеспечивают два выхода с крутизной 50 мВ/дБ и 100 мВ/дБ. RP1 влияет на линейность шкалы прибора. 10-оборотным потенциометром RP2 (установлен на передней панели) корректируют показания прибора в зависимости от частоты в соответствии с **табл.4**. В **табл.3** показана зависимость выходного напряжения на выв.4 AD8307 (20 мВ/дБ) и на выходах "50 мВ/дБ" и "100 мВ/дБ" после калибровки милливаттметра. Схема собрана на печатной плате 54x72 мм из фольгированного стеклотек-

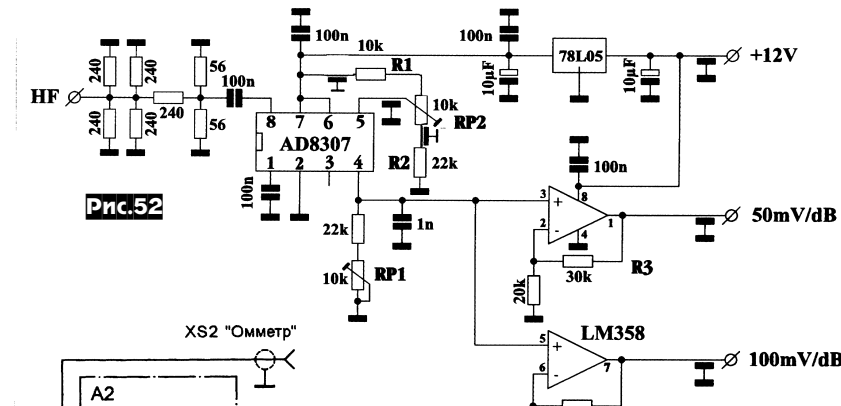


Рис.52

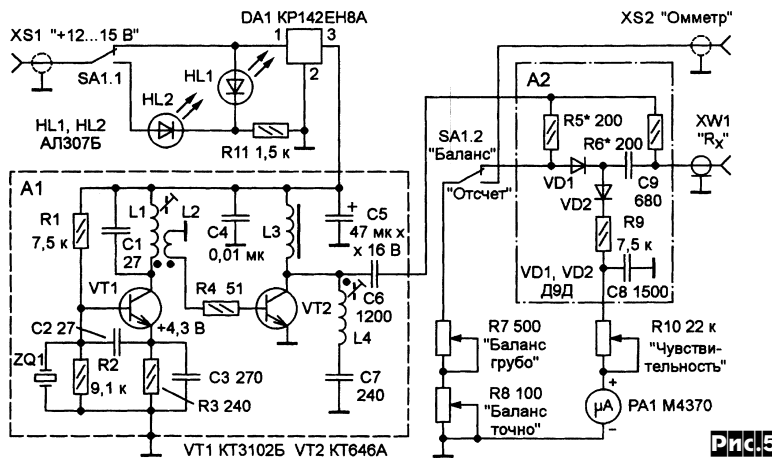


Рис.51

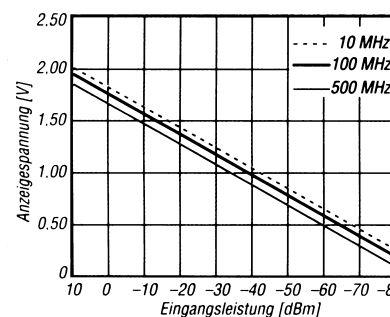


Рис.53

Таблица 3

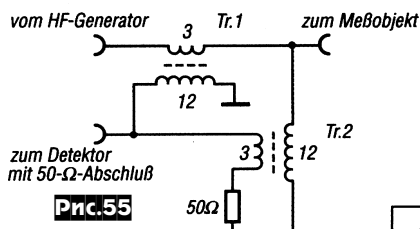
Ре, дБм	20 мВ/дБ	50 мВ/дБ	100 мВ/дБ
30	2,00	5,01	10,01
20	1,80	4,50	9,00
10	1,59	3,99	7,97
0	1,39	3,48	6,96
-10	1,19	2,99	5,97
-20	0,99	2,48	4,96
-30	0,79	1,98	3,95
-40	0,59	1,49	2,97
-50	0,40	1,00	2,00
-60	0,24	0,60	1,20

Таблица 4

Частота, МГц	Положение RP2
0	1,20
50	1,88
100	2,56
144	3,16
200	3,92
300	5,28
400	6,64
432	7,08
500	8,00

столита. Чтобы исключить влияние помех излучения от других приборов, рекомендуется плату поместить в экранирующий корпус с размерами 55,5x74x30 мм. Питание +12 В и выходные сигналы подаются через проходные конденсаторы 0,1 мкФ. Внешний вид прибора показан на рис.54 ("Funkamateur", №12/99, с. 1383, 1384 *).

Направленный ответвитель для измерения КСВ в фидерных линиях, антенных и других устройствах на КВ с использованием широкополосных трансформа-



Riss.55

торов предложил **Бернд Кернбаум**, DK3WX (рис.55). Уровень входного напряжения с генератора ВЧ должен быть +10 дБм. Возможная блок-схема панорамного измерителя КСВ с использованием DDS генератора показана на рис.56. Сигнал отраженной волны с ответвителя поступает на 50-омный детектор и усиливается логарифмическим усилителем AD8307, после чего постоянное напряжение, пропорциональное величине отраженной волны в логарифмическом масштабе и зависящее от частоты, подается для обработки в блок DDS генератора для отображения на мониторе компьютера частотной зависи-

жать и устранить" рассмотрел влияние шумовой модуляции на снижение отношения сигнал/шум радиоприемника. Поясняется механизм появления эффекта "обратного преобразования" и его влияние на динамический диапазон приемника, рассмотрена методика измерения этого эффекта, приведены шумовые характеристики некоторых типов генераторов (рис.57). Для снижения уровня шумов генераторов рекомендуется: применять кварц или контур с высокой добротностью, максимально увеличивать реактивную мощность колебательного контура, применять ограничение амплитуды без снижения добротности, в схемах генераторов использовать малошумящие транзисторы, снижать действие радиошумов путем использования НЧ-обратной связи и выбора рабочей точки, сигнал по возможности отводить от резонатора. Приведена практическая схема **малошумящего кварцевого генератора**, выполненного по каскодной схеме (рис.58). T1 работает с током коллектора 5 мА, T2 - с током покоя 0,8 мА. Трансформатор намотан на ферритовом кольце "Permacore 57-1540" проводом 0,35 мм, общая индуктивность 12 мГн, 56 витков,

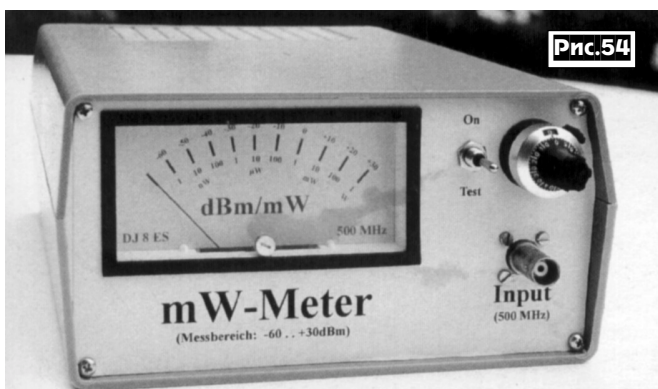


Рис.54

мости КСВ. Tr.1 и Tr.2 ответвителя имеют одинаковую конструкцию - на ферритовом кольце 400...600НН наматывают две обмотки 12 и 3 витка проводом диаметром 0,2...0,3 мм ("Funkamateur", №11/99, с. 1267-1269).

Любой сигнал с генератора или гетеродина приемника более или менее зашумлен. **Фрэнк Сичла**, DL7VFS в статье "Эффект зашумления" - как избе-

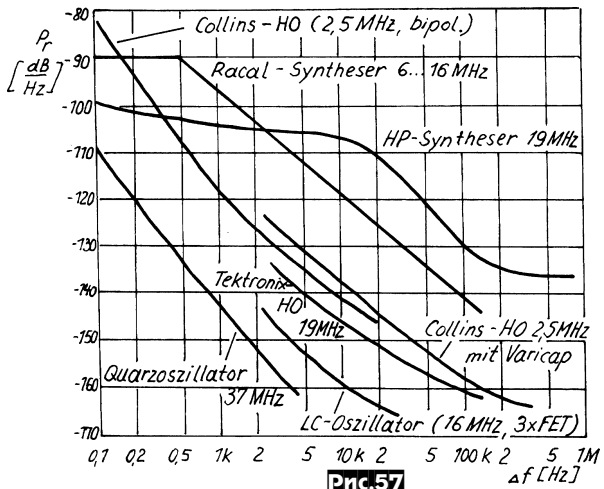


Рис.57

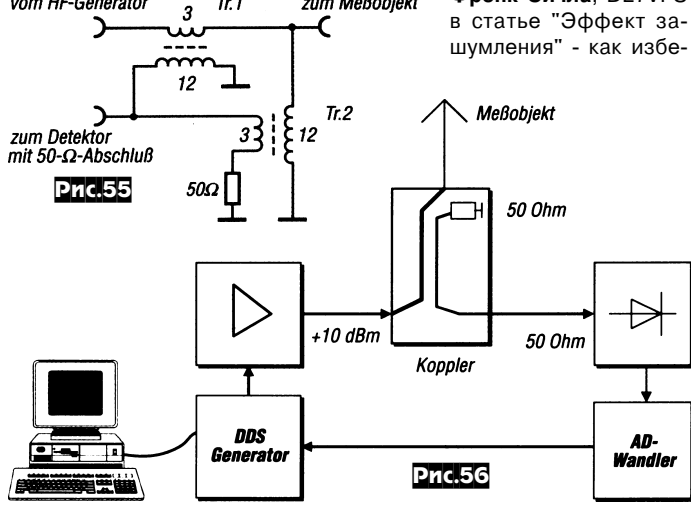


Рис.56

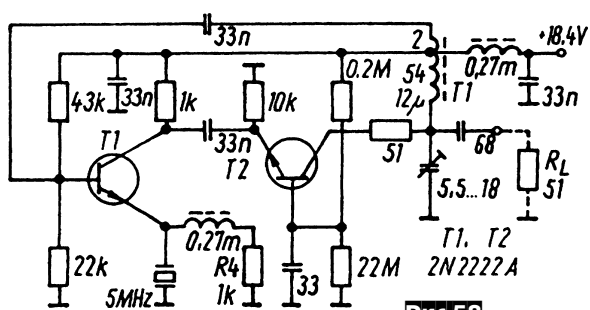


Рис.58

ДАЙДЖЕСТ

отвод от 2-го витка сверху по схеме. В кварце используется 3-я гармоника, ВЧ-рез. Схема хорошо работает до 60 МГц и ее шумы отражает график на **рис.59** ("Funk", №11/99, с.38, 39).

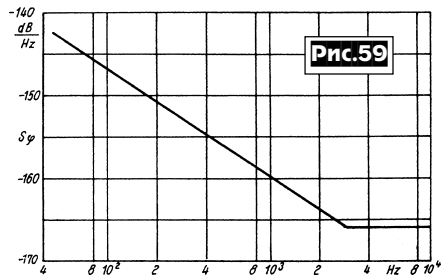


Рис.59

для диапазона 2...100 МГц, в одном корпусе два не соединенных между собой транзистора. Типовые данные: Рвых=300 Вт при питании 50 В; Кр=17 дБ;

КПД=45%; уровень интермодуляционных искажений -25 дБ при Рвых=300 Вт на f=30 МГц; Уси=125 В; ток стока 40 А (макс); рассеиваемая мощность 700 Вт;

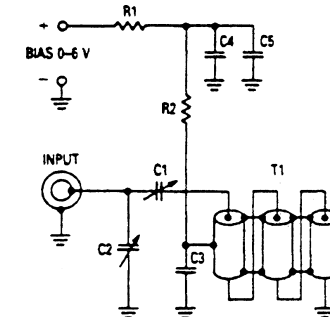
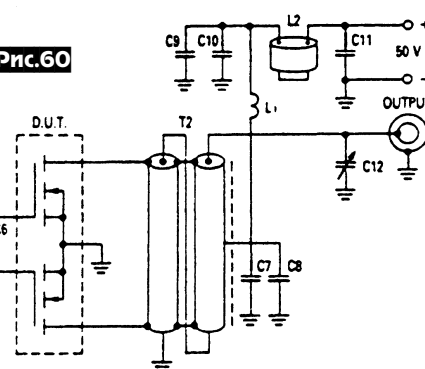


Рис.60



В редакционной статье ("Funk", №11/99, с.23, 24) приведены параметры мощных транзисторов TMOS технологии фирмы MOTOROLA, позволяющих проектировать **мощные окончные каскады до частот 100 МГц**. Диапазон входных емкостей этих транзисторов от 300 пФ до 1800 пФ, емкостное сопротивление от нескольких Ом до 100 Ом. Выходная емкость между стоком и истоком имеет тот же порядок, поэтому на входе и выходе требуются трансформаторы для согласования с низкими вх. и вых. сопротивлениями. Основные затраты, как и ранее, приходятся на схемы питания, охлаждение и защиту. 1). MRF151G n-канальный усиленный, работающий в режиме обогащения ВЧ-TMOS полевой транзистор разработан специально для широкополосных двухтактных выходных каскадов от 2 до 175 МГц. Используются также в ЧМ и телевизионных передатчиках. Технические характеристики (двухтактная схема на 2-х MOSFET-транзисторах в одном корпусе): рабочий диапазон частот 2...175 МГц; рассеиваемая мощность 500 Вт (макс.); напряжение сток-исток 125 В (пост); вх.емкость 350 пФ; ток стока 40 А; вых.емкость 225 пФ; Рвых=300 Вт при Исток-исток=50 В в полосе 2-175 МГц; усиление по мощности 16 дБ; КПД=55%. В этой паре исток общий и подключен к крепежному фланцу. На **рис.60** приведена типовая схема для 175 МГц. На входе и выходе применены согласующие трансформаторы T1, T2. 2). MRF153 -

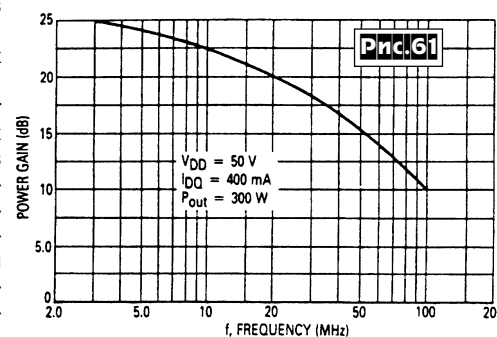


Рис.61

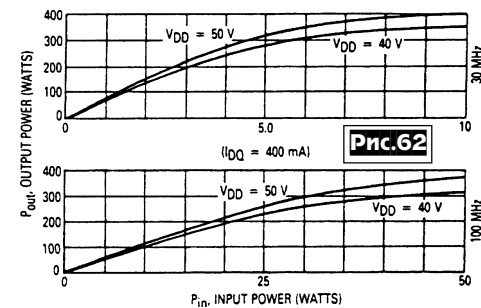


Рис.62

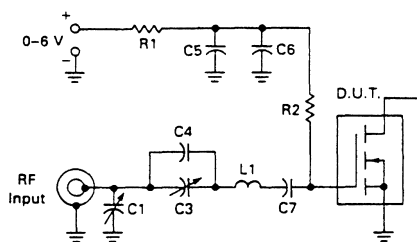


Рис.63

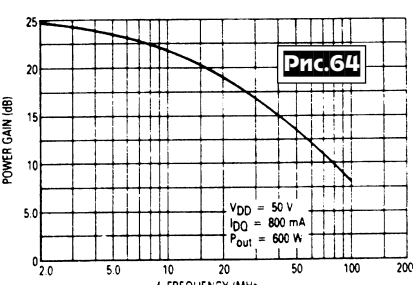


Рис.64

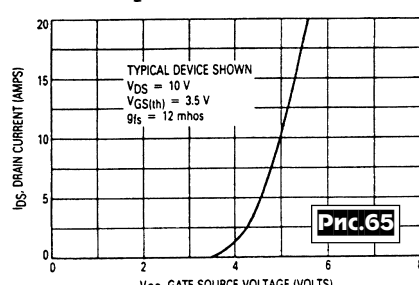


Рис.65

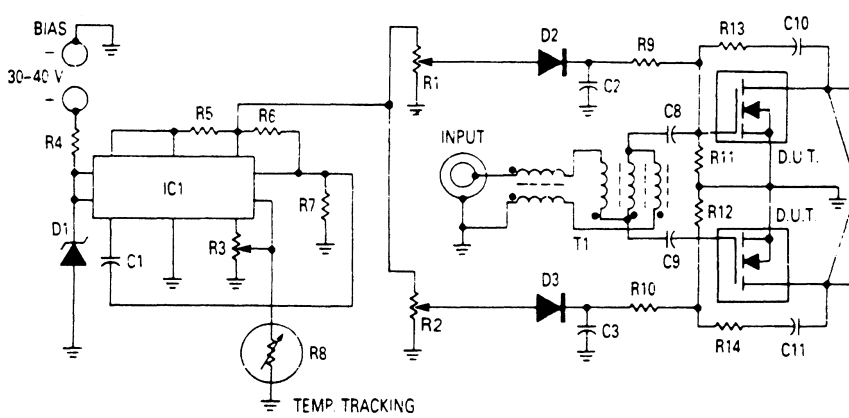
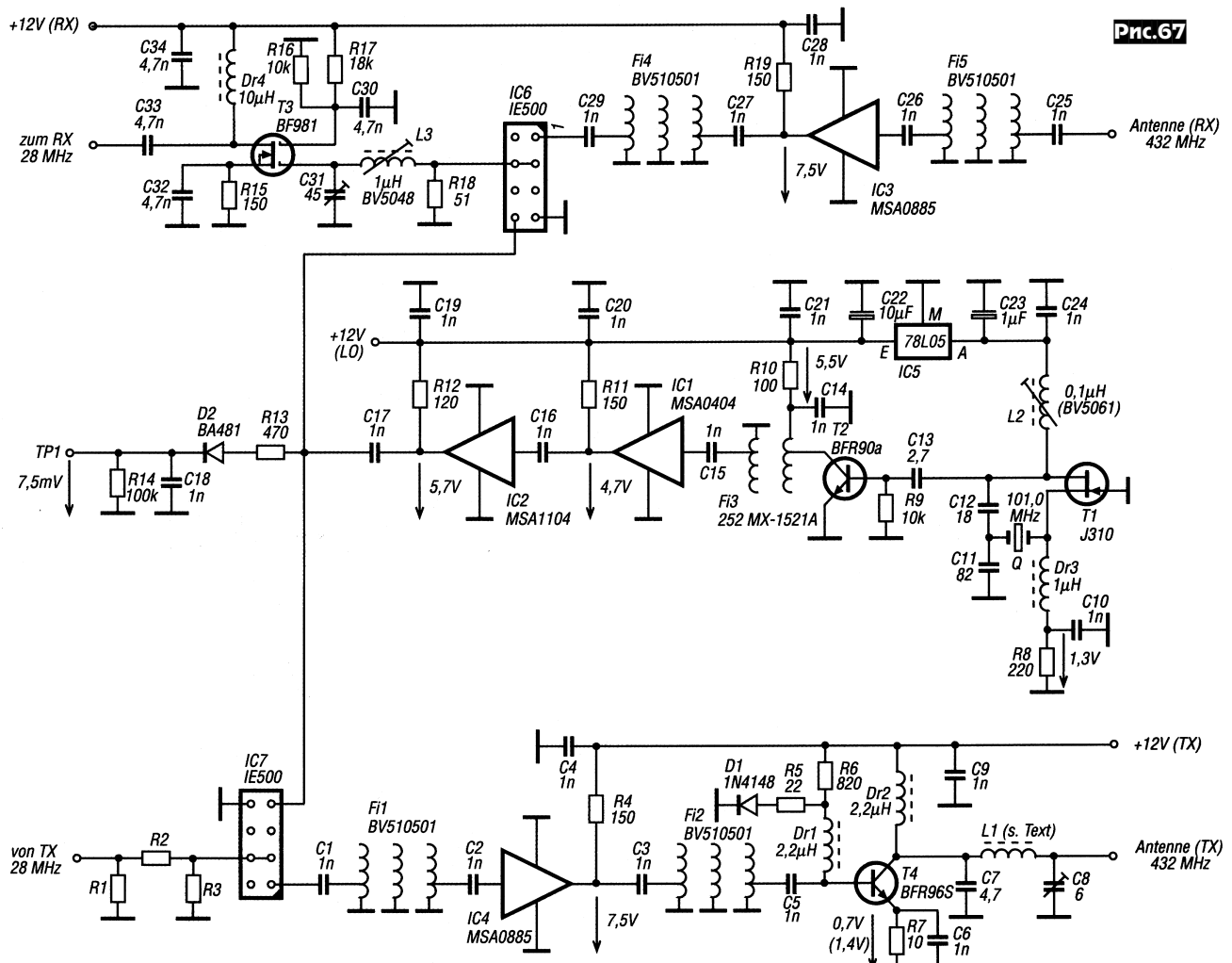


Рис.66



входная емкость 800 пФ; емкость сток-исток 800 пФ. На **рис. 61** - зависимость усиления по мощности от частоты, на **рис. 62** - $R_{\text{вых}}=f(R_{\text{вх}})$ для 30 и 100 МГц, на **рис. 63** - типовая схема для 30 МГц с выходным трансформатором (1:16). **3).** MRF154 позволяет проектировать выходные каскады с очень большой мощностью - можно получить в одном корпусе с двумя изолированными транзисторами до 600 Вт. Типовые данные: диапазон рабочих частот 2...100 МГц; напряжение питания 125 В; ток стока 60 А; рассеиваемая мощность 1350 Вт; входная емкость 1600 пФ; емкость исток-сток 1000 пФ; $R_{\text{вых}}=600$ Вт при $U_{\text{ши}}=50$ В; Кр=17 дБ; КПД=45%; интермодуляционные искажения -25 дБ при 600 Вт на 30 МГц. На **рис. 64** - зависимость Кр от частоты, на **рис. 65** - зависимость тока стока от напряжения на затворе. Так как транзистор работает в режиме обогащения, напряжение смещения затвора должно быть положительным. На **рис. 66** приведен пример двухтактной схемы с $R_{\text{вых}}=1$

кВт на 2xMRF145.
Схему трансвертера для работы на
Таблица 5

Pin, мВт	d, дБ	R1, Ом	R2, Ом	R3, Ом
0,2	0	-	0	-
0,5	3	300	18	300
1	7	120	47	120
2	10	100	68	100
5	13	82	100	82
10	17	68	180	68
20	20	62	240	62
50	23	56	330	56
100	27	56	560	56
200	30	56	820	56
500	33	51	1200	51
1000	37	51	1800	51
2000	40	51	2400	51
5000	43	51	3600	51
10000	47	50	5600	50

диапазоне 432-434 МГц с использованием трансивера с диапазоном 28-30 МГц предложил **Вольфганг Шнейдер, DJ8ES** (**рис. 67**). Он обладает коэффициентом шума не более 8 дБ, усилением в режиме приема не менее 20 дБ и выходной мощностью передающего тракта 50...100 мВт. В режиме приема сигнал с антенны поступает на диапазонный полосовой фильтр (ДПФ) на спиральных резонаторах Fi5 (BV510501), имеющий следующие характеристики: $R_{\text{вх}}=R_{\text{вых}}=50$ Ом; затухание в полосе пропускания 4,5 дБ; полосу пропускания 6,5 МГц по уровню -1 дБ и 9,5 МГц (-6 дБ); затухание вне полосы пропускания при расстройке от $f_{\text{ср}}$ на -40 МГц -42 дБ, а на +40 МГц -34 дБ. После преселекции в Fi5 сигнал усиливается широкополосной IC3 (MSA0885) и подается еще на один аналогичный ДПФ Fi4, с которого поступает на смеситель приемника IC6 (IE500), а затем, преобразованный в 28 МГц и выделенный

ДАЙДЖЕСТ

ФНЧ L3C31, подается через буферный усилитель на T3 (BF981) на вход приемника (трансивера) с диапазоном 28-30 МГц. В режиме передачи сигнал с трансивера в диапазоне 28 МГц поступает через аттенюатор R1-R3 на смеситель передающего тракта IC7 (IE500). R1-R3 обеспечивают на входе IC7 не более 0,2 мВт, а их значения зависят от выходной мощности трансивера (**табл.5**). Гетеродин трансвертера собран на T1 - задающий генератор, стабилизированный кварцем 101 МГц, на T2 - буферный усилитель, в нагрузке которого установлен двухконтурный полосовой фильтр на спиральных резонаторах Fi3 (252MX-1521A), выделяющий сигнал четвертой гармоники (404 МГц), который затем усиливается до необходимого уровня в IC1 и IC2 (в контрольной точке TP1 должно быть около 7,5 мВ). Напряжение питания задающего генератора стабилизировано микросхемой IC5 на уровне 5 В ("Funkamateur", №1/2000, с.63-65 *).

Многие репитеры 2-метрового и 70-сантиметрового диапазонов, работающие в Европейских странах, можно "открыть" только вызывным сигналом частотой 1750 Гц, но не все радиостанции имеют такие генераторы тонального вызова. **Флеминг Хессель**, OZ8XW предложил схему генератора, обеспечивающую эту функцию (**рис.68**). На микросхеме 4060 собран задающий генератор на частоту 455 кГц (используются пьезорезонаторы ZTB455T, CFW455 или BFB455) и делитель 1:256 (выход Q8). Для того, чтобы получить 1750 Гц из 455 кГц, необходим делитель 1:260, а при делении на 256 получим 1777,3 Гц. Поскольку пьезорезонатор "утягивается" легче кварца, можно известными способами подстроить резонатор до достижения на выходе делителя 1750 Гц. Потенциометром 10 кОм устанавливают необ-

ходимый уровень сигнала с генератора тонального вызова, чтобы не "перегрузить" передатчик ("Radiotechnika" №12/99, с.607 *).

В статье **Митчела Ли**, KB6FPW, посвященной концентраторам свободной энергии, отмечается, что таковыми можно назвать солнечные батареи, преобразовывающие солнечную энергию в электрическую. Но работа таких концентраторов напрямую зависит от погодных условий и времени суток. Менее известны концентраторы электромагнитной

(Продолжение. Начало см.»РХ» №6/99)

РЕКОМЕНДАЦИИ ПО НАСТРОЙКЕ ОСНОВНОЙ ПЛАТЫ

Для того, чтобы отключать усилитель-ограничитель VT22 (рис.2, РХ №6/99) квазисенсорно (через логику синтезатора), движок R90 отсоединяют от общего провода и подводят к нему сигнал управления с ключа K155ЛН3 (установлена на плате контроллера).

Амплитуду сигналов гетеродина на смесителе DD1 (KRP50KH8) регулируют изменением питающего напряжения формирователя меандра DD2 (74AC74) при помощи стабилитрона VD1 (рис.2) на различные напряжения и в небольших пределах резистором R5, сопротивление которого зависит от напряжения стабилизации VD1 и может находиться в пределах 36-470 Ом (тем больше сопротивление, чем меньше напряжение стабилизации стабилитрона). Как правило можно ограничиться током через стабилитрон 20-25 мА. Чувствительность делителя DD2 регулируют резистором R3 (рис.2), сопротивление которого будет зависеть от применяемого VD1. При питающем напряжении 6,2-8,2 В микросхемы DD2, R3 будет от 91 кОм до 130 кОм. Минимальное ВЧ напряжение для устойчивой работы DD2 не должно быть ниже 70 мВ, но и не более 600 мВ, оптимально - в пределах 100-300 мВ. Необходимо обязательно проконтролировать форму сигнала на выходе 74AC74 на самой низшей и высшей рабочих частотах. Если форма сигнала будет изменяться скачкообразно при изменении частоты, нужно заново подобрать R3 и возможно, проверить амплитуду входного сигнала на всех частотах. Иногда полезно дополнительно ввести блокирующие конденсаторы различной емкости непосредственно на ножках питания DD2.

Настройка кварцевых фильтров (BQ2-BQ5 и BQ6-BQ9 на рис.2, РХ №6/99) должна проводиться комплексно, т.е. одновременно обеих и в составе основной платы, подавая сигнал от ИЧХ на C4, предварительно разрезав цепь T1(ср.вывод), C4. Форму АЧХ можно контролировать в точке соединения C27,R15,VT4 или смотреть уже усиленный сигнал на Lcb, предварительно отсоединив ее от T2. В последнем случае на форму АЧХ будет влиять и настройка L3,C28,C29.

В случае приобретения основной платы версии с KA157ХП3 в микрофонном усилителе, на ней установлен предварительный усилитель на KT3102, который на рис.2 не показан. Схема этого каскада типовая, аналогична применяемой в RA3AO. Это связано с тем, что автор применяет только динамические микрофоны и иногда сигнала с них не хватает для "раскачки" KA157ХП3 и получения «фирменного» звучания.

На плате **ДИАПАЗОННЫХ ПОЛОСОВЫХ ФИЛЬТРОВ** (рис.5) расположены: широкополосный УВЧ (VT1), первый каскад усилителя передатчика (VT2), аттенюатор, девять полосовых фильтров Z1...Z9, которые включаются дешифратором DD1 управляемым двоично-десятичным кодом по шине D, поступающим от синтезатора частоты. В режиме приема, сигнал с антенного разъема через коммутатор подается на вход IN (RX), а далее или на аттенюатор из резисторов R7,R8,R9 с затуханием 15-20 дБ, подключаемый контактами K4,K3 реле P4,P3, или напрямую (K3, K4 нормально замкнуты) через контакты K5 реле P5 на полосовые фильтры Z1...Z9. В описываемой конструкции применены трехконтурные «полосовики» с индуктивной связью с нагрузкой и емкостной - между контурами. Применение такого варианта вызвано несколькими причинами:

1. На радиорынках появились достаточно удобные каркасы диаметром 6,5 мм (от современных телевизоров) с подстроечными сердечниками различной проницаемости.

2. Не требуется большого количества подстроечных конденсаторов, как в случае емкостной связи с нагрузкой (RA3AO).

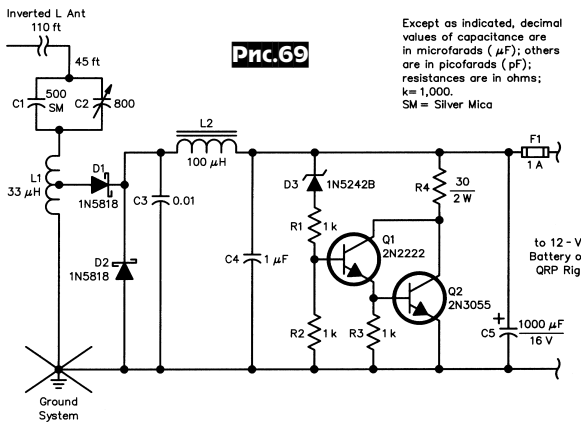


Рис.68

энергии, хотя при условии расположения мощной радиовещательной станции в нескольких километрах от вашего места жительства их электромагнитное излучение можно использовать практически круглосуточно в любое время года и суток. Так, находясь в нескольких милях от 50-киловаттной станции, работающей на 1370 кГц, Митчел использует ее излучение для подзарядки 12-вольтового аккумулятора емкостью 220 А·час! Схема такого **концентратора электромагнитной энергии** показана на **рис.69**. Устройство работает с антенной lrv L длиной 110 футов. Сигнал принимаемой станции выделяется контуром C1C2L1 и детектируется диодами Шоттки D1D2 (1N5818, 40В, 1А). Каскад D2Q1Q2 служит для защиты 12-вольтового аккумулятора от перезаряда и от перенапряжений на холостом ходу, где D3 (1N5242B) - стабилитрон на 12 В, 500 мВт. При более удаленном расстоянии до радиовещательных станций подобный концентратор можно использовать для заряда аккумуляторов меньшей емкости или питания электронных часов, калькуляторов и т.д., при соответствующем изменении параметров контура и параметров D3, который выбирается в соответствии с требуемым напряжением питания устройства ("QST", №10/99, с.66, 67).

Знак «*» в конце библиографических ссылок означает наличие в первоисточнике рисунка печатной платы или иного конструкции. Вы можете заказать в редакции наложенным платежом копии статей, упомянутых в дайджесте (из изданий, с которыми у «РХ» имеется договоренность о взаимном обмене информацией). Ориентировочная стоимость - 0,15 у.е. за страницу копии формата А4 плюс почтовые расходы. Форма заявки: «Прошу выслать наложенным платежом копии статьи из журнала <название первоисточника>, сведения о которой опубликованы в «Дайджесте РХ» № <номер и страницы «РХ»>. Мой адрес <индекс и полный почтовый адрес, Ф.И.О. без сокращений>. Оплату наложенного платежа при получении на по-те гарантирую. Подпись»

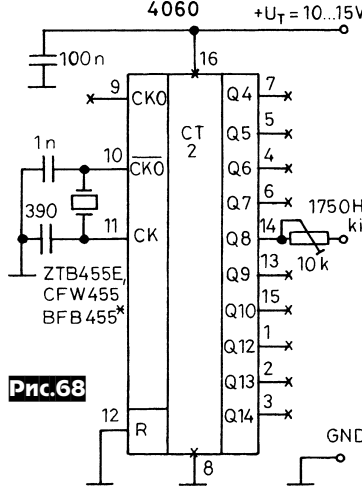
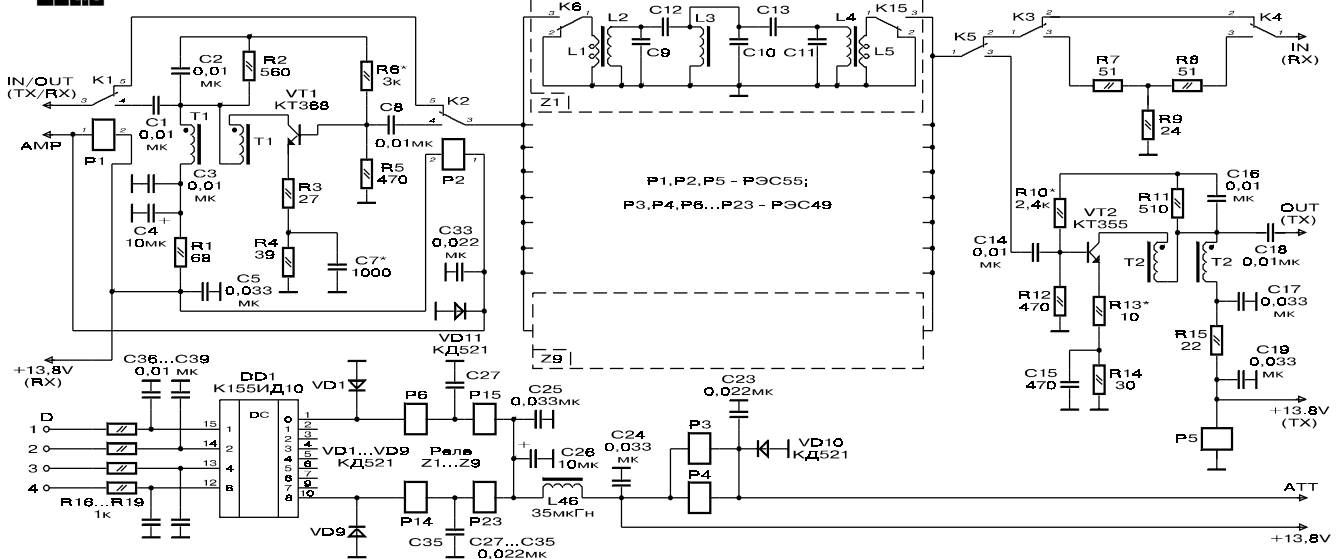


Рис.69

Портативный КВ трансивер

Александр Тарасов, UT2FW, г.Рени Одесской обл.

Рис.5



3. Удобство разводки на печатной плате без длинных концов катушек (РАЗАО).

4. Самое главное - антenna через катушку связи гальванически связана с корпусом, этот момент облегчает ситуацию с наводками статического электричества в антенне. В крайнем случае «залипнут» контакты реле от достаточно мощного разряда, но напряжение не попадет в радиочастотный тракт усиления и полупроводники останутся целыми. Шунтирование антенного гнезда разрядниками, дросселями, резисторами не давало положительного эффекта. Разрядники не имели 100% надежности - это подтверждает опыт эксплуатации Р339А («Катран»). Хотя там и установлен разрядник, полевые транзисторы смесителя приходилось неоднократно заменять после гроз, пока не был сделан антенный коммутатор. Дроссели обладают собственным реактивным сопротивлением, а резисторы активным, поэтому на них остается определенное напряжение, которого бывает достаточно для пробоя полупроводников, даже таких мощных как КП904, что неоднократно происходило в трансивере «Урал 84М». Конечно, катушка связи тоже имеет реактивное сопротивление, но оно намного ниже чем у дросселя и к тому же имеем две заземленные катушки связи (L1,L5), прежде чем статика попадет в радиочастотный тракт и наведет там «свои порядки». Реальные испытания трансиверов с такой версией построения полосовых фильтров показали, что можно без дополнительных мер предосторожности работать во время наводок статического электричества, конечно, если нет опасности прямого попадания молнии в антенну и в эфире еще что-то можно разобрать. Количество витков катушек связи подобрано под входное сопротивление 50 Ом и приведенные данные соотношения обмоток трансформатора T1 на основной плате. Хотя все полосовые фильтры разведены на печатной плате как трехконтурные, в реальной конструкции на WARC диапазонах используются двухконтурные полосовики, что связано с узостью этих диапазонов. Если появится желание и здесь применять трехконтурные, данные L3,C10 можно приблизительно оценить, руководствуясь параметрами полосовиков соседних диапазонов. Переключение фильтров происходит при помощи реле РЭС49, РЭК23 паспорт 201,202 (сопротивление обмотки 270-300 Ом). Можно применять реле паспортов 001,423,428 с сопротивлением обмотки 1,7-1,9 кОм, но соединяя

них их параллельно, предварительно подбрав по надежному срабатыванию от 11-12 В. Печатная плата разведена таким образом, что допускает оба варианта включения реле.

Управление переключением реле осуществляется синтезатором по шине D, кодом, который дешифруется микросхемой DD1 (рис.5), на входе которой установлены RC фильтры (R16...R19, C36...C39) для устранения наводок от цифровой части синтезатора. Дешифратор DD1 имеет на выходе довольно мощные ключи с открытым коллектором, преодолевший ток одного ключа - до 80 мА и напряжение питания нагрузки до 15 В, что позволяет подключать реле P6...P23 непосредственно к выходам DD1. Диоды VD1...VD11 служат для защиты ключей от бросков обратного напряжения, возникающих при переключении реле. При управлении переключением реле от микропроцессора синтезатора появилась возможность работать на разнесенных диапазонах (CrossBand). Если не предполагается использование синтезатора в трансивере, микросхему DD1 можно исключить и переключать полосовые фильтры, например автоматикой, используемой в TRX RA3AO, или применить обычный переключатель на девять положений.

Далее отфильтрованный сигнал поступает на широкополосный УВЧ на VT1 (подключается контактами K1, K2 реле P1, P2). Реле включаются напряжением +13,8 В (RX), поэтому при переходе на передачу сигнал проходит в обход УВЧ через нормально замкнутые контакты K1, K2. Этот же каскад можно было задействовать и на передачу, но при наличии двух разных каскадов на прием и передачу, можно оптимально подобрать их характеристики, которые отличаются для приемника и передатчика. В качестве VT1, в зависимости от поставленной задачи, можно использовать любые высокочастотные, желательно малошумящие транзисторы. Если нужно сохранить максимальный динамический диапазон, следует применять мощные транзисторы KT610, KT606, KT939, KT911 и им подобные. Если нужно обеспечить максимальную чувствительность - больше подойдут малошумящие KT368, KT399. Элементы отрицательной обратной связи определяют параметры каскада: общий коэффициент усиления - R3, R6, AЧХ - R4, C7 и немного R2, C2. На схеме (рис.5) приведены оптимальные значения элементов для KT368A, с максимальным подъемом усиления в районе 29 МГц. Усиление можно поднимать

до 22 дБ и вплоть до самовозбуждения уменьшая значение R3 и увеличивая R2.

Реле P1, P2 и P3, P4 управляются командами AMP и ATT через порт контроллера синтезатора и дополнительные транзисторные ключи или логические элементы, умощняющие выходы порта K580BB55, которые установлены на плате индикации непосредственно выше кнопок и плате контроллера. Здесь так же, как и в случае с переключением реле фильтров, если не будет применяться синтезатор, можно заимствовать автоматику TRX RA3AO или применить обычные тумблеры. Все реле следует проверить на надежность переключения напряжением 11-12 В. Реле РЭС 55 лучше применять 12 В паспорта (0102) с сопротивлением обмотки 390-430 Ом, но с предварительной проверкой можно использовать и паспорта 001,002,0502 (сопротивление обмотки 1,7-2 кОм).

В режиме передачи сигнал с основной платы поступает на вход IN/OUT (TX/RX) и через нормально замкнутые контакты K1, K2 подается на фильтры Z1...Z9 в зависимости от диапазона. Отфильтрованный сигнал уровнем 80-120 мВ через контакты K5 подается на первый каскад передатчика VT2, который работает в классе А с током покоя 20 мА и схема которого аналогична УВЧ.

Трансформаторы T1, T2 наматываются одновременно двумя проводами без скрутки на ферритовых кольцах диаметром 7-10 мм проницаемостью 600-1000, проводом диаметром 0,15-0,18 мм. Достаточно 7-9 витков. Начало одной обмотки соединяется с концом второй.

Не следует пытаться получить максимальный коэффициент усиления с первого каскада передатчика - в этом случае линейка ШПУ будет склонна к «возбуду». Достаточно получить на выходе каскада VT2 в ненагруженном на ШПУ положении ВЧ сигнал в пределах 0,8-1,5 В (эффективное значение). Главное - обеспечить подъем усиления на 29 МГц, т.к. в последующих более мощных каскадах сделать это на ВЧ диапазонах намного сложнее. Затухание в полосовых фильтрах с ростом частоты падает, поэтому требуемые характеристики получаются довольно легко. Формировать АЧХ TX проще всего при помощи C15, общее усиление - R13. Усиленный сигнал с VT2 поступает в линейку ШПУ, которая расположена на задней панели радиаторе трансивера.

ШИРОКОПОЛОСНЫЙ УСИЛИТЕЛЬ МОЩНОСТИ (ШПУ)

Так как трансивер предназначен для работы от источника питания напряжением 13,8 В, то поиски были направлены на то, чтобы обеспечить требуемую мощность с минимальным завалом АЧХ в ВЧ области и сохранением линейности при понижении напряжения питания до 11 В. Выбор транзисторов отечественного производства для решения этой задачи очень мал. Если еще учсть, что стоимость их как правило выше, чем транзисторов, предназначенных для работы от 24-28 В, и на радио рынках они довольно редко встречаются, то прежде чем браться за изготовление такого усилителя, следует задуматься - а нужно ли прилагать героические усилия, чтобы зациклившись на этих пресловутых, принятых во всем мире 13,8 В? Может слепить ШПУ из того «радиобарахла», что есть в наличии? Есть же КТ960, КТ958, КТ920, КТ925, которые довольно часто применяют радиолюбители. Чтобы читателю была более ясна позиция автора, остановимся более подробно на выборе типов транзисторов. Если верить тому, что пишут разработчики и изготовители мощных транзисторов, они делят их на три класса: 1) Низкочастотные (границная частота до 3 МГц), 2) Высокочастотные (границная частота до 300 МГц), 3) Сверхвысокочастотные (границная частота выше 300 МГц). Наши интересует вторая группа, внутри нее транзисторы разделяются на: А) предназначенные для линейного усиления ВЧ сигнала и Б) для широкополосного усиления сигнала в классе С на частотах 50-400 МГц. Более подробно о том, как проектируются и изготавливаются те или иные транзисторы, лучше прочесть в профессиональной литературе. Здесь же отметим лишь основные отличия подгруппы А и Б. Группа А, транзисторы предназначенные для связной аппаратуры - это в основном линейные широкополосные усилители, работающие в режиме одной боковой полосы, к транзисторам предъявляются дополнительные требования как по конструктивному исполнению (уменьшение емкости коллектора и индуктивности эмиттерного вывода) так и по линейности. В мощных ВЧ транзисторах для связной аппаратуры амплитуда комбинационных составляющих третьего и пятого порядков в 25-30 раз меньше, чем амплитуда основных сигналов (ослабление не менее 27-33 дБ) [1]. При изготавливании транзисторов этой группы производители основное внимание уделяют параметрам линейности и запасу прочности в предельных режимах эксплуатации. В подгруппе Б больше внимания уделяют частотным свойствам и повышению коэффициента усиления по мощности. Например, два транзистора, рассчитанные на получение одинаковой мощности 20 Вт - КТ965А (подгруппа А) и КТ920В (подгруппа Б) отличаются предельными эксплуатационными параметрами. КТ965А - ток коллектора 4 А, рассеиваемая мощность 32 Вт при питании 13 В; КТ920В - соответственно 3 А, 25 Вт при 12,6 В. Так как граничная частота транзисторов, предназначенных для работы ниже 30 МГц, довольно невысокая (до 100 МГц), то изготовителю легче произвести прибор с большей перегрузочной способностью. Например, минимальные размеры элементов транзистора на частоты 200-500 МГц составляют 1 мкм и менее, тогда как для частот 50-100 МГц они могут иметь размер 3-4 мкм [1]. В том, что перегрузочная способность транзисторов, разработанных для линейного усиления КВ диапазона, выше, чем у приборов более высокочастотных, но используемых радиолюбителями на частотах до 30 МГц, пришлось убедиться на практике. Например, ШПУ с выходной мощностью 70 Вт на КТ956А выдерживает КСВ до 10 в длительном режиме и обладает достаточно хорошей линейностью, чего нельзя сказать о точно таком же усилителе на КТ930Б. RU6MS использует ШПУ на

КТ956А с выходной мощностью 100-130 Вт в виде приставки к «Катрану» уже несколько лет, нагружая усилитель непосредственно на антенну без всякого согласования. Помеха телевидению, даже при использовании «польских» активных антенн, полностью отсутствует. Перед этим он пытался эксплуатировать усилитель, опубликованный Скрыпником в журнале «Радио», и кроме нервных стрессов после очередной замены КТ930Б, отсутствия возможности работать в эфире, когда любимая жена смотрит очередной сериал по телевизору, насколько мне известно, другого опыта получено не было. RK6LB применяет промышленный блок на двенадцати КТ956А (мощность до 500 Вт) и спокойно работает в эфире при расстоянии 4 метра между усилителем и головной, формирующей сигналы шести телевизионных каналов, станцией кабельного телевидения. Аналогичные параметры линейности и надежности можно получить, применяя транзисторы, предназначенные для питания напряжением 13,8 В. К сожалению, перечень таких изделий, выпускавшихся отечественной промышленностью, очень мал - это КТ965А, КТ966А, КТ967А. Более современные типы транзисторов на радио рынках попадаются очень редко. Максимальные значения выходной мощности могут быть получены при применении КТ966А и КТ967А, но рассматривать эти версии ШПУ здесь не будем из-за дефицитности транзисторов. Для повседневной работы и «раскачки» большинства мощных РА достаточно линейных 50-60 Вт выходной мощности TRX, которые можно получить с более доступными КТ965А. Если предполагается частая работа от аккумулятора, то на этом можно остановиться. Следует учесть, что основная масса радиолюбителей до сих пор используют в трансиверах выходные каскады на ГУ19 с такими же энергетическими параметрами и они не могут оценить великолепную чистоту эфира в моменты отключения электроэнергии. А если еще происходит ежедневные «плановые» отключения, то пользователям ламповой техники остается только почувствовать. Они теряют не только время, но и громадное удовольствие от прослушивания диапазонов во время отсутствия помех, когда отключается электроэнергия в достаточно большом районе. В том случае, когда нужна мощность не менее 100 Вт при 12 В аккумуляторе, потребуются КТ966, 967 или их импортные аналоги, но тогда резко повышается стоимость трансивера и логичнее приобрести что-то готовое фирменное, нежели «изобретать велосипед». Можно попытаться применить при низковольтном питании транзисторы, разработанные для 27 В - это КТ956А, КТ957А, КТ944А, КТ955А, КТ951Б, КТ950Б, но, как показал опыт, придется смириться с ухудшением энергетических характеристик и линейности. Одна из версий трансивера, используемого UA3RQ, такова - задействованы КТ956А при напряжении питания около 20 В, в моменты отключения сети подключаются три последовательно включенных щелочных аккумулятора напряжением 19 В. Два типа доступных мощных ВЧ транзисторов - КТ958А и КТ960А предполагают их применение в таком трансивере, т.к. разработаны они под питающее напряжение 12,6 В, но для класса С. По техническим условиям в случае применения этих приборов в режимах классов А, АВ, В рабочая точка должна находиться в области максимальных режимов, т.е. более предпочтительна работа телеграфом и ограниченным SSB сигналом. Для обеспечения достаточной надежности, выходная мощность не более 40 Вт. Желательна работа на согласованную антенну нагрузку, в противном случае линейка ШПУ на таких транзисторах склонна к подвоздушанию.

Схема усилителя, используемого в трансивере, приведена на **рис. 6**. Этот узел выполнен на печатной плате, привинченной к зад-

ней стенке - радиатору корпуса. Распайка деталей с одной стороны платы на вытравленных площадках. Такой способ монтажа позволяет легко закрепить плату на радиаторе и обеспечивает доступ к элементам при их замене без переворачивания платы, тем самым упрощается процесс настройки и ремонта ШПУ. Напряжение питания платы 13,8 В. Если используется отдельный стабилизированный мощный источник питания для трансивера, то напряжение для этого узла можно поднять до 14,5 В, а для остальных каскадов TRX ввести дополнительный стабилизатор на 12-13 В. Такая мера позволяет увеличить общий коэффициент усиления и соответственно облегчить задачу получения равномерной АЧХ. Ту же мощность при повышенном напряжении можно будет получить при меньшем токе и за счет этого уменьшить просадку питающего напряжения на подводящих проводах. Не нужно забывать, что при низковольтном питании трансивера и довольно большой выходной мощности, потребляемый ток может достигать значительной величины, при $P_{VTH} = 50-60$ Вт - превышает 7 А. При этом уже отрицательно сказывается на стабильности питающего напряжения длинные подводящие провода между блоком питания и трансивером. Например, на сетевом «шнурке» длиной 1 м от сгоревшего 100 Вт паяльника, используемом для подачи питающего напряжения от блока питания к трансиверу, просадка напряжения при токе до 10 А может достигать 0,3-0,5 В, приложите сюда просадку на проводах внутри трансивера от разъема до выключателя и обратно к плате ШПУ - в итоге на коллекторах выходных транзисторов при максимальной мощности вместо 13,8 В, на которые настроен блок питания, имеем 13-13,3 В. Это не улучшает ни линейность усилителя, ни его энергетические показатели.

ШПУ трехкаскадный, первый каскад работает в режиме класса А, второй - в классе АВ и оконечный - в классе В. Основные задачи при построении транзисторных ШПУ - обеспечение максимально линейной АЧХ, надежности и устойчивой работы на нагрузку, отличающуюся от номинальной. Равномерная отдача мощности во всем рабочем диапазоне частот решается при помощи выбора типов транзисторов, дополнительными частотозависимыми цепочками отрицательной обратной связи, подбора соответствующих широкополосных трансформаторов и конструктивным выполнением. Надежная и устойчивая работа обеспечивается всевозможными защитами по перегрузкам, выбором типов радиоэлементов и конструктивным исполнением. Первый каскад усиителя выполнен на транзисторе VT1 (**рис. 6**), в качестве которого можно применить КТ610, КТ939 или более современный 2T996B. Из доступных транзисторов лучший - это КТ939A, т.к. он специально разработан для усиления в классе А с повышенными требованиями к линейности. Ток покоя зависит от типа применяемого транзистора и составляет не менее 100-160 мА. Первый каскад должен работать в «жестком» режиме класса А с минимумом «мусора» в выходном сигнале, т.к. от этого будет зависеть не только то, что получим на выходе линейки ШПУ, но и общий коэффициент усиления полезного сигнала. Последующие каскады также широкополосные и они будут одинаково усиливать все сигналы, поступающие на их вход. При большом количестве гармоник во входном сигнале часть мощности будет бесполезно расходоваться на их усиление, за счет комбинационных взаимодействий между ними это еще ухудшит общую линейность. Ток покоя первого каскада регулируется R2. Максимальную отдачу на частоте 29 МГц устанавливают подбором C1. Цепочка R5,C2 определяет как общий коэффициент усиления, так и наклон АЧХ. T1 выполнен на ферритовом кольце K7-10 проницаемостью 1000, намотка бифиляр-

ная без скрутки двумя проводами диаметром 0,15-0,18 мм равномерно по всему кольцу, достаточно 7-9 витков. Начало одной обмотки соединено с концом второй и образует средний вывод. Дроссель L1 должен выдерживать потребляемый транзистором ток. При настройке первого каскада основное внимание нужно уделить линейности и максимальной отдаче на 29 МГц. Не следует увлекаться повышением коэффициента усиления, уменьшая R3, R4 и увеличивая R5 - это приведет к ухудшению линейности и устойчивости работы всего ШПУ. ВЧ напряжение на коллекторе VT1, нагруженном на VT2, составляет 2-4 В в зависимости от того, какую мощность хотим получить.

Далее усиленный сигнал через С6 поступает на второй каскад, который работает с током покоя до 350-400 мА. С6 определяет АЧХ в НЧ области и в случае завала на 160 м его емкость можно увеличить до 0,022-0,033 мкФ. Здесь применен транзистор КТ965А. Это на первый взгляд не совсем логичное решение, т.к. транзистор «очень мощный» для такого каскада и используется здесь на 15-20% от того, что в нем «заложено». Попытки применить более «слабый» транзистор в этом каскаде не дали желаемых результатов. Высокочастотные транзисторы 12 В серии из доступных - КТ920, КТ925 с различными буквами если и обеспечивали энергетические параметры, то не давали малого количества «палок» в выходном сигнале на экране анализатора спектра. КТ921А при хорошей линейности не обеспечивает требуемую АЧХ при питании 13,8 В и не раскачивает выходной каскад до требуемой мощности на ВЧ диапазонах. Только при применении КТ965А удалось получить до 5 Вт линейного сигнала с этого каскада.

Кстати, если нет требования получения большей мощности от такого трансивера, то на этом каскаде можно завершить построение ШПУ. В этом случае трансформатор T2 следует включить наоборот, т.е. обмоткой II в цепь коллектора, а обмоткой I в нагрузку и подобрать соотношение витков обмоток для оптимального согласования с нагрузкой. Но даже без подбора соотношения витков в обмотках T2 линейка из транзисторов 2T355A (плата ДПФов), 2T939А и 2T965А обеспечивает 13-16 В эффективного ВЧ напряжения на нагрузке 50 Ом. Потребляемый ток достигает 1,3-1,5 А, КПД получается небольшим, но эта плата за высокую линейность сигнала. Если не удается найти КТ965А, тогда целесообразно этот каскад выполнить двухтактным на транзисторах КТ921А. Придется смириться с некоторым завалом на частотах выше 21 МГц, выходная мощность с таким каскадом достигает 10 Вт.

Вернемся к схеме на **рис. 6**. R7 служит для

предотвращения пробоя эмиттерного перехода при обратной полуволне управляющего напряжения и рассчитывается по формуле $R = S / (2\pi F_{rp} C_0)$.

Напряжение смещения базы VT2 стабилизируется цепочкой VD1, VD2, VT3, R9. Подбором R9 устанавливается ток покоя VT2. R8, C7 и R10, R11 определяют требуемую АЧХ и коэффициент усиления каскада. Устанавливать VT3 на теплоотвод не требуется. Дроссель L3 должен выдерживать ток до 1,5 А. Трансформатор T2 типа «бинокль» из колец диаметром 10 мм проницаемостью 1000, высота столбиков 11-13 мм. Можно использовать кольца проницаемостью 1000-2000 диаметром 7 мм, высота столбиков 10-11 мм. Первичная обмотка содержит 2-3 витка монтажного провода во фторопластовой изоляции, вторичная обмотка 1 виток провода ПЭЛ 0,7-0,8 мм или того же монтажного провода. Обмотки расположены внутри ферритовых трубочек выводами в противоположные стороны отверстий «бинокля». Виток считается, когда провод проходит в один «глазок бинокля» и возвращается из второго. Настройка каскада заключается в подборе тока покоя VT2 резистором R9, коррекции АЧХ и коэффициента усиления - R8 и в меньшей степени C7. Предварительно обмотка I трансформатора T2 должна содержать 3 витка. Окончательный подбор будет осуществляться при настройке всего ШПУ.

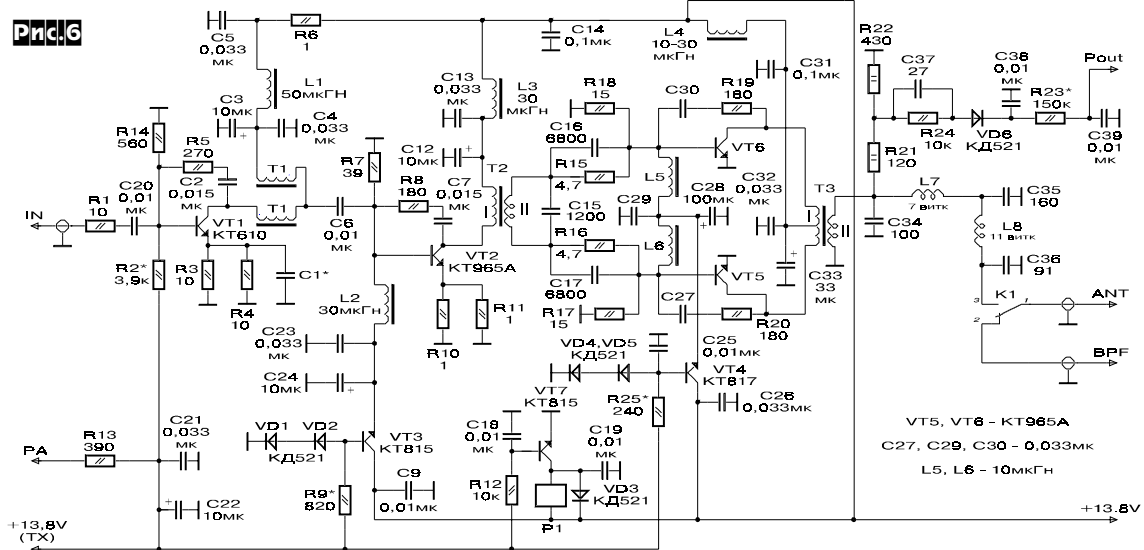
С T2 два противофазных сигнала поступают для дальнейшего усиления на двухтактный каскад VT5, VT6. Тип применяемых транзисторов зависит от предполагаемой выходной мощности. Самые мощные и соответственно дорогие - это КТ967А. С них можно получать выходную мощность более 100 Вт с очень высокой надежностью. Возможно применение КТ956А, но при напряжении питания 13,8 В у этих транзисторов резко падает усиление на высокочастотных диапазонах и линейность. Выход только один - повышать напряжение питания хотя бы до 18-20 В. С транзисторами КТ965А в выходном каскаде возможно получение 50-60 Вт с приемлемой надежностью. Хотя в справочниках указывается выходная мощность 20 Вт на один транзистор, но это как раз тот редкий случай, когда указана «штатная» мощность при применении в промышленной и военной технике с большим запасом надежности. В качестве эксперимента с парой 2T965А на нагрузке 50 Ом удавалось получить 90 Вт на низкочастотных диапазонах. При выходной мощности 40-45 Вт усилитель выдерживает практически любой КСВ в длительном режиме, оптимальной такую работу называть, конечно же, нельзя. При длительной работе с высокими значениями КСВ, например, не-

сколько пользователей этой техники упрямо используют одну «проводоку» на все диапазоны (называя это антенной), обычно один-два раза в год они меняют первый транзистор линейки ШПУ - КТ355А. «Отражёнка» блудит по трансиверу и самое слабое место оказалось в первом каскаде. С транзисторами КТ966А можно получать не менее 80 Вт выходной мощности, но у них больше завал на ВЧ диапазонах. Как показал опыт длительного применения этих транзисторов при КСВ до 1,5-2 они выдерживают двукратную перегрузку по мощности. Более распространённые и дешёвые транзисторы такие параметры, увы, не обеспечивают. Например, при применении КТ920B, 925B можно с натяжкой получить линейных 40 Вт, при превышении этой цифры резко падает надежность и растёт уровень внешних излучений.

Цепочки C16, R15 и C17, R16 формируют требуемую АЧХ. R17, R18 служат для той же цели, что и R7. При помощи C15 обмотка II трансформатора T2 настраивается в резонанс на самой высокой рабочей частоте (29,7 МГц). Дополнительно усиление и АЧХ можно корректировать цепочками R19, C30 и R20, C27. Стабилизатор базового смещения выполнен на VD4, VD5, VT4. VT4 через слюдинную прокладку прикреплен к радиатору. Дроссель L4 намотан на ферритовом стерженьке от самых больших и длинных дросселей (ДМ3) или на ферритовом кольце проницаемостью 600-1000 диаметром 14-16 мм, проводом диаметром не менее 0,8 мм - на стерженьке до заполнения, на кольце достаточно 7-10 витков. Дроссели L5, L6 можно применить типов ДПМ-0,6 или намотать их на ферритовых колечках диаметром 7 мм, проницаемостью 600-1000, достаточно 5 витков провода ПЭЛ 0,35-0,47 мм. T3 - «бинокль» из колец диаметром 10-12 мм, проницаемость 600-1000, длина столбиков 28-24 мм. Обмотка I - один виток оплётки от коаксиального кабеля, обмотка II - два-три витка монтажного провода во фторопластовой изоляции, проложенного внутри первичной обмотки. Точное количество витков вторичной обмотки подбирается при настройке на требуемое сопротивление нагрузки при номинальной выходной мощности по равномерной АЧХ и наилучшему КПД каскада. Ток покоя, по 200-250 мА на транзистор, устанавливается резистором R25 по наибольшему подавлению чётных гармоник, уровень которых контролируют анализатором спектра или дополнительным приёмником. Выходные транзисторы требуют обязательного подбора пары. Подбор на малом токе не оптимален - нужно проверить характеристики при токах коллектора 50 мА, 300 мА, 1 А. Более того, транзисторы с близкими характеристиками на постоянном токе следу-

ет подбирать в пары еще и по одинаковой отдаваемой мощности на ВЧ. Т.к., например, самые «крутые» транзисторы на постоянном токе очень часто уступают по отдаче на ВЧ транзисторам с параметрами «ниже средних». Задача успешного выбора пары выходных транзисторов решается, если в наличии есть хотя бы десяток транзисто-

Рис.6



ров. Надежда на то, что раздельное питание баз может компенсировать разброс, увы, «имеет место быть» только при небольшом разбросе. Наша промышленность так безобразно выдавала «на гора» эту продукцию, что разбросы таковы: на постоянном токе при одном и том же базовом смещении ток коллектора может быть от 20 до 300 мА, а амплитуда ВЧ напряжения на нагрузке при одинаковой «раскачке» - и 20, и 30 В. Сложно предположить, что будет выдавать ШПУ, если в выходном каскаде применить два транзистора с крайними значениями разбросов. Понятно, что удовлетворения от работы такого «чуда» не получит ни сам пользователь, ни слушатели. В реальной конструкции ШПУ различия параметров выходных транзисторов отражаются снижением выходной мощности, неравномерным нагревом транзисторов (более «крутой» греется сильнее), из-за перекоса плеч повышенное содержание гармоник в выходном сигнале (вплоть до появления TVI), низким КПД. К сожалению, одним тестером подобрать качественно пару транзисторов для выходного каскада не удаётся, поэтому если есть очень большое желание изготовить такой усилитель, но не удаётся приобрести достаточно количества транзисторов, чтобы подобрать пару, в крайнем случае можно за помощью обратиться к автору этих строк, не забывайте только, что его возможности не безграничны. К выходной обмотке трансформатора Т3 подаяния «защита от дурака», состоящая из R21, R22. В случае, если у линейки ШПУ исчезнет нагрузка или будет подключено вместо антенны неизвестное сооружение, то вся мощность будет рассеиваться на этих резисторах. Рано или поздно от них пойдёт дух горячей краски - сигнал нерадиовому «эксплуататору» - схема «чего-то не так, горим». Эта простейшая, но действенная защита позволяет, в случае надобности, включать трансивер на передачу на неизвестную нагрузку. Чем сопротивление нагрузки выше 50 Ом, тем большая мощность рассеивается на этих резисторах. Ситуации, когда сопротивление нагрузки ниже 50 Ом, возникают намного реже, и как показывает опыт, усилитель легче выдерживает КЗ нагрузки, нежели её отсутствие. Какая низкоомная нагрузка ни была бы, всегда есть реактивное сопротивление коаксиального кабеля, которым она подключена, и реактивность ФНЧ, поэтому абсолютное КЗ на выходе УМа получить не просто, конечно, если специально не имитировать такую ситуацию. Как гласит один из законов Мерфи: «Защита от дурака срабатывает до того момента, пока не появится изобретательный дурак». Цепочка R24, C37, VD6, C38, R23 служит для измерения выходной мощности. Элементы R24, C37 подобраны таким образом, чтобы компенсировать неравномерность измерения мощности от частоты. Подбором R23 регулируют чувствительность измерителя.

ФНЧ с частотой среза 32 МГц состоит из С34, L7, С35, L8, С36 и рассчитан под нагрузку 50 Ом. ФНЧ следует дополнительно настроить по наивысшей отдаче на 28 МГц, сдвигая-раздвигая витки катушек L7, L8. В случае применения дополнительного согласующего устройства между трансивером и антенной или при работе с внешним усилителем мощности этого ФНЧ достаточно для подавления внеполосных излучений. В правильно изготовленном и настроенном усилителе уровень второй гармоники не более -30 дБ, третий не более -18 дБ, комбинационных колебаний третьего порядка на пике огибающей двухтонового сигнала не более -32 дБ.

Контакты K1 реле P1 подключают антеннное гнездо к ШПУ в режиме передачи. Реле P1 управляет ключом VT7 при подаче на его базу +13,8 В (TX). VD3 служит для защиты VT7 от бросков обратного тока при переключении реле. Р1 типов РЭС10, РЭС34 с сопротивле-

нием обмотки до 400 Ом, его предварительно нужно проверить на надёжность срабатывания от 12-13 В. Некоторые реле, например РЭС10 паспортов 031-03 02, 031-03 01 при напряжении питания 13,8 В надёжно работают в течение первых двух-трёх недель, а затем при нагреве отсека УМа, где они расположены, начинают отказывать - не дотягивают контакты и не подключают выход ШПУ к антенне. Возможно, это было связано с их низким качеством, хотя десяток реле из той же коробки работают безотказно уже несколько лет. Замечена интересная особенность отечественной элементной базы - она требует предварительного «теста», прогона в течение не меньше одной-двух недель и желательно в различном температурном режиме, т.е. трансивер следует включать-выключать, чтобы он во время работы нагревался и при отключении остыпал. Тогда те детали, которые «должны вылететь» из-за их низкого качества, «улетят» быстрее и не приведут к «нервному стрессу» в самый неподходящий момент, как это чаще всего бывает. После такого тестирования трансивер при грамотной и аккуратной эксплуатации, как правило, безотказно работает годами. Можно применить РЭС10 с сопротивлением обмотки 120 Ом, паспорт 031-04 01, но нужно учсть, что потребляет оно около 110 мА при 13,8 В питании и прилично нагревается, что не улучшает общий температурный режим отсека ШПУ и, соответственно, максимальный коллекторный ток VT7 должен быть не менее этого значения. При применении РЭС10 выше описанных паспортов, в качестве VT7 можно применять KT315.

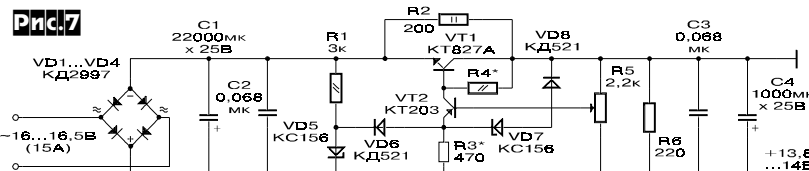
БЛОК ПИТАНИЯ

Этот узел выполняется в отдельном корпусе для того, чтобы не увеличивать габариты и вес трансивера, который часто используется для работы в полевых условиях и запитывается от аккумулятора. Схема стабилизатора прошла испытание в течение нескольких лет в северной версии трансивера и более простой и надёжной схемотехники за этот период не удалось ни обнаружить, ни отработать. Было изготовлено несколько вариантов импульсных источников питания, в принципе они тоже достаточно надёжны, имеют высокий КПД, защиту от «КЗ» и т.д. и т.п., но при той «стабильности» сети 220 В, которую мы имеем в нашем родном отечестве, а точнее при полной её отсутствии, приходилось несколько раз в год разбирать блоки питания для их восстановления. После двух лет таких испытаний, подсчитав «дебет с кредитом», принято решение отказаться от импульсных источников питания. Теоретически возможно под нашу сеть изготовить импульсный источник питания, но де-

сяня стабилизатора с максимальным током до 11-13 А показана на **рис.7**. Хотя на одном KT827A можно получить максимальный ток до 18-20 А, но в этом случае уже невозможно обеспечить надёжную защиту от КЗ, такого перегрузочного тока не «тянет» сам транзистор. Например, при выставлении тока срабатывания защиты на уровне 20 А, если плавно увеличивать потребляемый ток до максимального значения, при превышении выставленного порога защита отрабатывает и «сбрасывает» напряжение на выходе. Если же имитировать КЗ, то один из трех KT827A обязательно «вылетает». Этого можно избежать, включив токоограничивающий резистор 0,1-0,5 Ом последовательно с эмиттером VT1, но лучше применить параллельное включение двух таких предварительно подобранных транзисторов. Последовательно в цепи эмиттеров потребуется включение «выравнивающих» резисторов по 0,1-0,2 Ом. В зависимости от «крутизны» транзисторов, с двух можно будет получить выходной ток более 25 А.

В качестве VT2 можно использовать любой низкочастотный маломощный транзистор, например KT502. Диоды в выпрямителе - любые, подходящие по току. Неплохо работают КД213 до тока 15 А. На ёмкости конденсатора C1 не следует экономить. Как правило из-за высоких цен на радиоэлементах на такие конденсаторы, используют «старые запасы» от списанной техники, забывая, что ёмкость таких изделий уже далеко не та, которая указана на корпусе. Коэффициент стабилизации стабилизатора невысокий, поэтому ёмкость конденсатора должна быть достаточной. Чтобы не было слышно фона, учитывая большой коэффициент усиления по низкой частоте на основной плате, ёмкость конденсатора должна быть не меньше 22000 мкФ, лучше больше. Очень удобна эта схема ещё и тем, что регулирующий транзистор не нужно изолировать от корпуса. Трансформатор должен обеспечивать требуемый ток при напряжении 16-16,5 В. Выпрямленное напряжение на конденсаторе C1 21-22,5 В, поэтому довольно большая мощность при максимальном токе падает на VT1, для рассеивания которой нужен теплопровод. В блоке питания использован радиатор-задняя стенка корпуса, размером 120 х 100 мм с ребрами высотой 20 мм. При таких размерах и максимальном потребляемом токе он нагревается до 60-80°С, в зависимости от окружающей температуры. Если предполагается работа в «жарком климате» или цифровые виды излучения, площадь радиатора нужно увеличить.

Ток, при котором срабатывает защита, выставляется при помощи резистора R3, его значение не должно быть менее 200 Ом: чем



таки придётся применить в несколько раз большие по запасу прочности, нежели это было бы в случае стабильной сети. Стоимость такого источника в несколько раз превысит стоимость обычного блока питания.

После многочисленных проверок различных идей и версий таких устройств «вызрела» простейшая схема стабилизатора, который подходит для питания транзисторной техники от 12 до 27 В. Стабилизатор с защитой от «КЗ» и самая главная особенность этой схемы - защита быстродействующая: стабилизатор сбрасывает напряжение быстрее, чем «вылетают» транзисторы выходного каскада передатчика. Тем более, что можно выставить желаемый ток срабатывания защиты. Эта вер-

сия больше, тем меньше выходной ток, при котором срабатывает защита. Максимальный ток определяется качеством и «крутизной» VT1. Нужно обратить внимание на выбор KT827A, т.к. на радиоэлементах последних лет выпускавшихся. Обязательна проверка всех электродов транзистора тестером на предмет соответствия переходов в открытом и закрытом состоянии. Переходы в закрытом состоянии не должны «звониться», не забудьте только о том, что в одном направлении переход коллектор-эмиттер «звонится», т.к. внутри транзистора установлен диод. В трансивере

(продолжение на стр.36)

УСИЛИТЕЛЬ МОЩНОСТИ СОВРЕМЕННОГО ТРАНСИВЕРА

Яков Лаповок (UA1FA), г.Санкт-Петербург

В настоящее время многие наши радиолюбители обзавелись импортными «фирменными» трансиверами. Как правило, они имеют «выходную мощность» 100 Вт, в то время как разрешенная российским любительским радиостанциям первой категории вдвое больше, т.е. 200 Вт.

Выходная мощность «фирменных» трансиверов взята в кавычки не случайно - это не средняя выходная мощность, которая оговорена в наших лицензиях, а так называемая PEP - мощность на пикегибающей выходного сигнала. Можно считать, что средняя выходная мощность передатчика при работе в режиме SSB равна примерно половине PEP. Таким образом, радиостанция первой категории может применить в дополнение к «фирменному» трансиверу усилитель мощности с коэффициентом усиления около 6 дБ, т.е. дающим выигрыш в силе сигнала 1 балл. В таком усилителе нет смысла применять очень дорогие современные металлокерамические лампы типа ГУ-74 и т.п., имеющие к тому же большую склонность к самовозбуждению, что особенно опасно для нагруженного усилителем транзисторного выходного каскада. С задачей линейного усиления выходного сигнала «фирменного» трансивера вполне справится каскад на старой добре ГК-71, не требующий принудительного обдува и прекрасно работающей во всех любительских КВ диапазонах. (Оговоренная в справочниках граничная частота ГК-71, равная 20 МГц, - следствие стремления заводов-изготовителей оградить себя от большого числа заказчиков - абсурдное явление врем-

еня развитого социализма).

Автор изготовил по описываемой ниже схеме два усилителя мощности. Первый работал (и работает по сей день) с трансивером FT-840 фирмы YAESU на радиостанции RK1B (в квартире-музее А.С.Попова), второй использовался с трансивером DX-70 фирмы ALINCO. Оба усилителя рассчитаны на работу в диапазонах 10, 12, 15, 17, 20, 30, 40 и 80 м, пиковая выходная мощность при отсутствии заметных искажений усиливаемого сигнала - 500 Вт, входное сопротивление - 50 Ом.

Принципиальная схема предлагаемого усилителя мощности изображена на рисунке. Входной сигнал поступает на коаксиальное гнездо XW1 («Вход»). В режиме приема и при выключенном усилителе этот сигнал через контакты реле K1.1 и K6.1 поступает на выходное гнездо XW2 («Выход»), соединенное с антенной радиостанции. Для переключения в режим передачи на розетку XS1 подают управляющий сигнал с уровнем 0 (или, что то же самое, соединяют левый - по схеме - вывод обмотки реле K8 с общим проводом). В результате срабатывают реле K1 и K6, и усиливаемый сигнал через один из П-контуров, введенных в тракт переключателем диапазонов SA1 (секции SA1.1 и SA1.2) поступает в цепь катода лампы VL1, включенной по схеме с заземленными сетками. В таком включении лампа ГК-71 превращается в идеальный триод с правой характеристикой - ток через нее течет только при положительном (по отношению к катоду) напряжении на сетках. Ее входное сопротивление по первой

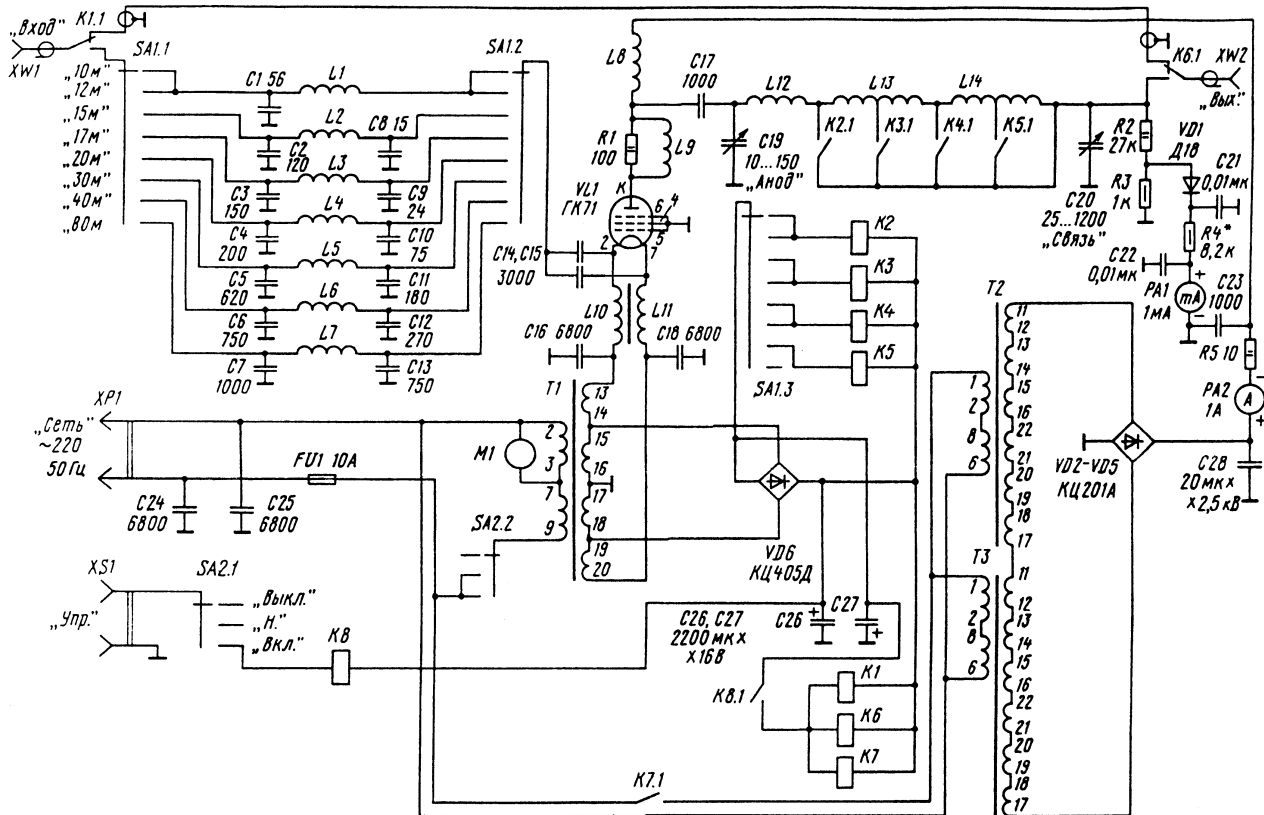
гармонике сигнала в этом случае близко к 400 Ом. Для снижения входного сопротивления усилителя до 50 Ом (именно на таком сопротивлении нагрузки «фирменный» трансивер отдает максимальную мощность) на входе применены П-контуры с коэффициентом трансформации (повышением) входного напряжения в два раза.

Нить накала-катода лампы питается через двойной дроссель L10L11, причем напряжение, поступающее на них, равно примерно 12В, что обеспечивает нужное для линейной работы усилителя значение тока покоя при сохранении длительного срока службы лампы. В анодную цепь лампы включен обычный П-контур C19L12-L14C20, секции катушки которого переключаются мощными высокочастотными контакторами K2-K5, управляемыми в свою очередь секцией SA 1.3 переключателя диапазонов.

Резистор R1, шунтированный катушкой L9 с небольшой индуктивностью, предотвращает самовозбуждение усилителя на частотах УКВ диапазона (а такая возможность существует несмотря на мифическую «низкочастотность» ГК-71).

На выходе П-контура через делитель напряжения R2R3 подключен индикатор уровня выходного сигнала (элементы VD1,C21,R4,C22,PA1). Требуемую чувствительность индикатора устанавливают в зависимости от реального входного сопротивления антенны подбором R4.

Управление работой усилителя осуществляется сигналом управления внешним усилителем мощности от трансивера через XS1 и переключатель SA2. В



его положениях «Откл.» и «Н» (накал) усилитель не работает. В положении «Вкл.» управляющий сигнал включает реле K8. Обмотка этого маломощного реле питается напряжением 12 В, что обеспечивает возможность работы усилителя с любым «фирменным» трансивером (некоторые из них имеют очень «слабую» цепь управления внешним РА).

Источник питания усилителя состоит из трех унифицированных малогабаритных трансформаторов (T1-T3) и двух выпрямителей. Один из них (VD6) питает обмотки реле и контакторов, другой (VD2-VD5) - анодную цепь лампы. Поскольку анодные трансформаторы с суммарным напряжением вторичных обмоток около 1750 В не выпускаются, пришлось соединить последовательно вторичные обмотки двух трансформаторов (T2 и T3). Цепь накала лампы VL1 питается от соединенных последовательно вторичных обмоток трансформатора T1. К части его первичной обмотки подключен электродвигатель M1 осевого вентилятора с номинальным напряжением 220 В. Он необходим только для описываемого ниже варианта усилителя в малогабаритном корпусе.

Детали и конструкция. В источнике питания усилителя применены трансформаторы ТПП285 127/220-50 (T1), TA285 127/220-50 (T2) и TA238/127-50 (T3). Рабочее напряжение всех реле (за исключением K8) и контакторов - 24 В (реле K8 - 12 В при сопротивлении обмотки не менее 500 Ом). Контакты высокочастотных реле K1 и K6 должны быть рассчитаны на коммутацию мощности соответственно 100 и 500 Вт, причем они (контакты) должны нормально работать и в режиме приема, т. е. при напряжении порядка долей микровольта. Контакты контакторов K2-K5 должны быть рассчитаны на ток до 10 А при напряжении до 3000 В, а контактора K7 - на такой же ток при напряжении 220 В. Коммутируемые ток и напряжение реле K8 - соответственно 1 А и 24 В.

При подборе для усилителя конденсаторов переменной емкости С19 и С20 следует иметь в виду, что зазор между пластинами первого из них должен быть не менее 2 мм, а второго (если антенна имеет входное сопротивление 50...100 Ом) - не менее 0,3 мм. Если используется антенна с более высоким входным сопротивлением (например, типа «луч» или «американка»), зазор между пластинами С20 должен быть не менее 1 мм. Катушки входных П-контуротов L1-L7 намотаны проводом ПЭВ-2 1,0 на фторопластовых каркасах диаметром 10 мм. Намотка - сплошная, виток к витку, но следует предусмотреть возможность их раздвигания при настройке усилителя. Количество витков этих катушек следующие: L1-L3 - по 12, L4, L5, L6 и L7 - соответственно 14, 20, 25 и 40. L9 содержит четыре витка такого же провода, равномерно распределенных по длине корпуса резистора R1 (МЛТ-2).

Дроссель L8 намотан на фторопластовом каркасе диаметром 21 мм. Его обмотка выполнена проводом ПЭВ-2 0,35 и состоит из пяти секций (зазоры между соседними секциями - 3 мм): первая (считая от вывода, соединенного с резистором R1) содержит 24 витка, равномерно распределенных на длине 15 мм, все ос-

тальные (вторая, третья и т. д.) намотаны виток к витку и занимают по длине соответственно 10, 15, 20 и 30 мм.

Магнитопровод сдвоенного дросселя L10L11 - три сложенных вместе ферритовых (600НН) кольца типоразмера K32x20x5. После обмотки лентой из лакоткани на него намотаны семь витков сложенного вдвое и скрученного с шагом около 10 мм провода МЛП сечением 0,75 мм².

Катушка выходного П-контура L12 намотана на ребристом керамическом каркасе диаметром 40 мм и содержит 4,5 витка посеребренного медного провода диаметром 3 мм, длина намотки - 25 мм (высокая доброкачность этой катушки и обеспечивает полную выходную мощность при работе в диапазоне 10 м). На таком же каркасе выполнена и катушка L13. Ее обмотка состоит из восьми витков посеребренного провода диаметром 2,5 мм (длина намотки - 40 мм), отвод сделан от третьего витка, считая от вывода, соединенного с L10.

Цилиндрический каркас катушки L14 изготовлен из фторопласта. Его диаметр - 40 мм. Катушка содержит 25 витков провода ПЭВ-2 1,5, намотанного виток к витку (отвод - от 11-го витка, считая от вывода, соединенного с L11).

Малогабаритный вариант усилителя собран в корпусе размерами (ширина х высота х глубина) - 280x280x320 мм. На высоте 140 мм в нем закреплено шасси с отверстием под лампу ГК-71, установленную в заднем правом углу. В верхнем отсеке размещены детали выходного П-контура и стрелочный измеритель РА 1. В нижнем отсеке смонтированы детали источника питания, прибор РА2 индикации анодного тока, переключатели SA1, SA2 и детали входных П-контуротов. На задней стенке нижнего отсека закреплен вентилятор. Поток воздуха проходит через колышевую щель, образованную корпусом лампы и стенками отверстия под него в шасси, в верхний отсек с крышкой, имеющей решетку над лампой.

Во втором варианте конструкции усилителя вентилятор отсутствует, но ширина его корпуса увеличена до 400 мм (при тех же высоте и глубине). Все детали установлены на шасси высотой 60 мм, под ним смонтированы только переключатели SA1, SA2 и детали входных П-контуротов. Для охлаждения усилителя в дне корпуса предусмотрено зарешеченное отверстие, а крышка приподнята над верхней стenkой на высоту 20 мм.

Настройку усилителя начинают с проверки работоспособности источника питания. Установив переключатель SA2 в положение «Н», измеряют напряжение на выходе выпрямителя VD6, на выводах накала лампы. Далее включают усилитель (SA2 - в положении «Вкл.») и в отсутствии ГК-71 измеряют напряжение на выходе выпрямителя VD2-VD5. Последнее на холостом ходу (без нагрузки) должно быть около 2300, а при токе нагрузки 400 мА (максимальный ток через ГК-71 при работе усилителя) - 2000 В. Вставив лампу, измеряют ее ток покоя, который должен быть около 30 мА. Не забудьте подключить к выходу усилителя эквивалент нагрузки, например, лампу накаливания мощностью 500 Вт на напряжение 220 или 127 В. Затем к входу усилителя через КСВ-метр подключают источник сигнала. Его выходная мощность должна быть достаточной для работы КСВ-метра (2...10 Вт). Изменяя длину намотки катушек входных П-контуротов, добиваются КСВ по входу в середине каждого диапазона, близкого к 1. В диапазонах 10 и 12 м (в них, как видно из схемы, работает один входной контур) минимума КСВ добиваются на частоте 26 МГц (в этом случае его значение на краях диапазонов будет не более 1,5). В завершение подключают антенну, с которой будет работать усилитель, и, манипулируя конденсаторами С19, С20 добиваются максимума показаний индикатора выхода РА1 в каждом диапазоне. Для быстрого перехода с диапазона на диапазон в процессе эксплуатации есть смысл составить таблицу соответствующих им положений роторов этих конденсаторов.

(начало см. стр.30)

для сглаживания бросков потребляемого тока при передаче установлен конденсатор 10000 мкФ, поэтому при его включении возникает бросок зарядного тока этого конденсатора и срабатывает защита от КЗ, стабилизатор не запускается. Для того, чтобы «загрузить» защиту, введен дополнительный резистор R4 (30-100 кОм). При возникновении возбуждения на ВЧ, его можно убрать включением параллельно R4 конденсатора небольшой емкости (100-1000 пФ). R2 служит для надежного запуска. В момент, когда выходной каскад не работает и ток потребления минимален, через этот резистор может повышаться выходное напряжение. Чтобы этого не происходило, включен нагрузочный резистор R6. Его значение зависит от утечки VT1 и R2. Элементов R2, R6 могло бы и не потребоваться в том случае, если бы промышленность выпускала только добротаственные KT827. Диоды VD6, VD8 любые кремниевые. От напряжения стабилизации VD7 зависят пределы регулировки выходного напряжения. Чем меньше напряжение стабилизации VD7, тем меньшее напряжение можно получить на выходе стабилизатора.

При выборе сетевого трансформатора следует руководствоваться правилом - габаритная мощность должна не менее чем в 2 раза превышать предполагаемую выходную мощность передатчика. Для трансивера с выходной мощностью до 80 Вт достаточно трансформатора ТС180 от старых ламповых телевизоров. На диаметре провода вторичной обмотки нельзя экономить. В одной из версий блоков питания для трансивера с выходной мощностью до 100 Вт, трансформатор намотан на ТОРе с РГаб.=240 Вт, вторичная обмотка шириной 4 x 1 мм, ток холостого хода сетевой обмотки 15-20 мА. При длительной работе на передачу трансформатор нагревается до 40-50°C. В режиме приема трансивер с ковельским синтезатором и контроллером на Z80 потребляет 1,2 А. Если предполагается делать мощный выходной каскад в трансивере, то при значительных токах потребления монтаж силовых шин в стабилизаторе и «шнурок», соединяющий блок питания с TRX, требуется выполнять проводом соответствующим току потребления.

Литература

1. Богданович Б.М. «РПУ с большим динамическим диапазоном». М. Радио и связь 1984г.

ВНИМАНИЕ! Автором допущена ошибка в начертании схемы микрофонного усилителя (рис.4, РХ №6/99, с.23). Левый по схеме вывод R11(6,8к) нужно соединить с точкой соединения C7 и R10, а не с диодами VD1, VD2 и средним выводом R10.

(Окончание следует)

Мультирежимная программа

Виктор Ткаченко, UT1UA, г.Киев

Программа MixW создана киевским радиолюбителем-программистом Николаем Федосеевым, UT2UZ. Цель - получить программный продукт, объединяющий все основные нужды радиолюбителя: аппаратный журнал, работа в соревнованиях, поддержка всех видов связи, прогноз прохождения, вычисление расположения спутников, поддержка управления большинства фирменных трансиверов и антенными поворотками...

Вниманию читателей предлагается описание одной из последних версий на период подготовки статьи (версия 1.36 от 8 января 2000 г.).

1. Системные требования

IBM PC с процессором не ниже 486-DX4/100MHz. Операционная среда Windows 95/98, NT. Оперативная память 8 МБ (предпочтительнее 16 МБ). Цветной (предпочтительнее) или монохромный монитор. Винчестер для инсталляции (MixW занимает 1,4 МБ в распакованном виде). 16-битовая звуковая карта, инсталлированная под Windows. Один COM-порт (в случае использования интерфейсных функций программы). Мышь для ПК.

2. Краткий обзор возможностей MixW

2.1. MixW имеет:

- удобный многооконный экранный интерфейс с ниспадающими и разворачивающимися меню на котором размещены: основные кнопки и переключатели для оперативного управления, индикаторы режимов работы и частоты, азимутальная карта мира и др.;
- разработанный автором индикатор настройки в виде спектрографа, позволяющий быстро и точно настроиться на программном уровне на станцию, не изменяя частоты трансивера;
- встроенный журнал проведенных QSO;
- дополнительное окно партнера для ввода основных сведений о проводимом QSO;
- большой спектр макрокоманд, позволяющих более оперативно проводить связи;
- 24 функциональных клавиши с заранее подготовленным текстом для передачи с использованием макрокоманд;
- встроенный шумоподавитель для PSK, QPSK, FSK31 и RTTY;

2.2. MixW может:

- принимать в реальном времени PSK, QPSK, FSK31 (одновременно две станции по одному входу), RTTY, PACKET, CW;

- передавать PSK, QPSK, FSK31, RTTY, PACKET, CW и звуковые файлы в SSB;

- определять и индицировать позывные, появляющиеся в приемном окне, и давать сведения по ним (например: QSO BEFORE, NEW COUNTRY);

- по префиксу позывного определять и показывать на карте азимутальное направление на корреспондента, подсказывать страну, континент, зоны по WAZ, ITU, расстояние до корреспондента;

- по позывному - было ли QSO с данным корреспондентом, каким видом и на каких диапазонах;

- конвертировать данные аппаратного журнала (file log.log) в форматы других log-программ;

2.3. MixW поддерживает:

- работу основных функций Windows (управление мышью, Drag and Drop, Copy, Clear, Print, Delete);

- многоязычный интерфейс (русский, английский, итальянский, французский, испанский и др.);

- работу CAT-систем трансиверов целого ряда моделей и фирм (управление основными функциями трансивера непосредственно из программы, требует соответствующего интерфейса);

- работу в основных PSK, RTTY, CW и SSB-контестах с автоматическим оформлением отчетов;

- работу с "QRZ" CD-ROM или его отдельной базой данных;

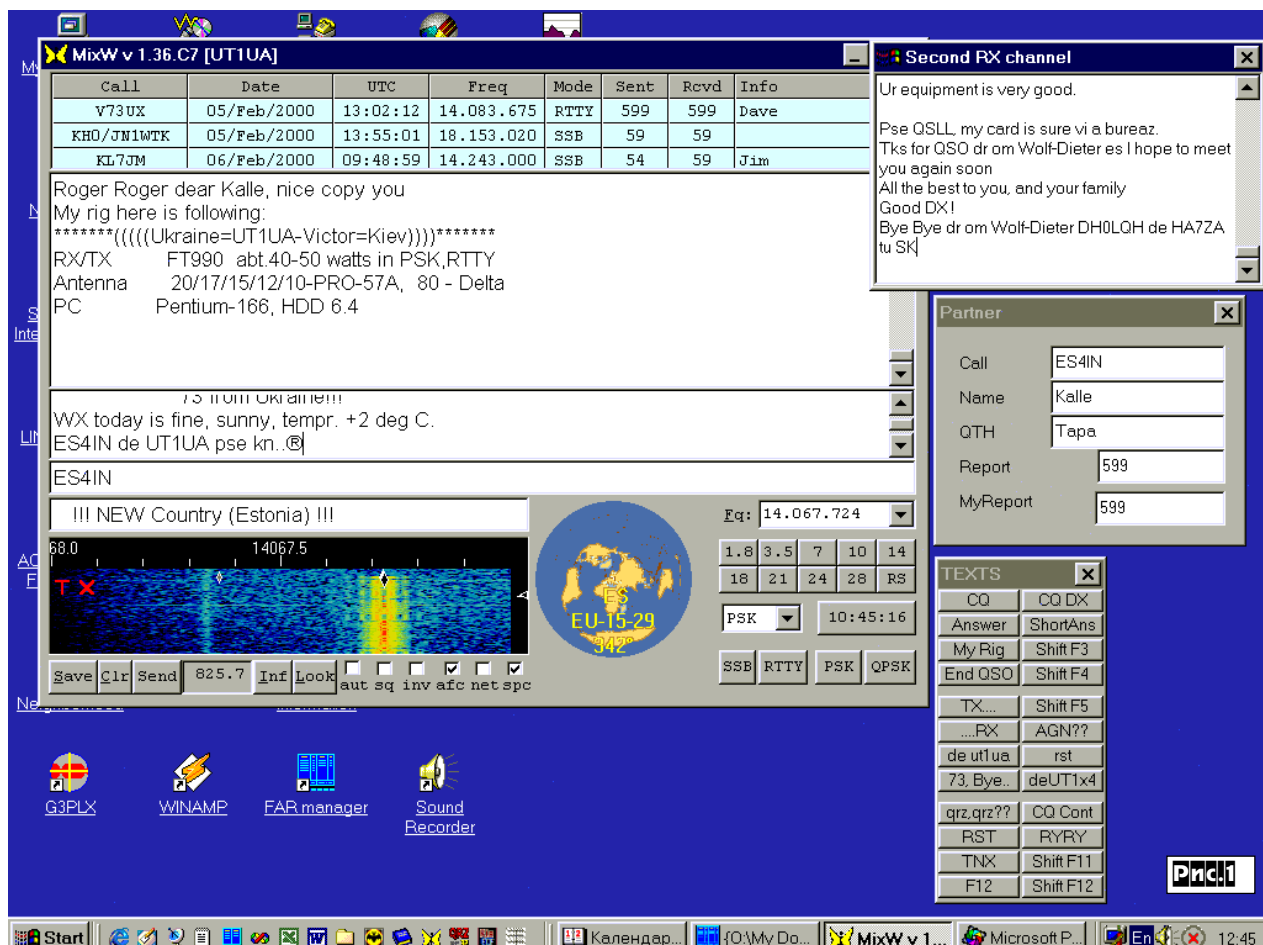
- совместную работу с DX-Cluster, позволяющую при использовании CAT-системы быстро перестраивать трансивер на указанную в кластере частоту и вид работы, вносить свои собственные данные в DX-Cluster.

3. Установка MixW и описание экранного интерфейса

Для установки программы необходимо запустить инсталляционный файл MixWXXX.exe (где XXX - порядковый номер версии) и следовать указаниям Wizard. Данный файл автоматически создаст директорию MixW (по умолчанию - в директории Program Files), куда скопируется весь пакет файлов программы. ShortCut MixW по умолчанию разместится в Start-Program меню Windows. Нажав мышкой ShortCut MixW запустится программа MixW, главное экранное меню которой показано на **рис. 1** (а в цвете - на первой странице обложки).

Рабочие окна главного меню имеют следующие назначения:

Окно 1 - серо-голубое (вверху), показывает сведения о последних



QSO, записанных в аппаратный журнал (файл log.log).

Окно 2 - желтое (второе сверху), для основного приемного канала.

Окно 3 - для передающего буфера. (Все три окна имеют автопрокрутку).

Окно 4 - для ввода данных о QSO: позывного, принятого и переданного RST, имени, QTH и т.д., которые при заполненном окне партнера вводятся автоматически нажатием на окно указателя времени на панели программы.

Примечание: для редактирования данных, внесенных в журнал log.log, который расположен в директории MixW, можно использовать любой текстовый редактор или, отметив левой клавишей мыши необходимое QSO в окне 1 и нажав правую клавишу, активировать режим Edit. Режим Add предназначен для ручного ввода данных о QSO's, проведенных, например, ранее, без использования MixW.

Окно 5 - информационное, для вывода позывного, который программа автоматически выделяет в приемном окне, а также сведений о повторности связей с данным корреспондентом или сведений типа "NEW COUNTRY!!!".

Окно 6 - для приема по второму каналу (second RX channel), активируется нажатием Shift+левая кнопка мыши (убирается - Shift+правая кнопка мыши).

Далее вниз расположены спектрограф-индикатор настройки. Метка настройки основного канала имеет вид белого ромба, расположенного у верхней линии окна, за которым синхронно перемещается метка RX - ромб черного цвета (в обычном режиме - не видна). С правой стороны спектрографа расположен затемненный треугольник - индикатор точной настройки на станцию (в процессе работы - передвигается по вертикали).

Ниже индикатора расположены кнопки (слева-направо):

Save (Сохран) - при нажатии левой кнопки мыши сохраняет на жестком диске в файле log.log данные, введенные в строку 4-го окна (при вводе необходимо соблюдать синтаксис: позывной, мой рапорт, рапорт, имя, QTH, дата, время, вид, частота, дополнительная информация).

Clear (Очистка) - очистка данных, введенных в строку 4-го окна.

Send (Отправка) - вызывает окно Windows "Open File" ("Открытие файла") для выбора и загрузки в передающий буфер файла для трансляции.

Цифровое окно - указывает частоту настройки индикатора в Гц. При первом запуске индицирует частоту, выставленную в меню Setup-Spectrum-Initial Sound Fq.

Info (Информация) - осуществляет поиск и вывод DXCC информации по позывному, введенному в строку ввода данных о QSO, или префиксу. В появившемся диалоговом окне INPUT BOX можно набрать любой позывной или префикс, по которому необходимо получить информацию.

Look (Поиск) - осуществляет поиск по заданному критерию в файле данных log.log. Удалив в появившемся диалоговом окне INPUT BOX имеющийся позывной и нажав кнопку OK, можно просмотреть весь журнал.

Справа от кнопок расположены специальные кнопки-флажки:

aut (авт) - включает автоматическую работу шумоподавителя (в режиме PSK и RTTY).

sq (ш/п) - включает работу шумоподавителя вручную.

inv (инв) - инвертирует сигнал USB-LSB относительно выставленного по умолчанию в Setup.

afc (апч) - автоподстройка звуковой частоты приема (в пределах 8 Гц).

net - автоподстройка звуковой частоты передачи относительно частоты приема.

src - включает канал приема и индикатор-спектрограф.

Примечание: в скобках указаны сокращения для русифицированного экранного интерфейса.

Справа от окна индикатора расположена азимутальная карта. Нажатие левой кнопки мыши в области карты включает просмотрщик суммарной таблицы по данным, внесенным в журнал log.log, а Shift+левая кнопка мыши активирует режим пересчета данных, введенных в log.log для итоговой таблицы (этот режим необходимо включать после ручного ввода данных в аппаратный журнал).

Под картой расположен индикатор интегральных искажений для PSK (IMD) - включается автоматически при приеме станции, работающей на передачу без транслирования текста хотя бы в течение 3-4 сек.

В правом нижнем углу помещен блок окон и кнопок управления трансивером и видами работы:

Окно Fq - индикация частоты VFO трансивера (работает в случае использования CAT-системы трансивера).

1.8...28 - кнопки переключения диапазонов.

RS - кнопка включения режима работы через радиолюбительские спутники с использованием Split.

Всплывающее окно выбора вида работы (CW, USB, LSB, SSB, RTTY, SSTV, FAX, AM, FM, PSK, QPSK, FSK31, AX25, AX25TX).

Индикация текущего времени GMT (устанавливается программой автоматически из системных часов с учетом временной зоны). Программа чувствительна к формату представления времени: убедитесь в правильности установки по формату ЧЧ:ММ:СС.

SSB, RTTY, PSK, QPSK - кнопки оперативного переключения основных видов работы. Под кнопками PSK и QPSK находятся "скрытые" индикаторы в виде красных светодиодов, которые включаются (мига-

ют), индицируя фактический вид работы.

4. Соединение компьютера с трансивером

Программа не требует установки терминала TNC, достаточно иметь в распоряжении компьютер и инсталлированную под Windows звуковую карту. Для работы в MixW необходимо сигнал звукового выхода трансивера (желательно линейный) подать на вход звуковой карты компьютера, а ее выход - на микрофонный вход трансивера через простой резистивный делитель, обеспечив на микрофонном входе не более 10 мВ, используя экранированные кабели. Для получения максимальной развязки между компьютером и трансивером следует применять трансформаторы по сигнальным цепям и оптронные развязки по цепям управления. Микрофон при работе RTTY, PSK, QPSK, FSK31 следует отключать.

С помощью аппаратных средств компьютера System Volume необходимо отрегулировать уровни входа и выхода звуковой карты, контролируя приборами уровень раскачки, и отсутствие искажений. Для этого входим в меню Start-Settings-Control Panel-Multimedia Properties и нажимаем Recording (для регулировки уровня по приему). Выбираем (Select) Line Volume и, передвигая ползунок, подбираем уровень, при котором поле индикатора-спектрографа на цветном мониторе при отсутствии сигнала станции (только шум эфира) в режиме Waterfall (Бодопад) имеет сине-голубую окраску, что свидетельствует о правильно выбранном уровне входного сигнала. При настройке на станцию появится желтая полоса-дорожка, изменяющая окраску до красной в зависимости от величины входного уровня. Регулировку уровня по выходному сигналу производим следующим образом. Как и ранее, в меню Multimedia Properties, нажимаем теперь Playback и ползунком System Volume от минимума до максимума увеличиваем уровень выходного сигнала, контролируя сначала качество сигнала по акустическим системам ПК или наушникам, а после, подавая выходной сигнал на вход трансивера - по контрольному приемнику или приборам. Окончательно эту операцию лучше произвести в эфире, попросив кого-либо из операторов, желательно соседей, посмотреть Ваш PSK-сигнал на спектрографе MixW и измерить IMD, который должен быть не менее 22-25 дБ (очень хороший результат - более 30 дБ).

ВНИМАНИЕ!

а) Не допускайте "перекачки" по входу трансивера сигналом с выхода звуковой карты - это ухудшает "читаемость" сигнала и многократно увеличивает полосу излучения.

б) При работе цифровыми видами связи Speech Processor необходимо отключать.

в) Вся аппаратура должна быть заземлена, а соединения производите только в выключенном состоянии во избежание выхода из строя узлов персонального компьютера.

г) Аппаратура должна быть согласована с антенным хозяйством, чтобы исключить возможности наводки ВЧ напряжения на компьютер.

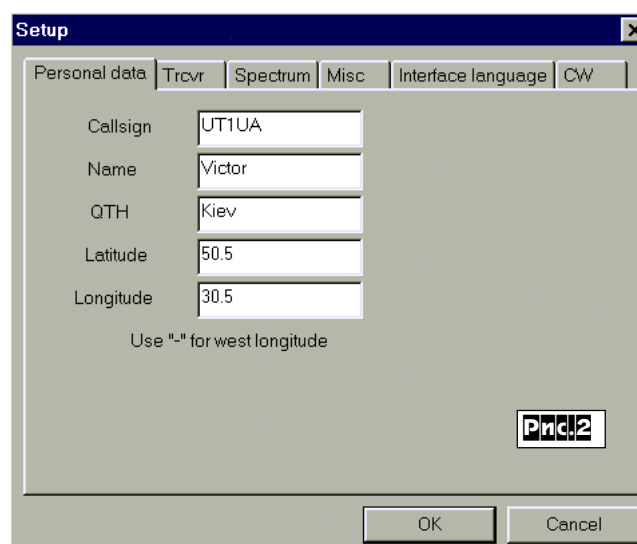
Для перевода трансивера в режим приема/передачи можно использовать VOX-систему или схему PTT (см. Help MixW, "Радиохобби" №5/99 стр.29 и №1/2000 стр.41).

5. Настройка программы и установки в Setup. Нажатием в левом верхнем углу пиктограммы "бабочка" активизируется ниспадающее меню, в котором выбираем:

5.1. **Setup**, состоящий из шести частей (**рис.2**):

5.1.1. **Personal data** (персональные данные пользователя) - введите позывной (большими буквами), имя, QTH, координаты (широту и долготу) в градусах.

5.1.2. **Trcvr** - установки для интерфейса вашего трансивера, где: Com - выбор номера последовательного порта для обмена данными; Speed - выбор скорости обмена данными через порт (по документации на трансивер); CAT/RCP - выберите тип трансивера, если не используется



ся - выставляется None; Swap CW/PTT - схема обмена данными для CW и PTT - реверс.

PTT is always ON - PTT всегда включен (режим передачи). Некоторые CAT-системы некорректно работают с COM-портом. В этом случае можно использовать данную функцию вместо VOX.

Digital Op Mode Command - цифровая команда для управления режимами трансивера.

Digital modes use - выбранный по умолчанию режим USB, LSB.

5.1.3. Spectrum - установки для индикатора настройки-спектрографа:

Initial sound fq - выставляется звуковая частота от 300 до 3000 Гц, на которую программа настраивается по умолчанию и выставляет робмик в верхней области окна настройки-спектрографа. Ее выбирают, исходя из средних частот самых "узких" фильтров приемника, как по ПЧ, так и в случае применения звуковых "пик" фильтров.

Spectrum start - начальная звуковая частота индикации спектрографа.

RTTY HITONES - то же, что и предыдущие два параметра, только для RTTY в случае приема в более высокочастотной области, нежели в режиме PSK или CW, иначе "флажок" в этом оконке не ставится.

Zoom - изменяет масштаб отображения шкалы спектрографа от 1 до 3 крат.

Average spectrum - изменяет формы отображения сигнала, где: Show average - показывать линию усредненного сигнала или нет; Inverted - показывает перевернутую линию усредненного сигнала; Thick line - показывает усредненный сигнал толстой линией (на компьютерах с невысокой скоростью CPU лучше не активировать).

5.1.4. Misc, где CW ID - выбирается скорость передачи CW-идентификатора (передача Вашего позывного телеграфом после, например, CQ в режиме PSK) от 1 до 3 крат (1-медленнее, 3-быстрее); Use "de" - добавляет "de" перед позывным при передаче CW-идентификатора, а в контестовом режиме игнорирует DE как штат DELAWARE; Large Screen - большой или нормальный вид экрана; Simple TX buffer - переключает TX-буфер на простой (без функций редактирования и т.д.) при котором переданный текст не "исчезает" из буфера; QRZ CDROM - указывается путь размещения CD-ROM "QRZ" для поиска находящихся в нем данных; Use Band Map - при использовании CAT-системы управления трансивером показывает так называемую карту диапазона, где помечены частоты станций, внесенные в память трансивера, и позволяет оперативно "просмотреть" эти частоты прямо из MixW; Save TRCVR Fq and Mode on Exit - запоминает частоту (диапазон) и режим работы при выходе из программы (и восстанавливает эти данные при повторном запуске); Select FONT - позволяет выбрать отображаемый на экране фонт шрифтов для приемного и передающего окон, строки ввода данных; AutoWrap - автоматический перенос слов на экране, указать количество знаков в строке (с учетом пробелов).

5.1.5. Interface language - выбор языка отображения основного экрана и диалоговых окон.

5.1.6. CW - установки для работы в телеграфном режиме, где Pitch - устанавливается частота настройки по умолчанию (аналогично п.1.5.3. - Initial sound fq); LSB - использование по умолчанию нижней боковой полосы в CW; Numbers - передача цифр в сокращенном виде, где "0 as T" - ноль передается как T, "1 as A" - единица как A, "9 as N" - девятка как N; "Skip leading 0" - незначащий ноль упускается; Use SoundBlaster for CW output - использование звуковой карты для формирования CW сигнала. При отсутствии "флажка" в этом оконке телеграфный сигнал поступает через COM-порт (сигнал DTR) и CAT систему трансивера.

5.2. Contest dialog - диалоговое окно для выбора наименования соревнований и необходимых установок, которые поддерживаются программой MixW, где Contest - выбор наименования соревнований; Class - выбор класса участия в данных соревнованиях; Period - индицируется период участия в соревнованиях (заложено программно из условий соревнований), время UTC; Begin - начало соревнований, после нажатия в журнале производятся специальные пометки для QSO, по которым будет составляться отчет; Check log - выводится суммарная таблица с результатами участия в данных соревнованиях на момент просмотра и составляются два итоговых файла: "yourcall.log" и "yourcall.sum", необходимых для отправки отчета в электронном виде; End - окончание соревнований, нажать для окончания участия в соревнованиях и подведения итогов; Close - закрыть диалоговое окно Contest dialog.

5.3. AX25 Setup - установки для работы в PACKET.

5.3.1. General - общие установки.

- Incoming MyCalls - список "ваших" позывных, с которыми некто может соединиться. Пример: "UU9JDR UU9JDR-1 UU9JDR-2". Записываются через пробел. Максимум 10. (Во всех случаях используется запись позывного в форме CALL-ssid, где CALL - сочетание из букв латинского алфавита и цифр [до 6 знаков], a ssid - число от 0 до 15. "UU9JDR" - то же, что и "UU9JDR-0", всего до 10 позывных).

- Always accept incoming connections - при входящем соединении не спрашивать разрешение на соединение, а всегда его разрешать.

- My Digi's Calls - перечень позывных (до 10), используемых в качестве диджипитеров, указывая которые, другие станции могут использовать Вашу в качестве диджипитера.

- Enable digipeating - включить/выключить диджипитерные функции Вашей станции.

- Modulator/demodulator type - тип модуляции, где "HF 300 baud" - обычный KB-пакет с настройкой на станцию по спектрографу; "VHF 1200

Standard" - совместимый с TCM3105; "VHF 1200 Zero-crossing" - модуляция с переходом к следующему биту при пересечении выходным напряжением нуля; "VHF 1200 FX469" - совместимый с модемами на чипе FX469 (все три последних типа отличаются частотами двух тонов для "0" и "1"); "VHF 2400 и 4800 FX469" - режимы, совместимые с чипом FX469; VHF custom afsk - частоты и скорость, задаваемые пользователем.

- Use PSK on 2400/4800 baud - использовать "манчестерское" кодирование в режимах, совместимых с FX469, на скоростях 2400 и 4800 бод.

5.3.2. Parameters - параметры протокола.

- Max Frame - максимальное количество кадров, которое станция передает, не дожидаясь подтверждений на них - максимум 7. Чем больше, тем быстрее будет связь (не надо лишний раз щелкать прием/передача). Актуально, например, при перекачке файлов с BBS. При плохой связи лучший выбор = 1.

- PacLen - длина информационной части кадра в байтах, 1..255 (т.е. собственно, количество полезной информации). В плохих условиях PacLen нужно уменьшать. Обычное значение - около 100.

- TxDelay, ms - задержка в миллисекундах между моментом включения передатчика и началом передачи пакета, в течение которой передается двухтональный сигнал (01010...) для перевода трансивера в режим передачи и синхронизации модема другой станции.

- TxTail, ms - задержка в миллисекундах между временем окончания передачи пакета и выключением передатчика, в течение которой передается двухтональный сигнал (01010...) для перевода трансивера в режим приема. Обычно этот параметр равен 0.

- Persist, Slot Time - параметры алгоритма доступа к каналу. Предположим, что у одной из станций имеется непереданный пакет. В первую очередь, станция дожидается пропадания сигнала DCD (индикатор наличия несущей от другой станции). После этого генерируется случайное число в диапазоне 0...255. Если параметр Persist (установленный в этом же диапазоне) оказывается больше, чем это число, происходит переключение на передачу (задержка TxDelay, передача пакета, задержка TxTail, переключение на прием). В противном случае, происходит задержка на время Slot Time (миллисекунды) и генерация следующего случайного числа. Применение этого алгоритма необходимо для минимизации "столкновений" при работе на одной частоте нескольких станций.

- Retry time, s - время в секундах, через которое будет происходить повторная передача кадра.

- Retry limit, s - лимит повторно переданных кадров, после превышения которого происходит рассоединение.

- Resp delay, ms - задержка в миллисекундах между получением кадра и генерированием подтверждения на него.

- Idle poll time, s - время в секундах для "проверки работоспособности" станции, с которой установлено соединение.

- Red.time, s - время в секундах, по истечении которого при отсутствии передаваемых данных происходит рассоединение.

- Enable full duplex - включение/выключение режима полного дуплекса.

5.3.3. Beacon/Monitor - параметры маяка и мониторинга пакетов, где Source call - позывной станции отправителя; Dest. Call - позывной станции получателя; Digi's - позывные транзитных станций для кадра маяка; Beacon Text - текст маяка; Interval, s - интервал времени в секундах передачи кадра маяка; Enable Beacon - включение станции в режим работы маяка; Monitor Mask - типы кадров, подлежащих отображению: I - информационные кадры; UI - "ненумерованные" информационные кадры (например, передаваемые маяком); SABM, DISC, UA, DM, FRMR - "супервизорные кадры" - запросы и подтверждения на соединение и разъединение; RR, RNR, REJ - кадры-подтверждения приема.

5.3.4. TNC_Custom AFSK - задаваемые пользователем параметры контроллера TNC и настройки модема (частота и скорость), где Com Port - выбор номера последовательного порта для обмена данными (не должен совпадать с номером порта, указанным в меню Setup); Speed - выбор скорости обмена данными через порт (по документации на TNC); Data bits - количество бит данных по документации на TNC; Stop bits - количество стоп-битов по документации на TNC; Flow control - для управления потоком использовать сигналы DTR, RTS, RTS; Kiss mode enable commands - специальная команда перевода контроллера в Kiss-режим (по умолчанию установлены команды для контроллера типа TNC2, строки разделяются комбинацией символов "\n"); Custom AFSK - скорость и частоты для "VHF custom AFSK" из списка меню General.

5.4. Export to CSV - конвертирование данных файла журнала log.log в формат CSV, log.csv.

5.5. Export to ADIF - конвертирование данных файла журнала log.log в формат ADIF, log.adif.

6. Работа в режиме PSK

После того, как Вы соединили трансивер с компьютером, убедились, что сигнал с трансивера поступает на вход звуковой карты, а сигнал с ее выхода поступает на звуковой вход трансивера, сделали необходимые установки в Setup можно приступить к работе в программе. Запускаем программу нажатием кнопкой мыши в меню Start-Programs MixW (пиктограмма "бабочка"), убеждаемся, что индикатор-спектрограф реагирует на принимаемые трансивером сигналы, ставим "флажки" в окошках "aut", "afc", "spc". Программа стартует по умолчанию в режи-

ме PSK. Находим станцию, работающую в PSK (наиболее вероятно - в участке 14,068-14,072 МГц), подводим указатель мыши в виде вертикальной пунктирной линии к середине "дорожки" сигнала PSK (режим индикатора Waterfall "водопад" на **рис.3а**) и нажимаем левую кнопку мыши, фиксируя частоту настройки. В окне 2 (основной приемный канал) должен начать отображаться текст принимаемой станции. Использование индикатора настройки в виде Waterfall ("водопад") предпочтительнее, так как дает возможность по оставшейся на индикаторе "дорожке" произвести точную настройку даже после того, как станция переключилась на прием и в реальном времени не работает на передачу. Подобный эффект дает и режим индикатора "анализатор спектра с заполнением" (**рис.3б**), а режим "чистого" анализатора может быть полезен для более тщательного анализа и визуальной идентификации вида работы по спектру сигнала (**рис.3в**). Используйте Alt+W для переключения формы отображения индикатора.

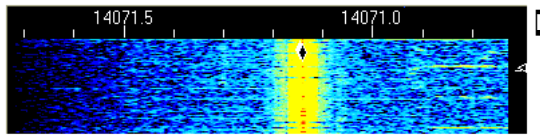


Рис.3а

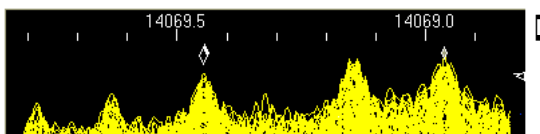


Рис.3б

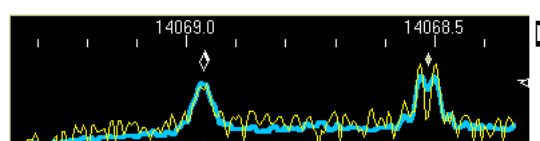


Рис.3в

Расположенный в правой части окна индикатора треугольник при точной настройке своей левой вершиной будет находиться против метки "-". В противном случае можно подстроиться вручную (в пределах 8 Гц) путем подвода указателя мыши к вершине данного треугольника и в момент его преобразования в правую стрелку "-->" нажать левую кнопку мыши - треугольник выровняет свое вертикальное положение против метки "-", что свидетельствует о точной настройке на сигнал корреспондента.

При работе на поиск для автоподстройки на корреспондента можноставить флаги в окне "afc" и (или) "лес". При работе на общий вызов функцию "лес" рекомендуется отключить, чтобы частота передачи была постоянной и не зависела от частоты корреспондента. Если корреспондент отвечает не точно на частоте, можно использовать функцию R/T, для этого необходимо подвести указатель мыши на середину сигнала корреспондента и нажать ПРАВУЮ кнопку мыши, появившийся в этом участке треугольник темного цвета свидетельствует о том, что частота приема уже в стороне от частоты передачи. Следует помнить, что при этом "лес" должна быть выключена. Вернуться на исходную частоту можно, нажав ЛЕВУЮ кнопку мыши на основном равностороннем треугольнике, а перевести частоту передачи на частоту приема - нажатием клавиш Shift+Ctrl+N. Если возникла необходимость "прослушать" одновременно второго корреспондента, работающего в зоне видимости индикатора-спектрографа, подведите указатель мыши на вторую станцию и, удерживая нажатой клавишу Shift, фиксируйте левой кнопкой мыши частоту настройки второго канала приема - в этот момент появится окно приема по второму каналу (**рис.1**), которое можно "перетащить" в удобное место и изменить его размеры по своему усмотрению. Выключают его работу, нажав Shift+правую кнопку мыши. Функции "afc" и "лес" во втором канале приема не действуют. Если возникла необходимость немедленно ответить корреспонденту принимаемому по второму каналу, достаточно нажать клавиши Shift+Ctrl+S, чтобы "обменять" частоты настройки между первым и вторым каналами приема. Повторное нажатие данной комбинации клавиш возвращает исходное состояние.

Во время приема текста передающей станции, используя функции мыши, можно одновременно заполнять окно Партнера (**рис.1**), "перетаскивая" принятый и выделенный текст (позвывной, имя, QTH, RST) из окна 2 (RX), или набирать текст с клавиатуры в окне 3 (TX) для последующей трансляции в эфир, а также использовать двойной щелчок курсора мышки на позывном, что позволяет вставить его в строку ввода данных для журнала (окно 4) и одновременно в окно Партнера. Из информационного окна 5 позывной переносится в окно 4 клавишами Alt+G или "перетаскивается" мышкой после его выделения двойным щелчком.

Примечание: Для более качественного приема в условиях помех можно использовать имеющиеся в трансивере фильтры, сужающие полосу пропускания, а также применить цифровой фильтр DSP. В некоторых случаях следует отключать АРУ (AGC).

Текст для трансляции в буфер передачи (окно 3) набирается с клавиатуры или вставляется ранее подготовленный с использованием функциональных клавиш F1...F12, Shift+F1...Shift+F12, макрокоманд и brag-файлов, а также текстовых файлов (кнопка Send). Помещенный в буфер текст будет передаваться от начала до установленного в выб-

ранном месте текста курсора, где передача текста останавливается, и далее можно редактировать следующий за курсором текст, а также прекратить дальнейшую передачу с последующей очисткой буфера и переходом на прием, нажав дважды Esc.

Программа в режим передачи/приема переводится повторным нажатием кнопки Pause/Break, а при использовании соответствующих макрокоманд - автоматически (см. п.11 "Макрокоманды"). При переходе в левой части индикатора настройки появляется надпись "TX".

7. Работа в режиме RTTY

Нажав кнопку RTTY на экранном интерфейсе программы (**рис.1**) можно быстро переключиться для работы в этом режиме. На индикаторе-спектрографе появятся три ромбика настройки в том его участке, данные которого установлены в Initial sound fq или RTTY HITONES (Setup - Spectrum). Настраиваться на станцию необходимо путем подведения указателя мыши в виде вертикальной пунктирной линии к середине двух "дорожек" сигнала RTTY (режим отображения спектрографа Waterfall - "водопад") и нажатием левой кнопки мыши (фиксировать частоту настройки). В окне основного приемного канала (окно 2) должен отображаться текст принимаемой станции. Модуль обработки RTTY-сигнала оснащен драйвером "автозахвата" частоты принимаемой станции (± 80 Гц). При отключенном режиме "afc" можно более точно произвести настройку на станцию, используя комбинацию клавиш Alt+<-> (для понижения частоты) или Alt+--> (для повышения частоты настройки с дискретностью 1 Гц).

С помощью комбинации клавиш Shift+Ctrl+B можно изменить скорость (Set RTTY BAUDRATE), выставленную по умолчанию - 45 бод. Все тексты и макрокоманды, записанные в функциональные клавиши, работоспособны и в режиме RTTY.

8. Работа в режиме CW

Программа MixW, начиная с версии 1.32, поддерживает работу CW как на прием, так и на передачу, используя сигнал DTR последовательного порта или сигнал звуковой карты (в зависимости от произведенных установок в Setup - CW). При включении режима появляется окно CW SPEED для корректировки установленной по умолчанию скорости передачи (слов в минуту). Используйте кнопки SLOWER - для понижения скорости передачи и FASTER - для увеличения. Для качественного приема CW иногда полезно отключать АПЧ (afc) в программе и АРУ в трансивере, который зависит и от качества манипуляции передающей станции.

9. Особенности использования в SSB

В режиме SSB с помощью данной программы можно использовать brag-файлы для передачи заранее подготовленных голосовых файлов, например, "CQ contest this is United Tango One United Alfa contest". Для этого необходимо с помощью аппаратных средств компьютера записать с микрофона голосовой файл с нужным текстом, присвоить ему имя "SSBN.wav", где N - номер функциональной клавиши, при нажатии которой данный файл будет передаваться программой и разместить его в директории MixW. Сигнал выхода со звуковой карты необходимо подать на микрофонный вход для микширования.

10. Использование данных DX-Cluster

MixW поддерживает работу с WEBCLUSTER в формате:

WR7NV-@ 14247.0 7P8HH DX net 2110 02 Dec

DXCLUSTER:

DX de KF7E: 28098.0 JT1BH 0116Z

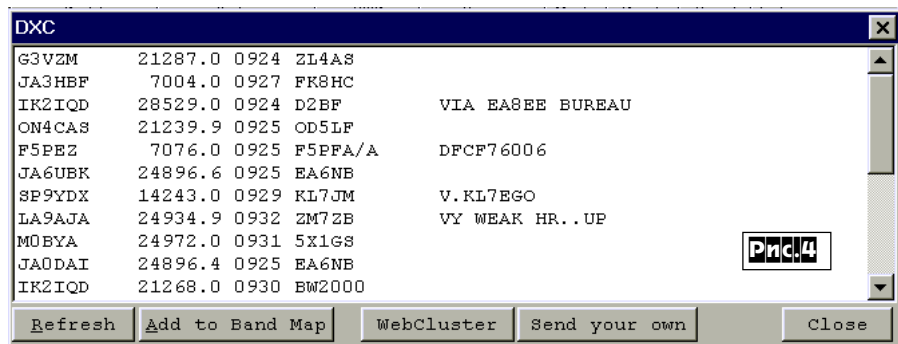
RTTYBEACON:

IK2YXK 144290.0 2144 IW0UON JN40 SASSARI QSO I1

Скопируйте с WEB Browser или DXCLUSTER, с DX-Telnet или другой Windows программы интересующую часть информации в Clipboard (Буфер Обмена), обычно Ctrl+C, и, перейдя в MixW, нажмите Ctrl+B. Если формат информации подходит (см. файл примера WEB_DEMO.txt в директории MixW), в появившемся окне DXC будет вставлен скопированный участок. Из окна DXC можно непосредственно взять информацию из WEB-клUSTERа, для этого достаточно "дозвониться" к своему Интернет-провайдеру и нажать кнопку "WebCluster" в этом окне (**рис.4**). При функционировании CAT-системы достаточно кликнуть мышкой на интересующей строке, и программа отработает перевод частоты настройки, вида работы и внесет позывной корреспондента в строку ввода данных журнала. После перезагрузки программы содержимое окна DXC не сохраняется. При необходимости внести данные в кластер - нажмите кнопку "Send your own" (**рис.4**) и в появившемся окне (**рис.5**) проверьте данные о DX, уже внесенные программой из аппаратного журнала, и, нажав кнопку "OK", отправьте их в WebClaster.

11. Макрокоманды

MixW предоставляет пользователю целый ряд макрокоманд, используемых при подготовке передаваемого текста с помощью функциональных клавиш. Макрокоманды (макросы) состоят из идентификационных кодовых сокращений, заключенных с обеих сторон знаками угловых скобок - <макрокоманда>. Особенно актуально применять макросы в случае необходимости вставлять в заранее заготовленные тексты какие-либо изменяющиеся данные, уже имеющиеся в компьютере или в



MixW, например, посыпка в буфер передачи: <VER>-номера версии MixW; <GMT>-времени GMT, взятое из часов программы; <DATE>-текущей даты (данные компьютера); <CALL>, <NAME>, <QTH>-позвывного, имени и QTH корреспондента, внесенных в строку ввода данных для журнала log.log или из окна Партнера; <MYRST>-RST для корреспондента; <RST>-принятого от корреспондента RST. Или для автоматизации управления программой и повышения ее сервисных возможностей: <CR>-очистка строки; <LF>-перевод строки (каретки); <SP>-пробел; <F#>, <SF#>-вызов содержимого функциональных клавиш F# и Shift+F# в буфер передачи; <MYCALL>, <MYNAME>, <MYQTH>-посыпка в буфер передачи позывного, имени, QTH, взятых из Setup; <RX>-немедленная остановка передачи и перевод в режим приема; <TX>-перевод программы в режим передачи и трансляция из буфера передачи; <CWID>-посыпка позывного в Morse Code в буфер передачи со скоростью, установленной в Setup; <CLEAR>-очистка поля log для ввода новых данных. Имеется возможность в качестве макроса использовать команду <BRAG#>, где # - номер (от 0 до 9) подготовленного текстового файла с именем BRAG#.txt, который предполагается направить в передающий буфер для трансляции. Такие файлы готовятся любым текстовым редактором и должны быть размещены в директории MixW.

Программой допускается возможность вставлять любое количество макрокоманд, а с полным перечнем макрокоманд можно ознакомиться в файлах macro.txt и manual.txt, расположенных в директории MixW.

12. Использование функциональных клавиш и Hot-keys

MixW позволяет использовать 24 заранее подготовленных текста для функциональных клавиш F1-F12, Shift+F1-F12. В данных текстах можно использовать макрокоманды или их сочетания, вплоть до отсылки к другой функциональной клавише, например: Текст для F1:

```
<TX><CR><CALL> de <MYCALL> Hello dear <NAME> My RST is
<MYRST><MYRST> My name is <MYNAME> My QTH is <MYQTH> My
rig here is: <F4>...
```

где: <TX><CR><CALL><MYCALL>-обычные макрокоманды, а <F4>-отсыпка взять и вставить текст из содержимого функциональной клавиши F4.

Для подготовки и редактирования текста указанные клавиши вызываются совместно с клавишами Ctrl. Ctrl+Enter - переход на новую строку в режиме ввода текста и редактирования содержимого функциональных клавиш.

Для повышения скорости управления программой наравне с ниспадающими и разворачивающимися меню, управляемыми с помощью мыши, можно использовать и т.н. "горячие клавиши" (Hot Keys):

Alt+C - очищает строку в окне ввода данных для log.log.

Alt+E - переход в окно ввода данных для log.log.

Alt+G - "забирает" позывной из информационного окна и копирует его в окна журнала и Партнера.

Alt+H - Windows help (MixW.hlp).

Alt+I - активизирует окно информации по DXCC.

Alt+K - переход в окно буфера TX.

Alt+M - переключает вид работы.

Alt+P - активизирует окно Партнера.

Alt+S - сохраняет данные, введенные в окно ввода данных для log.log.

Alt+T - вставляет в окно ввода данных Дату, Время, вид работы, частоту, RST.

Alt+X - переключает в режим приема/передачи путем повторного нажатия.

Alt+Q - проверка имени по базе данных на QRZ CDROM. Для того,

чтобы данная функция работала, необходимо в Setup - Misc - QRZ CDROM указать путь его нахождения, например: G:\callbk. Можно также скопировать с этого CD два файла callbk.idx и callbk.dat на винчестер с указанием соответствующего пути к ним в Setup - Misc - QRZ CDROM для более быстрой работы данной функции.

Alt+Left arrow - изменяет частоту приема на 1 Гц вниз.

Alt+Right arrow - на 1 Гц вверх.

Alt+Shift+> - вверх на 100 Гц.

Alt+Shift+< - вниз на 100 Гц.

Alt+5 (цифрового блока) - ставит метку на шкале спектрометра с указанием позывного в диалоговом окне работающей на этой частоте станции. При прохождении индикатора настройки вблизи такой метки в информационном окне высвечивается позывной этой станции. (Работает только с CAT-системой). Быстрый переход вверх-вниз по этим меткам осуществляется нажатием клавиши Alt+PgUp(PgDn) цифрового блока.

Pnc4

Pnc5

Ctrl+L - переключает в регистр LATIN (только для RTTY).

Ctrl+Shift+R - восстанавливает звуковую частоту в значение "по умолчанию".

Ctrl+Shift+N - мгновенная подстройка частоты передачи на частоту приема при использовании выключенной "лес".

Ctrl+Shift+A - вызов диалогового окна "Auto CQ" для ввода текста и выполнения установок автоматической подачи вызова с указанным интервалом времени для прослушивания. Клавишами Alt+A стартует функция AutoCQ, а Esc - прерывается для проведения QSO. Особенно удобно в контестовом режиме работы.

Ctrl+1, Ctrl+2 ... Ctrl+0 - сохраняет в памяти частоту и вид работы в соответствующих каналах (10 ячеек).

Alt+1, Alt+2 ... Alt+0 - восстанавливает из памяти соответствующих каналов частоту и вид работы (10 ячеек).

Esc - нажатие одного раза - останавливает передачу текста из TX-буфера, нажатие дважды - немедленная остановка передачи и перевод программы в режим приема.

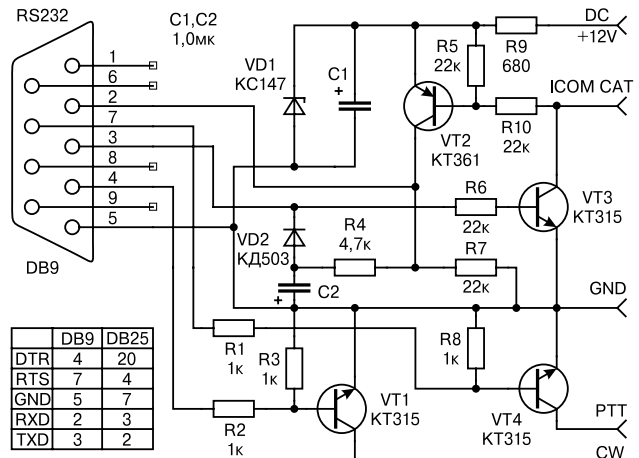
Полный перечень Hot Keys приведен в файлах help.txt и manual.txt, расположенных в директории MixW.

О всех новинках и вопросах распространения программы MixW можно узнать, посетив web-страницу автора программы по адресу: <http://tav.kiev.ua/~nick> или <http://www.qsl.net/ut2uz>

TXN UT2UZ, UU9JDR, UT5ULB.

Компьютерный интерфейс для трансиверов ICOM

Николай Федосеев, UT2UZ,
г. Киев



В радиоприемниках и трансиверах фирмы ICOM применен CI-V интерфейс, позволяющий подключать несколько аппаратов на одну общую линию. На рисунке приведена простая схема CI-V интерфейса с добавленными цепями управления прием-передача (PTT) и телеграфным выходом (CW). К нему можно подключать несколько трансиверов, но PTT и CW использовать только в одном из них. Впрочем, последние модели ICOM имеют "программный" PTT, передаваемый по шине CI-V. Необходимо отметить, что некоторые программы не умеют использовать один COM-порт для PTT/CW и CAT. В таком случае для PTT и CW можно использовать другой COM-порт или порт принтера.

Частотомер на процессоре PIC16F84

Александр Денисов, RA3RBE, г. Тамбов

При работе на любительской радиостанции часто необходимо точно знать частоту, на которую настроен трансивер или приемник для того, чтобы не уйти за пределы диапазона или для точной настройки на заранее оговоренную частоту. Механические шкалы не дают такой возможности, поэтому приходится конструировать электронные шкалы. В настоящее время разработано большое количество электронных шкал и частотомеров с использованием микросхем разной степени интеграции. Зачастую это сложные устройства, насчитывающие несколько десятков микросхем. Эти конструкции довольно сложны для повторения из-за того, что в схеме с большим количеством элементов гораздо выше возможность допустить ошибку на всех этапах – от публикации до монтажа. Принципиальную схему частотомера можно предельно упростить, если построить ее на базе процессора PIC16F84 фирмы Microchip (<http://www.microchip.com/>), который обладает высоким быстродействием и широкими функциональными возможностями, а встроенное энергонезависимое запоминающее устройство позволяет записывать и оперативно изменять величину промежуточной частоты цифровой шкалы.

При работе над своим частотометром я поставил задачу создания максимально простой конструкции, несложной в повторении, учитывающей ошибки и недочеты, допущенные при конструировании аналогичных устройств.

Вниманию читателя предлагается **частотомер – цифровая шкала**, в котором вся работа по измерению, преобразованию и динамической индикации перенесена на программное обеспечение, а аппаратная часть содержит всего две микросхемы.

Устройство выполняет следующие функции:

- Семиразрядного частотомера с индикацией частоты в десятках герц в младшем разряде индикатора.
- Цифровой шкалы радиолюбительского трансивера (приемника). В этом режиме к измеренному значению прибавляется или вычитается значение промежуточной частоты, записанное в энергонезависимую память PIC процессора.

Технические характеристики:

максимальная измеряемая частота	30 МГц
максимальное разрешение измеряемой частоты	10 Гц
чувствительность по входу	250 мВ
напряжение питания	8...12 В
потребляемый ток	35 мА

Принципиальная схема частотомера – цифровой шкалы приведена на **рис. 1**. Она состоит из:

- формирователя входного сигнала, выполненного на транзисторе VT1. Сигнал измеряемой частоты, поданный на вход X5, ограничивается, усиливается и подается на вход PIC процессора для измерения;
- центрального процессора DD2 (PIC16F84), выполняющего функции измерения, расчета, преобразования, управления динамической индикацией и динамического опроса входных сигналов. Контакты X3 и X4 используются для выбора режима цифровой шкалы. Тактовая частота процессора определяется кварцевым резонатором ZQ1 и может изменяться в небольших пределах конденсаторами C3 и C4;
- светодиодного индикатора DD3 (ALC318) для отображения частоты;
- микросхемы DD1 (555ИД7) – дешифратора позиции отображаемой цифры;
- пятивольтового интегрального стабилизатора питающего напряжения DA4 (7805). Напряжение питания частотомера 8..12 В подается на контакты X1(+) и X2(-).

Функции устройства реализованы следующим образом:

При отключенных контактах X3 и X4 – работает как частотомер (режим измерения).

При подаче лог. «0» на X3 – складывает измеренные значения с заранее записанной в энергонезависимую память константой (цифровая

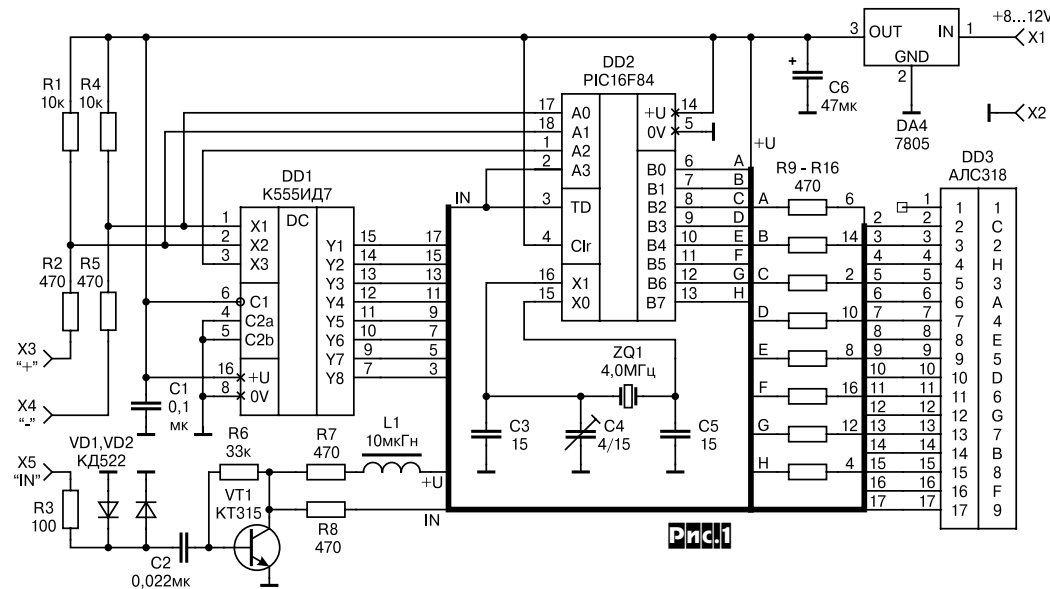


Рис.1

шкала).

При подаче лог. «0» на X4 вычитает по модулю эту константу из измеренного значения (цифровая шкала).

При подаче лог. «0» одновременно на выводы X3 и X4 через 1 сек. шкала перейдет в режим записи константы, отобразит на индикаторе букву «F» и измеренную частоту.

Повторная подача лог. «0» на X3 и X4 приведет к записи замеренного значения в энергонезависимую память процессора и возврату в режим измерения. После этого новая константа будет использоваться в качестве величины промежуточной частоты. Данний режим сделан для того, чтобы пользователи могли сами устанавливать величину ПЧ в своей шкале без перепрограммирования PIC процессора. По умолчанию в тексте программы записана ПЧ равная 5,5 МГц.

Примечание: логическому «0» соответствует потенциал 0 вольт («земля»).

Конструкция выполнена на односторонней печатной плате размерами 57 x 67 мм. Эскиз **печатной платы** (M1:1) приведен на **рис. 2а**, а вид со стороны печатных дорожек – на **рис. 2б**, однако предельная простота конструкции позволяет легко повторить ее даже на

ПРОФЕССИОНАЛЬНАЯ СХЕМОТЕХНИКА

Автоматический антенный тюнер AT-130 от ICOM

Б.Витко (UT5UE), руководитель сервис-центра Концерна "Алеко"

Технические данные:

количество каналов памяти - 45;
рабочий диапазон частот - 1,6...30 МГц;
подводимая мощность - 150 Вт (РЕР);
входное сопротивление - 50 Ом;
потребляемая мощность во время автоматической настройки - 5-15

Вт;

время настройки - 2-3 сек (общее), 15 сек (макс.), 1 сек (с памяти);
настройка по КСВ - не хуже 2:0:1;
тип применяемой антенны - Marconi с RF заземлением (длинный
провод) длиной более 7 метров;
напряжение питания 13,6В+/-15% (DC) от трансивера;
диапазон рабочих температур от -30°C до +60°C;
размеры - 230x80x340 мм;
всепогодное исполнение;
вес - 2,5 кг (AT-130), 2,7 кг (AT-130E).

1. Трансляция исходного текста

Набираем команду MPASM DIGISCAL.ASM. После выполнения программы на экране дисплея должно быть следующее:

```
MPASM 01.40 © 1993-96 Microchip Technology Inc./Byte Craft Limi
Checking c:\MPASM\DIGISCAL.ASM for symbols...
Assembling...
DIGISCAL.ASM      639
Building files...

Errors       :      0
Warnings     :      0 reported      0 suppressed
Messages     :      0 reported      0 suppressed
Lines assembled:    638

Press any key to continue.
```

Отсутствие сообщения об ошибках и предупреждений говорит о том, что программа оттранслирована правильно. После трансляции в директории MPASM появятся несколько файлов с именем DIGISCAL и разными расширениями. Файл DIGISCAL.HEX есть тот файл, который будет записан в PIC процессор.

2. Программирование PIC процессора

2.1. Переходим в директорию PIX, запускаем программу PIX.EXE, подключаем к разъему COM2 аппаратную часть программатора с вставленным PIC процессором (рис.3).

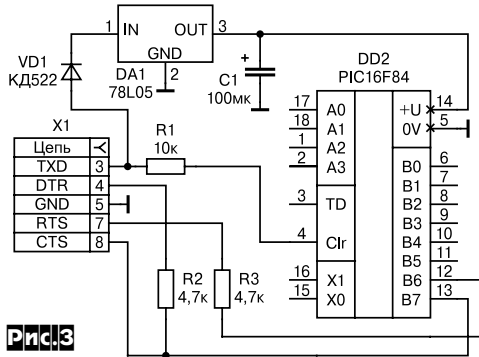


Рис.3

2.2. Даем команду F7 (Erase) – стираем ранее записанную информацию, т.к. новые микросхемы заполнены нулями, которые нужно «стертеть». Микросхема без информации заполнена FFFF, а ее энергонезависимая память FF. После стирания в этом можно убедиться, посмотрев содержимое памяти командой F4 (Read).

2.3. Даем команду F3 (File) и выбираем файл DIGISCAL.HEX из директории MPASM.

2.4. Последняя команда – F9 (Blow) – запись микросхемы.

После завершения процесса программирования появляется надпись "All loaded Areas Blown OK 1195 мSec", последняя цифра может отличаться в зависимости от быстродействия компьютера.

2.5. Отключаем аппаратную часть программатора от порта COM2 и выгружаем программатор командой ALT-X.

Микросхема запрограммирована и готова к работе в частотомере.

Правильно собранный частотомер - цифровая шкала с запрограммированным PIC процессором почти не требует настройки. Минимальная настройка заключается в подаче на вход частотометра эталонной частоты и подстройки конденсатора C4 до получения правильных показаний на индикаторе. При этом, возможно, потребуется корректировка емкости C3.

ОТ РЕДАКЦИИ: Ограниченный объем данной статьи не позволяет разместить исходный текст программы частотометра (файл DigiScal.asm), его можно найти на <http://www.geocities.com/alldn/hamradio/> или на <http://radiohobby.da.ru>, а также заказать дискету в редакции с оплатой наложенным платежом расходов на пересылку и стоимости дискеты. E-mail автора: alldn@yahoo.com

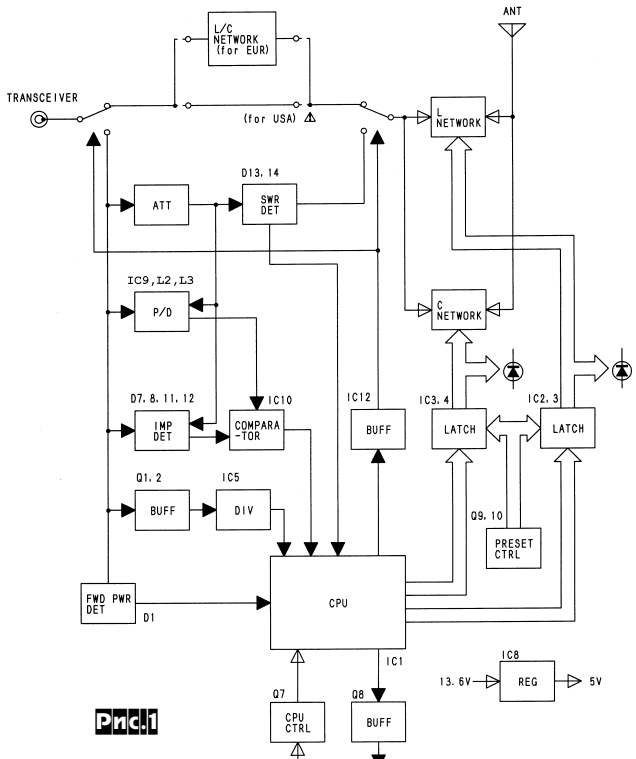
Работой AT-130 управляет 8-битовый микропроцессор. Тюнер, функциональная схема показана на рис. 1, настраивает антенну систему с морским трансивером IC-M710, используя 4 датчика: прямой (D1) и обратной (D13, D14) мощности, фазы (IC9, L2, L3), сопротивления (D7, D8, D11, D12). Данные с них поступают на процессор (CPU), который с помощью исполнительных реле управляет конфигурацией и параметрами Г-образной согласующей LC цепи. Электрическая схема AT-130 представлена на рис.2 (см. стр.44, 45). Для минимизации помех между станциям и обеспечения безопасного режима выходного каскада передатчика во время согласования в AT-130 предусмотрено снижение подводимой к антенне мощности с помощью аттенюатора (ATT на рис. 1, R16...R24 на рис.2).

Датчик **прямой мощности** состоит из направленного ответвителя L1 и D1 (рис.2). Постоянное напряжение с этого датчика, пропорциональное прямой мощности с трансивера поступает на процессор IC1 (μPD78212CW-613).

Датчиком **обратной мощности** является мостовой рефлектометр R28-R31, L4 (рис.3), сигнал с которого выпрямляется D13, D14 и поступает на процессор IC1.

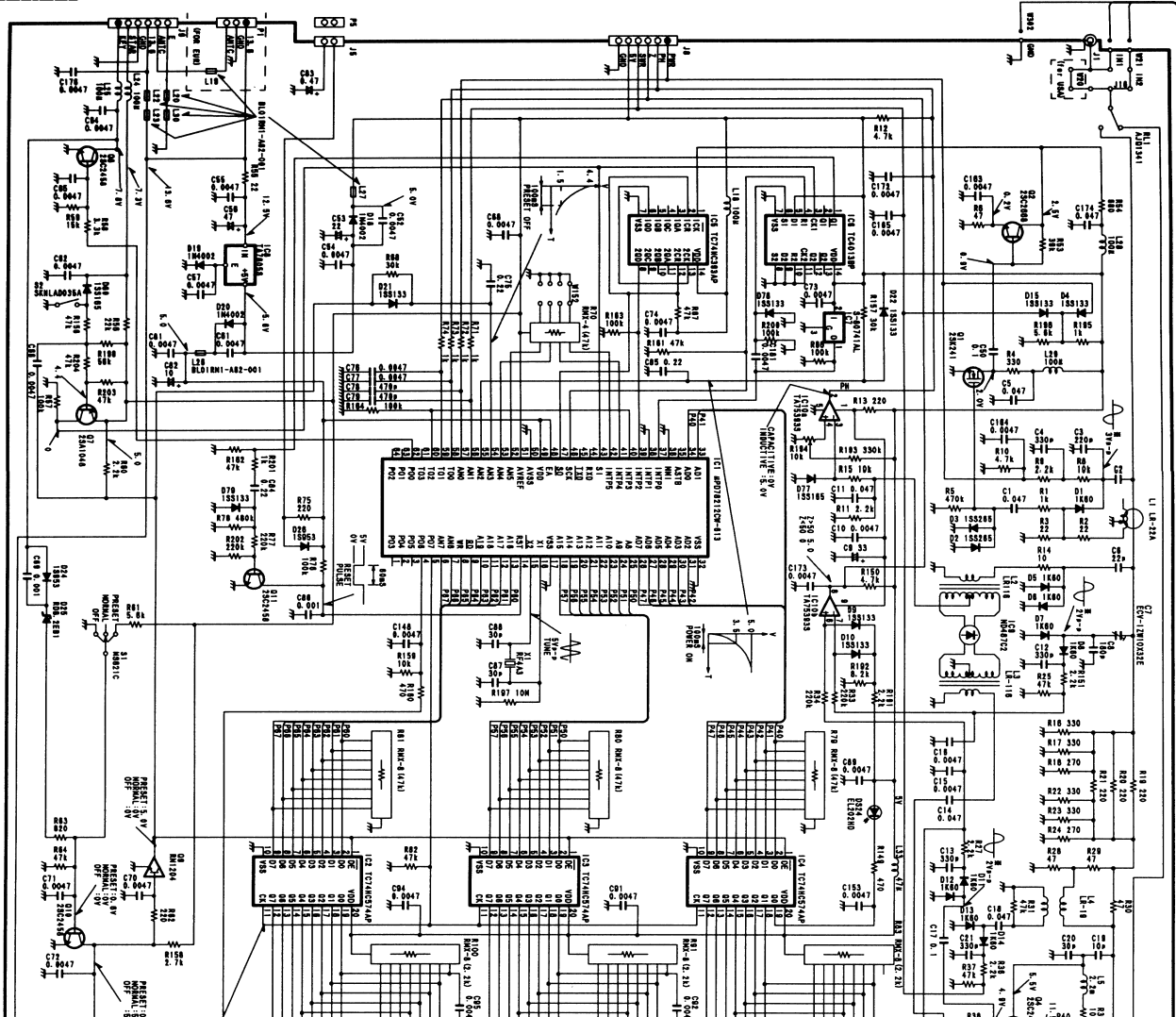
Цель **датчика фазы** (IC9, L2, L3 – рис.4) – обнаружить и компенсировать реактивности. Когда L3 нагружена на активное сопротивление, на выходе IC9 будет около 4 В. В случае индуктивной нагрузки это напряжение снижается, а емкостной – увеличивается. Далее оно поступает на компаратор IC10a (TA75393S), на выходе которого будет 5 В при индуктивной нагрузке и 0 В при емкостной.

Датчик **сопротивления** состоит из D7, D8, D11, D12, Q4, IC10b



ПРОФЕССИОНАЛЬНАЯ СХЕМОТЕХНИКА

Рис.2/1



(рис.5). Выпрямленное D7, D8 высокочастотное напряжение со входа AT-130 используется в качестве опорного. Если выход аттенюатора R16...R24 будет нагружен на сопротивление большее 50 Ом, то выпрямленное D11, D12 напряжение будет больше опорного с D7, D8, если меньше 50 Ом – напряжение с D11, D12 будет соответственно меньше опорного. Оба напряжения с D7, D8 и D11, D12 поступают на компаратор IC10b и затем на процессор IC1.

После включения питания AT-130 напряжение +5 В подается с IC8 на микропроцессор IC1 (μPD78212CW-613) и происходит его инициализация. С помощью программы, записанной во встроенную память процессора, реле тюнера устанавливаются в исходное состояние.

Реле RL1 и RL2 подключают датчики и аттенюатор для настройки тюнера в момент подачи ВЧ напряжения с передатчика на вход тюнера. Микропроцессор программно обрабатывает данные с датчиков и управляет переключением индуктивностей и конденсаторов согласующей цепи через IC2 - IC4 и драйвера реле IC11 – IC14. Реле RL3 и RL4 изменяют конфигурацию Г-образной согласующей цепи, подключая конденсаторы на ее вход по команде CIN или на выход – COUT.

В европейской версии AT-130Е можно использовать и дополнительное комплектуемое "ручное" согласующее устройство (MANUAL UNIT – рис.2).

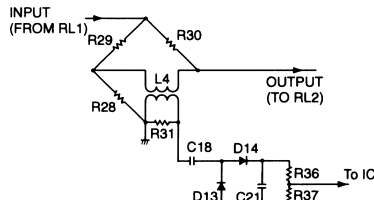


Рис.3

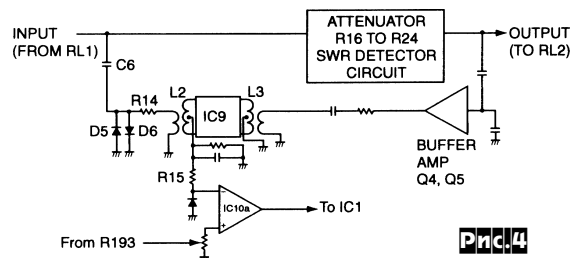


Рис.4

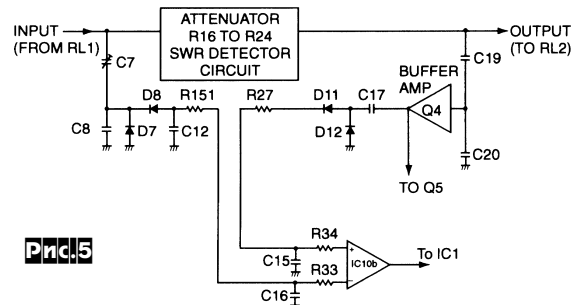
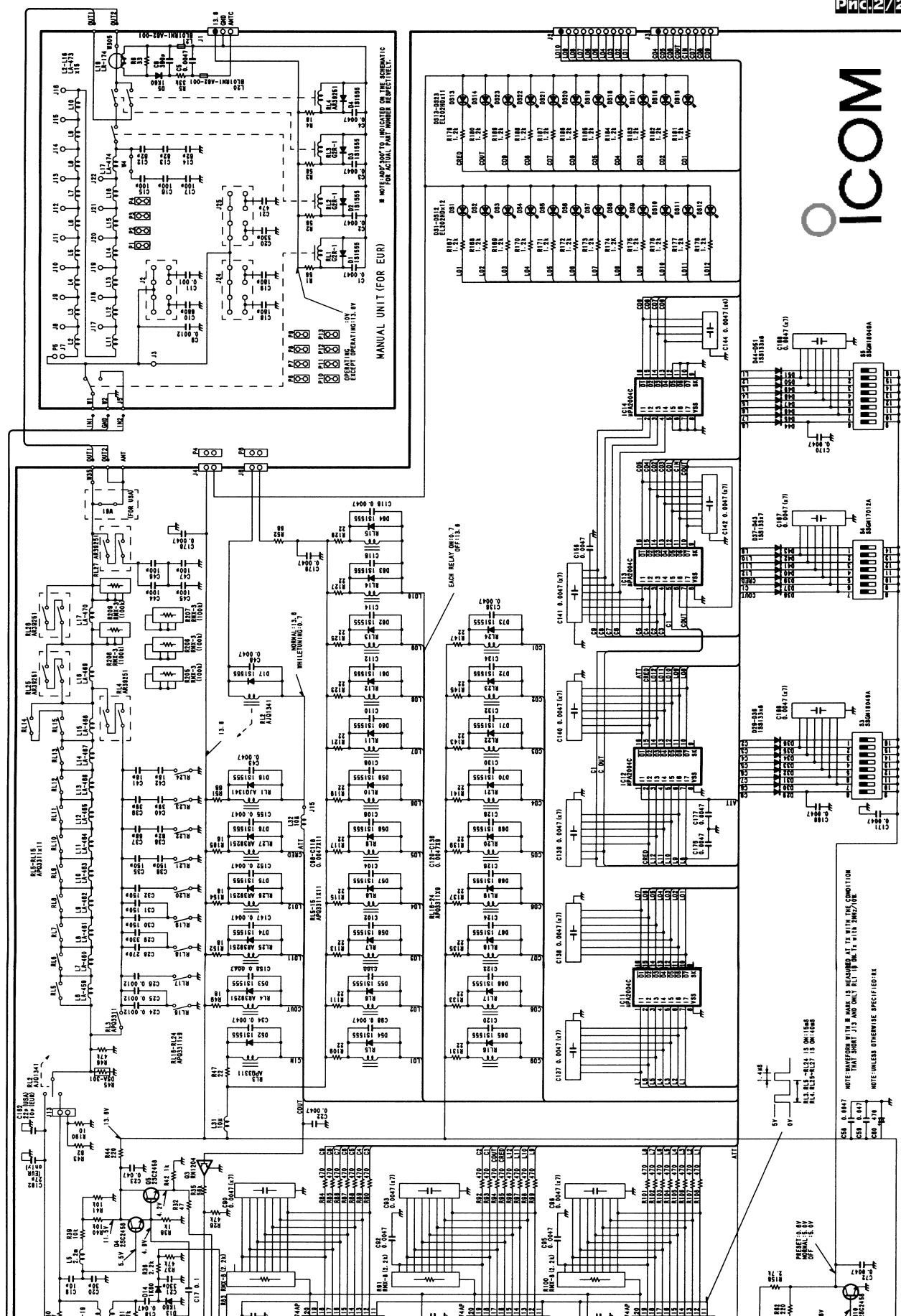


Рис.5



Ламповые винил-корректоры, год 2000

Константин Бобров, Екатеринбург

Предусилители-корректоры для магнитного звукоснимателя по способу формирования АЧХ можно разделить на два типа - с частотнозависимой ООС и с пассивной коррекцией. Существуют и смешанные варианты, когда используются и частотнозависимая ООС и пассивная коррекция. В транзисторных схемах с низковольтным питанием пассивная коррекция применяется редко из-за невозможности обеспечить достаточную перегрузочную способность на высоких частотах каскадов, стоящих до цепи коррекции. В ламповых схемах при высоких анодных напряжениях (от 100 вольт и выше) требования к перегрузочной способности выполняются с большим запасом. Эксперименты автора показали, что ламповые схемы с пассивной коррекцией звучат предпочтительнее, чем с частотнозависимой ООС. Кроме того, схемы с глубокой (в случае предусилителя-корректора - до 40 дБ) частотнозависимой ООС часто недостаточно устойчивы.

Звучание ламповых каскадов усиления напряжения существенно определяют конденсаторы, шунтирующие сопротивление смещения в катоде для устранения обратной связи. Поэтому наиболее радикальным вариантом устранения их паразитных свойств является полное устранение этих конденсаторов. Чтобы не сильно проиграть при этом в усиении, сопротивление смещения в цепи катода нужно выбирать по возможности меньше, выводя лампу на участок характеристики с большими токами. Однако, при неизменном сопротивлении анодной нагрузки в этом случае есть опасность снизить напряжение на аноде лампы и попасть на нелинейный участок характеристики, поэтому напряжение питания следует выбирать достаточно большим - более 300 вольт. Для работы на цепь пассивной коррекции R8R9C5C7 (рис. 1) и на выходной кабель предпочтительнее использовать катодные повторители, что позволяет сделать цепь пассивной коррекции более низкоомной (а значит, менее чувствительной к наводкам). Применение катодного повторителя на выходе позволяет также нагружать аппарат на низкоомные входы других устройств. Катодные повторители желательно строить по такой схеме, когда сопротивление утечки сетки (1 МОм) включено в точку соединения сопротивления смещения и сопротивления нагрузки катодного повторителя. При этом сопротивление

нных только в одной точке.

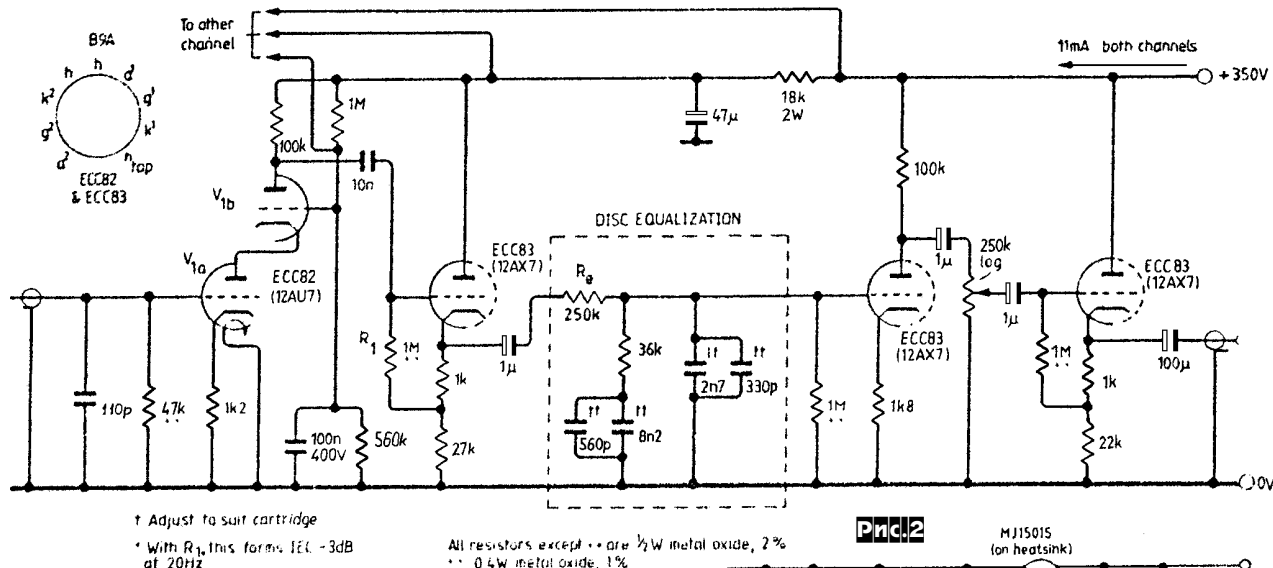
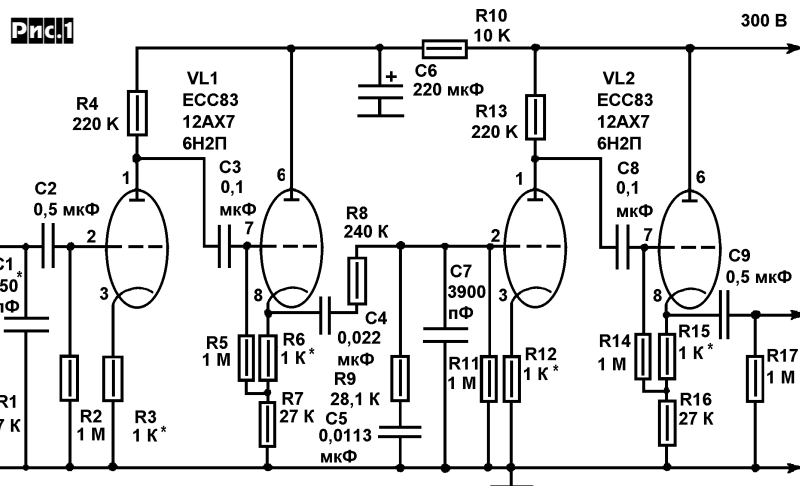
Рассматриваемая схема (рис. 1) содержит четное число усиленных каскадов с общим катодом - два и поэтому является неинвертирующей.

Уровень шумов для подобных схем в литературе оценивается на уровне примерно в -70 дБ, уровень шумов грампластиинки - на уровне -65 дБ. По мнению автора применение входного каскада по каскодной схеме не оправдывает заявленных преимуществ. При использовании обычного каскада с общим катодом звучание аппарата предпочтительнее. Впрочем, если звучание каскода нравится больше, его логично применить и в каскаде, следующем за цепью пассивной коррекции.

Сравнение звучания различных типов ламп (естественно, при подстройке режимов) выявило преимущество (для данного применения) ламп ECC83 (российский аналог - 6Н2П). На втором месте - ECC88 (6Н23П), на третьем - ECC82 (6Н1П).

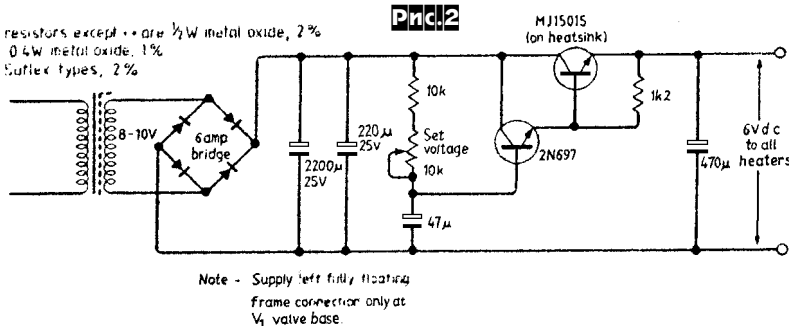
Коэффициент усиления данного аппарата на частоте 1 кГц - около 130. Потребляемый ток - около 8 миллиампер на оба канала (не считая цепей накала).

Схема блока питания использована классическая - конденсатор,



нагрузки выбирается по величине не менее 1/5 от внутреннего сопротивления лампы. В данной схеме сопротивления нагрузки в катодных повторителях - 27 кОм.

Как показала практика, основной проблемой для предусилителя-корректора являются наводки и фон. Их устранение достигается применением питания накала ламп постоянным током и применением двойных пермаллоевых экранов раздельно для блока питания и для самой схемы, соединен-



дрессель, конденсатор. Для питания нитей накала ламп выгоднее использовать напряжение 12,6 В вместо 6,3 В (если лампы с накалом 6,3 В - соединить их нити накала последовательно). В этом случае можно не применять стабилизатор для их питания, поскольку падение напряжения на выпрямительных диодах будет невелико.

Представляет интерес сравнить звучание аппарата с выпрямителем на кенотронах, германьевых диодах и кремниевых диодах. На основании результатов прослушивания выбрать наиболее предпочтительный вариант. Те же рекомендации справедливы и для всех остальных компонентов аппарата.

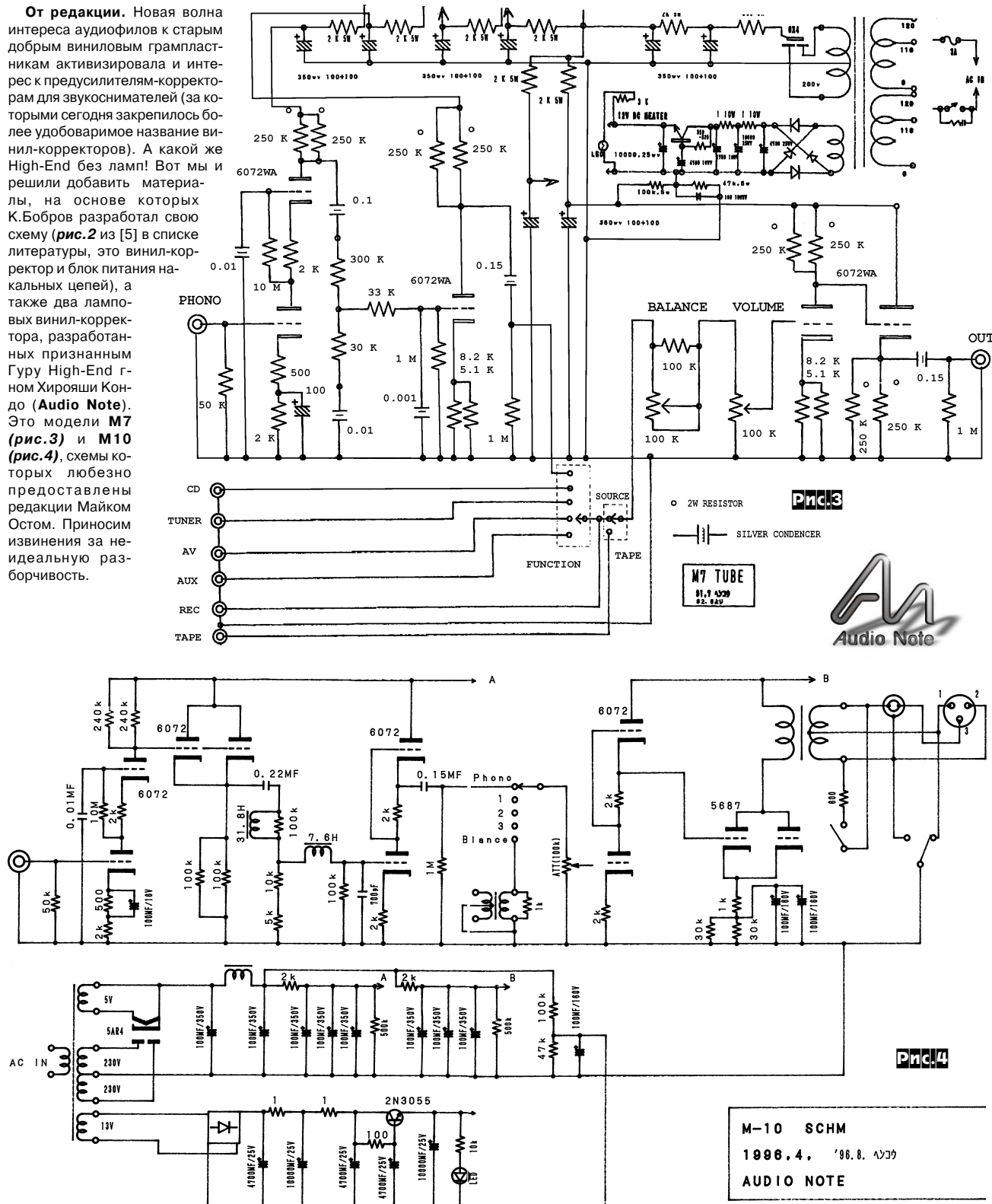
Аппаратура, использовавшаяся при настройке и прослушивании: проигрыватели Dual CS721, Dual CS741; магнитные головки Shure V15

Type III, Shure M95, Ortofon LM 20; предусилитель Audio Research LS7; усилитель мощности Audio Research VT60; акустика Acoustic Research 10, BIC Venturi Formula 6, JBL L50.

Литература.

1. Лукьянов С. О перегрузочной способности корректирующего усилителя. -Радио, 1985, N 10, с. 33-35.
2. Орлов В. Малошумящий предусилитель-корректор. -Радио, 1987, N 12, с. 45.
3. Сухов Н., Байло В. Высококачественный предусилитель-корректор. -Радио, 1981, N 3, с. 35-37.
4. Bryce Richard. Disc preamplifier. -Electronics & Wireless World. June, 1985, p. 72.
5. Jones M., Warren Shirley. Valve Disc Preamplifier. -Electronics & Wireless World. July, 1985, p. 79.

От редакции. Новая волна интереса аудиофилов к старым добрым виниловым грампластинкам активизировала и интерес к предусилителям-корректорам для звукоснимателей (за которыми сегодня закрепилось более удобоваримое название винил-корректоров). А какой же High-End без ламп! Вот мы и решили добавить материалы, на основе которых К.Бобров разработал свою схему (рис.2 из [5] в списке литературы, это винил-корректор и блок питания на ламповых цепей), а также два ламповых винил-корректора, разработанных признанным Гуром High-End г-ном Хирояши Кондо (Audio Note). Это модели M7 (рис.3) и M10 (рис.4), схемы которых любезно предоставлены редакции Майком Остом. Приносим извинения за неидеальную разборчивость.



Усилитель ультра Hi-Fi класса из Амфитона У-002

Владимир Мещеряков, г. Тамбов

Многие любители высококачественного звукоспроизведения замечали часто встречающееся несоответствие между электрическими характеристиками усилителей и реальным качеством их звучания. Автор этой статьи давно ставил перед собой вопрос, почему экспертные оценки качества звучания усилителей расходятся с их электрическими характеристиками. Не так давно в связи с от правкой ТНИИР «ЭФИР» в административный отпуск (где я работал) у меня появилось время для изучения этого вопроса. Попробую поделиться с читателями теми экспериментами, которые я провел лично, а также сведениями, почерпнутыми мной в литературных источниках. Результатом моих экспериментов явилась модернизация серийного усилителя Амфитон-У-002 стерео (базовый усилитель), но, как говорится, обо всем по порядку.

Такой измеряемый параметр как коэффициент гармонических искажений определяет качество воспроизведения однотонового сигнала. О заметности данного рода искажений подробно сказано в [1]. Тем не менее, правильно оценить качество звука усилителя только по этому параметру нельзя, так как он не является всеобъемлющим показателем качества, ведь человеческое ухо весьма своеобразно воспринимает гармонические искажения различного порядка. Всем известно, что ламповые усилители при достаточно больших искажениях, фиксируемых приборами, звучат, тем не менее, неплохо. Дело еще усугубляется тем, что многие производители аудиотехники в целях одурачивания покупателей производят замеры коэффициента гармоник на холостом ходу. Более информативный показатель - коэффициент интермодуляционных искажений (искажений двухтонового сигнала), но и он не дает исчерпывающей информации о качестве звучания большинства усилителей. Объясняется это тем, что современные усилители проектируются с использованием общей (за исключением экзотических и дорогостоящих элитных моделей) отрицательной обратной связи (ООС), которая обеспечивает необходимую линейность. Фактически усилитель, охваченный такой ООС, представляет собой классическую систему автоматического регулирования, и соответственно для него применимы те же показатели качества.

К этим показателям, в первую очередь, относятся время установления, время восстановления и точность регулирования (рис. 1, для большей наглядности зона погрешности дана в увеличенном по отношению к сигналу масштабе). На этом рисунке время установления обозначено как $T_{уст.}$, время восстановления - $T_{вос.}$, точность регулирования - $U_{нор.}$ [2].

Время установления и время восстановле-

ния очень трудно предсказать на основании любых других динамических показателей из-за существенной нелинейности передаточных характеристик каскадов во время переходного процесса. Очень часто у усилителей с высокой скоростью нарастания и широкой полосой (т.е. с большой глубиной ООС) оказывается более длительное время установления и восстановления, чем у менее широкополосных, из-за наличия не учтенных разработчиком (паразитных) полюсов перегиба АЧХ усилителя с разомкнутой цепью ООС [3]. Точность же регулирования прямо пропорциональна глубине обратной связи.

Кроме того, в усилителях с широкополосной ООС время установления может быть увеличенным за счет реактивностей входного и выходного импедансов, образующих с внешними реактивностями (источником сигнала и нагрузкой) RC-, RL- и LC-цепи, собственные частоты полюсов и нулей которых меньше частоты единичного усиления [3]. По моему мнению именно этим явлением можно объяснить замеченный меломанами эффект влияния межблочных кабелей на качество звука. Здесь необходимо отметить, что чисто активное входное и выходное сопротивление усилителя без ООС становится реактивным при охвате его даже резистивной ООС. При этом в инвертирующем включении входной и выходной импедансы имеют индуктивный характер, а в неинвертирующем входной импеданс имеет емкостной характер, а выходной - индуктивный. Единственный способ снижения подобных искажений в усилителях, охваченных общей ООС, заключается в уменьшении частоты единичного усиления.

К факторам, нарушающим устойчивость усилителя, в первую очередь относятся:

- * переменное (зависящее от сигнала) сопротивление нагрузки,
- * нелинейность используемых усилительных приборов,
- * нестабильное напряжение питания,
- * мгновенные изменения температуры кристаллов выходных транзисторов, что приводит к значительному изменению петлевого усиления,
- * переходные искажения второго рода,
- * значительные акустические вибрации.

По данным [4] сопротивление электродинамической акустической системы может кратковременно уменьшаться в 6-8 раз. Колебания напряжения питания выходных транзисторов базового усилителя при усиливании реальных звуковых сигналов изменялось от 20 до 36 вольт при номинальном напряжении в 31 вольт (33%), что объясняется, по-видимому, резонансом индуктивности вторичной обмотки трансформатора питания с электролитически-

ми конденсаторами фильтра.

В двухтактных каскадах на комплементарных транзисторах при работе на высоких частотах возникают искажения, которые обусловлены временным свойствами транзисторов - их быстродействием, а также индивидуальными отличиями частотных свойств [5]. Временные задержки сигнала, вызванные процессом коммутации, приводят к искажениям в начальной области характеристики (в области перехода через нуль). Эти искажения называются переходными искажениями второго рода (рис. 2).

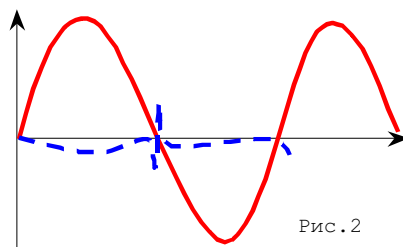


Рис. 2

Обычно плечо двухтактного эмиттерного повторителя на р-п-р транзисторе по своим коммутационным свойствам оказывается менее быстродействующим, чем на п-р-п транзисторе. В точке перехода положительной полуволны отрицательная задержка отпирания р-п-р транзистора вызывает импульсную помеху, которая в свою очередь приводит к кратковременному нарушению устойчивости системы автоматического регулирования. Многие радиолюбители, да и профессионалы, не вполне понимают данное обстоятельство, и используют в своих разработках асимметричные элементы для усиления положительной и отрицательной полуволн звуковых сигналов. Ярким примером такого подхода может служить «сверхлинейный» УМЗЧ С. Агеева [6], где во входном каскаде используется весьма асимметричный операционный усилитель К140УД11. Вряд ли стоит ожидать высокого качества звука от такого усилителя (усилитель Агеева по существу является крайне неудачной копией с УМЗЧ ВВ [8], в котором применен намного более подходящий для аудиотехники «полевой» и двухкаскадный ОУ К574УД1). Примененный С. Агеевым вместо него биполярный К140УД11 - трехкаскадный. А каждый лишился каскад внутри петли ООС - это ухудшение устойчивости и переходной характеристики.

Уменьшить влияние переходных искажений второго рода можно путем увеличения тока возбуждения р-п-р транзисторов на высоких частотах, а также снижением частоты единичного усиления всего устройства в целом.

Еще один фактор, который может повлиять на качество воспроизведения реального звукового сигнала, был замечен мной во время испытаний усилителя мощности высокой частоты на вибростенде. При воздействии механических вибраций было замечено весьма существенное увеличение уровня шума, сопровождающего основной сигнал. Этот шум сильно зависел от качества сильноточных разъемов на пути прохождения сигнала. Так при испытании 1 кВт усилителя в статическом режиме уровень шума соответствовал заданному в технических условиях значению, а при испытаниях на вибростенде увеличивался на 40-60 дБ. Обнаружить данное явление весьма непросто, так как шумовая ЭДС появляется только при наличии полезного сигнала, поэтому для её измерения использовался селективный милливольтметр SMV-8 и комплект ре-

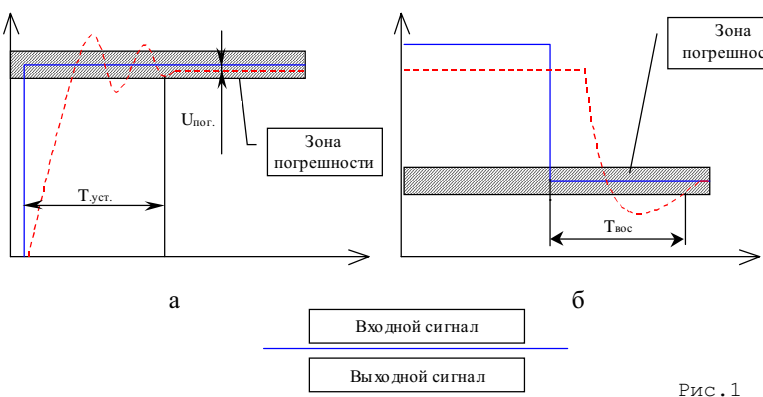


Рис. 1

жекторных фильтров с высокой добротностью, которые подавляли основной сигнал на 35 дБ. Этот эффект может оказаться существенное влияние на звучание усилителя, так как при прослушивании музыкальных программ на больших уровнях громкости (а это обычный режим для аппаратуры высокой верности) в комнате прослушивания наблюдаются довольно значительные вибрации мебели и корпуса самого усилителя. Кроме этого, на больших уровнях громкости нельзя исключать возможность появления пьезоэлектрических эффектов.

Система автоматического регулирования может устойчиво (без серьезных ухудшений времени установления) работать в таких условиях только в двух случаях:

* при значительном энергетическом запасе (запас выходной мощности)

* при использовании аддитивной системы автоматического регулирования.

Оба этих подхода не совсем пригодны для массовых моделей усилителей (первый из-за дороговизны, второй - сложности схемотехнической реализации). Пример радиолюбительской реализации первого подхода можно найти в [6], где автор использует весьма мощные источники питания и параллельное включение мощных выходных транзисторов. Естественно, это благоприятно сказывается на качестве звука, но и приносит дополнительные материальные затраты.

Для систем автоматического регулирования с большим петлевым усиливанием серьезную опасность может представлять перегрузка входных каскадов при усиливании сигналов с большой скоростью нарастания. На **рис.3** приведена осциллограмма напряжения на коллекторе одного из транзисторов дифференциального входного каскада базового усилителя при подаче на его вход прямоугольных импульсов частотой 1 кГц. Из этой осциллограммы видно, что на выходе первого каскада наблюдается

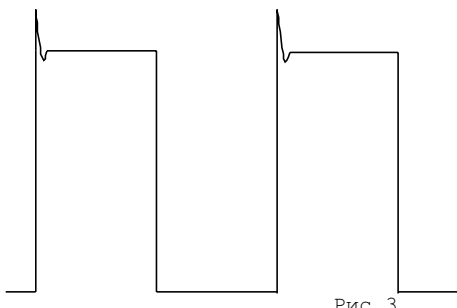


Рис. 3

значительный выброс напряжения, в то время как на выходе всего усилителя напряжение близко к прямоугольной форме. Такие выбросы приводят к появлению «динамических нелинейных искажений». Обычно считается, что такого рода искажения неизбежны, и в справочной литературе [5] рекомендуют принять ряд мер для уменьшения их последствий. К этим мерам в первую очередь относятся ограничение спектра входного сигнала и увеличение перегруженной способности входного каскада. С целью повышения перегруженной способности рекомендуется увеличить напряжение питания входных каскадов и использовать в них полевые транзисторы, которые в отличие от биполярных не имеют эффекта накопления носителей в режиме насыщения и имеют больший диапазон допустимого входного дифференциального напряжения (до 1 В против 60 мВ у биполярных).

Подобный подход к устранению перегрузки входных каскадов является борьбой со следствиями, а не с причиной, и помогает избежать выхода системы автоматического регулирования из нормального режима работы, но не позволяет полностью избавиться от динамических нелинейных искажений, а имен-

но они кроме неточностей регулирования во многом определяют качество звуковоизведения. Стандарты МЭК предусматривают измерение подобного рода искажений, однако производители аудиотехники приводят их в паспортах своих изделий крайне редко, так как большинство аппаратов, мягко говоря, не блеснут при таких испытаниях. Измерение этих искажений производится анализатором спектра при подаче на его вход одновременно синусоидального сигнала частотой 15 кГц и прямоугольных импульсов частотой 3,18 кГц. Естественно, что для измерений высококачественного усилителя потребуется анализатор спектра с динамическим диапазоном более 90 дБ.

Кроме этих искажений серьезное влияние на качество звука оказывают интерфейсные искажения. Более подробно о них можно прочитать в [7], однако в этой статье мало внимания уделяется влиянию таких искажений на устойчивость работы самого усилителя. Известно, что при работе на емкостную нагрузку напряжение на выходе усилителя не может нарастать мгновенно при условии конечного тока, который он способен отдать в нагрузку. В результате этого к дифференциальным входам усилителя в первый момент времени оказывается приложена значительная разность потенциалов, приводящая к сбою в работе системы автоматического регулирования. Для оценки подобных искажений можно рекомендовать собрать схему, изображенную на **рис.4**. О степени искажений можно судить по качеству переходного процесса в усилителе, на вход которого не подан сигнал.

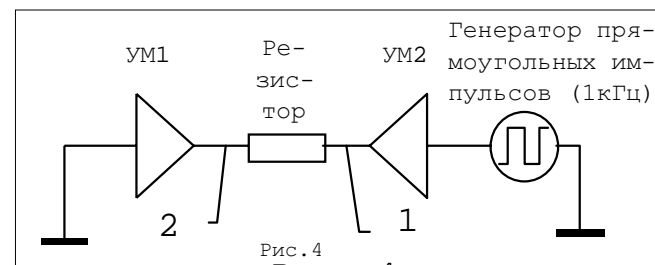


Рис. 4

Также на качество звука существенное влияние оказывают межблочные кабели. В последнем утверждении можно легко убедиться, проделав следующий эксперимент. Соединить проигрыватель компакт-дисков с усилителем экранированным кабелем длиной 150-160 см, в котором экран используется в качестве общего провода, и включить на воспроизведение с полной громкостью какой-нибудь диск с мощными ударными инструментами (очень хорошо подходит для этой цели фонограмма с трека 74 тестового CD-R диска «Аудиохобби-99», разработанного Н.Суховым в редакции «Радиохобби»). С помощью осциллографа контролировать разность потенциалов на экране межблочного кабеля со стороны проигрывателя и усилителя. Во время проигрывания этого эксперимента разность потенциалов в двух этих точках в отдельные моменты времени доходила до 3 милливольт (амплитудное значение). Это напряжение, собственно говоря, и является одной из составляющих искажений в межблочных кабелях, появляющихся из-за значительных переменных токов, проходящих по корпусу усилителя. Радикально избавиться от этих искажений можно, используя дифференциальное подключение усилителя к проигрывателю. При разработке высококачественного усилителя необходимо обращать на такие искажения особое внимание.

Кроме «активных» искажений в усилительной технике присутствуют искажения в пассивных элементах [5]. Нельзя применять в усилителях углеродистые резисторы, которые обладают свойством детектирования, что приводит к появлению нелинейных искажений величиной до 0,1% при высокомомной нагрузке и могут значительно превысить эту величину с уменьшением нагрузки. Критичными в отношении искажений являются также конденсаторы, емкость которых изменяется с изменением приложенного напряжения. К ним относятся, прежде всего, полярные электролитические конденсаторы, работающие с напряжением смещения. Наряду с электролитическими конденсаторами, большие нелинейные искажения (до 1%) присущи и керамическим конденсаторам. Наилучшими с этой точки зрения являются конденсаторы с изоляцией из полистирола и тefлона (фторопласт-4). Конденсаторы обоих типов обладают минимальными побочными переходными процессами и нелинейными искажениями.

С учетом изложенных принципов и подхода мной был разработан усилитель, обладающий невысокой частотой единичного усиления (относительно узкополосный). В то же время он имеет большую глубину обратной связи (более 140 дБ на низких частотах), что достигается использованием активной нелинейной обратной связи с эталонным регулятором. Устойчивость обеспечивается за счет обхода точки -1 на комплексной плоскости (критерий Найквиста) **рис.5**. Кроме этого, в сигнальной цепи применен только один разделительный конденсатор,

а также предприняты меры для уменьшения интерфейсных искажений как со стороны нагрузки, так и источника сигнала. Следует особо отметить, что подобное построение усилителя позволяет почти полностью

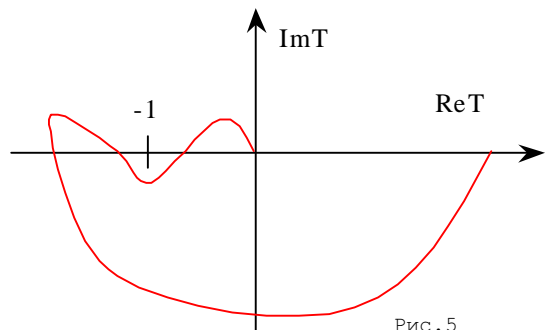


Рис. 5

устранить такие виды искажений как переходные искажения второго рода и динамические комбинационные искажения, которые являются самыми слабыми местами классических усилителей с общей ООС.

Как уже упоминалось, **усилитель выполнен на базе серийного аппарата Амфитон - У-002 стерео**. Доработка заключается в установке в корпус базового усилителя дополнительно четырёх печатных плат, на двух из которых монтируется новый предварительный усилитель, а на двух других производится усовершенствование усилителя мощности. Кроме этого, необходимо произвести изменения номиналов, добавление и исключение из схемы некоторых элементов базового усилителя. На **рис.6** и **рис.7** приведены принципиальные электрические схемы предварительного уси-

лиителя и усилителя мощности соответственно. На этих рисунках вновь вводимые элементы имеют обычные позиционные обозначения (без добавлений), элементы уже имеющиеся в базовом усилителе имеют следующие добавления:

* - не подвергшиеся изменению (например, R1*),

- не подвергшиеся изменению (например, R1),

" - элементы, у которых изменен номинал (например, R1").

Предварительный усилитель исходного аппарата не выдерживает критики с точки зрения обеспечения высококачественного звука, поэтому мной разработан принципиально **новый предварительный усилитель** (рис.6), печатная плата которого приведена на (рис.8, см.стр.52; M1:1). Он собран на операционном усилителе DA1, который для минимизации искажений искусственно переведен в класс А за счет того, что на его выходе установлен эмиттерный повторитель с динамической нагрузкой. Таким образом, ток нагрузки для ОУ DA1 не превышает 10 мА, что приводит к уменьшению комбинационных искажений этого ОУ более чем в 10 раз (проверено экспериментально) по сравнению с типовой схемой вклю-

ра громкости и использование независимых блоков питания для левого и правого каналов. При проведении экспертных оценок даже не переделанный усилитель звучал лучше, чем та-
кой аппарат, как, например, Корвет-50У-068.

Доработка усилителя мощности заключается в установке на его входе дополнительной печатной платы (рис.9, см.стр.52; M1:1), на которой установлены два операционных усилителя (обведены штриховой линией на рис.7). DA1 используется для повышения петлевого усиления, а также выполняет функции фильтрации усиливаемого сигнала. Фильтрация происходит за счет различного коэффициента передачи интегратора на ОУ DA1 выше частоты среза (примерно 150 кГц) в прямом и инвертирующем включении. Этот каскад на ча-
стотах выше 150 кГц для сигнала обратной свя-
зи ведет себя как повторитель, а для усиливаемого сигнала как ФНЧ первого порядка. Та-
кое схемотехническое решение позволяет по-
лучить на 40 дБ увеличить глубину обратной свя-
зи в области максимальной чувствительности слуха (2-4 кГц) без увеличения частоты единичного усиления всего УМ, что не приводит к уве-
личению динамических нелинейных искажений и переходных искажений второго

этой частоты и попадают в слышимую область, тем самым происходит подчеркивание и к тому же искажение высокочастотных составляющих [9]. Конечно, при записи эти надтональные составляющие пытаются подавить, но представьте себе, какого порядка должен быть фильтр, чтобы подавить частоты выше 22,05 кГц хотя бы на 50 дБ и не завалить при этом полезный сигнал на частоте 20 кГц [10].

Кроме каскада на ОУ DA1 введен каскад DA2, предназначенный для компенсации со-
противления кабелей, соединяющих акустиче-
ские системы с усилителем, идея которого позаимствована из [7]. Этот узел выполнен на ОУ DA2, который так же как и предвари-
тельный усилитель, работает в классе А. Данное устройство является абсолютно необходимой частью высококачественного усилителя, если конечно вы не собираетесь покупать соединительные кабели по цене 200\$ за метр. К тому же эффект от этого устройства несколько больше, чем от дорогостоящих соединительных кабелей.

При установке печатных плат в корпус усилителя необходимо обратить внимание на то, что изменения необходимо произвести и на штатной плате усилителя мощности:

* необходимо исключить из схемы катушку индуктивности L1, а вместо резистора R40 установить перемычку;

* группа эле-
ментов R11-R13, C6 переносится на вновь устанавливаемую печатную плату, при этом конденса-
тор C5 исключается из схемы;

* база транзи-
стора VT2 отсо-
единяется от вхо-
да усилителя и к
ней дополнитель-
но подключаются
элементы C8 и
VD5, последний
из которых необ-
ходим для нормаль-
ного запуска
усилителя в мо-
мент включения;

* резистор R1
переносится на
вновь устанавливаемую
плату;

* так как в ба-
зовом усилителе абсолютно безграмотно вы-
полнена разводка корпусных проводов, необ-
ходимо её выполнить заново в соответствии с рекомендациями, приведенными в [7]. В двух словах - все корпусные провода (в том числе и от конденсаторов фильтрующих пита-
ние УМ) необходимо соединить в общей точке, за которую я принял монтажный лепесток, находящийся около селектора входов;

* Для повышения выходной мощности не-
обходимо изменить номиналы некоторых эле-
ментов базового усилителя в соответствии с
рис.6 и рис.7 (R11, R12 в ПУ и R2, R24, R25
FU1, FU2, C1, C2 в УМ). При этом конденса-
торы C1, C2 устанавливаются вне корпуса уси-
лителя из-за нехватки места;

* Для уменьшения искажений, возникающих в межблочнике усилитель-CD проигрыватель, мной был изготовлен специальный кабель из двух отрезков радиочастотного кабеля КБФ-19 длиной около 30 см. При нестандартном включении (используются две центральные жилы для передачи сигнала) он имеет такие же значения погонной емкости и индуктивно-

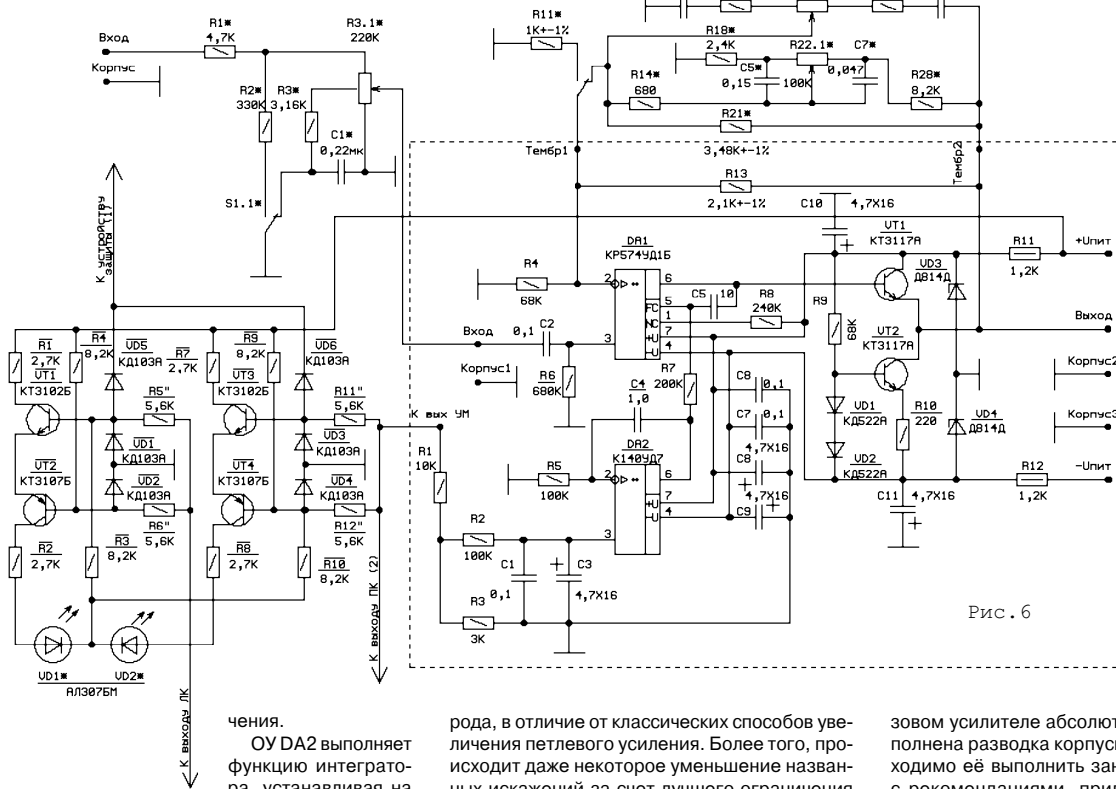


Рис. 6

чения.

ОУ DA2 выполняет функцию интегратора, устанавливая на 5-ом выводе DA2

(вход балансировки ОУ) постоянное напряжение, соответствующее нулевому потенциалу на выходе усилителя мощности.

Усилитель мощности базового аппарата (разработки Шушуринова, который в настоящее время работает в известной американской компании, производящей элитную аудиотехнику) в какой-то мере можно похвальить за заботу об уменьшении переходных искажений второго рода и динамических нелинейных искажений. Эта забота в первую очередь заключается во введении местной ООС во входном дифференциальному каскаде и цепочки C10, R23 (рис.7), которая обеспечивает на высоких частотах увеличение тока возбуждения более "тихоходных" р-п-р транзисторов выходного каскада. Другими положительными свойствами исходного аппарата являются применение прецизионного дискретного регулято-

рода, в отличие от классических способов уве-
личения петлевого усиления. Более того, про-
исходит даже некоторое уменьшение назван-
ных искажений за счет лучшего ограничения спектра входного сигнала.

Обратная связь на прямой вход ОУ пода-
ется непосредственно с выходных разъемов усиливателя, что обеспечивает компенсацию не-
линейности контактной группы реле устрой-
ства защиты. Этот же каскад формирует спад АЧХ усилителя в районе частот 14-20 кГц при-
мерно на 1 дБ, что, как считается у разработ-
чиков HIGH END аппаратуре, несколько сни-
жает жесткость звучания проигрывателей компакт дисков. Благоприятное влияние такого спада можно, по всей видимости, объяснить определенными особенностями цифровой звукозаписи. В первую очередь эти особен-
ности заключаются в том, что при записи и по-
следующем воспроизведении сигналов цифровыми методами происходит преобразование спектра входного сигнала, при этом сигналы, частота которых выше частоты Най-
кивиста (для ПКД 22,05 кГц) отражаются от

сти, как и дорогостоящие аудиофильские межблочные кабели. При таком включении экран кабеля соединяется с корпусом проигрывателя, но не подсоединеняется к усилителю. Этот же кабель был использован для межблочной коммутации внутри усилителя. Кроме это-

го, необходимо заменить выходные разъёмы усилителя винтовыми зажимами. Во входном разъёме мной не было обнаружено никаких искажений (за исключением ухудшения разделения каналов на высоких частотах) поэтому он остался прежним.

При доработке усилителя можно использовать резисторы типов МЛТ или С2-33, конденсаторы могут быть любыми с подходящими габаритами, кроме С2 в предварительном усилителе. В качестве С2 лучше всего использовать конденсатор с полистирольным диэлект-

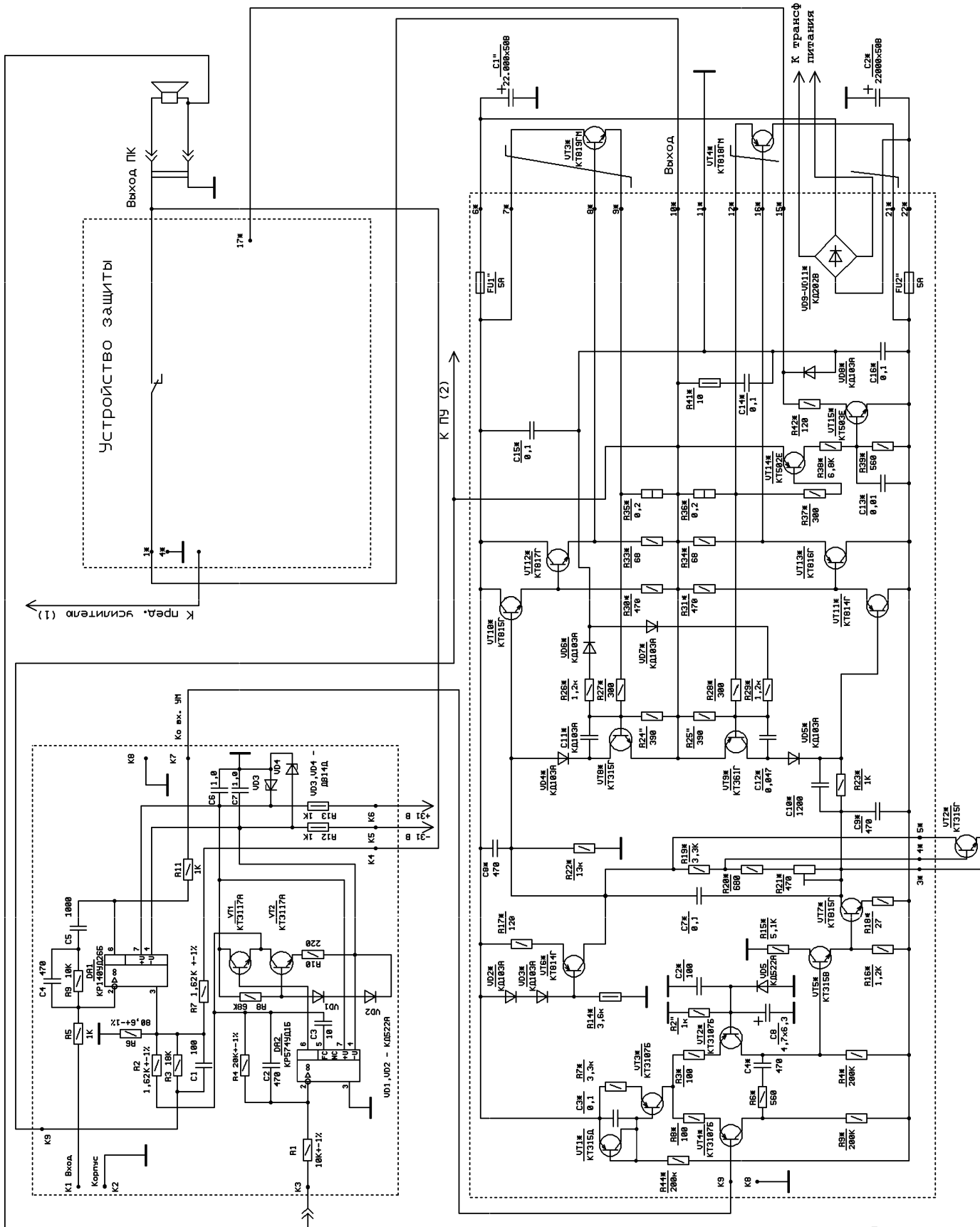


Рис. 7

AUDIO HI-FI

риком и с возможно большим допустимым напряжением, например K71-7. В крайнем случае, можно использовать штатный конденсатор, который стоял на входе базового усилителя. Все вновь устанавливаемые платы монтируются «вторым этажом» на одноименных платах базового усилителя. Правильно собранный усилитель практически не нуждается в наладке, так как стабильность его работы обеспечивается схемотехническими решениями. Единственное, что может потребоваться после сборки, это подстройка тока покоя транзисторов выходного каскада. Она осуществляется резистором R21* (рис. 7).

В авторском варианте усилителя коллекторный ток выходных транзисторов в холодном состоянии равнялся 200 мА, а с прогревом увеличивался до 300-320 мА. Постоянное напряжение на выходе усилителя не превышает 15 мВ при любом разогреве выходных транзисторов. Температура радиаторов, установленных на боковых стенках усилителя, после 6 часов эксплуатации на предельной громкости и окружающей температуре 35 °C не превышает 80 °C. Ещё одной особенностью усилителя является несколько увеличенное время включения, которое составляет 5-7 секунд, при этом на вход усилителя не должен поступать звуковой сигнал, иначе усилитель не выйдет в штатный режим.

После доработки усилителя мной был произведен ряд тестов:

* измерены **комбинационные искажения**, которые при подаче на вход усилителя двухтонового сигнала с частотами тонов 19 и 20 кГц при пиковой выходной мощности 70 Вт на нагрузке в 4 Ома оказались **менее 0,01%**

нал в точке 1, а на **рис. 11** - в точке 2. Как видно из рисунков, усилитель имеет идеальную реакцию на скачок нагрузки;

* проведена **экспертная оценка** качества звучания.

О последней оценке во избежание субъективного подхода необходимо поговорить побольше. Сразу следует сказать, что не стоит ожидать, что все ваши диски после переделки усилителя будут звучать идеально. Многое зависит от мастерства звукоизделия. Этим обстоятельством пользуются многие производители ламповых High End усилителей, разрабатывая его так, чтобы он вносил в звук гармонические искажения четных порядков, при этом на записях не слишком высокого качества улучшается проработка отдельных инструментов, голосов заднего плана и увеличивается глубина сцены. Если же запись произведена высокопрофессиональным звукоизделием, то на подобном усилителе она звучит бледно и убого. Поэтому я бы рекомендовал любителям «улучшения звука» использовать не подобные усилители, а специальный прибор (широко распространенный в студиях звукозаписи) - экскайтер, который совместно с обычным высококачественным усилителем выполняет те же функции, но в отличие от «усилителя-экскайтера» экскайтер всегда можно отключить. Любителям использования экскайтеров можно также порекомендовать обработать недостаточно качественные записи с помощью персонального компьютера и после окончания обработки записать компакт-диск, который впоследствии будет прослушиваться. Такой подход позволяет получить наилучшие результаты, так как программ-

шим образом связано с проблемами метрологического обеспечения. Качество этой аппаратуры, в отличие от обычной, определяется значительно большим числом параметров и характеристик, подлежащих контролю объективными методами. Современная широко распространенная измерительная техника позволяет производить оценку аппаратуры всех классов, кроме Hi-Fi и High End. Для аппаратуры этих категорий необходимо применять более информативные и адекватные слуху испытательные технологии, затраты на которые значительно превосходят стоимость самой аппаратуры. Поэтому до сих пор наиболее достоверным и доступным методом оценки качества звучания аппаратуры данных классов является экспертная оценка [11].

Совершенствованию **методов и средств субъективной экспертизы** уделяется большое внимание всеми ведущими производителями аудиоаппаратуры мира. В настоящее время существуют специальные центры и лаборатории прослушивания, такие как лаборатория корпорации BBC, исследовательский центр FTC в США (университет г. Ватерлоо), специального исследовательского центра (Канада), лаборатория при Каролинском институте (Швеция) и др. Развитию субъективных экспертиз в значительной степени способствовала разработка рекомендаций международного электротехнического комитета (МЭК 581-7 и МЭК 268-5) к основным факторам, влияющим на полученные результаты. К этим факторам относятся: выбор помещения для прослушивания, вид звукового материала, подбор экспертов, метод экспертной оценки, характеристики эталонного тракта. Вот эти **рекомендации**.

Выбор помещения для прослушивания. Фактором, способным коренным образом повлиять на результат экспертизы оценки качества звучания, является выбор и акустическая обработка помещения для проведения испытаний. Поскольку помещение должно minimally влиять на результаты прослушивания, оно должно обладать, прежде всего, минимальным временем послезвучания (реверберации). В рекомендациях МЭК даны требования к построению специализированных помещений прослушивания: комната должна быть прямоугольной формы, с площадью около 30 м², с полной акустической и геометрической симметрией; уровень внешних шумов не более 30 дБ; время реверберации от 0,3 до 0,6 с в диапазоне частот от 250 до 4000 Гц.

Выбор звукового материала. Отбор звукового материала для проведения экспертной оценки качества звучания является одним из важнейших и наиболее трудоемких этапов подготовки испытаний. Поскольку оценки различных звеньев звукового тракта существенно зависят от содержания программы, ведущие центры прослушивания уделяют ее подбору значительное внимание: чаще всего используются отдельные фрагменты музыкальных произведений, при этом существенное влияние оказывают условия записи (для прослушивания аппаратуры Hi-Fi и High End важным является отсутствие в записях специальных эффектов). Звуковой материал, из которого составляется тестовая фонограмма, должен содержать разноплановые музыкальные и речевые отрывки, чтобы можно было выявить в ходе прослушивания различные аспекты и особенности звучания.

Рекомендация МЭК № 268 предусматривает составление **тестовой фонограммы** из следующих фрагментов: дикторская речь; симфонический оркестр; рояль; скрипка и виолончель; деревянные духовые и струнные инструменты; медные духовые инструменты; хоровое пение без музыкального сопровождения; сольное пение с инstrumentальным сопровождением; джазовый оркестр; рок-группа (опять хочу упомянуть созданный редакцией «Радиохобби» тест-диск CD-R «Аудиохобби», кото-

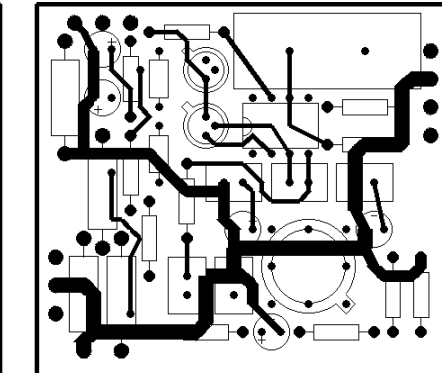
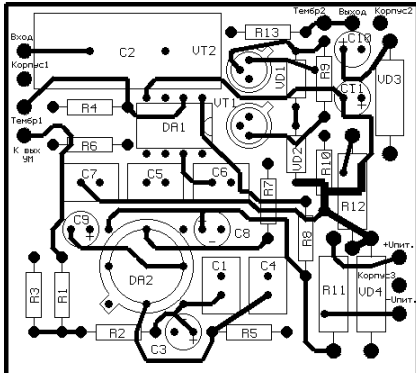


Рис. 8

(предел чувствительности моей измерительной аппаратуры);

* проведены **испытания** реакции усилителя на комплексную нагрузку по схеме **рис. 4**; результаты этих испытаний показаны на **рис. 10** и **рис. 11**. На **рис. 10** изображен сиг-

ная реализация экскайтера позволяет варьировать уровнем вносимых искажений и их спектральным распределением.

Вернемся к проблеме оценки качества усилителя. Тестирование радиоэлектронной аппаратуры категорий Hi-Fi и High End тесней-

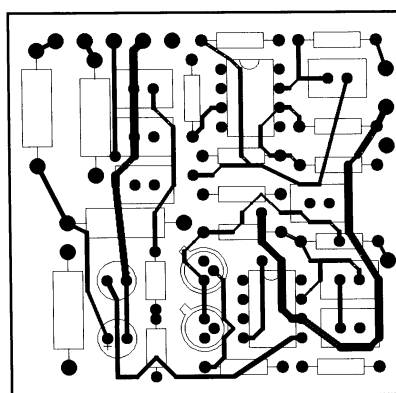
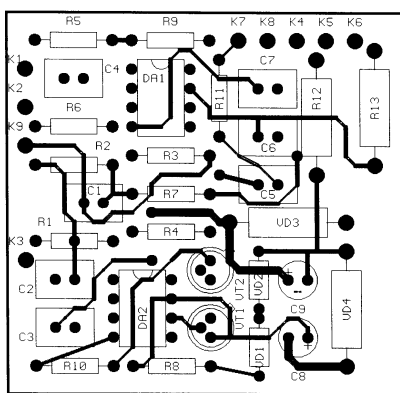


Рис. 9

рый содержит фрагменты с оркестром струнных инструментов, роялем, органом, контрабасом, ударных инструментов и др., при доступной для наших аудиофилов стоимости). Соотношение звуковых фрагментов и пауз представлено на **рис. 12**.

Следует также отметить, что уровни прослушиваемых программ также существенно влияют на восприятие качества звучания. Для систем категорий HI-FI и High End уровень громкости звука для прослушивания фрагментов должен быть близок к уровню громкости живой речи и музыки для типичного расположения слушателя при живом исполнении. Для аппаратуры более низких классов допускается прослушивание на более низких уровнях. Поэтому в рекомендации МЭК указываются уровни 60 дБ, 75 дБ и 80...90 дБ.

Подбор экспертов. Надежность современных методов слуховых экспертиз в значительной степени определяется составом и

В конечном итоге от степени подготовленности экспертов, их опыта и музыкальных вкусов во многом зависит достоверность тестирования.

Выбор метода экспертной оценки качества звучания. В подготовке и проведении экспертных оценок выбор метода является одним из самых ответственных этапов. Методы проведения прослушивания могут быть разделены на группы в зависимости от применяемого звукового образца:

- * сравнение с «живым» звуком;
- * сравнение со звуком, «эквивалентным живому»;
- * сравнение со звучанием источника, принятого за образцовый;
- * сравнение с «изображением» звука в памяти эксперта.

Для аппаратуры высокой верности воспроизведения метод сравнения с живым звуком является наиболее информативным, однако

3. Посредственное
2. Низкое
1. Плохое

Ухудшение

5. Незаметное
4. Заметное, но не раздражает
3. Слегка раздражает
2. Раздражает
1. Очень раздражает

или 7-балльной шкалы сравнительных оценок:

- +3 - значительно лучше,
- +2 - лучше,
- +1 - незначительно лучше,
- 0 - равноценны,
- 1 - незначительно хуже,
- 2 - хуже,
- 3 - значительно хуже.

Прослушивание ведется по аналогичной схеме: используются повторяющиеся фраг-

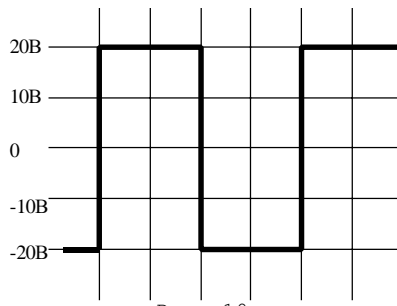


Рис. 10

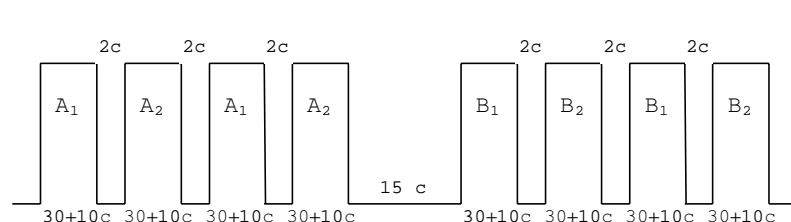


Рис. 12. Продолжительность фрагментов и пауз в тестовой фонограмме: A₁, A₂ один фрагмент тестовой программы воспроизведенный через образец по качеству звучания и испытуемое изделие; B₁, B₂ - следующий фрагмент тестовой программы.

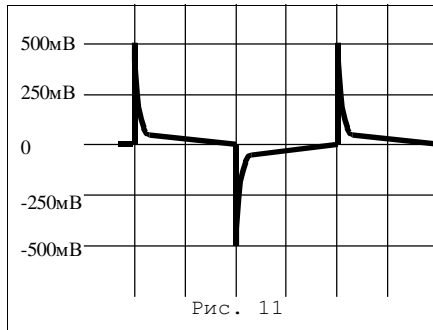


Рис. 11

степенью подготовленности экспертов. Эксперт - это подготовленный слушатель, не имеющий дефектов слуха, способный оценить звучание с разумной точностью и в объективных выражениях («упругие низы» и «божественные верхи», которыми так пестрят обзоры в лакированных псевдоаудиофильских журналах, объективными выражениями **не являются**).

Требования к экспертам согласно публикации МЭК: порог слышимости у них должен быть не более 20 дБ в диапазоне частот от 125 до 8000 Гц, дифференциальный порог слуха к изменению сигнала частотой 1000 Гц - не более 3 дБ. Выбор слушателей для проведения конкретных экспертиз зависит от целей испытаний и должен проводиться из тех групп, на которые рассчитана данная аппаратура.

Соотношения между способностью правильно оценивать качество воспроизводимого звука и количеством факторов, обуславливающих эту способность, достаточно сложны. В этой ситуации единственным надежным руководством при составлении групп является предварительный отборочный эксперимент.

Существует комплекс тестов для проверки разрешающей способности экспертов к оценке нелинейных и частотных искажений, их кратковременная музыкальная память и т.д. В исследовательском центре университета штата Теннеси США разработана методика обучения экспертов.

его реализация на практике чрезвычайно трудоемка и дорогостояща (требует привлечения музыкантов, использования концертных залов или студий и т.д.). Поэтому чаще используется заменяющий его метод сравнения со звуком, «эквивалентным живому», который при относительной технической простоте сохраняет достоинства последнего.

Метод сравнения с «изображением» звука в памяти эксперта («метод абсолютного прослушивания») является достаточно простым и довольно широко распространенным. Основным его недостатком является необходимость привлечения экспертов высокой квалификации (звукорежиссеров, слушателей с большим опытом проведения прослушиваний, хорошо знакомых с «живым» звуком натуральных источников - имеющих прочно закрепленный в памяти звуковой образ «живого» звука) и относительно низкая достоверность экспертизы. Наиболее распространенным с хорошим разработанной методологией является метод сравнения со звучанием источника, принятый за образцовый (метод парных сравнений), который закреплен многими рекомендациями МЭК.

Для бытовой звуковоспроизводящей аппаратуры в них предусматривается проведение парных сравнений с использованием шкалы оценок (в баллах): «плохо» (0-2); «посредственно» (2-4); «удовлетворительно» (4-6); «хорошо» (6-8); «превосходно» (8-10). Процедура парных сравнений предусматривает поочередную подачу одного и того же музыкального фрагмента на испытуемое изделие и образец. При этом каждому звучанию эксперты дают оценку по десятибалльной шкале.

Для профессиональной аппаратуры основной критерий оценки - отсутствие или незаметность ухудшения звучания испытуемым изделием. При этом возможно использование пятибалльной шкалы оценки ухудшения качества звучания:

Качество

5. Превосходное
4. Хорошее

менты тестовой программы, которые подаются через испытуемое изделие или в обход его (то есть сигнал проходит «ухудшение» или подается в исходном виде).

Серьезное внимание необходимо также уделять методам обработки экспертиз (на основе методов корреляционного, факторного и кластерного анализа), что позволяет увеличить статистическую достоверность и значимость результатов.

Требования к эталонному звуковоспроизводящему тракту. Аппаратура, входящая в эталонный звуковоспроизводящий тракт, должна иметь параметры, обеспечивающие возможность прослушивания испытуемого изделия во всем диапазоне частот с максимальным динамическим диапазоном и минимально возможными искажениями. Аппаратура должна включаться в тракт через автоматическое коммутирующее устройство, обеспечивающее коммутацию тестируемого и эталонного источника как минимум на четыре различных усилителя мощности с четырьмя парами акустических систем в любой последовательности вручную и автоматическом режиме при использовании любого источника программ. Последнее требование необходимо, чтобы минимизировать влияние интерфейсных искажений между усилителем мощности и акустической системой.

Мной была проведена экспертиза оценка доработанного усилителя методом абсолютного прослушивания в специально подготовленной комнате с привлечением двух профессиональных музыкантов из Тамбовского симфонического оркестра и трех подготовленных слушателей, часто посещающих симфонические концерты и выставки аудиоаппаратуры в Москве. Все они дружно отметили необычайно точное воспроизведение всех типов инструментов, приведенных в рекомендации МЭК №268, и великолепное пространственное впечатление от их звучания, очень похожее на живое исполнение. Единственным замечанием было немного недостаточная громкость звучания больших ударных инструментов, что объясняется недостаточной выходной мощно-

стю усилителя (120 Вт в пике на нагрузке 4 Ома).

Также мной проведена экспертиза методом парных сравнений, при этом использовались такие усилители, как NVA AP30, Harman-Kardon HK 610, Sony TA-FA50ES. При этом почти все привлеченные эксперты отдали предпочтение описываемому усилителю, а их привлекалось более 20 человек.

В заключение хотелось бы отметить, что подготовленный радиолюбитель, руководствуясь данной статьей, вполне в состоянии собрать усилитель, по качеству звучания не уступающий лучшим зарубежным образцам в стоимостной группе до 1000-1200\$, затратив на его изготовление всего 40\$ (20\$ из них уйдут на покупку Амфитона У-002 и 20\$ на детали) и две недели работы. При этом усилитель некритичен к регулировке и не требует подбора элементов. Также возможно дальнейшее совершенствование описанного усилителя за счет использования более современной элементной базы, увеличения мощности источников питания, повышение линейности усилителя напряжения. Учитывая дешевизну усилителя, возможно построение многополосного усилителя с использованием активных фазолинейных разделительных фильтров на его входе и отсутствие фильтров в акустических системах, что несомненно благоприятно скажется на качестве звучания, так как будут почти исключены искажения группового времени запаздывания, возникающие во всех акустических системах.

Литература

1. Суров. М. А. Исследование слухового восприятия и процессов обработки звуковых сигналов в слуховой системе человека с целью создания объективных методов оценки искажений АРЭБ. Техн. Отчет ВНИИРПА им. А. С. Попова № 81/79, гл. 1.

2. Справочник. Интегральные схемы: операционные усилители. Том 1. - М.: Физматлит, 1993, 240с.

3. Алексенко А. Г., Коломбет Е. А., Стародуб Г. И. Применение прецизионных аналоговых ИС. - М.: Сов. Радио, 1980.-244 с.

4. Colloms M. The sound of Amplifiers -HI-Fi-. News & Record Review, 1985, № 5, р. 39-49.

5. П. Шритец. Справочное руководство по звуковой схемотехнике. Пер. с нем. - М.: Мир, 1991.-446с.

6. Агеев С. Сверхлинейный УМЗЧ с глубокой ООС. - Радио, 1999, №10 с. 15-17.

7. Сухов Н. К вопросу об оценке нелинейных искажений УМЗЧ. - Радио, 1989, №5 с. 54-57.

8. Сухов Н. УМЗЧ высокой верности. - Радио, 1989, №6 с. 55-57, http://www.radiohobby.ldc.net/diglibr.html

9. Bennett W. Spectra of Quantized Signals. Bell System Techn. Journal. 1948, n.3.

10. А. Абрамов, Н. А. Цыбина. Искажения при цифро-аналоговом преобразовании звуковых сигналов - «Техника средств связи» сер. Техника радиовещательного приема и акустики, 1983 г. вып 1

11. Алдошин И. А., Мельберг Д. А. Задачи отраслевого центра экспертной оценки качества звучания в развитии современной звукоизводящей аппаратуры. - «Техника средств связи» сер. Техника радиовещательного приема и акустики, 1986 г. вып 1.

Литература для радиолюбителей

1. IOTA - Буклет (ф.А4, 62 с.) "Острова в эфире "IOTA" -

Руководство-справочник'99" (Русско-англ. версия. Изд. IOTA-комитет ЛРУ). Буклет номерной и в него заносится персональный позывной заявителя, о чем регулярно информируется учредитель дипломной программы IOTA.

2. "СПРАВОЧНИК DX-мена" (ф.А5, 44 с. с приложениями): DX-NETs и DX-частоты, "конвертация" текущего времени, стиль работы QSL-менеджера, наиболее престижные дипломы, DX-мену "на заметку", DX-художественный юмор (вкл. дружеские колажи с фотографиями ведущих DX-менов СНГ), списки с таблицами (распределение позывных ITU, "стран" по DXCC, зон - "CQ" и ITU).

3. "ИСТОРИЯ РАЗВИТИЯ РАДИОЛЮБИТЕЛЬСТВА И РАДИОСПОРТА В УКРАИНЕ" (ф.А5, 48 с., иллюстрации).

4. "ИСТОРИЯ РАДИОЛЮБИТЕЛЬСТВА ВО ЛЬВОВЕ" (Хроника: 1924-1939 г.г. (ф.А5, 24 с., фотографии).

5. "ПОСОБIE ДЛЯ НАЧИНАЮЩИХ РАДИОЛЮБИТЕЛЕЙ" (ф.А5, 24 с.). Освещена теор. части тем, необходимых для сдачи квалиф. экзаменов по программе операторов ЛРС начальной и III категорий.

6. "ЭКЗАМЕНАЦИОННЫЕ ВОПРОСЫ-ОТВЕТЫ" - для начинающих радиолюбителей (ф.А5, 20 с.). Включено около 150 вопросов, освещающих темы, изложенные в "Положении о КТК" и соответствующих требованиям СЕРТ.

7. "СБОРНИК РАДИОЛЮБИТЕЛЬСКОГО ЮМОРА" (ф.А5, 20 с.) - радиолюбительские "перлы" и достоверные истории, карикатуры, "Пособие" для DX-мена, Законы Мерфи для радиолюбителей и радиолюб. песни (с нотами).

Стоимость единицы (с учетом почтовых расходов заказной бандеролью), в у.е.

	Украина	СНГ
п. 1 :	3 (с дискетой - 4)	4 (с дискетой - 5)
п.п.2 - 3:	0,7	1,2
п.п.4 - 7:	0,4	0,7

Через UY5XE возможно получение продукции компании "Октавия" (RA6YR):

1."Радиолюбительские станции содружества" (РСС98+) - к-т из 2-х томов - 4,0.

2. "РСС98+" - Visual Callsign Database CD (компакт-диск) - 7,0.

3. Радиолюбительская карта мира - 84 x 60 см (пр-во UA6YW) - 1,8.

Возможна оплата IRCs по курсу ARRL: "земное" - экв. 0,5, "авиа" - 0,6 USD.

УКРАИНА, 79000, Львов, а/я 19, ЧЛИЯНЦ Георгий Артемович, тел. (0322) 64-95-86

Шумоподавитель для CD, MD и кассетного магнитофона

Сергей Нездойминога, г. Полтава

1. Результаты субъективной экспертизы

Название статьи, наверное, заставит многих прочитать хотя бы первые строчки. Оно - интригующее. Автор статьи тоже был шокирован полученными результатами субъективной экспертизы. Ведь при ее проведении были использованы шумоподавители (деноизеры) всемирно известной германской фирмы "BERINGER" (модели SNR 1000 и SNR 2000 с ценой 250 у.е. и 350 у.е.), на украинском рынке представляемые фирмой "BITA-MUSIC" (г.Киев), а также профессиональные (проф.) мониторы венгерской фирмы "BEAG" и американской фирмы "ALESIS", модель "Monitor One" с усилителем "ALESIS RA-100", наиболее часто применяемых в студиях звукозаписи, в студиях тиражирования, на УКВ радиостанциях.

В экспертизе участвовали ведущие проф. звукорежиссёры. Только тесная совместная работа с создателями первоисточников музыкальных произведений - в первую очередь со звукорежиссерами, способна решить все технические аспекты.

Шумоподавитель для CD, MD и кассетного магнитофона (ШП-CD) прекрасно справился как с шумом фонограмм кассетного магнитофона (КМ) "Technics RS-BX 747" (КМ был проверен с использованием измерительной кассеты "Hi-Fi Calibration Tape" фирмы "BASF"), так и с шумом CD украинского, российского производства, и всевозможных неизвестных производителей, воспроизводимых через компакт-проигрыватель фирмы "SONY CDP-761",

один из лучших в ценовой категории до 400 у.е.

Проф. мониторы позволяют констатировать, что до 10% CD поражены шумом аналоговой или цифровой природы. Цифровой шум имеет синхронный с музыкальным звуком характер и легко распознается при попытке синтеза натуральных инструментов или звуков (например: рояль - с величиной искажений 0,003 %, хор - 0,06% [2]), в отличие от аналогового системного (т.е. постоянного) шума.

ШП-CD прекрасно справился с цифровым шумом музыкальных заставок и фонограмм, выполненных на синтезаторах "KORG M1" и "ROLAND XP - 50" (цены >1200 у.е.), воспроизводимых с цифрового 8-ми канального проф. магнитофона "ALESIS ADAT".

Из-за шум магнитной ленты и с фонограмм, воспроизводимых аналоговыми студийными магнитофонами типа "МЭЗ 109" (Московский Экспериментальный Завод, Россия), "STM 610" (Венгрия).

Искажений динамики (т.е. искажений, связанных с включением и выключением динамического фильтра ШП-CD) не было обнаружено ни одним из экспертов.

Подстройка единственным подстроечным элементом на два канала позволяет полностью избавиться от "подрезания" высокочастотных составляющих аудиофонограмм.

Эффективность шумопонижения была сравнима с "BERINGER'ами", а во многих конкретных случаях превосходила их, хотя в рекламных проспектах указывается на эффективность

шумопонижения от 40 до 80 дБ. При проведении экспертизы подавители шума паузы (ИКС-экспандер/гейты) "Beringer'ов" были отключены - сравнивались ШП-CD и сдвоенный динамический фильтр "Beringer'ов" - "DYNAMIC FILTER" [3]. ШП-CD в отличие от динамического фильтра Берингера не добавлял к исходной фонограмме призвуков.

До сих пор автора статьи гложет сомнение: может в серийном производстве "BERINGER'ов" имелись дефекты, несмотря на гарантию качества в 5 лет ?

Конечно же, особенно быстрое "привыкание" к качественной работе наблюдалось на КМ. ШП-CD легко победил "DOLBY B". Даже записи, выполненные с "DOLBY C", зазвучали реалистичней при совместной работе.

Позже была проверена совместимость сравнительно низкого входного сопротивления ШП-CD с разными КМ отечественного и импортного производства и проигрывателями CD более низкой ценовой категории. Проблема возникла только с большим выходным сопротивлением популярного КМ "Орель - 101", что было устранено заменой его выходных разделительных конденсаторов (C=0,33 мкФ; плата 5.078.000-01) на неполярные конденсаторы емкостью 5 мкФ x 16 В.

ШП-CD явился прекрасным дополнением к низкокачественным фильтрам ЦАП недорогостоящих проигрывателей CD с ценой менее 400 у.е.. Исследования спектра выходного сигнала с помощью анализатора СК-4-56 позволило обнаружить гармонические состав-

ляющие, простирающиеся до частот 60 кГц и нарушающих как нормальную работу усилителя записи КМ, так и усилителя мощности бытового комплекса и порождающих ностальгию о аналоговом звуке и ламповых усилителях.

ШП-СД, установленный на порог "-50 дБ", уменьшает продукты нелинейных искажений цифровой записи CD и MD, сводя на "нет" понятие "быстрой утомляемости", механизм которого описан в нашумевшей статье "Hi-Fi правда и High-End сказки" [4] и связан с возрастанием гармоник в цифровой аппаратуре до порогового значения заметности искажений в 1%, как раз при уровне в -50 дБ.

Встроив предлагаемый ШП-СД внутрь компакт-проигрывателя, можно не только улучшить качество звука и качество записи на

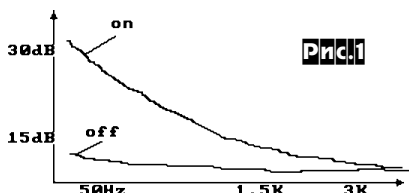


Рис.1

внешнее устройство, но и избавиться от необходимости покупки дорогостоящего "High End" кабеля, т.к. выходное сопротивление выбранной выходной микросхемы в частотном диапазоне очень мало.

Заявление автора об отечественной элементной базе ШП-СД было воспринято экспертами с явным недоверием ☺.

2. Лирическое отступление для любителей и профессионалов

В связи с тем, что в настоящее время отечественные производители аудиокассет (NAC, WESTERN THUNDER и др.) не внедряют шумопонижение DOLBY, так как основной парк КМ не содержит встроенных процессоров DOLBY, динамический ШП является главным средством в расширении динамического диапазона компакт-кассет до уровня компакт-диска, разумеется, с одновременным расширением динамического диапазона записи исходной фонограммы в области высоких частот с помощью САДП. Эффективность динамических шумопонижающих устройств значительно возрастает при маскирующем действии высокочастотных составляющих. САДП является уникальным средством устранения высокочастотной компрессии [5] в магнитной записи. Не следует забывать, что при фиксированном подмагничивании, при уровне записи в 0 дБ (250 нВ/м), на плёнке типа I (Normal) частотный диапазон записи составляет равен универсальной магнитной головке - 6 кГц, на плёнке типа II (Chrom) - 8 кГц, на плёнке типа IV (Metal) - 10 кГц. Только студийный магнитофон на скорости 38 см/с на профессиональной магнитной плёнке способен компетентно записать 18 кГц. Примерно такие же цифры удается достичь и с САДП на скорости 19 см/с и почти такие же (14-16 кГц) с САДП на компакт-кассете.

В условиях нашей экономической реальности далеко не просто на имеющихся студийных "МЭЗ'ах" получить по кривой психофметрического взвешивания МЭК D [6] (не путать с МЭК A ! смотри далее) - отношение сигнал/шум канала записи-воспроизведения магнитофона в -62 дБД, согласно ТУ на скорости в 38 см/с (зиповские магнитные головки имеют низкую э.д.с.) и акустические мониторы легко обнаруживают этот шум, ...в сравнении с CD.

Еще более "трагическое" положение с магнитными головками для бытовых КМ. Из протестированных автором более 300 шт. сенсодатчиков (Вильнюс, Харьков, Запорожье) и около 100 шт. ферритовых МГ (Санкт-Петербург) только 5% и 10% соответственно отвечают стандартам

качества "фирмовых дек" в попытке записи магнитной плёнки типа II (Chrom), а магнитные головки, способные записывать плёнку типа IV (Metal) - вызывают "сенсации" [7].

По собственным наблюдениям автора МЭК D наиболее точно отражает динамический диапазон аппаратуры записи при слежении за уровнем выходного сигнала с помощью пикового индикатора с динамическим диапазоном в 60 дБ, временем интеграции 5 мс, временем восстановления - 1,7 с (например, проф. индикатор "МАК 113" (Венгрия)).

Измеренное среднеквадратическим вольтметром с фильтром МЭК D для плёнки типа I (Normal) среднестатистическое значение в -42 дБД +3 дБ перегрузки, для плёнки типа II (Chrom) значение в -45 дБД +3 дБ перегрузки, для плёнки типа IV (Metal) значение в -45 дБД +6 дБ перегрузки - в точности отражается в паузе реальной записи на таком пиковом индикаторе. Для работы ШП-СД без подрезания ВЧ составляющих достаточно регулятором R19 (рис.2) согласовать порог шумоподавления с прогнозируемым порогом шума ленты, хотя для разных ушей, мониторов и фонограмм всё равно желательна подстройка.

Применение психофметрического фильтра МЭК-D актуально в связи с отсутствием отечественных среднеквадратических милливольтметров с диапазоном измерений более 80 дБ, т.к. имеет в "шумовой" области от 3 кГц до 10 кГц подъем +10 дБ (МЭК D = МЭК A - 10 дБ), что совпадает с расчетами в литературе [2]. Измеренный шум минидисковой деки "SONY MDS-JE 500" в -83 дБД отвечает её паспортному значению в -93 дБА.

Кстати, вся проф. и бытовая аппаратура магнитной записи импортного производства оснащена именно пиковыми индикаторами уровня записи, а в бывшем СССР - только профессиональная (??).

Привыкнув к малоинерционным "средневыпрямленным" индикаторам, наши потребители, даже приобретя "фирдовую деку", в страхе перегрузок записывают с заниженным уровнем, не доверяя собственным ушам и увеличивая шум фонограмм.

И еще одно существенное замечание к применению динамических шумоподавителей в технике бытовой магнитной записи - совместимость записи. В результате экспериментов с КМ автор смеет утверждать, что в КМ максимально возможно добиться амплитудной совместимости на средних частотах - 1 дБ, а на краях звукового диапазона - минус 3 дБ, при фазовой совместимости каналов менее 90 градусов во всем звуковом диапазоне. Поэтому при воспроизведении не "родной" записи или при перезаписи желателен подъем в +3 дБ в диапазоне 10 - 16 кГц, аналогично применяемому в магнитофонах фирмы "Pioneer" устройству FLEX. О результатах подобных субъективных экспериментов совместимости записей много написано в литературе для массового потребителя [8, 9].

3. K157ХП3 - в историческом развитии

Появление схемы ШП-СД явилось результатом многолетнего целенаправленного изучения динамического ШП, выполненного на широкораспространенной микросхеме K157ХП3 [10].

При заявленной эффективности микросхемы в 11 - 15 дБ по кривой взвешивания МЭК A, практически во всех отечественных КМ ("Маяк", "Электроника", "Полтава" и т.п.) почему-то приводится эффективность только в 4 дБА (??).

Несмотря на солидный стаж работы в радиоэлектронике, автору так и не довелось услышать компетентную работу ШП, выполненную по стандартной схеме включения. Автор разделяет точку зрения коллектива авторов [11] о "некорректном" применении ХП3 - отсутствии подстройки.

Из-за непредсказуемого поведения ШП по

стандартной схеме в области ВЧ (подъём или завал до 3 дБ) практически всегда приходит настройку КМ начинать с проверки и настройки неравномерности АЧХ ШП, включив КМ в режим записи. Процедуру настройки следует производить при уровне выходного сигнала -20 дБ, т.к. при возрастании уровня до 0 дБ АЧХ изменяется - происходит экспандирование в +2 дБ на f=14 кГц. В схеме "Маяк 232" (2.067.30) - подлежат настройке C8=1800 пФ (+/- 500 пФ), C10=2700 пФ (+/- 1000 пФ) и при надобности включают последовательно с ним резистор сопротивлением 1-2 кОм. Как сказано в литературе [12], этот резистор способен "...уменьшить нелинейные искажения в несколько раз ...". К сожалению, автор не наблюдал подобного уменьшения ни в одном из экземпляров ИМС.

Добившись неравномерности АЧХ усилителя воспроизведения < 3 дБ (совместно с модулем ШП) и оценивая эффективность ШП с помощью фильтра МЭК D, специально предназначенному для оценки эффективности шумоподавителей, практически всегда заводская настройка обеспечивала эффективность в 8-15 дБД, но только перестройка на эффективность в 4 дБД (т.е. на требуемые 14 дБД) обеспечивала отсутствие среза ВЧ в фонограмме. Автору не удалось обнаружить ошибок в технологии настройки стандартного модуля ШП - из-за отсутствия возможности её найти или отсутствия таковой на заводах-изготовителях.

Дальнейший анализ с помощью анализатора спектра обнаружил сильное возрастание модуляционных шумов в диапазоне до 2 кГц при отсутствии входного сигнала на 17-й ножке, едва включался режим "ШП ВКЛ" (рис. 1), что позволило сделать вывод (??) [13], что "... шумоподавитель весьма чувствителен к внешним наводкам и его необходимо экранировать ...". Конечно же, одновременно с этим возрастал до неприемлемого значения и коэффициент гармоник на низких и средних частотах при малых уровнях входного сигнала. При больших уровнях входного сигнала возникала другая проблема - проникание управляющего сигнала в исходный сигнал, особенно выраженное в диапазоне 125 Гц - 400 Гц.

Несовершенство микросхемы ХП3 - постоянный уровень напряжения на 11-й ножке (+/- 0.5 В) полностью было устранено введением вспомогательного операционного усилителя в [14], но уровень гармоник на низких частотах остался прежний.

Введение дополнительной предкоррекции и послекоррекции по [15] значительно улучшило динамические характеристики стандартной ХП3 и уменьшило уровень гармоник за пределами полосы пропускания, обнаружило значительные резервы микросхемы в перегрузочной способности на высоких частотах, но как считает автор - величина предкоррекции выбрана недостаточной по современным меркам.

Впрочем, попытки повысить перегрузочную способность были предприняты значительно раньше [16] введением дополнительного резистора R24=5.6 кОм в цепи 12-й ножки, но, к сожалению, другие дополнения сыграли только отрицательную роль: R23=5.6 кОм - ухудшило динамические параметры, C16=1000 пФ - введен ошибочно, т.к. ухудшает перегрузочную способность. В результате появился ошибочный вывод, что "...основной вклад в нелинейность описываемого УВ вносит выходной каскад на ИС DA3 (К 157 ХП3)".

Микросхема выпускалась различными заводами-изготовителями (автору известно 3 - Киев, Збараж, Борзна) и имеет значительные разбросы технических параметров [10]. Поднять качество ХП3 удалось только отказавшись от её применения на частотах до 1,5 кГц, т.е. сделав динамический ШП двухканальным.

Отработка принципиальной схемы производилась на 50 экземплярах, к сожалению

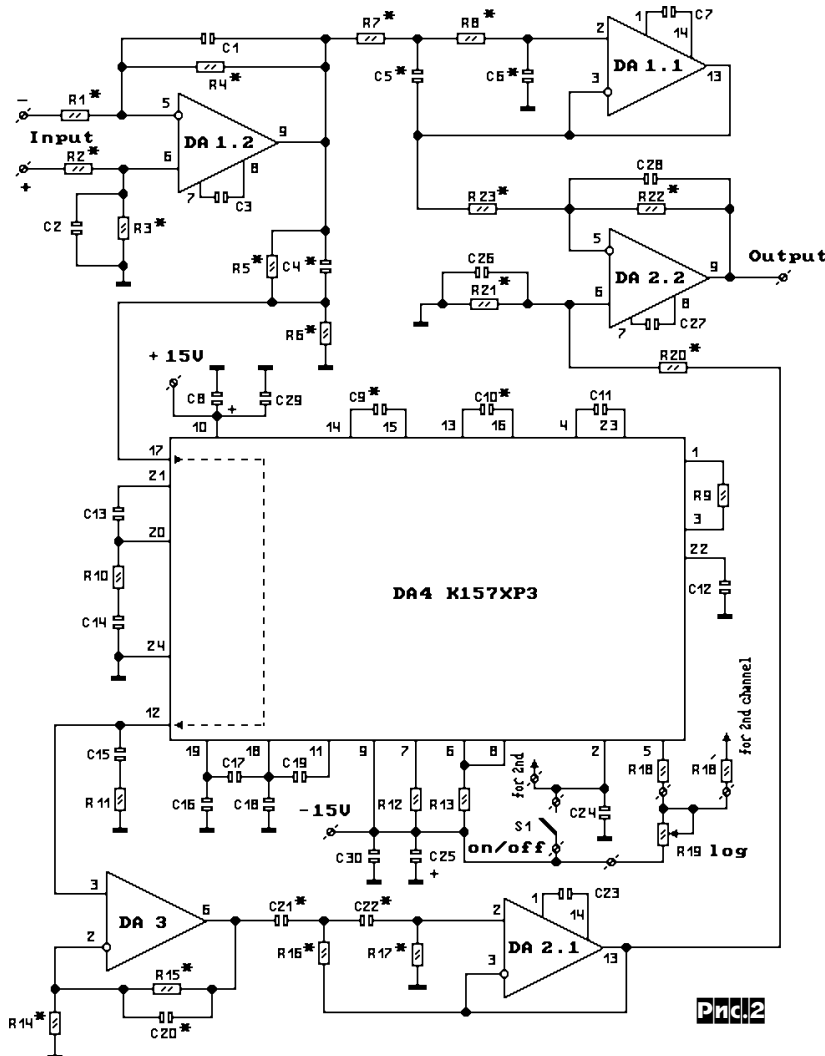


Рис.2

	DA1 & DA2	K157УД2	R14	10 к	1%	C12	0.68 мкФ	5%
DA3	K544УД1А	R15	27 к	1%	C13 & C17	750 пФ	5%	
DA4	K157ХР3	R16 & R17	27 к	1%	C14	470 пФ	5%	
R1 & R2	20 к	1%	R18	3 к	5%	C15	3.6 нФ	5%
R3 & R4	10 к	1%	R19 log	330 к	10%	C16	330 пФ	5%
R5	27 к	1%	R20 & R23	10 к	1%	C18	2.0 нФ	5%
R6	10 к	1%	R21 & R22	20 к	1%	C19	1.2 нФ	5%
R7 & R8	27 к	1%	C1 & C2	39 пФ	5%	C20 & C21 & C22 2.2 нФ	2%	
R9	390 к	5%	C3 & C7	10 пФ	5%	C23 & C27	10 пФ	5%
R10	27 к	5%	C4 & C5 & C6	2.2 нФ	2%	C24	15 нФ	5%
R11	330 Ом	5%	C8	100 мкФ	20%	C25	100 мкФ	20%
R12	39 к	5%	C9 & C10	15 нФ	2%	C26 & C28	39 пФ	5%
R13	15 к	5%	C11	360 пФ	5%	C29 & C30	0.1 мкФ	20%

только одного из заводов-изготовителей ХПЗ и повторяемость качественных параметров была доведена до 95%.

Динамические параметры ШП-СД отличаются от рекомендованных в литературе предыдущих лет: [17] 1981 год - нарастание 2 мс, спад - 100 мс; [10] 1985 год - нарастание 1 мс, спад - 100 мс. Автор выбрал время реакции

канала управления ИС на сигналы большого уровня < 1 мс, а время реакции системы на спад сигнала - 30 мс. Меры, принятые для формирования динамических параметров ШП, оказали более существенное влияние при субъективных экспертизах, чем улучшение статических параметров устройства. В необходимости выбора таких параметров убедили экспертизы выбора таких параметров убедили экспертизы

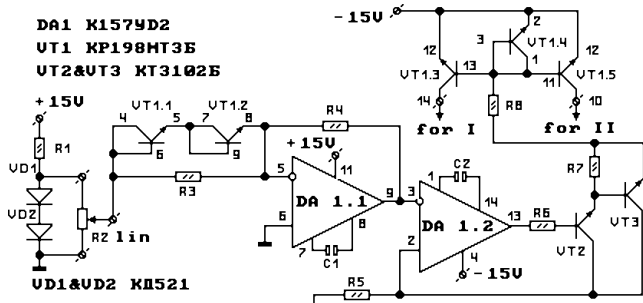


Рис.3

R1	6,2 кОм	5%
R2	4,7-47 кОм	
R3	120 кОм	5%
R4	27 кОм	5%
R5	5,6 кОм	5%
R6	27 кОм	5%
R7	4,7 кОм	5%
R8	10 кОм	5%
C1	100 пФ	5%
C2	100 пФ	5%

именты с различными современными источниками сигналов (CD, MD) и нормально настроенные КМ.

Лет этак 10 назад автор утверждал, что для качественной настройки КМ необходимо 16 часов работы и это при тогдашних заводских расценках в 2-3 часа, а сейчас для настройки "доперестроенного" КМ - 30 - 40 часов. Такова цена профессионализма. А вот вам другая цена - цена технологичности: в уже упомянутом "Technics RS-BX 747" - нет ни единого подстроечного элемента.

Указанная ниже эффективность ШП-СД (10дБД=20дБА), к сожалению, не может быть реализована на большинстве "просоветских" КМ без их существенной переделки - плохие трансформаторы, двигатели, магнитные головки, отсутствие в те времена измерительных кассет для более-менее точной установки МГ в 4-х степенях свободы, а чаще всего - слабое знание их разработчиками теории сильноточных и слаботочных цепей, порождающее системную низкочастотную помеху (МЭК А поможет закрыть глаза - но ухо не обманет). Редкое исключение - великолепная схемотехническая разработка "Орель МП101" с импортной МГ Н3331, но...с недоделанным ЛПМ (все испытанные экземпляры имели непрелендикулярность расположения оси тонвала движению магнитной пленки, что существенно влияло на совместимость записей, выполненных на разных магнитофонах).

Из-за отсутствия высококачественных измерительных лент для КМ многие заводы-изготовители ("Нота", "Маяк", "Язу") допустили очень существенный просчет на низких частотах, связанный с применением микросхемы K547КП1 в качестве коммутатора. Эта микросхема имеет частотозависимое свойство своего проходного сопротивления. В результате все перечисленные выше модели КМ имеют подъем на НЧ до плюс 6 дБ. Наиболее простой выход - уменьшить стандартную постоянную времени 3180 мс в усилителе воспроизведения до неравномерности в 3 дБ.

Подобных проблем с импортными КМ не бывает. У "них" широкополосный и пофометрические шумы различаются незначительно. С имеющимся "техником" была получена эффективность в 15 дБД (!!).

Схема ШП-СД предназначена для повторения радиолюбителями средней квалификации, имеющими в своем распоряжении хотя бы 3,5-разрядный измеритель R и C (например: "Mastech" M890F).

4. Технические параметры

Входное сопротивление 20 кОм
Сопротивление нагрузки > 600 Ом
Коэффициент передачи 1:1
Номинальное входное напряжение ... 0,5 В
Перегр. способн. для Kr < 0,3% 14 дБ
Номинальный диапазон частот от 31,5 Гц до 18 кГц
Неравномерность АЧХ на Fв < 0,5 дБ
Коэффициент гармоник в номинальном диапазоне частот

- при номинальном уровне в 0 дБ < 0,08%; *

- при уровне в -20 дБ ... < 0,12% (ШП вкл.);

- при уровне в -20 дБ .. < 0,1% (ШП выкл.).

Регулируемый порог ШП - 30 дБ (-50 дБ / -20 дБ); **

Уровень шумов широкополосный -95 дБ

Уровень собственных шумов (невзвешенный) в диапазоне 22 Гц - 22 кГц -96 дБ

Ур. собственных шумов, взвешенный по МЭК D (МЭК А) 95 дБД (-105 дБА)

Межканальное проникание 70 дБ

Эффективность шумопонижения >10 дБД (более 20 дБА);

Фазовый сдвиг между каналами на верхней частоте Fв, градусов < 5

Время реакции канала управления на сигналы большого уровня < 1 мс

* - коэффициент гармоник использованного

генератора - 0,03 - 0,05%;

** - порог подразумевает спад в -3 дБ на F = 18 кГц в реж."ШП вкл."

Для того, чтобы разобраться с причиной "призвуков" динамического фильтра Берингера, были измерены некоторые технические параметры наиболее совершенного из них - "SNR -2000":

Коэффициент гармоник в номинальном диапазоне частот:

- при номинальном уровне в 1,55 В < 0,15%
- при уровне в -20 дБ < 0,2 %
Уровень шумов широкополосный -89 дБ
Ур. шумов в диап. 22 Гц - 22 кГц -91 дБ
Ур. шумов взв. по кривой МЭК D .. -79 дБ
Ур. шумов в режиме "DYNAMIC FILTER OFF" по МЭК D -73 дБ (???)

Для сравнения здесь будет уместным привести шумовые параметры популярной бытовой минидисковой деки "SONY MDS-JE 500": Уровень шумов широкополосный -74 дБ
Уровень шумов 22 Гц - 22 кГц -101 дБ
Уровень шумов по МЭК D(A) на аналоговом входе -83 дБ (-93 дБА)
Уровень шумов по МЭК D(A) на цифровом входе -89 дБ (-99 дБА)
Уровень шумов по МЭК D в реж. "аналог-пазуза" -89 дБ

Сравнение позволяет сделать вывод о некорректности применения сдвоенного динамического фильтра "Beringer'ов" с современной цифровой звукозаписывающей аппаратурой.

5. Описание принципиальной схемы ШП-CD

Схема (рис.2) не содержит "подводных" камней. На микросхеме DA 1.2 выполнен входной дифференциальный каскад с коэффициентом передачи 2:1, позволяющий подключиться к проф. аппаратуре или аппаратуре класса "High-End" с симметричным выходом. Бытовую аппаратуру (KM, CD, MD) рекомендуется подключать к инвертирующему входу (R1), как к более быстродействующему и менее шумящему.

Цепи предкоррекции (R5, R6, C4) и элементы послекоррекции (R14, R15, C20, DA3) позволяют в полной мере реализовать возможности микросхемы K157ХП3 (DA4) по уровню входной и соответственно выходной перегрузочной способности. На самых верхних частотах этому способствует дополнительно введенный резистор R11. Выбранные элементы послекоррекции способствуют получению низкого значения посфометрического шума.

Для получения максимально плоской АЧХ в качестве разделительных используются фильтры Баттерворта.

На элементах R7, R8, C5, C6, DA 1.1 выполнен фильтр второго порядка, пропускающий исходный низкочастотный сигнал на выходной сумматор ШП-CD. Коэффициент передачи фильтра 1:1.

На элементах R16, R17, C21, C22, DA 2.1 выполнен фильтр второго порядка, пропускающий высокочастотный сигнал на выходной сумматор и устраняющий главный недостаток микросхемы K157ХП3 - мощный низкочастотный модуляционный шум. Коэффициент передачи фильтра 1:1.

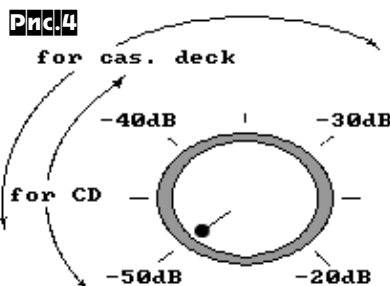
Элементы RC обеих фильтров выбраны с учётом получения максимального быстродействия фильтров и минимальной неравномерности суммарного выходного сигнала.

Использованный выходной сумматор дифференциального типа выполнен на элементах R20, R21, R22, R23, C26, C28, DA 2.2 и позволяет согласовать фазочастотные характеристики фильтров для получения минимальной неравномерности в зоне перегиба их амплитудно-частотных характеристик. Коэффициент передачи сумматора 1:2.

Остальные элементы схемы принадлежат микросхеме звукового аналогового процессора DA4, в процессе субъективных экспертиз стереофонограм разницу в 6 дБ не заметил ни один из экспертов.

статических и динамических измерений подверженные существенным изменениям по сравнению с типовой схемой включения.

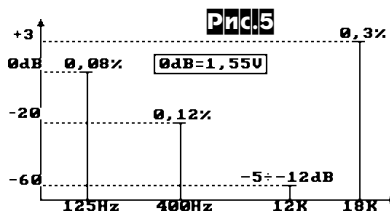
Для обеспечения плавности подстройки под конкретную фонограмму резистор **R19 обязательно должен иметь логарифмическую** или антилогарифмическую характеристику. Сопротивление регулировочного резистора не критично и может иметь величину от 300 кОм до 1 МОм. Если найти такой резистор не удается, то можно изготовить **эмиттерный антилогарифмический резистор** по схеме на рис.3. При этом сопротивление регулировоч-



ного резистора R2 с функциональной линейной зависимостью типа А можно выбирать в пределах от 5 кОм до 47 кОм, и это не отразится на линейности регулирования. Эмулятор позволит увеличить разделение между стереоканалами (см. п.14) с -70 дБ до -76 дБ и уменьшить завал АЧХ на верхней частоте звукового диапазона при выбранном положении порога на 1 - 2 дБ (см.п.10 тех. параметров ШП-CD).

Практическая эксплуатация изготовленных экземпляров ШП-CD показала, что на практике выполняется подстройка приходится не столь часто, но наличие регулятора является обязательным.

Эмулятор содержит источник опорного напряжения на элементах R1, VD1, VD2, антило-



гарифмический преобразователь на DA1.1, VT1, VT1.2, генератор вытекающего тока на DA1.2, VT2, VT3, токовое зеркало на VT1.3, VT1.4, VT1.5. Максимальный ток (в диапазоне 0,5 - 200 мА) выставляется с помощью резистора R5, линейность регулировки можно подобрать с помощью R3. Градуировка регулятора изображена на рис.4.

6. Детали и настройка ШП-CD

Практикой установлено, что наилучшие комплектующие в "союзе" производились между 1985 - 1990 годами. Для достижения высоких технических параметров необходимо соблюдать указанные допуски на R и C, либо их подбором, либо применением пресцизионных компонентов. При проверке технических параметров полезной может быть изображенная на рис.5 диаграмма наибольших нелинейных искажений для выбранного уровня сигнала и частоты, на которой искажения принимают максимальное значение. Проверку аналогового процессора K157ХП3 лучше всего производить при уровне входного сигнала в -60 дБ на частоте 12,5 кГц по величине завала в режиме "ШП вкл.", хотя при проведении субъективных экспертиз стереофонограм разницу в 6 дБ не заметил ни один из экспертов.

7. Заключение

Эксплуатация ШП-CD в домашних условиях в составе с усилителем высокой верности Н.Е.Сухова [1] (наконец-то признанный, как принадлежащий не только по параметрам, но и «по звуку» к усилителям класса High End) и акустическими системами "Эстония 35АС-021" без темброблока показала, что значительно улучшилось качество работы источников звука-CD и MD. КМ (без САДП) с магнитными лентами типа "МЕТАЛ" с ШП-CD ни в чем не уступал цифровым "соседям", на "хроме" - ощущалась компрессия на высоких частотах. Принудительный перевод в режим "нормаль" частично исправил ситуацию, но увеличил шум пауз и незначительно подчеркнул голосовые средние частоты. На пленке типа1 "нормаль" при совместной работе с ШП-CD полностью исчез высокочастотный шум, а нарушение звукового баланса ощущалось только при положении ручки подстройки со значениями в "-30 дБ" (для КМ с выходным уровнем в 0,5 вольт это соответствует значению порога в -20 дБ). Величина высокочастотной компрессии стала ещё более выраженной. В паузах стал более заметен необрабатываемый и "неподавляемый" шум в области средних частот - рокот, шуршание, грохот" [18].

КМ без САДП, даже если они оснащены Dolby S, за очень редким и очень дорогим исключением оснащены ЛПМ с невысокой стабильностью временных параметров, износостойкостью МГ требует ежегодной проверки и подстройки параметров. Значительная неравномерность АЧХ, разношерстость "долби" затрудняет обмен, несовершенство и низкая эффективность "HX PRO" не позволяют реальному кассетнику без САДП претендовать на роль "High-End'a".

ШП-CD при работе с CD и MD и низким установленным порогом в "-50 дБ" не нарушает исходной фонограммы, но благодаря форсированным динамическим параметрам, отличным статическим параметрам помогает встроенным фильтрам цифро-аналоговых преобразователей избавиться от побочных продуктов цифрового преобразования.

Литература

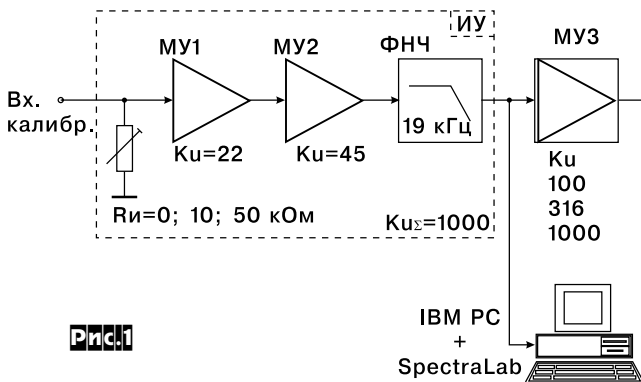
- [1] "УМЗЧ высокой верности" Ж. "Радио" №6, 1989, стр. 55, Н.Сухов
- [2] "Измерения в аппаратуре записи и воспроизведения звука кинофильмов". М., "Искусство" 1985, стр. 186, Ю.М.Ишуткин, В.В.Раковский
- [3] Рекламный проспект фирмы "Beringer", 1997 "Добро пожаловать в интерактивный мир Берингера!"
- [4] "Hi-Fi правила и High-End сказки" Ж. "Радиохобби" №2, 1998, стр. 18, Н.Е.Сухов
- [5] "Атлас аудиокассет от AGFA до YASHIM" МП "СЭА", "РадиоАматор", 1994, стр. 234, Н.Е.Сухов
- [6] "Методика измерений звуковых сигналов и шумов" Ж. "Радио" №10, 1998, стр. 38, С.Агеев
- [7] "Сенсация" Ж. "РадиоАматор" №2, 1997, стр. 27, С.Нездиминога
- [8] "Три головки, два тоннела, один..." Ж. "Stereo & Video" №1, 1997, стр. 74, А.Грудинин
- [9] "На одном пишем, второй в уме" Ж. "Stereo & Video" №5, 1997, стр. 57, А.Грудинин
- [10] "Все о микросхеме K157ХП3" Ж. "Радио" №11, 1985, стр. 33, В.Андианов и др.
- [11] "Двухполосный динамический шумопонижющий фильтр" Ж. "РадиоАматор" №11-12, 1998, стр. 11, П.А.Борщ, В.Ю.Семенов
- [12] "Усилитель воспроизведения" Ж. "Радиолюбитель" №8, 1994, стр. 20, А.Петров
- [13] "Доработка шумоподавителя на ХПЗ" Ж. "Радио" №5, 1998, стр. 19, Д.Цепаев
- [14] "Улучшение параметров шумоподавителя на ИС K157ХП3" Ж. "Радио" №12, 1987, стр. 48, В.Тарасов
- [15] "Система шумопонижения "Маяк" с оптимизированным порогом шумопонижения" Ж. "РадиоАматор" №2, 1994, стр. 5, В.Н.Полищук
- [16] "Усилитель воспроизведения" Ж. "Радио" №6, 1987, стр. 30, Н.Сухов
- [17] "Частотно-избирательный шумоподавитель" Ж. "Техника кино и телевидения" №8, 1981, стр. 56, В.В.Демяненко, Р.М.Шумелов
- [18] "Dolby B, Dolby C, Dolby S, ...dbx?" Ж. "Радиохобби" №2, 1999, стр. 42, Н.Сухов

Шумовые параметры операционных усилителей

П.Борщ, В.Семенов, г.Киев

Более 35 лет прошло с момента выпуска фирмой Fairchild в 1964 г. первого серийного операционного усилителя (ОУ) μA702. За это время область первоначального применения операционных усилителей в аналоговых вычислительных машинах (АВМ) расширилась до практически всех направлений в радиотехнике. Причем использование ОУ обеспечивает почти идеальную повторяемость характеристик как серийных промышленных, так и радиолюбительских конструкций.

При разработке звукотехники, устройств автоматики, а также прецизионных измерительных и высокочувствительных регистрирующих устройств, кроме основных характеристик, часто необходимо знать шумовые параметры ОУ.



Для корректного расчета шумовых характеристик усилительных узлов нужно учитывать не только значение ЭДС шума, приведенной ко входу в рабочем диапазоне частот, но и шумового тока. В популярной справочной литературе, да и в ТУ, как правило, шумовые характеристики ОУ представлены недостаточно полно. Так в [1], [8] для некоторых типов ИС указано напряжение шума (среднеквадратичное значение), приведенное ко входу, при сопротивлении источника сигнала R_i=0 в полосе частот 0,1-10 Гц (или 20–20000 Гц) и/или нормированная спектральная плотность напряжения шума на частоте f_o со сопряжениями низкочастотных шумов типа 1/f с горизонтальным участком спектра шумов, расположенным выше f_o (f_o-20000 Гц). Параметры шумового тока отсутствуют полностью.

В [4], [5] приведены спектральные плотности как шумового напряжения, так и шумового тока, но лишь для ограниченного количества типов ОУ.

Для определения шумовых параметров ОУ в соответствии с теоретическими положениями, изложенными в [2, 3, 5, 6, 7], был изготовлен измерительный стенд по структурной схеме **рис. 1**. Испытываемый ОУ включается по схеме неинвертирующего усилителя (МУ1) с Ku=22 (**рис. 2**), при этом малосигнальная полоса пропускания более 20 кГц обеспечивается с запасом для любого типа ОУ, независимо от его частотных характеристик. Эквивалентное сопротивление, приведенное к инвертирующему входу, составляет менее 20 Ом, что позволяет пренебречь шумами резисторов ООС, а также протекающим по ним шумовым током ОУ. При необходимости подключаются цепи частотной коррекции, соответствующие конкретному типу ИС. К входу усилителя с помощью перемычек могут поочередно подключаться резисторы (C2-14, ± 0,1%) 50 кОм, 10 кОм, образующие R_i, или общий провод (R_i=0). Для исключения контактных шумов ОУ подключаются только пайкой. После первого включен второй масштабный усилитель (МУ2) на ИС K157УД4 с Ku=45,5. Его вклад в суммарное напряжение шумов обоих усилителей, приведенный ко входу первого, составляет менее 0,08 мВ (среднеквадратичное значение в полосе 20 кГц), а т.к. шумы суммируются в квадратуре, то в этом случае мож-

но измерять шумовые напряжения, приведенные ко входу, величиной от 0,25 мВ и с погрешностью менее 5%.

На выходе измерительного усилителя (ИУ) включен ФНЧ 3-го порядка с f_{cpr}=19 кГц и эквивалентной полосой пропускания равной Δf=1,05f_{cpr}=20 кГц для шумового сигнала по сравнению с "идеальным прямоугольным" ФНЧ ([5], т. 1, с.485). Шумовой вклад ФНЧ ничтожен и его можно не учитывать. Общий коэффициент усиления измерительного усилителя Ku=1000 калибруется на частоте 1 кГц при подаче на вход сигнала величиной 1 мВ от прецизионного делителя напряжения с R_{вых}<1 Ом, подключенному к выходу ГЗЧ. Для удобства измерений сигнал на среднеквадратичный измеритель (СКВ) и измеритель среднего уровня по кривой "А" МЭК подается

через дополнительный масштабный усилитель (МУ3) с переключаемыми Ku=100, 316, 1000. Схемы СКВ-преобразователя, МУ3 и взвешивающего фильтра "А" заимствованы из [2], в качестве измерителя среднего уровня использовался миливольтметр В3-38 на пределе 1 В. Нижняя граничная частота СКВ-измерителя по уровню -3 дБ равна 5 Гц, ИУ – 0,1 Гц.

Для уменьшения помех и наводок измерительный усилитель заключен в электрический экран из фольгированного стеклотекстолита со съемной крышкой, питание ИУ осуществлялось от аккумуляторной батареи напряжением 2x12,6 В ±5%. Для определения спектра шумов использовался ПК PC AT с процессором Pentium 233MMX, 16 Mb оперативной памяти со звуковой картой CREATIVE SoundBlaster 16 и программой SpectraLAB, установленной с CD "Радиохобби-99".

Измерения напряжения шумов проводились при R_i=0, 10 кОм, 50 кОм, полученные значения пересчитывались ко входу испытуемого ОУ с учетом коэффициента усиления ИУ и МУ3. **Результаты измерений** приведены в **табл. 1**, а **спектрограммы – на рисунках** без нумерации, расположенных с целью экономии места непосредственно в тексте краткого описания того или иного ОУ (см. **стр. 60-62**). Условия измерений (R_i=0, 10 кОм, 50 кОм) и тип ОУ указаны непосредственно на спектрограммах, причем масштаб по оси амплитуд и частот на всех рисунках один и тот же.

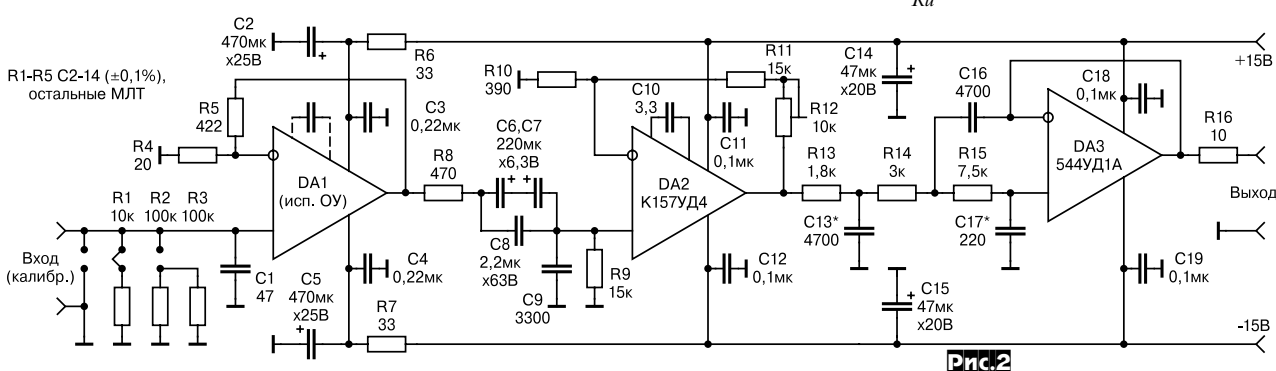
Поскольку частоты сопряжения фликер-шумов f_o большинства ОУ расположены ниже 1 кГц, спектральную плотность ЭДС шумов с приемлемой погрешностью можно рассчитать, используя значение ЭДС **Ш.о**, измеренное по кривой "А" при **R_i=0**:

$$U_{ш.о}[B / \sqrt{\Gamma_4}] = \frac{U_{ш.о}("A")}{\sqrt{\Delta f_{экв}}} , \quad [1]$$

где $\Delta f_{экв}$ – эквивалентная полоса пропускания фильтра "А" для "белого" шума ($\Delta f_{экв} \approx 10$ кГц). Или, для определения **Ш.о** в [нВ/√Гц] нужно значение **Ш.о ("A")** в [мкВ] в 3-м столбце **табл. 1** умножить на 10. Измерение параметров шумового тока затруднительно даже при использовании R_i=50 кОм из-за погрешности, вызванной остаточным напряжением паразитных электромагнитных полей, поэтому расчет спектральной плотности шумового тока не производился, а было вычислено его среднеквадратичное значение в полосе частот 5-20000 Гц. Поскольку

$$U_{ш.о} = \sqrt{U^2_{ш.о} + (I_{ш.о} \cdot R_u)^2 + 4kTRu\Delta f} \quad [2]$$

$$I_{ш.о} = \frac{\sqrt{U^2_{ш.о} - (U^2_{ш.о} + 4kTRu\Delta f)}}{R_u} , \quad [3]$$



ИЗМЕРЕНИЯ

Таблица 1 (окончание)

Тип ОУ	Iш, мкВ		Uш, мкВ			Iш, нА	
	Rи = 0		Rи = 10 кОм		Rи = 50 кОм		
	СК3	"A"	СК3	"A"	СК3	"A"	
140УД8А	7,8	4,1	7,8	4,1	8,6	4,6	-
544УД1А ОСМ	2,1	1,2	2,8	1,7	4,4	2,4	-
	1,8	0,9	2,7	1,45	4,2	2,3	
	2,5	1,1	2,9	1,8	4,5	2,4	
	2,1	1,15	2,8	1,8	4,4	2,4	
	2,0	1,0	2,8	1,8	4,4	2,3	
KP544УД1А	2,0	1,1	2,6	1,65	4,4	2,4	-
	1,7	0,9	2,3	1,4	4,1	2,3	
	2,1	0,9	2,25	1,35	4,5	2,4	
	2,95	1,7	3,0	1,8	4,6	2,4	
	2,3	1,3	2,6	1,6	4,4	2,3	
544УД2А	3,8	2,0	4,2	2,2	5,3	2,8	-
	4,4	2,3	4,2	2,4	5,8	3,3	
	4,5	2,3	4,8	2,4	5,7	3,3	
	3,8	2,1	4,0	2,2	5,2	3,1	
	4,0	2,2	4,2	2,3	5,6	3,2	
KP544УД2А	5,0	2,7	5,4	2,8	6,5	3,5	-
	3,8	2,0	5,0	2,4	5,4	3,2	
KP574УД1Б	2,7	1,4	3,2	1,65	5,2	2,7	-
	3,1	1,65	3,8	1,9	5,4	2,8	
K574УД2Б	6,0	3,3	6,4	3,6	7,4	4,0	-
	4,6	2,4	5,1	2,8	6,2	3,3	
LF355N	2,15	1,25	2,7	1,5	4,5	2,4	-
	2,5	1,5	2,75	1,55	4,7	2,5	
	2,2	1,28	2,8	1,65	4,6	2,4	
	2,6	1,6	3,0	1,8	4,8	2,6	

где

$Iш$ – эффективное среднеквадратичное значение шумового тока;
 $Uш$ – суммарное напряжение шумов, приведенное ко входу при $Rи = 50$ кОм (5-й столбец табл.1);

$Uш.о$ – ЭДС шумов, приведенная ко входу при $Rи = 0$ (2-й столбец табл.1);

$Rи = 50$ кОм;

$\Delta f = 5\text{-}20000$ Гц;

k – постоянная Больцмана;

T – абсолютная температура.

Ввиду ничтожного значения $Iш$ в ОУ с полевым входом, расчет проводился только для ОУ с биполярным входным каскадом.

Авторы не претендуют на полную охвату разновидностей ОУ и высокую точность полученных результатов из-за ограниченного числа исследованных типов ИС и количества ОУ в пределах одного типа, а также погрешностей калибровки и присутствия остаточного напряжения помех, однако полученные шумовые параметры могут обеспечить сравнительный анализ и обоснованный выбор типа ИС для конкретного применения.

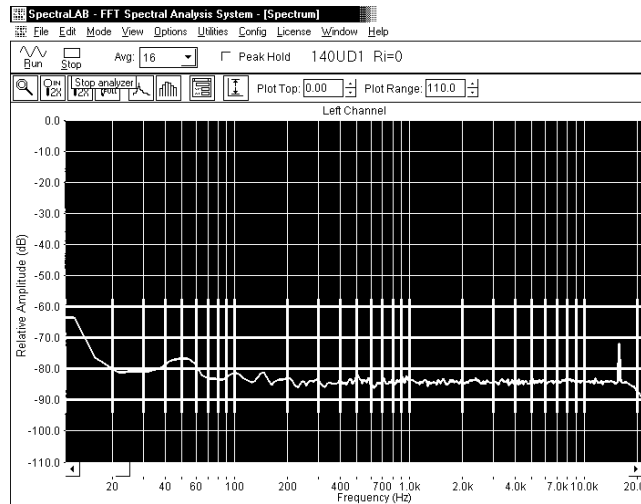
Следует отметить, что в данной работе количественные параметры были определены традиционным способом с помощью специализированных измерителей, а программа SpectraLAB использовалась лишь как индикатор спектра. Но это не значит, что программой нельзя пользоваться при звукотехнических измерениях. SpectraLAB является мощным инструментом исследования параметров как шумовых, так и стационарных звуковых сигналов [9], поэтому при необходимости разработчики могут использовать её в более полном объеме для количественных и качественных характеристик шумов.

Краткий анализ шумовых параметров различных типов ОУ с биполярным входом

140УД1 (приблизительный аналог $\mu A702$)

$Eш = 3\text{,}5$ нВ/ $\sqrt{\text{Гц}}$; $Iш = 0\text{,}15\text{--}0\text{,}26$ нА ($\Delta f = 20$ Гц)

Первый отечественный монолитный ОУ. При малой величине $Rи$



имеет небольшой уровень напряжения шумов, приведенных ко входу, уступая по этому параметру лишь 140УД25, 26. Например, микрофонный усилитель с эквивалентными сопротивлениями, приведенными к обоим входам, по 250 Ом, на 140УД1 будет иметь выигрыш по шумам на 6-10 дБ по сравнению с усилителем на 157УД2/4, включенным по той же схеме. Однако большой шумовой ток сводит на нет его преимущества при $Rи > 10$ кОм. 140УД1 – единственный из приведенных в данной статье с выходным буфером, работающим в классе А, что в сочетании с широкополосностью делает его привлекательным для некоторых применений, в частности аудиофильских. В последние годы незаслуженно "забыт" разработчиками из-за его относительной "древности" и нежелания возиться с цепями частотной коррекции.

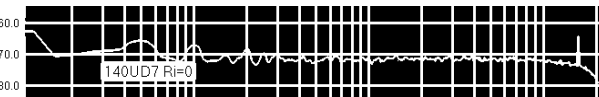
140УД6, KP140УД608 (полный аналог MC1456)



$Eш = 15\text{--}18$ нВ/ $\sqrt{\text{Гц}}$; $Iш = 0,01\text{--}0,02$ нА

По ЭДС шумов имеет хорошие характеристики, небольшая величина $Iш$ позволяет работать с большими $Rи < 100$ кОм, практически не внося собственных шумов.

140УД7, KP140УД708 (полный аналог $\mu A741$)



$Eш = 12\text{--}13$ нВ/ $\sqrt{\text{Гц}}$; $Iш = 0,02\text{--}0,025$ нА

Имеет хороший уровень ЭДС шумов, особенно в области самых низких частот, что обеспечивается специальной технологией изготовления, величина $Iш$ позволяет оптимально применять ОУ с $Rи$ до 50 кОм.

140УД11 (полный аналог LM118)



$Eш = 12\text{--}30$ нВ/ $\sqrt{\text{Гц}}$; $Iш = 0,05$ нА

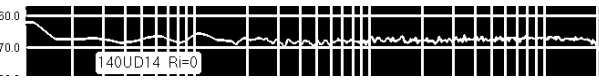
Имеет большой разброс величины ЭДС шумов, величина $Iш$ позволяет оптимально работать с $Rи < 10$ кОм. Приемлемые шумовые параметры для скоростного ОУ ($\rho = +50\text{--}20$ В/мкс).

K140УД12, KP140УД1208 (полный аналог $\mu A776$)

$Eш = 15\text{--}18$ нВ/ $\sqrt{\text{Гц}}$; $Iш = 0,01\text{--}0,02$ нА

По ЭДС шума – хорошие характеристики, при увеличении тока управления значение спектральной плотности $Eш$ уменьшается в средневысокочастотной области звукового диапазона, в области НЧ – увеличивается. Величина $Iш$ позволяет оптимально работать с $Rи < 100$ кОм во всем диапазоне изменения тока управления. Однако из-за зависимости тока покоя выходного буфера, работающего в классе АВ, от тока управления, для достижения приемлемого коэффициента гармоник рекомендуется использование ОУ при токе управления не менее 15 мкА.

K140УД14, KP140УД1408 (полный аналог LM108, LM308)

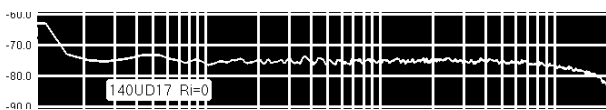


ИЗМЕРЕНИЯ

$E_{sh} = 15-25 \text{ нВ}/\sqrt{\text{Гц}}$; $I_{sh} = 0,01 \text{ нА}$

Уровень ЭДС шумов – несколько хуже среднего, однако очень малое значение I_{sh} позволяет оптимально использовать ОУ с $R_i < 1 \text{ кОм}$, почти наравне с ОУ с полевыми структурами на входе.

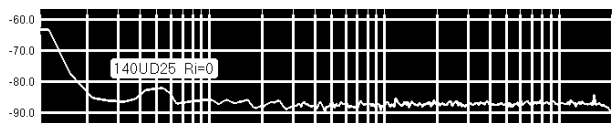
К140УД17 (полный аналог ОР-07)



$E_{sh} = 7-8 \text{ нВ}/\sqrt{\text{Гц}}$; $I_{sh} = 0,02 \text{ нА}$

Первый малошумящий прецизионный отечественный ОУ с хорошими шумовыми характеристиками во всей полосе звуковых частот, позволяет оптимально работать с $R_i < 50 \text{ кОм}$, но низкое быстродействие ($\rho = 0,3 \text{ В}/\mu\text{s}$) и наличие полной внутренней частотной коррекции ограничивают применение в усилительных устройствах.

140УД25 (полный аналог ОР-27)



$E_{sh} = 2,2 \text{ нВ}/\sqrt{\text{Гц}}$; $I_{sh} = 0,08-0,12 \text{ нА}$

Отличное значение ЭДС шума получено ценой увеличения I_{sh} , при этом оптимальное использование ОУ достигается при $R_i < 10 \text{ кОм}$, хорошие скоростные свойства ($\rho = 2,5 \text{ В}/\mu\text{s}$) позволяют широко применять этот ОУ в звукотехнической аппаратуре.

140УД26 (полный аналог ОР-37)

$E_{sh} = 2,2-2,5 \text{ нВ}/\sqrt{\text{Гц}}$; $I_{sh} = 0,08-0,15 \text{ нА}$

Шумовые характеристики аналогичны 140УД25, $\rho = 20 \text{ В}/\mu\text{s}$, частотно скорректирован для $K_U > 5$ – наилучший прецизионный ОУ бывшего СССР.

153УД2 (полный аналог LM-101)



$E_{sh} = 13-15 \text{ нВ}/\sqrt{\text{Гц}}$; $I_{sh} = 0,05 \text{ нА}$

Ближайший родственник 140УД7, но с внешней коррекцией АЧХ, имеет максимальную гибкость применения в различных узлах, величина I_{sh} позволяет оптимально работать с $R_i < 30 \text{ кОм}$.

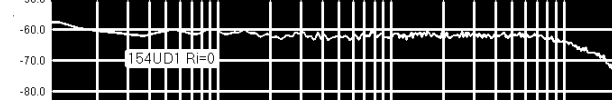
153УД6 (полный аналог LM-101A)



$E_{sh} = 14-15 \text{ нВ}/\sqrt{\text{Гц}}$; $I_{sh} = 0,03 \text{ нА}$

Характеристики аналогичны 153УД2, может оптимально работать с $R_i < 50 \text{ кОм}$.

154УД1 (полный аналог НА2700)



$E_{sh} = 36 \text{ нВ}/\sqrt{\text{Гц}}$; $I_{sh} = 0,01 \text{ нА}$

Шумовые характеристики хуже среднего уровня ОУ – 140УД7, 153УД2 и аналогичных, но это простительно для микромощного скоростного ОУ ($I_{optr} = 120 \text{ мкА}$; $\rho = 10 \text{ В}/\mu\text{s}$).

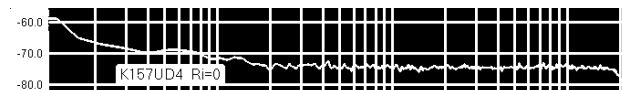
К157УД2 (зарубежного аналога не имеет)

$E_{sh} = 8-9 \text{ нВ}/\sqrt{\text{Гц}}$; $I_{sh} = 0,07-0,1 \text{ нА}$

Первый отечественный ОУ, специально разработанный для применения в высококачественных усилительных устройствах с нормированным напряжением шумов, приведенных ко входу $I_{sh}=1,6 \text{ мкВ}$ при $R_i=600 \text{ Ом}$ в полосе частот 20-20000 Гц. Имеет внешнюю частотную коррекцию и высокую гибкость применения. В одном корпусе ИС содержится 2 ОУ. По величине ЭДС шумов приближается к прецизионному 140УД17, позволяет оптимально работать с $R_i < 10 \text{ кОм}$. Отсутствие внешней коррекции ($C_k=0$) имеет высокое быстродействие ($\rho = +20/-15 \text{ В}/\mu\text{s}$) и типовое значение $K_U=46 \text{ дБ}$ (!) на частоте 1 МГц. В качестве выходного буфера использован т.н. "параллельный усилитель", позволяющий получить минимальный коэффициент гармоник (такое же

схемное решение применено фирмой Analog Devices Inc. в одной из последних разработок – высококачественным малошумящем ОУ AD797).

К157УД4 (аналог К157УД2)



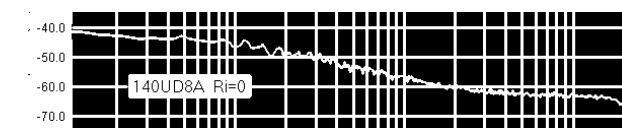
$E_{sh} = 8-9 \text{ нВ}/\sqrt{\text{Гц}}$; $I_{sh} = 0,03 \text{ нА}$

Одноканальный вариант К157УД2 с уменьшенным значением шумового тока, что позволяет оптимально использовать ОУ с $R_i < 50 \text{ кОм}$, имеет максимальную гибкость применения. По совокупности различных параметров все одиночные и сдвоенные ОУ в ИС К157УД2-К157УД8 являются одними из лучших биполярных ОУ для применения в узлах усиления звукового сигнала.

ОУ с полевым входом

По ЭДС шумов, приведенных ко входу, ОУ с полевым входом в общем случае несколько уступают биполярным, но ничтожная величина I_{sh} позволяет получить лучшие результаты при работе с источниками сигналов сопротивлением более 50-100 кОм, по сравнению с биполярными ОУ.

140УД8 (полный аналог μA740)



$E_{sh} = 15-42 \text{ нВ}/\sqrt{\text{Гц}}$

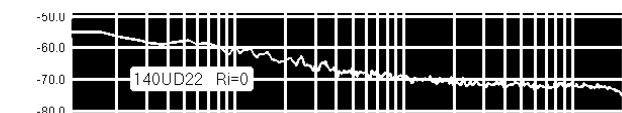
Первый отечественный ОУ с полевым диффаксадом и лучшими статическими параметрами, чем у зарубежного аналога, имеет большой разброс значения ЭДС шумов, но хорошее быстродействие ($\rho = 5 \text{ В}/\mu\text{s}$) позволяет широко применять его в различных усилительных узлах.

КР140УД18 (полный аналог LF355)

$E_{sh} = 11-14 \text{ нВ}/\sqrt{\text{Гц}}$

Малошумящий ОУ, хорошее быстродействие ($\rho = 2 \text{ В}/\mu\text{s}$), универсальное применение.

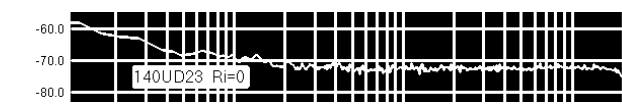
140УД22 (полный аналог LF 156)



$E_{sh} = 9-12 \text{ нВ}/\sqrt{\text{Гц}}$

По шумовым параметрам несколько опережает КР140УД18

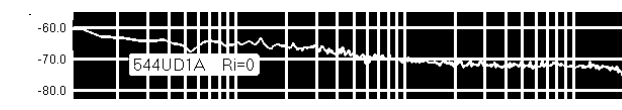
140УД23 (полный аналог LF 157)



$E_{sh} = 10-12 \text{ нВ}/\sqrt{\text{Гц}}$

Малошумящий скоростной ОУ ($\rho = 30 \text{ В}/\mu\text{s}$), частично скорректирован для $K_U > 5$, подключение внешней коррекции не предусмотрено, по совокупности параметров – один из лучших для усиления звукового сигнала.

544УД1 (приблизительный аналог μA740)



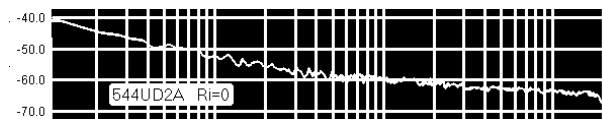
$E_{sh} = 9-13 \text{ нВ}/\sqrt{\text{Гц}}$

Первый отечественный малошумящий ОУ с полевым входом и нормированным напряжением шумов в диапазоне инфразвуковых частот 0,1-10 Гц (3 мкВ с индексом А и 5 мкВ – для Б), в области звуковых частот также имеет хорошие шумовые характеристики, по совокупности параметров лучше, чем более поздняя разработка – 140УД18, имеет широкое применение.

544УД2 (приблизительный аналог CA3130)

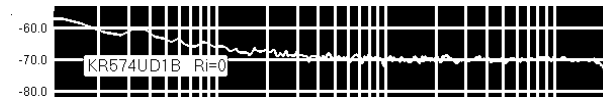
$E_{sh} = 20-27 \text{ нВ}/\sqrt{\text{Гц}}$

ИЗМЕРЕНИЯ



Удовлетворительные шумовые параметры при высоком быстродействии ($\rho = 20 \text{ В}/\mu\text{s}$), позволяет использовать внутреннюю и внешнюю частотную коррекцию, высокая гибкость применения, широко используется в различных усилительных узлах.

574УД1 (полный аналог AD513)



$$E_{sh} = 14-17 \text{ нВ}/\sqrt{\text{Гц}}$$

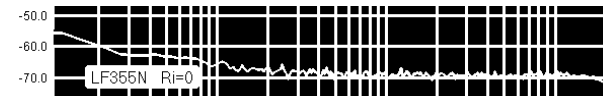
Хорошие шумовые параметры при высоком быстродействии ($\rho = 50-90 \text{ В}/\mu\text{s}$), имеет внешнюю частотную коррекцию, большую гибкость применения, лучший скоростной ОУ с полевым входом для усиления звукового сигнала.

574УД2 (полный аналог TL083)

$$E_{sh} = 24-33 \text{ нВ}/\sqrt{\text{Гц}}$$

Шумовые параметры хуже среднего уровня ОУ, скоростной ($\rho = 5-15 \text{ В}/\mu\text{s}$), в одном корпусе содержит 2 ОУ, может использоваться в различных узлах РЭА.

LF355N (прототип для KP140УД18)



$$E_{sh} = 12-15 \text{ нВ}/\sqrt{\text{Гц}}$$

Характеристики аналогичны KP140УД18, имеет малый разброс шумовых параметров.

При необходимости приближенное среднеквадратичное значение спектральной плотности шумового тока можно вычислить по формуле:

$$I_{uu} = \frac{I_{sh}}{\sqrt{\Delta f_{ЭКВ}}} , \quad [4]$$

используя вычисленное значение I_{sh} в полосе частот 5-20000 Гц (для этого величину I_{sh} нужно поделить на $\sqrt{20000} \approx 140$).

В заключение приводим шумовые характеристики двух малошумящих ОУ зарубежного производства.

NE5534

$E_{sh} = 4 \text{ нВ}/\sqrt{\text{Гц}}$ на частоте $f = 1 \text{ кГц}$;
 $E_{sh} = 10 \text{ нВ}/\sqrt{\text{Гц}}$ на частоте $f = 10 \text{ Гц}$;
 $I_{sh} = 0,6 \text{ пА}/\sqrt{\text{Гц}}$ на частоте $f = 1 \text{ кГц}$;
 $I_{sh} = 8 \text{ пА}/\sqrt{\text{Гц}}$ на частоте $f = 10 \text{ Гц}$.

Среднеквадратичное значение напряжения шумов, приведенное ко входу, в полосе частот 10-20000 Гц:

$I_{sh,o} = 0,6 \text{ мкВ}$, при $R_i = 0$;
 $I_{sh} = 2,0 \text{ мкВ}$, при $R_i = 10 \text{ кОм}$;
 $I_{sh} = 7,0 \text{ мкВ}$, при $R_i = 50 \text{ кОм}$;

Среднеквадратичное значение шумового тока в полосе частот 10-20000 Гц: $I_{sh} = 0,1 \text{ нА}$

"Ветеран" зарубежной Hi-Fi техники, используется в усилительных устройствах более 20 лет. Имеет высокое быстродействие ($\rho = 13 \text{ В}/\mu\text{s}$), частично скорректирован и имеется возможность подключения внешней цепи частотной коррекции. В одном корпусе содержит один ОУ, сдвоенный вариант – NE5532. Рекомендуется применять при $R_i < 10 \text{ кОм}$.

AD797

$E_{sh} = 0,9-1,2 \text{ нВ}/\sqrt{\text{Гц}}$ на частоте $f = 1 \text{ кГц}$;
 $E_{sh} = 1,7-2,5 \text{ нВ}/\sqrt{\text{Гц}}$ на частоте $f = 10 \text{ Гц}$;
 $I_{sh} = 2,0 \text{ пА}/\sqrt{\text{Гц}}$ на частоте $f = 1 \text{ кГц}$

Среднеквадратичное значение напряжения шумов, приведенное ко входу, в полосе частот 10-20000 Гц:

$I_{sh,o} = 0,14 \text{ мкВ}$, при $R_i = 0$;
 $I_{sh} = 1,2 \text{ мкВ}$, при $R_i = 1 \text{ кОм}$;
 $I_{sh} = 7,0 \text{ мкВ}$, при $R_i = 10 \text{ кОм}$;

Среднеквадратичное значение шумового тока, в полосе частот 10-20000 Гц: $I_{sh} = 0,3 \text{ нА}$

Одна из последних разработок ANALOG DEVICES, отличное значение ЭДС шумов при довольно высоком значении шумового тока, максимальный выигрыш по шумам от применения данного ОУ достигается при $R_i < 1 \text{ кОм}$.

Имеет большое быстродействие ($\rho = 20 \text{ В}/\mu\text{s}$) и мизерный коэффициент гармонических искажений: $Kr = 0,0003\%$ (-110 дБ), при $Ku = +10$; $U_{vых} = 1 \text{ В}$; $R_h = 600 \Omega$; $f = 10 \text{ кГц}$.

Литература

1. Аналоговые интегральные микросхемы: Справочник / Б. Кудряшов и др. -М.: Радио и связь, 1981.- 160 с.
2. Н. Сухов, Среднеквадратичный милливольтметр. Радио №11, 1981, с. 53-55.
3. Н. Сухов, Как улучшить параметры магнитофона (шумы). Радио №4, 1982, с.42-45.
4. Горшков Б.И. Радиоэлектронные устройства : Справочник. - М.: Радио и связь, 1984.- 400 с.
5. Хоровиц П., Хилл У. Искусство схемотехники: В 2-х т. Т.1., Т.2. Пер. с англ.-Изд.2-е, стереотип.-М.: Мир, 1984.
6. Техника высококачественного звуковоспроизведения / Н.Е.Сухов, С.Д. Бать и др. - К.: Техника, 1985. - 160 с.
7. П.Шкрайтек. Справочное руководство по звуковой схемотехнике: Пер. с немецкого. -М.: Мир , 1991. - 432 с.
8. Интегральные микросхемы : Операционные усилители. Обзор -М.:ДОДЭКА, 1994, 48 с.
9. Е.Музыченко, Программные анализаторы спектра , РАДИОхобби №6, 1998, с.32-34. №1, 1999, с. 38, 39.

HIGH PERFORMANCE AUDIO OP-AMP QUICK REFERENCE

PART NUMBER	TYPE	$R_o=En/In$	$En@1\text{kHz}$	$In@1\text{kHz}$	GBW	SR	V_{offset}	I_{bias}	MFG.	APPLICATIONS
JT-990C	BIPOLAR MODULE	1100	0.8nV	1pA	50MHz	18V/us	25uV	2.2uA	JENSEN	LOW Z SOURCES MIC PREAMPS
AD797BN	BIP/S	450	0.9nV	2pA	110MHz	18V/us	10uV	500nA	AD	
RC5532AN	BIP/D	7.1k	5.0nV	0.7pA	10MHz	8V/us	500uV	200nA	RAY	G.P. AUDIO
RC5534AN	BIP/S	8.75k	3.5nV	0.4pA	10MHz	13V/us	500uV	400nA	RAY	G.P. AUDIO
MC33078P	BIP/D	9.0k	4.5nV	0.5pA	9MHz	7V/us	150uV	300nA	MOT	G.P. AUDIO
MC33079P	BIP/Q	9.0k	4.5nV	0.5pA	9MHz	7V/us	150uV	300nA	MOT	G.P. AUDIO
AD845BN	FET/S	250k	25nV	100fA	16MHz	100V/us	100uV	500pA	AD	
AD743KN	FET/S	450k	3.2nV	6.9fA	4.5MHz	2.8V/us	100uV	150pA	AD	INDUCTIVE SOURCES GUITAR PREAMPS
AD745KN	FET/S	450k	3.2nV	6.9fA	20MHz	12.5V/us	100uV	150pA	AD	DECOMPENSATED AD743 GAINS >+5 or -4
OPA627BP	FET/S	3.25M	5.2nV	1.6fA	16MHz	550V/us	100uV	1pA	BB	INDUCTIVE SOURCES GUITAR PREAMPS
Тип ОУ	Биполярный BIP или полевой FET	Ro - см.текст.	Спектр. плотность ЭДС шума	Спектр. плотность шумового тока	Частота единичного усиления	Скорость нарастания выходного напряж.	Смещение нуля	Входной ток	Изготовитель	Рекомендуемое применение, примечание
LMS325N	BIP/BUF				30MHz	550V/us	50mV	5uA	NAT'L	+/- 300mA DRIVER

NOTE: Enoise is expressed in voltage/root Hertz
Inoise is expressed in current/root Hertz

jensen

AS050

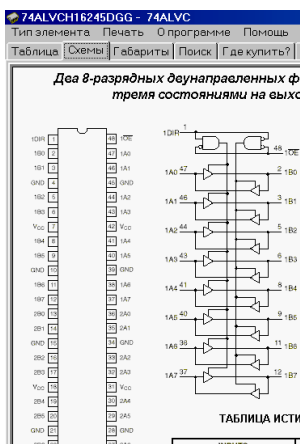
От редакции.

Мы дополняем уникальный материал П.Борща и В.Семенова по отечественным ОУ данными по высококачественным ОУ зарубежного производства для звуковых применений, подготовленный фирмой Jensen.

Размерность спектральной плотности шумовой ЭДС En - $\text{nV}/\sqrt{\text{Гц}}$, шумового тока - $\text{пА}/\sqrt{\text{Гц}}$ для биполярных и $\text{fA}/\sqrt{\text{Гц}}$ - для полевых ОУ. Синтетический параметр Ro соответствует сопротивлению источника, выше которого вклад токовых шумов начинает превышать вклад шумовой ЭДС.



CD-ROM ЭНЦИКЛОПЕДИЯ



Справочник Интегральные микросхемы цифровые логические КМОП БИМОП, том 5

Диск создан 09.02.99 г. известной нам по предыдущим выпускам Справочника радиолюбителя (1-4 выпуски, см. «CD-ROM-энциклопедию» в «РХ» №4/98, с.41 и №2/99, с.62) московской фирмой ИДДК. На 530 мегабайтах в не требующем инсталляции на винчестер (системные требования - Windows 95/98/NT) виде представлена информация о примерно 14 тысячах отечественных и зарубежных МОП-ИМС, в том числе перспективных низкоуровневых серий LV, LVC, ALVC. Для большинства микросхем приведены электрические параметры, предельные эксплуатационные режимы, габаритные размеры корпусов, условные графические обозначения, таблицы истинности и назначения выводов и др. Система быстрого доступа к различным разделам справочника и отдельным элементам, а также поиска позволит быстро подобрать микросхему с заданными характеристиками, найти импортный или отечественный аналог, дилера, где данная микросхема имеется в продаже (или предприятие-изготовитель), сравнить цены на одну и ту же микросхему в разных торговых фирмах. В качестве бонуса имеются прайс-листы на радиокомпоненты нескольких российских фирм, а также справочная информация в формате html - сравнительные характеристики разных серий логических ИМС, отечественная и зарубежная системы условных обозначений, термины и др. Из замеченных недостатков - небольшие орфографические погрешности и «подглючивание» некоторых картинок в основном меню.

Справочник Полупроводниковые приборы транзисторы, диоды, тиристоры, стабилитроны, оптоэлектроника, том 6

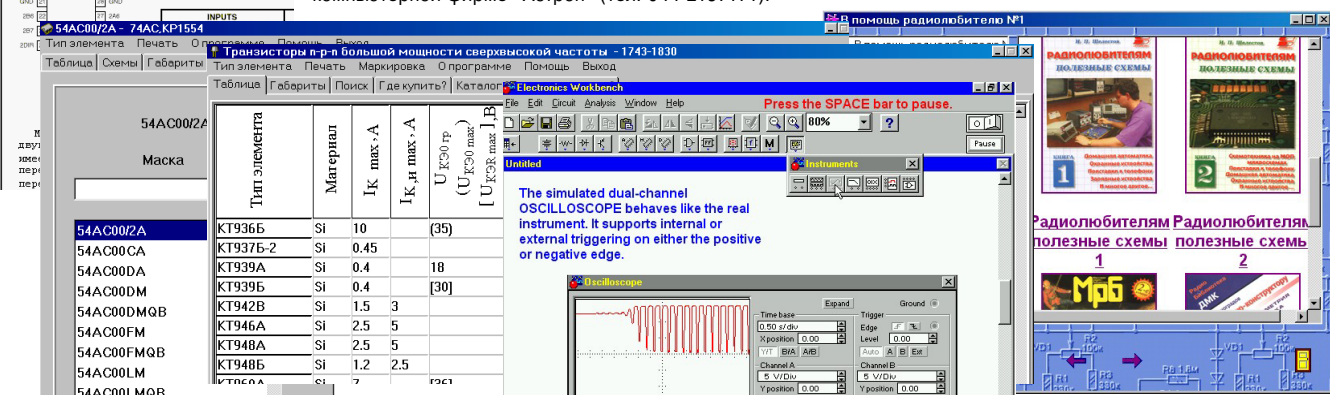
Диск создан 07.02.99 той же фирмой ИДДК. На 604 мегабайтах размещена информация (инсталляции на винчестер не требуется) о примерно 35000 отечественных и зарубежных полупроводниковых приборов - биполярных и полевых транзисторов, диодов, тиристоров и др. Интерфейс программы практически такой же (надо отдать должное весьма удобной системе меню), что и в первом выпуске «Справочника радиолюбителя» 1997 г. (см. «РХ» №4/98, с.41), но в прежнем выпуске была информация всего по 8000 элементов. Имеется система поиска по параметрам, а также сведения о том, где можно приобрести тот или иной радиоэлемент. В форме таблицы представлены электрические и предельные эксплуатационные данные, габаритные чертежи выбранной в главном меню группы полупроводниковых приборов. В отдельной директории имеются (в формате Adobe Acrobat) данные по радиоэлементам Burr-Brown, Harris, Motorola, Philips, Rohm, Samsung.

В помощь радиолюбителю №1

Один и тот же диск объемом 525 МБ издан 16.09.99 LeMaS program group, причем в Москве и Киеве с разными вариантами внешнего оформления - «Радиолюбитель выпуск 1» и «Радиолюбитель от справочников до электрических схем устройств». Собственно в разделе «В помощь радиолюбителю» имеются электронные html-варианты четырех книг издательств Солон-Р, Радио и связь, ДМК. Это требующие инсталляции на винчестер (41 мегабайт на все 4 книги) 1 и 2 книги «Радиолюбителям - полезные схемы» (автор И.П.Шелестов), «Металлоискатели для поиска кладов и реликвий» (А.Щедрин, И.Осипов) и «Радиолюбителю-конструктору» (Ю.Виноградов). Кроме того, имеются инсталляторы следующих программ: Accel PCAD Master Designer 8.7 и Accel-EDA Version 15.0 - пакеты для электронного проектирования и производства печатных плат; Protel Advanced Schematic 3.23 EDA Client и Protel Advanced PCB 3.0 - пакет разработки печатных плат; MicroSim Design Lab v. 8.0 - интегрированный пакет, в состав которого входит мощная программа анализа PSpice; Micro-Cap V Version 1.0 - программа анализа электронных схем с удобным интерфейсом и широкими возможностями; Specctrus AutoRouter V7.0.2 - популярный трассировщик печатных плат; PCAD 7.0 - наиболее известный пакет проектирования печатных плат.

Electronic Workbench Спроектируй, создай и испытай свое радиоэлектронное устройство. Весь диск (602 МБ) отведен под инсталлятор Electronics Workbench Ver.5.12 Pro - программы анализа электронных схем фирмы Interactive Image Technologies с самым простым и легко осваиваемым пользовательским интерфейсом. В то же время анализ производится тем же совершенным математическим аппаратом, что и в MicroSim Design Lab - SPICE 3F5, разработанным Университетом Беркли (США). Программа позволяет выполнять анализ как аналоговых, цифровых, так и смешанных аналог-цифровых устройств, как по постоянному, так и по переменному току, анализ переходных процессов, Фурье-анализ, анализ шумов и искажений, статистический анализ (Монте-Карло и наихудшего случая). В дополнение к 100 аналоговым и 200 цифровым встроенным радиокомпонентам имеются 6 виртуальных измерительных инструментов - двухканальный осциллограф, 16-канальный логический анализатор, функциональный генератор, мультиметр, генератор цифровых последовательностей, Бод-плоттер (амплитуда-фаза). На диске также имеется хорошо оформленная демонстрационно-обучающая программа. Именно она занимает львиную долю объема диска - собственно на винчестере программа анализа с библиотеками занимает чуть больше 16 мегабайт. Системные требования - Windows 95/NT. Учитывая недавно изданную на русском языке книгу В.И.Карлащук «Электронная лаборатория на IBM PC» (см. стр.64), посвященную Electronics Workbench и ее применению, такой tandem окажет неоценимую помощь как начинающим, так и разработчикам со стажем.

Жители Украины могут заказать эти диски в редакции «РХ» (направьте письменную заявку в адрес редакции) с отправкой наложенным платежом (цена дисков 12-15 грн. плюс расходы на пересылку), а также в компьютерной фирме «Астрон» (тел. 044-2167171).





РЕКОМЕНДУЕМ ПРОЧИТАТЬ

В.И.Карлащук. Электронная лаборатория на IBM PC. Программа Electronics Workbench и её применение (506 стр., 27 грн.). Структура и система меню, создание схем, виртуальные контрольно-измерительные приборы, элементная база. Расчет и моделирование электронных схем по постоянному, переменному току, аналоговые и цифровые устройства, АЦП/ЦАП, источники питания, приемо-передающие устройства, элементы устройств автоматики. Разработка печатных плат программой EWB Layout.

В.Д.Разевиг. Система сквозного проектирования электронных устройств DesignLab 8.0 (698 стр., 29 грн.). Схемотехническое моделирование линейных и нелинейных аналоговых и смешанных аналого-цифровых устройств, включая параметрическую оптимизацию, испытания схем при предельных режимах и моделирование схем с учетом паразитных эффектов, присущих реальным печатным платам. Кроме того, изложен материал по синтезу программируемых логических матриц фирм Altera, AMD, Atmel и др. и перепрограммируемых фирм Xilinx. Справочный материал, большое количество примеров, вспомогательные программы, позволяющие учсть особенности отечественных стандартов.

В.Д.Разевиг. Система P-CAD 8.5 - 8.7. Руководство пользователя (720 стр., 29 грн.). Автоматизированное проектирование электронных принципиальных схем и многослойных плат печатного монтажа на ПК. Работа с управляющей оболочкой и графическими редакторами принципиальных схем и печатных плат. Библиотеки графических изображений и корпусов радиоэлементов. Трассировка соединений и практические приемы работы. Работа с периферийными устройствами и обмен данными с другими пакетами САПР. Сообщения об ошибках графических редакторов и рекомендации по их устранению.

А.П.Загуменнов. Компьютерная обработка звука (382 стр., 32 грн.). Обработка аудиозаписей программами Sound Forge, WaveLab, SAW Plus 32, Samplitude 2496, Cakewalk Pro Audio, Finale 98. Простейшее редактирование, амплитудные преобразования, нормализация, расширение панорамы, частотная коррекция, модуляция и фазовые сдвиги, особые эффекты. Спектральный анализ, синтез звука и создание семплов, шумопонижение, синхронизация с видеорядом. Встраиваемые модули Twelve Tone Systems, Arboretum, TC Electronic, Steinberg, QSound Labs, Sonic Foundry и др. Моделирование акустики в Acoustic Modeler, максимизатор громкости Loudness maximizer, интеллектуальный эквалайзер FreeFilter. Реставрация старых записей (Click Removal, DeNoiser, DeClicker). Интерфейс MIDI. Редактирование нотной записи. Форматы звуковых файлов и их преобразование (Wav, MP3, SMPTE). Объединение аудио и MIDI. Подготовка звуковых файлов для использования в INTERNET.

Г.Гельль. Как превратить персональный компьютер в измерительный комплекс (134 стр., 12 грн.). Создание системы сбора и обработки данных, состоящей из датчиков физических величин (тока, давления, температуры и др.), интерфейсного устройства (АЦП) и программных средств (BASIC), позволяющих обрабатывать и интерпретировать собранную информацию. Схемы и рекомендации, приведенные в книге, позволяют собрать все рассмотренные устройства самостоятельно.

А.В.Таманов. Как собрать Pentium самому (88 стр., 10 грн.). Подробно описана процедура сборки IBM-совместимого ПК в домашних условиях. Краткая характеристика комплектующих и обзор периферийных устройств, наиболее часто подключаемых к компьютеру. Инсталляция базового комплекта программ: DOS 6.22, NC 5.0, Windows 98, MS Office 97 и подключение компьютера к Internet.

Ю.М.Платонов, Ю.Г.Уткин. 37 причин зависаний компьютера (288 стр., 19 грн.). В систематизированном виде описаны отказы и неисправности ПК, работающих под ОС DOS и Windows. Основное внимание уделено методам диагностирования программных и аппаратных неисправностей, позволяющим в процессе ремонта свести к минимуму риск потери информации. Большое внимание уделено проблемам работы с жестким диском, тестированию ПК, инсталляции Windows.

В.Пузырев. Компьютерная сеть FIDONet для начинающих и не только (192 стр., 11 грн.). Структура FIDONet, с чего начать, программное обеспечение, виды почты, список всех конференций, как寄送邮件 in InterNet из FIDONet, жаргонарий.

В.Б.Бродин, М.И.Шагурина. Микроконтроллеры. Архитектура, программирование, интерфейс (398 стр., 28 грн.). Архитектура, особенности функционирования, методы и средства проектирования, программирования и отладки цифровых систем на базе наиболее современных 8-разрядных микроконтроллеров 8XC51, 8XC151SB, 8XC251SB и 16-разрядных 8XC196NP/NU/NT.

В.А.Никитин. Телевизионные антенны на выбор. Работа, устройство, сборка (265 стр., 15 грн.). ТВ стандарты, условия хорошей работы ТВ, комнатные антенны, наружные антенны для зоны прямой видимости, наружные антенны для дальнего и сверхдальнего приема, космическая ретрансляция ТВ, вспомогательные устройства (разветвители, сумматоры, коммутаторы).

В.И.Назаров. Электропроводка на все случаи жизни. Материалы, инструменты, электросхемы (254 стр., 9 грн.). Эта книга поможет вам выполнить электропроводку на садовом участке, в доме, квартире, подсобных помещениях на профессиональном уровне, с учетом всех правил техники безопасности.

И.Н.Сидоров, С.В.Скорняков. Трансформаторы бытовой радиоэлектронной аппаратуры (332 стр., 24 грн.). Электромагнитные параметры и конструктивные размеры малогабаритных силовых трансформаторов электропитания бытовой РЭА, импульсных трансформаторов, трансформаторов строчной и кадровой разверток телевизоров, согласующих и выходных трансформаторов звуковой частоты. Рассмотрены вопросы эксплуатации, а также сведения, необходимые для ремонта трансформаторов. Описаны применяемые электромагнитные материалы. Второе издание дополнено сведениями о трансформаторах на ферритовых магнитопроводах.

Ю.М.Платонов, А.А.Галеенков. Ремонт зарубежных принтеров. Серия "Ремонт", вып.31 (272 стр., 32 грн.). Технические данные, электрические схемы, устройство, диагностика и ремонт большого количества моделей матричных, струйных и лазерных принтеров фирм Hewlett-Packard, Epson, Canon, Panasonic, Star Micronics, Brother International, Mannesmann Tally.

Жители Украины могут заказать эти книги, направив в адрес редакции заявку: "Прошу выслать заказной бандеролю наложенным платежом следующие книги... по адресу... . Оплату при получении на почте гарантировать. Подпись." Просим разборчиво и без сокращений указывать ваши имя и отчество, а также новый 5-значный почтовый индекс. Неразборчиво или неточно оформленные заказы к исполнению не принимаются. Не допускается адресация "до востребования". Цены указаны без учета почтовых расходов (в зависимости от массы бандероли дополнительно от 2 до 5 грн. плюс страховой почтовый сбор 10% от суммы заказа) по состоянию на 28.02.99 г при курсе грн./\$ 5,6 и могут изменяться пропорционально курсу на момент отправки бандероли.